



سلسلة هندسة المعلومات ونظم الكمبيوتر

مواضيع البحث الصور

دكتور: بشير علي عرنوس

الاسدحات
للنشر والتوزيع

بي جيا عيت

- الفهرس
- المقدمة
- المخطط العام لإنظمة معالجة وتمييز الصور
- قيم مشتركة و خصائص عمليات الصورة
 - تعاريف الصور الرقمية
 - القيم العامة
 - تمثيل البيانات
 - أمثلة الصور بأنواع البيانات المختلفة
 - خصائص وانواع العمليات على الصور
 - انواع العمليات
 - انواع الجوار
 - عوامل الفيديو
 - الخرائط الثنائية
 - الوضوح وعمق اللون
 - خانة واحدة 1 bit (أسود وأبيض)
 - ثمانية خانات الرمادي (8 bit greys)
 - 24 خانة RGB (24 bit)
 - اللون المفهرس 8 خانات
 - اللون المفهرس 4 خانات
 - 32 RGB خانة
 - 16 RGB خانة
 - الوضوح
 - تحويل عمق اللون
 - تخزين خريطة البتات
 - أمثلة بلغة البرمجة C++ عن:
 - قراءة ملفات الصور PCX
 - تغيير خرائط اللون
- أخذ عينات الصورة
 - أخذ عينات الكثافة لمعالجة الصورة
 - أخذ عينات الفتحة
 - أخذ عينات الكثافة لتحليل الصورة
 - أخذ عينات لمقاييس المنطقة
 - أخذ عينات لمقاييس الطول
 - إستنتاجات على أخذ العينات
- الضوضاء
 - ضوضاء الفوتون
 - الضوضاء الحرارية
 - ضوضاء الرقاقة الالكترونية
 - ضوضاء KTC
 - ضوضاء المضخم
- آليات التصوير
 - الخطية
 - الحساسية
 - الحساسية المطلقة
 - الحساسية النسبية

- SNR
 - الضوضاء الحرارية
 - ضوضاء الفوتون
- التظليل
- شكل نقطة الشاشة
 - نقطة الشاشة المربعة
 - عامل الملى
- الحساسية الطيفية
- سرعة مصراع الكاميرا
 - آلات تصوير الفيديو
 - آلات التصوير العلمية
- درجة القراءة
- شاشات العرض
 - نسبة التحديث
 - المشابكة
 - دقة العرض
- الأدوات
 - الإلتواء
 - تحويلات فورير
 - خصائص تحويلات فورير
 - أهمية المرحلة والمقدار
 - إشارات متماثلة بشكل دائري
 - أمثلة 2 دي تُشيرُ وتُحوّل
 - الإحصائيات
 - وظيفة توزيع إحتمال السطوع
 - وظيفة كثافة إحتمال السطوع
 - معدل
 - إنحراف معياري
 - معامل الإختلاف نسبة الإشارة للضجيج
 - تمثيل المحيط
- اللون والتحويلات اللونية
 - مقدمة وتعريف
 - نماذج اللون
 - إنتزاع الألوان البدائية لصورة RGB
 - جدول اللون
 - تطبيقات اللون على الصور
 - إجراءات التلوين الآلي وخيارات خريطة اللون
 - خريطة اللون
 - إجراءات التلوين الآلي
 - بناء جداول اللون المزيفة
 - عرض خواص الصورة
 - نماذج اللون الأخرى
 - نموذج اللون HLS
 - مثال بلغة البرمجة C++ للتحويل بين HLS و RGB
 - نموذج اللون HSV

- مثال بلغة البرمجة C++ للتحويل بين HSV و RGB
- التحويلات الهندسية
 - مقدمة وتعريف
 - الزيادة الخطية
 - المصفوفات
 - الصفوف والاعمدة
 - تغيير المقياس
 - تغيير المقياس
 - كود تغيير المقياس بلغة البرمجة C++
 - النقطة الثابتة للمقياس
 - معكوس تغيير المقياس
 - الدوران
 - الدوران
 - كود الدوران
 - مدار الدوران
 - الدوران في ثلاثة ابعاد
 - معكوس الدوران
 - السحب
 - السحب
 - كود السحب
 - معكوس السحب
- الإدراك الحسي
 - الحساسيات
 - حساسية السطوع
 - حساسية طول الموجة
 - حساسية التحفيز
 - حساسية التردد المكانية
 - حساسية اللون
 - المراقب القياسي
 - الإحداثيات اللونية
 - الخداع البصري
- الخوارزميات
 - العمليات المستندة على مخطط مسقط الصورة الإحصائي
 - بسط التباين في تركيز اللون
 - المساواة
 - عمليات أساسها مدرج إحصائي أخرى
 - العمليات المستندة على الوياضيات
 - العمليات الثنائية
 - عمليات أساسها الحساب
 - عمليات أساسها الإلتواء
 - الخلفية
 - إلتواء في المجال المكاني
 - إلتواء في مجال التردد
 - عمليات الصقل
 - المرشحات الخطية
 - المرشحات اللاخطية

o خلاصة خوارزميات الصقل

• عمليات أساسها اشتقاق

o الاشتقاقات الأولية

o الاشتقاقات الثانية

o المرشحات الأخرى

• عمليات أساسها علم التشكل

o تعاريف أساسية

o التوسُّع والتآكل

o الإلتواء المنطقي

o الإفتتاح والإغلاق

o عملية الرمية الخاطئة

o خلاصة العمليات الأساسية

o الهيكل العظمي

o التكاثر (الانتشار)

o خلاصة الهيكل العظمي والتكاثر

o معالجة قيمة الرمادي الصرفية

o الصقل الصرفي

o الميل الصرفي

o Laplacian الصرفي

o خلاصة المرشحات الصرفية

• التقنيات

• تصحيح التظليل

o نموذج تظليل

o تخمين تظليل

• التخمين الاستدلالي

• التخمين الاستنتاجي

• التحسين الأساسي وتقنيات الإعادة

o الإخفاء الغير حاد

o إخماد الضوضاء

o إخماد التشويه

• الإنقسام

o العتبة

o إيجاد الحافة

o إيجاد الحافة بناء على الفرق بين الصورة الاصلية والمتأكلة

o علم الصرف الرياضي الثنائي

o علم الصرف الرياضي لقيم الرمادي

• أمثلة بإكواد بعض المرشحات والتقنيات بلغة البرمجة C++

o المرشحات المتوسطة N-4,N-8

o تحديد الحواف

o فلاتر اخرى

• عمليات النقطة

• الانماط

o نمط رقعة الشطرنج

o الانماط الجيبية

• مزج الصور

• توضع الصور على بعضها

- توضع الصور من نفس النوع
- توضع الصور من انواع مختلفة

- تطبيق القناع
- ضرب الصور الملونة RGB
- إرتباك الصورة
- مفاهيم الموجات الصغيرة
- تحليل الموجات الصغيرة المنفصلة
- تحويلات الموجات الصغيرة
- الموجات الصغيرة : تحليل التردد
- التدفق البصري
- معادلة تقييد التدفق البصري
- القيود الأخرى
- إيجاد التدفق البصري
- المراجع

بسم الله الرحمن الرحيم

الحمد لله رب العالمين الذي لا تحصي نعمته، ومنها البصر والسمع، والصلاة والسلام على رسوله الكريم الذي لا تحصي فضائله. أبدع الله في خلقه للإنسان، فأعطاه من ضمن نعمه عليه، الحواس الخمسة " ألم نجعل له عينين * ولسانا وشفنتين " إن السمع والبصر والفؤاد كل أولئك كان عنه مسؤولاً"، والتي تعتبر مدخله الى معرفة العالم من حوله. ويعتبر البصر المدخل الأوسع لعالم المعلومات، حيث تبلغ نسبة المعلومات التي تدخل الى عقل الإنسان عن طريق البصر 90% بالنسبة لباقي الحواس. العين البشرية تعمل كآلة تصوير فتنتقل الصورة الى المخ الذي يقوم بدوره بمعالجة الصور وتمييزها لفهما وتخزينها واسترجاعها عند الحاجة. ربما لانشعر نحن كبشر عاديين بعمليات المعالجة داخل المخ، حيث انها تحدث بسرعة فائقة، بناء على طرق لايزال الكثير منها غامضاً لنا حتى الآن. من الواضح اننا نستخدم الكثير من عمليات المعالجة و نستعين بكثير من دلائل التمييز للوصول الى إعطاء القرار بخصوص فهم ما نراه. يقول تعالى في كتابه الكريم، معطيا اللون كدليل تمييز بصري، بخصوص بقرة بني إسرائيل التي طلب منهم ذبحها بالإضافة الى اوصاف اخرى " قالوا ادع لنا ربك يبين لنا ما لونها قال انه يقول إنها بقرة صفراء فاقع لونها تسر الناظرين".

إن أهمية البصر بالنسبة للإنسان تجعله يأخذ مكاناً هاماً في تطوير أنظمة البصر الصناعي، حيث تقف هذه الأنظمة بدورها على رأس هرم الذكاء الاصطناعي كما تم بيانه في كتاب الذكاء الاصطناعي. أتمتة العمل تحدد مستوى التقدم التقني والعلمي، وتطال جميع مجالات الحياة. النظم الذكية تسمح باستبدال الإنسان في ظروف العمل الغير صحية، عند تنفيذ اعمال رتيبة ومجهدة ستكون المساعد والشريك الذي يمكن الإعتماد عليه. واحدة من أهم هذه النظم تعتبر أنظمة معالجة وتمييز الصور، التي تملك خاصية الرؤية و التعرف على مآثره.

نما حقلاً معالجة وتمييز الصور إلى حد كبير أثناء العقد الماضي ، ترافق ذلك مع الإستخدام المتزايد للصور في التطبيقات التي لا تعد ولا تحصى والتي إقترنت بها التحسينات في الحجم، السرعة، وتأثير كلفة الحاسبات الإلكترونية و تقنيات معالجة الإشارات ذات العلاقة (إشارة الفيديو، الصوت..الخ). معالجة الصورة وجدت دور هام في: العلوم، الصناعة، الفضاء، والتطبيقات المختلفة الحكومية منها والخاصة.

كانت الثمانينات عقد مهم من النمو و الفصح في هذا الحقل. في بداية ذلك العقد، كان الكثير من تقنيات المعالجة يعكس الإهتمام الأكاديمي فقط؛ تنفيذ وتطوير هذه التقنيات كان بطيئاً و مكلفاً جداً. اليوم، ويفضل تقدم الخوارزميات وأدوات التطوير و التطبيق، فإن معالجة وتمييز الصور أصبح تقنية مربحة و حيوية في مجموعة كبيرة من التطبيقات.

في الوقت الراهن ، مع بداية القرن الحادي والعشرون، معالجة الصور أصبحت فرع أساسي في هندسة الكمبيوتر ونظم المعلومات، مع ان التقدم في القواعد النظرية لمعالجة وتمييز الصور مازال مستمر. بالإضافة الى عامل التحفيز

الآخر وهو إدراج خاصية التفاعل، حيث أن الحاسوب أصبح لديه الامكانيات ل عرض أمثلة الصور لتوضيح مفاهيم المعالجة المنفذة على الصور.

الكتاب موجه للدارسين في علوم وهندسة الحاسبات، كذلك فروع الهندسة الأخرى. أيضاً، هو يُمكن أن يُستعمل كدليل مرجعي للعاملين في الهجوت المتعلقة في معالجة وتمييز الصور، مطوّروا أجهزة معالجة وتمييز الصور وأنظمة اليرامجة، والمهندسون العمليون والمهندسين الذي يستعملون معالجة الصور كأداة في تطبيقاتهم. إن القارئ مُفترض أن يكون عنده خلفية أساسية في نظرية النظم الخطية، الرياضيات وبالتحديد الجبر والهندسة، و براعة في لغة البرمجة C و/ أو مشتقاتها.

إن الكتاب يغطي التقنيات الأساسية التي نحتاجها لدعم التطبيقات التي تعالج الصورة والتي منها : فصول مُهمّة بتمثيل الصور المستمرة. المواضيع تتضمن : التمثيل الرياضي للصور المستمرة، الخصائص الفيزيائية لوهية الإنسان، خصائص ومعايير الصور والضوء واللون. إدخال عينات الصور، وتقنيات التمثيل الرياضي. كما يُناقش تقنيات معالجة الإشارات الثنائية الأبعاد، بضمن ذلك المشغلين الخطيين العاميين والتحويلات المركزية مثل: فوريير، Hadamard، و Karhunen Loeve. يُحلل ويُقارن تقنيات المعالجة الخطية المطبّقة بالتواء المباشر وترشيح مجال فوريير. يوضح الكتاب منطقتي التطبيق الرئيسيتين لمعالجة الصور وهما تحسين الصور وتقنيات الترميم، بضمن ذلك نماذج الترميم، الترميم القطعي والمكاني، و التغييرات الهندسية على الصور. يقدم تحليل الصور، "مركز على إنتزاع المعلومات من الصورة. تتضمن المواضيع كالكشف عن الحواف، إنتزاع ميزات الصورة، تفسير الصورة، تحليل شكل الجسم، وكشف (تحديد) الجسم. يوضح تقنيات مبادئ التمييز، الانواع المختلفة لدلائل التمييز وحسابها، المطابقة وإتخاذ القرار.

المقدمة

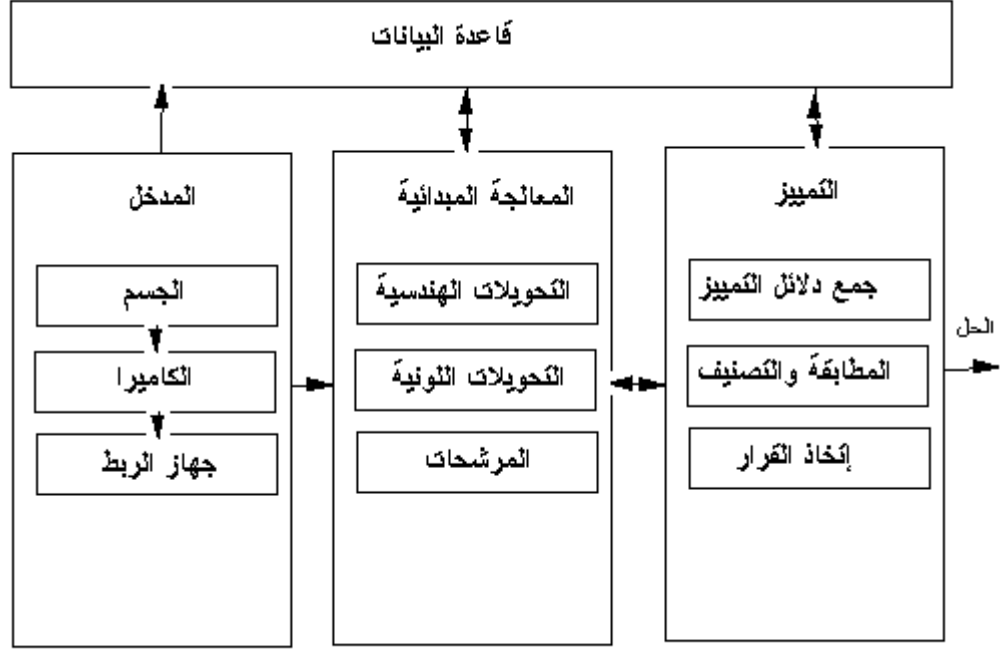
تنقسم أنظمة المعالجة والتمييز الى جزئين رئيسيين وهما، حسب المسمى، المعالجة والتمييز. يمكن للمعالجة ان تنفرد بأنظمة لوحدها كالتطبيقات البرمجية (كورل درو، فوتو شوب ...الخ). تقوم هذه التطبيقات بتنفيذ اغلب العمليات الخاصة بمعالجة الصور، والتي تتلخص بتحسين الصور وترميمها، والتي سيتم شرحها بالتفصيل وستكون موضوع الجزء الاول من هذا الكتاب. بينما نجد المعالجة ملازمة للتمييز، حيث تعتبر جزء ضروري لإعداد الصورة للتمييز. يعرف تمييز الصور بأنه مسألة معالجة وتحويل الصور المدخلة الى تراكيب بلغة دلائل التمييز التي تسمح بتصنيف الجسم المراد التعرف عليه الى احد الأصناف المشكلة في مرحلة التعلم و/ او التخطيط.

يعتبر إختيار مجموعة دلائل التمييز هو الإختلاف الأساسي بين مبادئ التمييز الكثيرة جداً والمختلفة. تحدد عملية إختيار دلائل التمييز وإمكانية جمعها آلياً مستوى كفاءة و مصادقية نظام المعالجة والتمييز. تعتبر المعلومات الخاصة بشرح عملية التمييز موضوع الجزء الثاني من الكتاب.

يشمل المخطط الوظيفي العام لإنظمة المعالجة والتمييز على اربع وحدات رئيسية وهي كالتالي:

- وحدة إدخال الصور – تهتم بإدخال الصور من جهاز الإدخال (كاميرا، ماسح ضوئي... الخ) الى جهاز الحاسب وتشكيل التمثيل الرقمي للصورة وحفظها بأحد انواع هذا التمثيل.
- وحدة المعالجة المبدئية- تتلخص مهام هذه الوحدة بتحسين نوعية الصورة بتنفيذ العمليات المختلفة عليها كالتحويلات الهندسية، الضوئية و اللونية، تخيف الضوضاء، اكتشاف حدود الجسم ... الخ. وذلك بهدف توحيد شروط الإدخال وتقريب خصائص الصورة المدخلة الى نفس خصائص نموذج التمييز، مما يؤدي بدوره الى تحسين وتسريع عملية جمع دلائل التمييز.
- وحدة التمييز – تعتبر قلب نظام المعالجة والتمييز، و تقوم بالوظائف التالية :

- إختيار مجموعة دلائل التمييز بالإستناد على مبدأ التمييز المختار.
- وصف (تعريف) الصورة بلغة الدلائل (عناصر التمييز).
- حساب قيم معايير المطابقة للجسم المراد تمييزه.
- مطابقة هذه القيمة مع القيم الخاصة بالنماذج المخزنة في قواعد البيانات.
- أخذ القرار بإلحاق هذا الجسم الى أحد أصناف مجموعة النماذج.
- وحدة التخزين – قواعد البيانات التي يتم تخزين النماذج بها.



الرسم 1. المخطط الوظيفي العام لنظم المعالجة والتمييز

سمحت التقنية الرقمية الحديثة معالجة الإشارات المتعددة الأبعاد بالأنظمة التي تتراوح بين الدوائر الرقمية البسيطة و الحاسبات المتوازية المتقدمة. هدف هذه المعالجة يُمكن أن يُقسّم إلى ثلاثة أصناف:

- معالجة الصور : صورة على المدخل -> صورة على المخرج

- تحليل الصور : صورة على المدخل -> مقاييس على المخرج

- فهم الصور: صورة على المدخل -> وصف عالي المستوى على المخرج

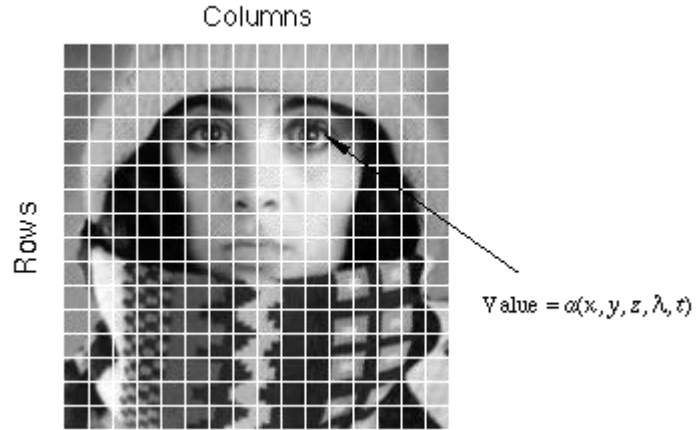
سنركز في هذا الجزء على المفاهيم الأساسية لمعالجة الصور. وسنناقش الأصناف الأخرى في الجزء الثاني من الكتاب. سنحدّد لأنفسنا مبادئ التعامل مع معالجة الصور ثنائية الأبعاد (2D) علماً بأن أغلب المفاهيم والتقنيات التي ستوصّفان يُمكن أن تُوسّع بسهولة لتغطية الصور ثلاثية الأبعاد.

نبدأ ببعض التعاريف الأساسية. الصور المعرّفة في "العالم الحقيقي" تُعتبر دالة من متغيرين حقيقيين، على سبيل المثال ، $a(x, y)$ مع a لمدى (ومثال على ذلك: - السطوع لصور تدرجات الرمادي، أو رقم تدرج اللون المكون من مزيج الألوان الثلاث الرئيسية في منظومة الألوان المستخدمة على سبيل المثال (R, G, B)) الصورة في الموقع الحقيقي للإحداثيات (x, y) . قد تحتوي الصورة عدة صور ثنائية (فرعية) أحياناً تدعى باسم مناطق الإهتمام، أو ببساطة مناطق. هذا المفهوم يعكس الحقيقة بأن الصور على الأغلب تحتوي على مجموعات من الأجسام التي من الممكن ان يكون كلّ منها قاعدة لمنطقة. نظم معالجة الصور المتطورة يجب أن تملك خاصية تطبيق عمليات معالجة معينة لمناطق محددة من الصورة. عليه يمكن ان نعالج جزء من الصورة (منطقة) لطمس الغشاوة الناتجة عن الحركة، بينما نعالج جزء آخر لتحسين أداء اللون.

سيكون مدى (ساعات) الصورة المُعطاة بشكل دائم تقريباً أما أعداد حقيقية أو أعداد صحيح ة. تنتج الأخيرة عادة من عملية تجزئ المدى و التي تُحوّل الهدى المستمر (على سبيل المثال ، بين 0 و 100 %) إلى أعداد ثابتة من المستويات. بمعنى آخر ممكن إعتبارها عملية إسقاط مدى الإشارة الممثلة للصورة على محور رقمي بمستويات ذات قيم ثابتة. في بعض عمليات تشكيل الصورة، على أية حال، الإشارة قد تتضمن أعداد وحدة الكم الضوئي (الفوتون) الذي يُشير ضمناً إلى أن مدى الإشارة سيجزء الى قيم ثابتة. في الإجراءات الأخرى لتشكيل الصور ، مثل تصوير الرنين المغناطيسي، المقياس الطبيعي المباشر يُنتج عدد مركب على شكل مقدار حقيقي و مرحلة حقيقية. سنعتبر من الان وحتى تشير الى عكس هذا ان المدى (الساعات) هو اعداد حقيقية أو أعداد صحيحة.

تعريف الصور الرقمية

الصورة الرقمية $a[m, n]$ المعرفة في الفضاء الثنائي الأبعاد 2D الثابت مُشتقّة من صورة إشارة $a(x, y)$ في الفضاء الثنائي الأبعاد المستمر، من خلال عملية أخذ العينات والتي تسمى بالتحويل الى الصور الرقمية. سيتم وصف المعادلات الرياضيّة الخاصة بهذه العملية (أخذ العينات) لاحقاً. سننظر الان إلى بعض التعاريف الأساسية المرتبطة بالصور الرقمية. إن تأثير عملية التحويل الى الصور الرقمية موضحة في الرسم 2. تُقسم الصورة من الفضاء الثنائي الأبعاد المستمر $a(x, y)$ إلى عدد n من الصفوف و m من الأعمدة. يعين تقاطع الصف و العمود نقطة شاشة. تخصّص القيمة $a[m, n]$ إلى العدد الصحيح من الاحداثيات $[m, n]$ مع $m = \{0, 1, 2, \dots, n-1\}$ و $n = \{0, 1, 2, \dots, m-1\}$. في الحقيقة، في أكثر الحالات $a(x, y)$ -- التي تُعتبر الإشارة الفيزيائية التي تنسقط على وجه الحساس الثنائي الأبعاد -- بمعنى اخر هي دالة من العديد من المتغيرات بضمن ذلك العمق (z) ، اللون (λ) ، والوقت (t) . مالم يُنصّ عليه، فإننا سنعتبر حالة 2D، صور ساكنة أحادية اللون في هذا الفصل.



الرسم 2: تحويل صورة مستمرة الى رقمية. نقطة الشاشة ذات الاحداثيات $[m=10, n=3]$ لها قيمة سطوع العدد الصحيح 110.

توضح الصورة رقم 2 عملية التحويل الى رقمية. خصّصت القيمة إلى كل نقطة شاشة السطوع المتوسط في نقطة الشاشة المقرب إلى قيمة العدد الصحيح الأقرب. إن عملية تمثيل مدى الإشارة ثنائية الأبعاد في الاحداثيات المُعطاة كقيمة عدد صحيح مع عدد L من مستويات درجات الرمادي المختلفة عادة تسمى تقسيم المدى أو ببساطة التقسيم.

القيم العامة

هناك قيم قياسية للعوامل المُخْتَلِفَة المصادفة في معالجة الصور الرقمية. هذه القيم يُمكنُ أَنْ تُكوّنَ ناتجة عن معايير الفيديو، عن متطلبات الخوارزميات، أو بالرغبة لإبقاء مجموعة الدوائر الرقمية بسيطة. الجدول رقم 1 يعطي بعض هذه القيم.

العامل	الرمز	القيم
السطر	N	256,512,525,625,1024,1035
العمود	M	256,512,768,1024,1320
مستوى تدرجات الرمادي	L	2,64,256,1024,4096,16384

الجدول رقم 1: القيم المشتركة لعوامل الصورة الرقمية

كثيراً ما نرى حالات $M=N=2^K$ حيث $\{8,9,10 = k\}$. هذا يُمكنُ أَنْ يحفز مجموعة الدوائر الرقمية أو بإستعمال بعض الخوارزميات مثل تحويل فورير (السريع) (سيتم شرحه في فصل قادم). إن عدد المستويات الرمادية الم تفصل عادة يكون قوة 2، تلك، $L=2^B$ حيث أن B عدد الخانات في التمثيل الثنائي لمستويات السطوح. عندما يكون $1 < B$ نتكلم عن صورة بمستويات الومادي ؛ عندما $B = 1$ نتكلم عن صورة ثنائية. في الصورة الثنائية هناك فقط مستويان من تدرجات الومادي ، على سبيل المثال، "أسود" و"أبيض" أو "0" "1".

تمثيل البيانات

الصورة كما رأينا سابقا يُمكنُ أَنْ تأخذ قيم النقاط التي يُمكنُ أَنْ تُكوّنَ مِنْ عدّة أنواع من البيانات: الصورة الثنائية لها فقط قيمتان محتملتان خصصتا في أغلب الأحيان إلى الأسود والأبيض؛ صورة تدرجات الومادي لها قيم العدد الصحيح الإيجابية في أغلب الأحيان مِنْ 0 إلى a حد أعلى. من المحتمل أَنْ يُكوّنَ للصورة نقاط بالقيم السلبية، نقاط بالأعداد الحقيقية، ونقاط بالقيم المعقدة. ومثال على ذلك الصورة بقيم النقاط السلبية هو الصور الحرارية بدرجات الحرارة السلبية. صور بنقاط التي قيمها أعداد حقيقية يُمكنُ أَنْ تُوجَدَ في الصور التي تُمثّل الموجة الجيبية بتفاوت القيم مِنْ - 1 إلى + 1. الصور بقيم النقطة المعقدة يُمكنُ أَنْ تُوجَدَ في بعض الصور المحولة مثل تحويل فورير المنفصل. نقاط الشاشة يُمكنُ أَنْ تُمثّلَ أيضاً بلستعمال اللون لثلاث قيم: الأحمر، الأخضر والأزرق، في نموذج اللون RGB.

الصور الرقمية يُمكنُ أَنْ تُخزّنَ كمفات في الحاسوب. يحتوي الملف ليس فقط على قيم النقاط المرتبطة بكل إحداثي، لكن أيضاً العنوان الراسي للصورة والذي يزود بمعلومات إضافية مثل حجم الصورة، نوع البيانات لعناصر الصورة، نموذج اللون، ومعلومات أخرى.

العنوان الراسي المرتبط بالصورة المعطاة كمثال يزود بالمعلومات التالية:

الأبعاد: عرض=256، ارتفاع=256

نوع النقطة: البايت الغير موقع

نموذج لون: تدرجات الرمادي

Dimensions: Width=256, Height=256

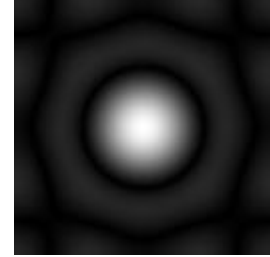
Pixel type: unsigned byte

أمثلة الصور بأنواع البيانات المختلفة

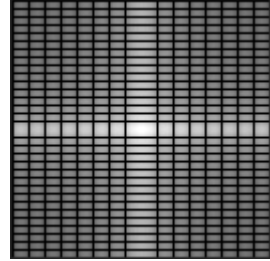
نعرض اسفلا صور بحجم وأنواع بيانات مختلف. "صورة ثنائية"

00	00	00	00	00	00	00	00	00
00	01	02	03	04	03	02	01	00
00	02	04	06	08	06	04	02	00
00	03	06	09	12	09	06	03	00
00	04	08	12	16	12	08	04	00
00	03	06	09	12	09	06	03	00
00	02	04	06	08	06	04	02	00
00	01	02	03	04	03	02	01	00
00	00	00	00	00	00	00	00	00

الحجم: العرض = 162، الارتفاع = 117، نوع النقطة: bit، نموذج اللون: ليس متوفر
"صورة بنوع النقطة الحقيقية"



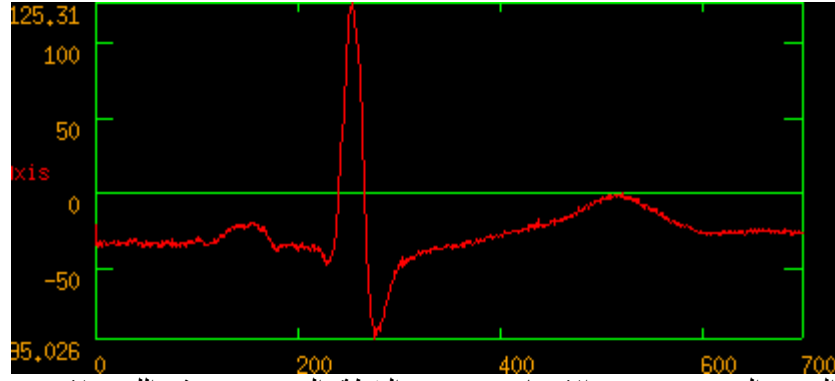
الحجم: العرض = 128، الارتفاع = 128، نوع النقطة: حقيقية، نموذج لون: ليس متوفر
"صورة بنوع النقطة المعقدة"



الحجم: العرض = 128، الارتفاع = 128، نوع النقطة: المركب، نموذج لون: ليس متوفر
"صورة ملوَّنة، 3 عناصر (RGB)"



الحجم: العرض = 256، الارتفاع = 256، العناصر = 3، نوع النقطة: البايت الغير موقع، نموذج اللون: RGB
"إشارة بعد واحد"



الحجم: العرض = 701، الارتفاع = 1، نوع النقطة: الضيف، نموذج اللون: لا يوجد
"بيانات الحجم"



الحجم: العرض = 40، الارتفاع = 32، العمق = 32، نوع النقطة: float، نموذج اللون: لا يوجد

خصائص عمليات الصورة

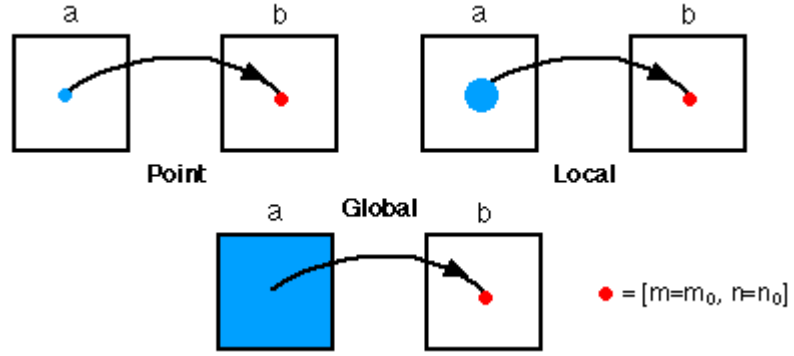
هناك عدة طرق لتصنيف وتخصيص عمليات الصور. نقوم بذلك لفهم نوع النتائج المتوقعة الإنجاز مع النوع المعطى من العمليات أو قد يكون العبء الحسابي المرتبط بالعملية المعطاة.

أنواع العمليات

أنواع العمليات التي يمكن أن تُنفذ على الصور الرقمية لتحويل الصورة المدخلة $a[m, n]$ إلى صورة ناتجة $b[m, n]$ (أو تمثيل آخر) يمكن أن تُصنّف إلى ثلاثة أصناف حسب الموضح في الجدول رقم 2.

العملية	الخصائص	التركيب العام/النقطة
* Point	قيمة الخرج في الإحداثيات المحددة تعتمد فقط على القيمة المدخلة في نفس الإحداثيات.	ثابت
* Local	قيمة الخرج في الإحداثيات المحددة تعتمد على قيم الجوار في نفس الإحداثيات.	P^2
* Global	قيمة الخرج في الإحداثيات المحددة تعتمد على كل القيم في الصورة المدخلة.	N^2

الجدول رقم 2: أنواع عمليات الصور. حجم الصورة $N \times N$ ؛ حجم الجوار $P \times P$.
نلاحظ ان التركيب محدّد في العمليات لكل نقطة شاشة. هذا يوضح بشكل تخطيطي في الرسم رقم 3.



الرسم رقم 3: إيضاح الأنواع المختلفة لعمليات الصورة

أنواع الجوار

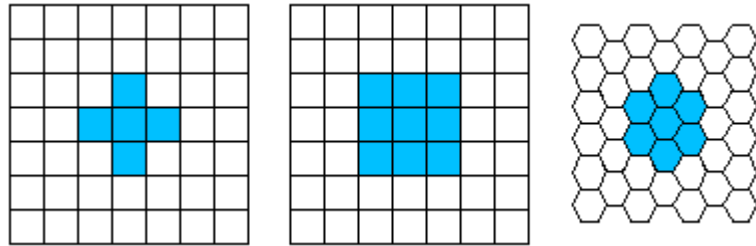
عمليات الجوار تلعب دور رئيسي في معالجة الصور الرقمية الحديثة. لذا من المهم فهم كيفية تقسيم الصور إلى عينات وكيف أن هذا يتعلق بنقاط الجوار المختلفة التي يمكن أن تُستعمل في عمليات معالجة الصور.

* أخذ عينات المستطيل - في أكثر الحالات، الصور تقسم بوضع الشبكة المستطيلة على الصورة كما وضح في الرسم رقم 2. هذا يؤدي إلى نوع العينات الظاهرة في الرسم رقم 4 ab.

* أخذ عينات سداسي الاضلاع - المخطط البديل لأخذ العينات موضح في الرسم رقم 4 c.

كل من نوعي مخططات أخذ العينات تُدرس على نطاق واسع وكلاهما يمثل تبليط دوري محتمل من فضاء الصورة المستمر. نحن سنركز إنتباهنا، على أخذ العينات المستطيلة الشكل فقط، بسبب إعتبارات البرامج والأجهزة.

تُغطي العمليات المحلية قيمة نقطة الشاشة الناتجة (الخروج) $b[m=m_0, n=n_0]$ بالإستناد على قيم نقطة الشاشة في الجوار $a[m=m_0, n=n_0]$. البعض من الجوار الأكثر شيوعاً : نقاط الجوار الاربعة ونقاط الجوار الثمانية في حالة أخذ العينات المستطيل ونقاط الجوار الستة في حالة أخذ العينات السداسي الموضحة في الرسم رقم 4.



الرسم رقم 4 a ، b ، c

عوامل الفيديو

نحن لا نفترض وصّف معالجة الصور المتغيرة بفاعلية في هذه المقدمة. بل سننطلق من ان العديد من الصور الساكنة مُأخوذة من آلات تصوير الفيديو والماسح الضوئي - لذكر المعايير التي ترتبط بنظم الفيديو القياسية الثلاثة الأكثر إستعمالاً حالياً في العالم - NTSC, PAL, SECAM. هذه المعلومات مُلخصة في الجدول رقم 3.

Standard	NTSC	PAL	SECAM
Property			
images / second	29.97	25	25
ms / image	33.37	40.0	40.0

lines / image	525	625	625
(horiz./vert.) = aspect ratio	4:3	4:3	4:3
interlace	2:1	2:1	2:1
us / line	63.56	64.00	64.00

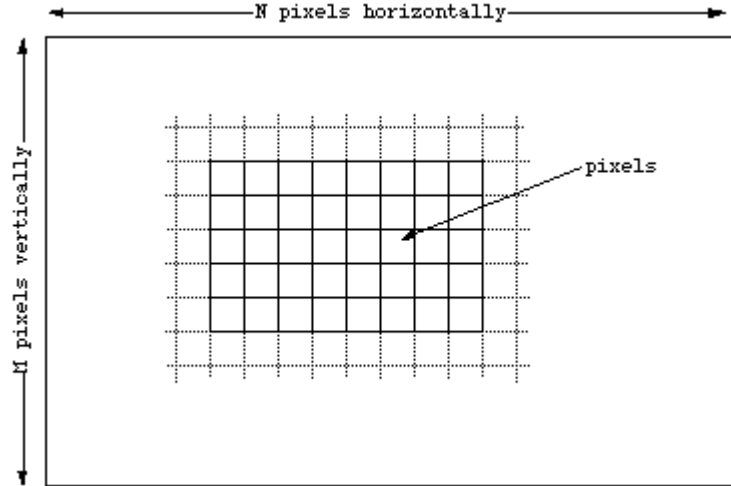
الجدول رقم 3: عوامل الفيديو القياسية

في الصورة المُشَابِكَة، الخطوط المَعْدودة المفردة (1,3,5، . . .) تَمَسَح ضوئياً بِنِصْفِ الوَقْتِ المُخَصَص (ومثال على ذلك: - 20 ms في نظام PAL) والخطوط المَعْدودة الم زِدْوَجَة (2,4,6، . . .) تَمَسَح ضوئياً في النِصْفِ البَاقِي. عَرْض الصَوْرَة يَجِب أَنْ يُنَسَقَ مَعَ صِيغَةِ المَسْحِ هَذِهِ. (انظر القِسم الخاص بِأَجْهَزة العَرْض) السَبَبُ لِمُشَابَكَةِ خُطُوطِ مَسْحِ صُورِ الفِيدْيُو هُوَ لُخْفِيَّةُ الإحْساس بِالرَّجْفَةِ فِي الصُّورِ المَعْرُوضَةِ. فِي حَالِ انْتِائِنْ خُطُوطِ لِإِسْتِعْمَالِ الصُّورِ الَّتِي مُسِخَتْ مِنْ مَصْدَرٍ فِيدْيُو مُشَابِكٍ، فَإِنَّهُ مِنَ المُّهِمِّ أَنْ نَعْرِفَ إِذَا مَا نِصْفِي الصُّورَةَ "مُزَجَّتَا" بِشَكْلِ مَلَائِمٍ لِإِسْتِعْمَالِ أَجْهَزةِ التَّحْوِيلِ الرَّقْمِيِّ أَوْ أَنَّهُ مِنَ الضَّرُورِيِّ الْقِيَامُ بِهَذِهِ الْعَمَلِيَّةِ بِإِسْتِعْمَالِ بَرَامِجٍ لِنَفْسِ الغَرَضِ. يَتَطَلَّبُ تَحْلِيلُ الأَجْسامِ المَتَحَرِّكَةِ عَنَاقِبَةً خَاصَّةً بِالفِيدْيُو المُشَابِكِ لِتَجَنُّبِ "تَعَرُّجِ" الحَافَاتِ.

عَدَدُ الصَّفُوفِ (n) مِنْ مَصْدَرِ الفِيدْيُو الَّذِي يَتَسَاوَى عَمُوماً بِخَطِّ مَعَ الخُطُوطِ فِي صُورَةِ الفِيدْيُو. عَدَدُ الأَعْمَدَةِ، عَلَى أَيْةِ حَالٍ، يَعْتَمِدُ عَلَى طَبِيعَةِ الإِلِكْتَرُونِيَّاتِ الَّتِي تُسْتَعْمَلُ لِتَحْوِيلِ إِلَى صُورٍ رَقْمِيَّةٍ. إِطْرٌ مُخْتَلِفٌ لِنَفْسِ آلَةِ تَصْوِيرِ الفِيدْيُو قَدْ تُنتِجُ $M = 384, 512$ ، أَوْ 768 عَمُود (نَقَاطَ شَاشَةٍ) لِكُلِّ خُطٍّ.

دليل الإرشاد للخرائط الثنائية (الأنماط النقطية)

الأنماط النقطية مُعَرَّفَةٌ كَشَبَكَةٍ مُسْتَطِيلَةٍ مُنْتَظِمَةٍ مِنَ الخَلَايَا تَدْعَى النَقَاطَ، كُلُّ نَقْطَةٍ تَحْتَوِي قِيَمَةَ لَوْنٍ. هَذِهِ النَقَاطُ مَعْرِفَةٌ بِعَاطِلِينَ، عَدَدُ النَقَاطِ وَمَحْتَوَى المَعْلُومَاتِ (عَمَقُ اللَوْنِ) لِكُلِّ نَقْطَةٍ. هُنَاكَ خَوَاصٌ أُخْرَى الَّتِي تُقَدَّمُ إِلَى الأنماطِ النقطية لَكِنَّا إِشْتِغَالَاتٍ مِنْ هَذَيْنِ الْعَامِلِينَ الأَسَاسِيِّينَ.



رُؤْيَا أَن الأنماط النقطية تُوجَّهُ دَائِماً بِشَكْلِ أَفْقِيٍّ وَعَمُودِيٍّ. النَقَاطُ يَجِبُ أَنْ تُؤْخَذَ بِعَيْنِ الإِعْتِبَارِ عَلَى شَكْلِ مَرَبَعٍ بِالرَّغْمِ مِنْ أَنَّهُمْ قَدْ يَكُونُ عِنْدَهُمْ نِسْبَةُ الطُّولِ لِلْعَرْضِ أُخْرَى عَمَلِيّاً. فِي أَغْلَبِ الحَالَاتِ الأنماط النقطية تُسْتَعْمَلُ لِتَمَثِيلِ الصُّورِ عَلَى الحَاسُوبِ. عَلَى سَبِيلِ المِثَالِ الصُّورَةُ التَّالِيَةُ هِيَ خَرِيطَةٌ ثَنَائِيَّةٌ الَّتِي لَهَا 397 نَقْطَةً أَفْقِيّاً، 294 نَقْطَةً بِشَكْلِ عَمُودِيٍّ، وَكُلُّ نَقْطَةٍ تَمْلِكُ قِيَمَةً رَمَادِيَّةً مُخْتَلِفَةً مِنْ 256 قِيَمَةً مُحْتَمَلَةً.



العمق (اللون)

كُلّ نقطة في الخريطة الثنائية تحتوي معلوماتاً مُتأكّدة، تفسر عادة كمعلومات اللون.. كمية معلومات اللون يُمكنُ أَنْ تُكوّنَ كيفما التطبيق يُطلّبُ لكن هناك بعض المعايير، الرئيسية منها موصوفة اسفلا.

خانة واحدة 1 bit (أسود وأبيض)

هذا محتوى المعلومات المحتمل الأصغر الذي يُمكنُ أَنْ يُحمَلْ لَكُلّ نقطة. إنّ خريطة البتّات الناتجة تشير إلى الصورة كأحادية اللون أو أسود وأبيض. إنّ نقاط الشاشة مع 0 تشير إلى الأسود، النقاط مع 1 تشير إلى الأبيض. نلاحظ أن حالتان هنا محتملتان هم يُمكنُ أَنْ يفسروا كأي لوان، 0 تُخطّط إلى لون واحد، 1 يُخطّط إلى اللون الآخر.

ثمانية خانات الرمادي (8 bit greys)

في هذه الحالة كُلّ نقطة تأخذ بايت (8 خانات) من التخزين يُؤدّي هذا إلى 256 حالة مختلفة. إذا هذه الحالات مُخطّطة من الأسود إلى الأبيض، خريطة البتّات تشير إلى صورة تدرجات الرمادي. بافتراض 0 يشير للأسود عادة و 255 للأبيض. إنّ المستويات الرمادية هي الأعداد في الوسط، على سبيل المثال، في مقياس خطّي 127 سيكوّن 50 % لمستوى الرمادي.



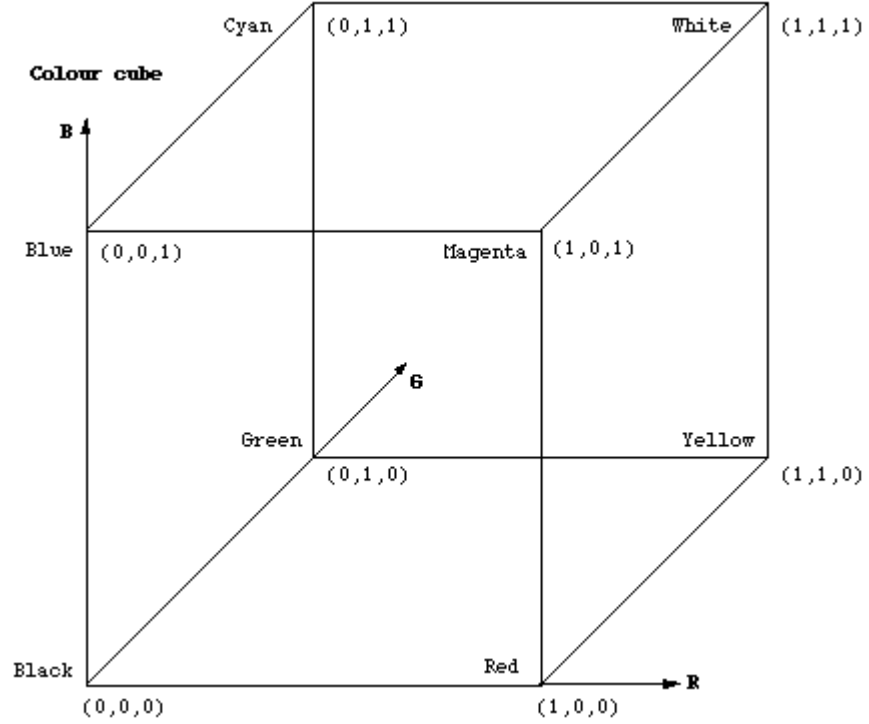
في التطبيقات المعيّنة، مدى القيم الرمادية يُمكنُ أَنْ يكوّن أيّ شيء، الأكثر شيوعاً لتخطيط المستويات 0-255 في المقياس 0-1 لكن بعض البرامج ستُخطّطها في المقياس 0-65535 مقياس.

24 قناة RGB (24 bit)

هذه الخطوة التالية من 8 خانات الرمادي، خصّص هنا 8 خانات إلى كُلّ من الأحمر، الأخضر، ومكوّن الأزرق. في كُلّ مكوّن، القيمة 0 تشير إلى أنه لا مساهمة لذلك اللون، 255 تشير لإشباع المساهمة بالكامل لذلك اللون. حيث أن كُلّ مكوّن له 256 حالة مختلفة هناك ما مجموعه 16777216 لون محتمل.



هذا الفكرة مِنْ نموذج RGB مفهوم أساسي في رُسوماتِ الحاسوب. في فضاءِ RGB أي لون مُمثَّل كنقطة داخل مكعب اللون بالإحداثيات المتعامدة r, g, b .

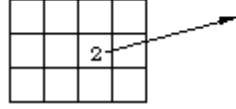


نُلاحظ ان القيم الومادية تُشكِّل خطَّ مستقيم مِنْ الأسود إلى الأبيض على طول قطرِ المكعب ، $r = g = b$.

اللون المفهرس 8 خانات

اللون المُفهرَس هو طريق أكثر إقتصادية مِنْ تَخْزِينِ أنماط اللون النقطية بدون إستعمال 3 بايتات لكل نقطة. كَمَا هو الحال مَعَ أنماط نقطية رمادية 8 خانات ، كُل نقطة لها بايت واحد إرتبطت به فقط، الآن القيمة في ذلك البايِت لَمْ تَعُد قيمة اللون لكن الدليل إلى جدول الألوان، المسماة منضدة اللون أو لوحة الألوان.

Index	Red	Green	Blue
0			
1			
2	0-255	0-255	0-255
3			
4			
254			
255			

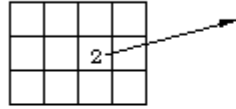


هناك عدد من الخواص المهمة مثل نظام اللون المُفهرس. إذا هناك أقل من 256 لون في الصورة فإن خريطة البتات ستكون نفس النوعية ك خريطة بتات 24 خانة لكنها يمكن أن تُخزن بثلث البيانات. التلوين المثير وتأثيرات الصور المتحركة يمكن أن يُنجزا ببساطة بتعديل لوحة الألوان، هذا يُغيّر ظهور خريطة البتات فوراً وبالتصميم الحذر يمكن أن يؤدي إلى تغييرات متعمدة في الظهور البصري لخريطة البتات. العملية المشتركة التي تُخفّض الحجم الكبير 24 خانة للخريطة الثنائية هي أن تُحوّلهم إلى اللون المُفهرس بلوحة الألوان المُحسّنة، تلك ، اللوحة التي تعطي أفضل تمثيل للألوان المتوفرة في خريطة البتات.

اللون المفهرس 4 خانات

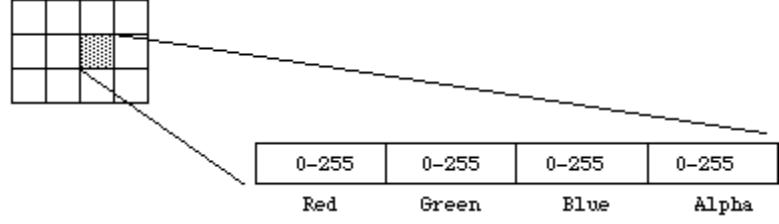
هذا مماثل إلى اللون 8 خانات فيها عدا انه هنا فقط نصف الهابت، 4 خانات مستعملة للدليل. هذا يدعم جدول بحدود 16 لون.

Index	Red	Green	Blue
0			
1			
2	0-255	0-255	0-255
3			
4			
14			
15			



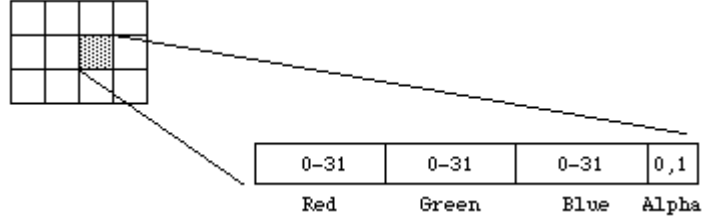
32 RGB خانة

هذا عادة تماماً مثل اللون 24 خانة لكن بخريطة 8 بتات إضافية المعروفة بقناة ألفا. هذه القناة يمكن أن تُستعمل لخلق المناطق المحبوبة أو تمثيل الشفافية.



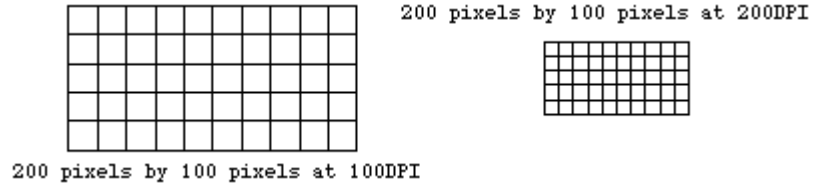
16 RGB خانة

هذا عموماً يُوجَّه نظاماً ب5 خانات لكلّ مكوّن لون و قناة ألفا خانة واحدة.



الوضوح

الوضوح خاصيّة خريطة البتّات الضرورية عندما ننظرُ الانماط النقطية بشكل بصري أو نطبّع لأن النقاط لوحدها ليس لها أبعاد واضحة. الوضوح يُحدّد عادة في عدد النقاط لكل بوصة لكن يُمكن أن يُكوّن من ناحية أخرى أي وحدة قياس أخرى. في الاجهزة مع $n \times n$ نقاط مستطيلة، الوضوح قد يُحدّد كعددان، الوضوح الأفقي والعمودي. مفهوم الوضوح أن يكون مستقل من محتوى معلومات خريطة البتّات الهعطي مهم جداً معطى عمق لون ثابت فإن محتوى المعلومات بين الأنماط النقطية المختلفة تُتعلّق بعدد النقاط فقط بشكل عمودي وأفقياً. النوعية على أية حال، عندما خريطة البتّات تُعرض أو نطبع نعتد على الوضوح. حيث أن الضوح يُقرّر حجم النقطة الذي هو يُمكن أيضاً أن يستعمل لتعديل حجم الصورة العامّة. تُعتبر خريطة البتّات التالية كمثال والتي بها 200 نقطة أفقياً و 100 نقطة بشكل عمودي. إذا خريطة البتّات هذه طُبعت في 100 DPI فإننا نقيس بوصتان ببوصة واحدة. إذا على أية حال نفس خريطة البتّات طُبعت في 200 DPI فإنها نقيس بوصة واحدة فقط بنصف البوصة.

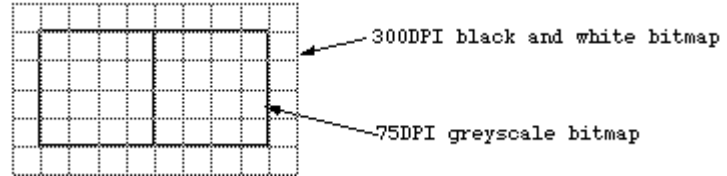


تحويل عمق اللون.

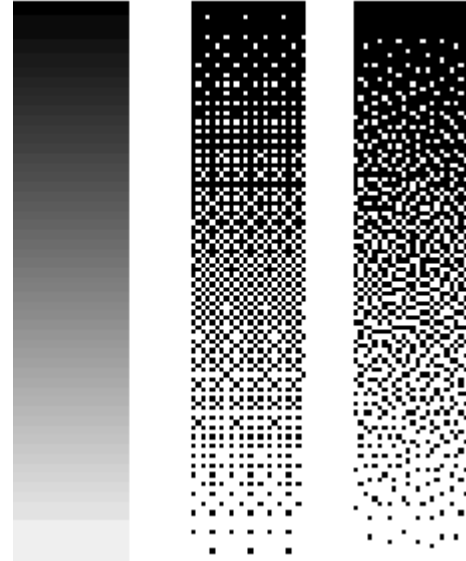
في أغلب الأحيان هذا ضروري لتمثيل خريطة البتّات بعمق لون واحد في أداة بقابليات عمق اللون المختلفة. بالطبع إذا أداة المخصصة لهذا الغرض لها لون أفضل من خريطة البتّات فإنه ليس هناك قضية حيث خريطة البتّات يُمكن أن

نُمثِّلُ بالضبط. في الحالة العكسية حيث الجهاز له قابليات مختلفة وأوطأ، فإن خريطة البتات يجب أن تُحوَّل إلى الشيء الذي تُعطي أفضل تمثيل محتمل.

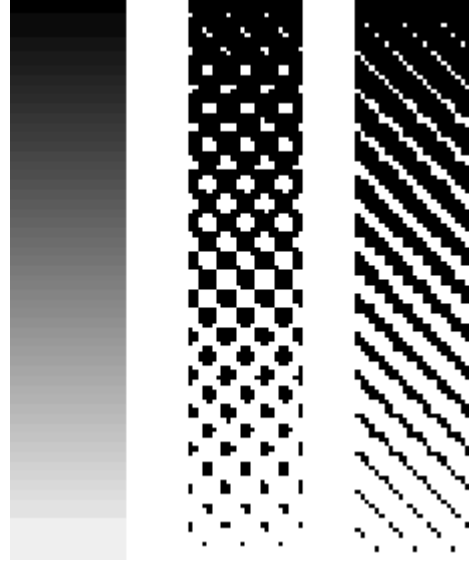
تُعتبر مشكلة تمثيل تدرجات الرمادي كمثال تُعكس على أدوات أحادي اللون (أسود وأبيض). هذا يُجزأ باستعمال العدد المتغير من النقاط السوداء والبيضاء لتمثيل المستوى الرمادي. لحسن الحظ الأداة السوداء والبيضاء لها وضوح أعلى بكثير عادة من خريطة البتات لذا هناك عدد من النقاط المتوفر لخلق تقريب تدرجات الرمادي. إعتبر خريطة بتات 75DPI لتدرجات الرمادي التي ستُعرض على طابعة 300 DPI السوداء والبيضاء. هناك المصفوفة 4 x 4 نقاط سوداء وبيضاء التي يمكن أن تُستعمل لتمثيل كل نقطة تدرجات الرمادي.



هناك عدد من التقنيات التي يمكن أن تُستعمل لتشكيل الترتيب المطابق للنقاط السوداء والبيضاء، تقنية واحدة تُدعى التردد (الحيرة). باستعمال التردد هناك الكثير من الخوارزميات المحتملة لتقرير ترتيب نقطة الحيرة. الصور التالية تعرض أمثلة (مكبّرة جداً) لاستعمال نمط و إنتشار التردد.



طريقة أخرى تسمى الفحص، هذه التقنية إستعملت في صناعة الطباعة. الفحص يعتمد على قريبي مستويات الرمادي بأجسام الحجم المختلفة (حجم الجسم نسبي إلى المستوى الرمادي) الأجسام مرتبة على مصفوفة منتظمة التي لها زاوية تميل إلى الأفق. إن أجسام التصوير المستعملة عموماً الأكثر نقاطاً وخطوطاً ومستطيلات. الصور التالية تعرض الأمثلة (مكبّرة جداً) لاستعمال نقطة وخط الفحص.



ما تم مناقشته أعلاه وأمثلة تحويل عمق اللون معطاة على صور تدرجات الرمادي. بالنسبة لتحويل عمق الصور الملونة العالية إلى اعتراضات عمق اللون المنخفضة ليست مختلفة في المبدأ، عموماً العملية ستنفذ ثلاث مرات، مرة واحدة لكل مكون لون.

تخزين خريطة البتات

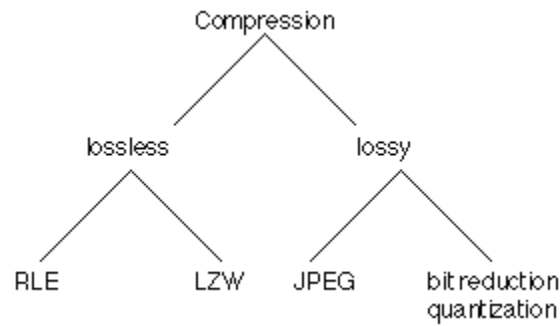
إنَّ الطريقَ الأكثرَ بساطةً لتخزين خريطة البتات أن تُدرج معلومات خريطة البتات، بايت بعد البايت، صفّاً بالصف. الملفات المخزنة بهذه الطريقة تسمى ملفات RAW في أغلب الأحيان. إنَّ حجم التخزين المطلوب على القرص لخريطة البتات سهلُ الحساب، حيث مُعطية أبعاد خريطة البتات (N x M) وعمق اللون (B). إنَّ الصيغة لحجم الملف في Kbytes هي التالية :

$$\text{size (KB)} = \frac{N * M * B}{8 * 1024}$$

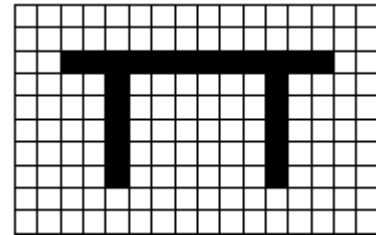
حيث N و M عدد النقاط الأفقية والعمودية، B عددُ الخانات لكل نقطة. يعرض الجدول التالي حجمُ ملفت بضعة أنواع لخرائط البتات.

image dimensions	colour depth	file size
128 x 128	1 bit	2 KB
	8 bits	16 KB
	24 bits	48 KB
256 x 256	1 bit	8 KB
	8 bits	64 KB
	24 bits	192 KB
1K x 1K	1 bit	128 KB
	8 bits	1 MB
	24 bits	3 MB

كما يمكن رؤيته من هذا الجدول، الصور بـ 24 خانة هي كبيرة و ستؤدي إلى الملفات الكبيرة جداً، لهذا الضغط يصبح مهم. هناك عدد كبير من صيغ الملفات المستعملة لتخزين وضغط الأنماط النقطية من العادي إلى المعقد جداً. هناك صنفان من صيغ الملف المضغوطة، بدون خسارة (يحتفظ بالأنماط النقطية بشكل مثالي) والثاني ببعض الخسارة. الصورة التالية تعرض الهيكلية الرئيسي لتقنيات الضغط.



إنّ وصف تقنية الضغط بدون خسارة الأسهل والمسمّاة (RLE) ذلك مستعمل بالتأثير الجيد للأنماط النقطية مع بضعة ألوان فقط. لنفترض الصورة الصغيرة التالية، 17 x 10 نقطة، 8 خانات.



إذا كان هذا مفترض ليخزن في الشكل RAW فهو سيحتاج إلى 16 بايت لكل صف لكل 10 صفوف. على أية حال الصفان الأولان متشابهان لذا هي أكثر كفاءة لتوفير عدد الألوان نفسها ببساطة في RLE. الصفان الأولان بدلاً من أن نحتاجا لـ 16 بايت نحتاج بايتين فقط. في الصيغة RAW، الصفوف الأولى الثلاثة ستكون

```

0 0 0 0 0 0 0 0 0 0 0 0 0 0 0 0
0 0 0 0 0 0 0 0 0 0 0 0 0 0 0 0
0 0 1 1 1 1 1 1 1 1 1 1 1 1 0 0
  
```

بلستعمل RLE الصفوف الأولى الثلاثة ستكون

```

16 0
16 0
2 0 12 1 2 0
  
```

الصيغ المحددة

هناك الكثير من صيغ حفظ الملفات والمستخدم في أنظمة المعالجة والتميز نعرض البعض منها هنا : PCX، PICT, PNG ,RAW ,PPM,BMP/DIB,GIF
نعطي هنا مثال لكود قراءة ملفات الصور PCX بلغة البرمجة C++

```

//*****
**
//***** Read Pcx File
*****
//*****
**
  
```

```

class READPCX {
private:
    byte BitsPerPixel;
    byte NPlanes;
    word BytesPerLine, Ylen, PaletteInfo, Y_MAX;
    word BlkLen;
    FILE *f, *pt;
    byte far *fptr;

    void read256col(word, word);
    void ReadBlk(word *, int);
public:
    char rdpcx(word, word, char *);
};

char READPCX ::rdpcx(word xl, word yu, char fname[MAXPATH+13])
{
    unsigned int CurPos, i;
    struct ffbblk ffbblk;

    if(findfirst(fname, &ffblk, 0) == -1) return(1); // file not found
    BlkLen = (word)coreleft();
    if(BlkLen > 0x8400) BlkLen = 0x8000;
        if(BlkLen > 1000) BlkLen = BlkLen - 600;
        else return(16);

    fptr = (byte *)calloc((unsigned long)BlkLen, sizeof(char));
    f = fopen(fname, "rb");
    if(fread(fptr, 1, 128, f) == 0)
    {
        free(fptr);
        fclose(f);
        return(4); // error read file
    }
    if(*fptr != 0x0a)
    {
        free(fptr);
        fclose(f);
        return(2); // not pcx format
    }

    BytesPerLine = ((word)*(fptr + 67) << 8) + *(fptr + 66);
    Ylen = (( (word)*(fptr + 11) << 8) +
        (word)*(fptr + 10)) -
        (( (word)*(fptr + 7) << 8) +
        (word)*(fptr + 6));

    BitsPerPixel = *(fptr + 3);
    PaletteInfo = *(fptr + 67);
    NPlanes = *(fptr + 65);

    if((BitsPerPixel == 8) && (NPlanes == 1)) read256col(xl, yu);
    else return(8); // not 256 color PCX
    free(fptr);
    fclose(f);
    return(0);
}

```

```
}
```

```
void READPCX ::read256col(word xl, word yu)
{
word Nstr;
word LenBuf;
word Pblk;
byte c;
byte symb;
int i;
float kx,ky;
char Pal[8] = {0xFF,0xFF,0xFF,0xFF,0xFF,0xFF,0xFF,0xFF};

    kx = (float)159 / (BytesPerLine - 1);
    ky = (float)159 / Ylen;
    //kx = 1;
    //ky = 1;
    setfillpattern(Pal,0);
    bar(xl-14,yu-1,xl+147,yu+129);

    Nstr = 0;
    LenBuf = 0;

    ReadBlk(&Pblk,0);

    while (Nstr <= Ylen)
    {
        c = *(fptr + Pblk);
        if (Pblk == BlkLen - 1) Pblk = -1;
        if(c - 0xC0 > 0)
        {
            symb = *(fptr + Pblk + 1);
            for(i = 0; i < c - 0xC0; i++)
                putpixel(xl+(int) ((LenBuf+i)*kx+0.55),
                    yu+(int) (Nstr*ky+0.55), symb);
            LenBuf+=(c-0xC0);
            Pblk+=2;
        } else
        {
            putpixel(xl+(int) (LenBuf*kx+0.55),
                yu+(int) (Nstr*ky+0.55), c);
            LenBuf++;
            Pblk++;
        }
        if(Pblk == BlkLen)ReadBlk(&Pblk,0);
        else
            if(Pblk == BlkLen - 1)
            {
                *fptr = *(fptr+Pblk);
                ReadBlk(&Pblk,1);
            }
        if(LenBuf >= BytesPerLine)
        {
            LenBuf = LenBuf - BytesPerLine;
            Nstr++;
        }
    }
}
```

```

    }
}

void READPCX :: ReadBlk(word *p,int s)
{
    *p = 0;
    if(s == 1) fptr++;
    fread(fptr,BlkLen-s,1,f);
    if(s == 1) fptr--;
}
//*****
//*****

```

أمثلة لأكواد تحديد وتغيير خرائط اللون بلغة البرمجة C++

```

void Set256Palette()
{
    unsigned int Seg;
    unsigned int Off,i;
    unsigned int CurPos;
    unsigned char Palette[768];
    struct REGPACK reg;

    CurPos = ftell(f);
    fseek( f, -768, SEEK_END);
    fread( Palette,768, 1, f);
    fseek( f,CurPos,SEEK_SET);

    for(i = 0;i < 768;i++) Palette[i] = Palette[i] >> 2;

    Seg = FP_SEG(Palette);
    Off = FP_OFF(Palette);

    reg.r_ax = 0x1012;
    reg.r_bx = 0;
    reg.r_cx = 256;
    reg.r_es = Seg ;
    reg.r_dx = Off ;
    intr(0x10,&reg);

}

void setvgapalette256(char PalBuf[768])
{
    struct REGPACK reg;
    reg.r_ax = 0x1012;
    reg.r_bx = 0;
    reg.r_cx = 256;
    reg.r_es = FP_SEG(PalBuf);
    reg.r_dx = FP_OFF(PalBuf);
    intr(0x10,&reg);
}

void setgray()
{

```



```

struct REGPACK reg;
char PalBuf[768];
float i,d,t;
int r,g,b,rg,v = 767;

    r=63;
    g=63;
    b=63;
    i = 63.0;
    d = 63.0 / 256.0;
    for( rg = 255; rg >= 1; rg--)
    {
        PalBuf[v--] = b;
        PalBuf[v--] = g;
        PalBuf[v--] = r;
        t = 0.11 * b + 0.59 * g + 0.3 * r;
        while(t >= i - d)
        {
            b--;
            if(b == 0)
            {
                b = 63;
                r--;
                if(r == 0)
                {
                    g--;
                    b = 63;
                    r = 63;
                }
            }
            t = 0.11 * b + 0.59 * g + 0.3 * r;
        }
        i = i - d;
    }
    PalBuf[0] = 0;PalBuf[1] = 0;PalBuf[2] = 0;
    setvgapalette256(PalBuf);
    sound(500);
    delay(20);
    nosound();
}

```

```

void SePal()
{
    struct REGPACK reg;

    setgray();
    reg.r_ax = 0x101b;
    reg.r_bx = 0;
    reg.r_cx = 256;
    intr(0x10, &reg);
}

```

```

void newpal( )
{

```

```

unsigned int L[256];
unsigned int S[256];

unsigned int Off,i,k,j,l,z;
unsigned int CurPos,w,w1;
float r1,b1,g1,dd,u1,u2,u3;
double x1,x2,root2,x3,root3,arcs,arcc,root0,min3;
FILE *stream,*stream1,*stream2;

root2=sqrt(2.0);
double root1=sqrt(3.0/2.0);
root0=sqrt(6.0);

struct REGPACK reg;
    stream = fopen("DUMMY.FIL", "w+");

for(k = 0;k < 256;k++)
{

    R[k]= Palette[k*3] ;
    G[k]= Palette[k*3+1];
    B[k]= Palette[k*3+2];

    //fprintf(stream2, "%d %d %d %d ",k, R[k], G[k],B[k]);

    //if(R[k]!=B[k]&&G[k]!=R[k]&&B[k]!=G[k])
    //{
    //x3=0.177*R[k]+0.587*G[k]+0.114*B[k];
    if(R[k]!=0&&G[k]!=0&&B[k]!=0)
    {
        x3=R[k]+G[k]+B[k];
        L[k]=(int)x3;

        r1=(float)R[k]/x3;
        b1=(float)B[k]/x3;
        g1=(float)G[k]/x3;
        if(r1<=g1)
        {
            if(r1<=b1)    min3=r1;
            else        min3=b1;
        }
        else
        {
            if(r1<=b1)    min3=g1;
            else        min3=b1;
        }

        x1=1-3*min3;
        S[k]=(int)x1;

        z=4;
    }
}

```

```

if ( (B[k]>G[k]&&B[k]>R[k]) || (R[k]==B[k]&&G[k]<B[k]&&G[k]<R[k]) || (R[k]==B
[k]&&G[k]>B[k]&&G[k]>R[k]))
{
    dd=2*b1-r1-g1;
    z=0;
}

if ( (R[k]>G[k]&&R[k]>B[k]) || (R[k]==G[k]&&B[k]<R[k]&&B[k]<G[k]) || (R[k]==B
[k]&&G[k]>B[k]&&G[k]>R[k]))
{
    dd=2*r1-g1-b1;
    z=1;
}

if ( (G[k]>R[k]&&G[k]>B[k]) || (B[k]==G[k]&&R[k]<B[k]&&R[k]<G[k]) || (R[k]==G
[k]&&B[k]>R[k]&&B[k]>G[k]))
{
    dd=2*g1-r1-b1;
    z=2;
}
//

//if(arcc > 1.0) arcc=1.0;
//if(arcc < -1.0) arcc=-1.0;
//dd=2*r1-g1-b1;
u3=((r1-0.33333)*(r1-0.33333)+(g1-0.33333)*(g1-0.33333)+(b1-
0.33333)*(b1-0.33333));
if(u3<0) u3*=(-1);
u3=sqrt(u3);
arcc=dd/(root0*u3);

if(arcc<=1&&arcc>=-1)
{
    x2 = acos(arcc);
}
//w=(int)((x2*180)/3.141593);
//T[k]=w;
}

if(z==0) w=(int)(240+(x2*180)/3.141593);
if(z==1) w=(int)((x2*180)/3.141593);
if(z==2) w=(int)(120+(x2*180)/3.141593);

if (w > 360)
w=(floor(w/360)*360);
T[k]=w;

//else
//w1=1;
}
/* else
{

```

```

if (R[k]==B[k] && G[k]==R[k] && B[k]==G[k])
{
    if (R[k]>= 128 && G[k] >= 128 && B[k]>=128)
        w1=1;
    else
        w1=1;
}
else
{

    if (R[k]==0&&B[k]==0&&G[k]!=0)        w=120;
    if (R[k]==0&&B[k]!=0&&G[k]==0)        w=240;
    if (R[k]!=0&&B[k]==0&&G[k]==0)        w=0;

    if (B[k]!=G[k] && R[k]!=G[k] && B[k]==R[k] && B[k]!=0)        w=300;
    if (R[k]!=B[k] && G[k]!=B[k] && R[k]==G[k] && R[k]!=0)        w=60;
    if (G[k]!=R[k] && B[k]!=R[k] && G[k]==B[k] && G[k]!=0)        w=180;

}

//}

    fprintf(stream, "%d %d ",k,w);
}
else w1=1;

if(w <= 13 && w >= 316)
{
    RR[k]= 255;
    GG[k]= 0;
    BB[k]= 0;
}
if(w <= 40 && w > 13)
{
    RR[k]= 255;
    GG[k]= 128;
    BB[k]= 0;
}
if(w < 107 && w > 40)
{
    RR[k]= 255;
    GG[k]= 255;
    BB[k]= 0;
}
if(w <=180 && w >=107)
{
    RR[k]= 0;
    GG[k]= 255;
    BB[k]= 0;
}

```

```

        if(w < 240 && w >180)
        {
            RR[k]= 0;
            GG[k]= 255;
            BB[k]= 255;
        }
        if(w <=282 && w >=240)
        {
            RR[k]= 0;
            GG[k]= 0;
            BB[k]= 255;
        }
        if(w< 316 && w > 282)
        {
            RR[k]= 255;
            GG[k]= 0;

            BB[k]= 255;
        }
        if(w1==1)
        {
            RR[k]= 255;
            GG[k]= 255;
            BB[k]= 255;
        }
        if(w1==0)
        {
            RR[k]= 0;
            GG[k]= 0;
            BB[k]= 0;
        }

        //fprintf(stream, "%d %d %d %d ",k,RR[k],GG[k],BB[k]);
    }

    for(i=0;i<256;i++)
    {
        Palette[i*3+0]=RR[i];
        Palette[i*3+1]=GG[i];
        Palette[i*3+2]=BB[i];
    }

    Seg = FP_SEG(Palette);
    Off = FP_OFF(Palette);

    reg.r_ax = 0x1012;
    reg.r_bx = 0;
    reg.r_cx = 256;
    reg.r_es =Seg ;
    reg.r_dx =Off ;
    intr(0x10,&reg);
    fclose(stream);
*/
}

```

أخذ عينات الصورة

تحويل الصورة المستمرة $a(x, y)$ إلى تمثيلها الرقمي $b[m, n]$ يتطلب عملية أخذ العينات. في نظام أخذ العينات المثالي $a(x, y)$ مُضاعَفُ ببسلة النبضات الثنائية الأبعاد المثالي:

$$\begin{aligned} b_{ideal}[m, n] &= a(x, y) \cdot \sum_{m=-\infty}^{+\infty} \sum_{n=-\infty}^{+\infty} \delta(x - mX_o, y - nY_o) \\ &= \sum_{m=-\infty}^{+\infty} \sum_{n=-\infty}^{+\infty} a(mX_o, nY_o) \delta(x - mX_o, y - nY_o) \end{aligned}$$

حيث X_o و Y_o مسافات أو فترات أخذ العينات، $\alpha(*, *)$ دالة النبضات المثالية، ونحن إستعملنا المثال (في وقت ما، بالطبع، دالة النبض $d(x, y)$ يُحوَّل إلى دالة النبض المنفصلة $d[m, n]$) يُشيرُ أخذ عينات بشكل المربع ضمناً إلى أن $X_o = Y_o$. أخذ العينات ببالة النبض تُقابلُ أخذ العينات بشكل نقطة متناهي الصغر. هذا، على أية حال، لا يُقابل الحالة العادية كما صُوِّرت في الرسم رقم 2. لأخذ تأثيرات فتحة أخذ العينات المحدودة $p(x, y)$ على الحساب، نحن يُمكنُ أن نُعدِّل نموذج أخذ العينات كالتالي:

$$b[m, n] = (a(x, y) \otimes p(x, y)) \cdot \sum_{m=-\infty}^{+\infty} \sum_{n=-\infty}^{+\infty} \delta(x - mX_o, y - nY_o)$$

إنَّ التأثيرَ المشترك للفتحة وأخذ العينات يفهم بشكل أفضل بفحص تمثيل مجال فوريير.

$$B(\Omega, \Psi) = \frac{1}{4\pi^2} \sum_{m=-\infty}^{+\infty} \sum_{n=-\infty}^{+\infty} A(\Omega - m\Omega_s, \Psi - n\Psi_s) \cdot P(\Omega - m\Omega_s, \Psi - n\Psi_s)$$

حيث أن:

$$\Omega_s = 2\pi/X_o$$

تردد أخذ العينات في إتجاه x

$$\Psi_s = 2\pi/Y_o$$

تردد أخذ العينات في إتجاه Y. إنَّ الفتحة $p(x, y)$ بشكل دوري هي مربع، دائرة، أو Gaussian مع العناصر المرتبطة $P(\Omega, \Psi)$. (انظر الجدول 4).

أخذ عينات الكثافة لمعالجة الصورة

لمنع التعرّج المحتمل (الذَّاخل) من الشروط الطيفية المتأصلة، هناك شرطان يجب أن تتوفرا:

• $A(u, v) -$ محدودية الموجة

$$|A(u, v)| \equiv 0 \quad \text{for} \quad |u| > u_c \quad \text{and} \quad |v| > v_c$$

• تردد أخذ عينات المحقق -

$$\Omega_s > 2 \cdot u_c \quad \text{and} \quad \Psi_s > 2 \cdot v_c$$

حيث u_c و v_c ترددات القطع في الاتجاهات x و y، على التوالي. الصور المُكتسبة من خلال العدسات محدودة الإنكسار والخالية من الانحراف والتمائلة بشكل دائري ستكوّن، عموماً، محدودة الموجات. يتأثر العدسة كمرشح مرور سفلي مع تردد قطع في مجال التردد والمعطلة من قبل:

$$u_c = v_c = \frac{2NA}{\lambda}$$

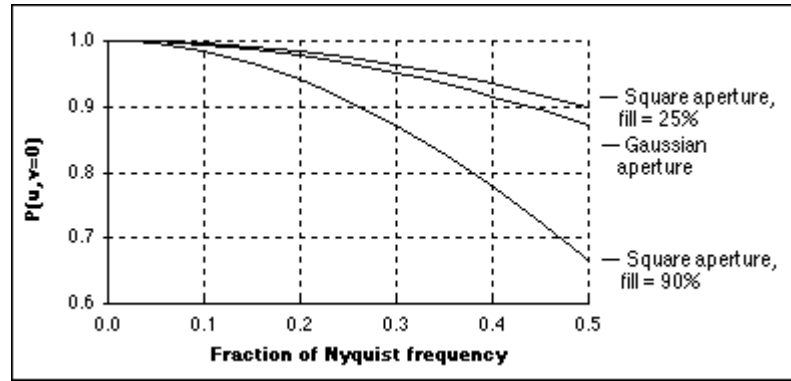
حيث أنَّ NA الفتحة العددية للعدسة و λ طول الموجة الضوئية الأقصر المستعمل مع العدسة. إذا العدسة لا تتوافق واحد أو أكثر من هذه الفرضيات فإنها ستبقى محدودة الموجة لكن في ترددات القطع الأدنى من المعطاة. عند التعامل مع العدد F- (F) للبرصيات بدلاً من NA وفي الهواء (بمعامل الانكسار = 1.0)، المعادلة تصبح:

$$u_c = v_c = \frac{2}{\lambda} \left(\frac{1}{\sqrt{4F^2 + 1}} \right)$$

أخذ عينات الفتحة

الفتحة $p(x, y)$ الموصوف اعلاه سيكون لديها فقط تأثير هامشي على الإشارة النهائية فيما إذا تحققنا شرط المعادلة. أعطي، على سبيل المثال، المسافة بين العينات X_0 تساوي Y_0 وعينات الفتحة الأضيق من X_0 ، التأثير على الطيف العام -- بسبب $A(u, v)P(u, v)$ دلّ عليه من قبل بالمعادلة. -- المصور في الرسم رقم 17 للمربع وفتحات Gaussian.

إنّ الأطياف مُقيّمة على طول واحد من محور تحويل فوريير الثنائي الابعاد. فتحة Gaussian في الرسم رقم 17 لها عرض مثل الذي لفترة أخذ العينات X_0 يحتوي $3 \pm 99.7\%$ من Gaussian. الفتحات المستطيلة لها عرض مثل الذي يحتل 95% من فترة أخذ العينات والآخرين يحتلون 50% من فترة أخذ العينات. 95% عرض تترجم إلى عامل الملء 90% و 50% عرض إلى عامل الملء 25% . عامل الملء شناقش في قسم آخر.



الرسم 17: أطياف الفتحة $P(u, v=0)$ للترددات إلى نصف، الترددات المحققة.

أخذ عينات الكثافة لتحليل الصورة

إنّ "القواعد" لإختيار كثافة أخذ العينات عندما يكون الهدف تحليل صورة -- بالمقارنة مع الحالة في معالجة الصورة -- مختلفة. إنّ الاختلاف الأساسي ذلك يتعلق بعملية تحويل الصورة الى صورة رقمية مما يعني ان الأجسام في الصورة تتحول إلى مجموعة نقاط تُقدّم على شكل ضوضاء التجزئة المكانية التي ليست محدودة الامواج. هذا يؤدي إلى النتائج التالية للإختيار لأخذ عينات الكثافة عندما الواحد مُهتّم بمقياس المنطقة و طول الحافة.

أخذ عينات لمقاييس المنطقة

لنفترض أخذ العينات المربع، $X_0 = Y_0$ والخوارزمية الغير متحيّزة لتخمين المنطقة ال تي تتضمن حساب النقاط البسيطة، CV (انظر المعادلة) من مقياس المنطقة المُتعلّق بكثافة أخذ العينات من قبل:

$$2D: \lim_{S \rightarrow \infty} CV(S) = k_2 S^{-3/2} \quad 3D: \lim_{S \rightarrow \infty} CV(S) = k_3 S^{-2}$$

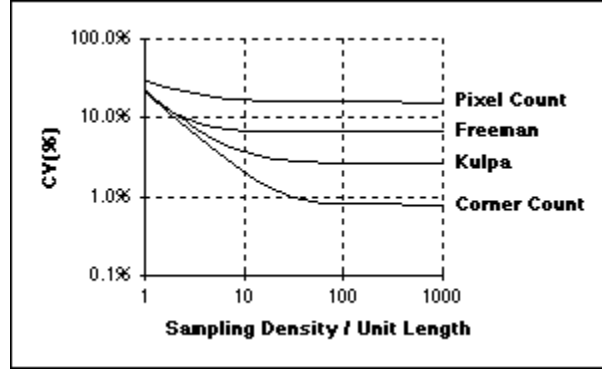
وفي أبعاد عدد D:

$$\lim_{S \rightarrow \infty} CV(S) = k_D S^{-(D+1)/2}$$

حيث أن S عدد العينات لكل قطر جسم. في ثنائي الأبعاد المقياس هو منطقة، في ثلاثي الأبعاد هو حجم، وفي D أبعاد هو متعدد الحجوم.

أخذ عينات لمقاييس الطول

لرقتُ أخذ عينات مربع ثنائية وخوارزميات لتخمين الطول مستندة على تمثيل رمز سلسلة فريمان (سيناقش لاحقاً)، CV لمقياس الطول يُعَلَقُ بكثافة أخذ العينات لكل وحدة طول، كما هو معروض في الرسم رقم 18.



الرسم 18: CV لمقياس الطول للخوارزميات المختلفة.

المنحنيات في الرسم رقم 18 طُورَتْ ضمن سياق الخطوط المستقيمة لكن نتائج مماثلة وُجِدَتْ للمنحنيات والمحيطات المغلقة. إن الصيغ المعينة لتقدير الطول تستعمل تمثيل رمز السلسلة للخط ومستندة على مجموعة خطية من ثلاثة أعداد:

$$L = \alpha \cdot N_e + \beta \cdot N_o + \gamma \cdot N_c$$

حيث أن N_e عدد رموز السلسلة المفردة، N_o عدد رموز السلسلة الزوجية، و N_c ، عدد الزوايا. إن الصيغ المعينة معطاة في الجدول رقم 7.

<i>Coefficients</i>	α	β	γ
<i>Formula</i>			
Pixel count	1	1	0
Freeman	1	$\sqrt{2}$	0
Kulpa	0.9481	$0.9481 * \sqrt{2}$	0
Corner count	0.980	1.406	-0.091

الجدول رقم 7: صيغ تقدير الطول المستندة على حساب رمز السلسلة (N_e, N_o, N_c)

إستنتاجات على أخذ العينات

إذا كنا نهتم بمعالجة الصور، فيجب أن نختار أخذ عينات الكثافة المستندة على النظرية البارزة الكلاسيكية، نظرية أخذ العينات المحققة. إذا نحن نهتم بتحليل الصورة، فيجب أن نختار أخذ عينات الكثافة المستندة على دقة المقياس المطلوبة (تحتيز) ودقة (CV). في حالة الحيرة، يجب أن نختار الأعلى من كثاقتي أخذ العينات (الترددات).

الضوضاء

الصور المكتسبة من خلال المحسّسات الحديثة قد تلوّث من قبل مجموعة من مصادر الضوضاء. بالضوضاء نُشيرُ إلى الاختلافات مقابل التشويهاات الحتمية مثل الظل أو ضعف البؤرة. نحن سنَقرضُ لهذا القسم بأننا نتعاملُ مع الصور المشكلة من الضوء بأستعمال بصريات كهربائية حديثة. بشكل خاص نحن سنَقرضُ إستعمال الأداة الشحنة-المزدوجة الحديثة (CCD) - هي آلات التصوير حيث تُنتج الفوتونات الألكترونيات التي تسمى عموماً باسم الكترونات الصور. على الرغم من هذا، أغلب الملاحظات التي نحن سنناقشها حول الضوضاء ومصادره المختلفة يَحملان على حد سواء لقيود التصوير الأخرى.

التقنية الحديثة جعلت من الممكن تخفيض مستويات الضوضاء المرتبطة بالأدوات الكهرو - بصرية المختلفة إلى المستويات الغير جديرة بالاهمية تقريباً، مصدر ضوضاء واحد لا يُمكن أن يُزال وهذا يُشكّل حالة ال تكدي عندما كُل مصادر الضوضاء الأخرى ممكن إزالتها.



ضوضاء الفوتون

الإشارة الطبيعية التي نلاحظها مستندة على الضوء، فإن الطبيعة الكمية للضوء تلعب دور هام. الفوتون الواحد في المستوى $\lambda = 500 \text{ nm}$ ، يحمل طاقة $E = h\nu = hc/\lambda = 3.97 \times 10^{-19} \text{ جول}$. آلات تصوير (CCD) الحديثة (الكاميرات) حساسة بما فيه الكفاية لكي تكون قادرة على حساب الفوتونات الفردية. (حساسية آلة التصوير سنناقش في قسم آخر). تنشأ مشكلة الضوضاء عن الطبيعة الإحصائية أساساً من إنتاج الفوتون. نحن لا نستطيع إفتراض ان، في النقطة المُعطاة لفترتي الملاحظة المتتاليتين لكن المستقلتين بلطول T ، نفس عدد الفوتونات سيَحسب. إنتاج الفوتون محكوم بقوانين الفيزياء الكمية التي تُكدنا في الكلام عن عدد متوسط من الفوتونات ضمن مجال الملاحظة المُعطى. إن توزيع الاحتمال لعدد p من الفوتونات في مجال الملاحظة ذو الطول T يحسب بالصيغة التالية:

$$P(p|\rho, T) = \frac{(\rho T)^p e^{-\rho T}}{p!}$$

حيث ρ هو عامل الكثافة أو النسبة مقاسا بالفوتونات على الثانية. من الصعب فهم ذلك حتى ولو لم يكن هناك مصدر ضوضاء آخر في سلسلة التصوير، التقلبات الإحصائية المرتبطة بحساب الفوتون على فترة وقت محدود T ما زالت تؤدي إلى نسبة الإشارة الى الضوضاء المحدودة (SNR). إذا نحن نستعمل الصيغة الملائمة ل SNR، فذلك بسبب الحقيقة بأن القيمة المتوسطة والانحراف المعياري مُعطى من قبل:

$$\text{average} = \rho T$$

$$\sigma = \sqrt{\rho T} \quad \text{- عملية Poisson}$$

لدينا لـ SNR:

$$SNR = 10 \log_{10}(\rho T) \text{ dB} \quad \text{ضوضاء فوتون -}$$

الفرضيات التقليدية الثلاث حول العلاقة بين الإشارة والضوضاء لا تُحْمَلِ لضوضاء الفوتون:

- ضوضاء فوتون ليست مستقلة عن الإشارة؛
- ضوضاء فوتون ليست Gaussian، و؛
- ضوضاء فوتون ليست مضافاً.

للإشارات اللامعة جداً، حيث ρT يتجاوز 10^5 ، تقلبات الضوضاء بسبب إحصائيات الفوتون يُمكن أن تُهْمَل إذا الحسَّاس له حدَّ إشباع عالي بما فيه الكفاية. هذا سيُناقش بشكل أوسع في قسم حساسية الكاميرات .

الضوضاء الحرارية

المصدر الإضافي للألكترونات في كاميرات CCD هو الطاقة الحرارية. الإلكترونات يُمكن أن تُتحرر من مادة (جسم) الكاميرات CCD نفسها خلال الإهتزاز الحراري وبعد ذلك، تنحصر في CCD، ويُكون متعذراً تمييزه عن الكترون الصور الحقيقي. بتبريد القطع الالكترونية (الرقائق) في CCD يمكن تخفيض و بشكل ملحوظ عدد الإلكترونات الحرارية التي تُسبب ضوضاء التيار الدافئ أو التيار المُظلم. بينما وقت التكامل T يزد، فان عدد الإلكترونات الحرارية يزد ايضا. إن توزيع احتمال الإلكترونات الحرارية هو عملية بحيث أن عامل النسبة هو دالة (وظيفة) متزايدة بالنسبة لدرجة الحرارة. هناك تقنيات بديلة (عن التبريد) لقمع التيار المُظلم وهذه تتضمن تخمين التيار المُظلم المتوسط عادة لوقت التكامل المُعطى وبعد ذلك نظرح هذه القيمة من قيم نقطة CCD قبل التحويل A/D (من كهربائي الى رقمي). بينما هذا يُخفّض المعدل الحالي المُظلم، هو لا يُخفّض الانحراف المعياري الحالي المُظلم وهو يُخفّض المدى الديناميكي المحتمل أيضاً للإشارة

ضوضاء الرقاقة الإلكترونية

هذه الضوضاء تُنشأ في عملية قراءة الإشارة من الحساس، في هذه الحالة من خلال تأثير الحقل للترنستور (FET) في رقاقة الـ CCD. إن الشكل العام لكثافة الطيف الكهربائية لضوضاء القراءة:

$$S_{rr}(\omega) \propto \begin{cases} \omega^{-\beta} & \omega < \omega_{\min} & \beta > 0 \\ k & \omega_{\min} < \omega < \omega_{\max} \\ \omega^{\alpha} & \omega > \omega_{\max} & \alpha > 0 \end{cases} \quad \text{ضوضاء القراءة -}$$

حيث β و α ثوابت و ω التردد الشعاعي في الإشارة المُحوّلة من رقاقة CCD إلى العالم الخارجي في نسب قراءة منخفضة جداً ($\omega_{\min} < \omega$). ضوضاء القراءة يُمكن أن تُحوّل للمستويات المقبولة بنسب قراءة ملائمة وإلكترونيات صحيحة. في المستويات البارزة المنخفضة جداً، على أية حال، ضوضاء القراءة لا يُزال مكوّن هام في SNR العام.

ضوضاء KTC

الضوضاء المرتبطة بمكثف اليبوابتي في FET تسمى ضوضاء KTC ويُمكن أن تُكوّن غير تافهة. القيمة RMS الناتجة لهذه الضوضاء الفولطية تحسب بالصيغة التالية:

$$\sigma_{KTC} = \sqrt{\frac{kT}{C}} \text{ (فولطية) - ضوضاء KTC}$$

حيث أن C سعة مفتاح بواب FET ، k ثابت Boltzmann ، و T درجة الحرارة المطلقة لواقعة CCD المقاسة في K . باستعمال العلاقات $Q = C \cdot V = N_e \cdot e^-$ ، قيمة الناتج RMS للضوضاء KTC أبدت من ناحية عدد الفوتونات (N_e) مُعطية من قبل:

$$\sigma_{N_e} = \frac{\sqrt{kTC}}{e^-} \text{ (ألكترونات) - ضوضاء KTC}$$

حيث أن e^- - شحن الألكترون. لـ $C = 0.5 \text{ pF}$ و $T = 233 \text{ K}$ هذا يعطي $N_e = 252 \text{ electrons}$. هذه القيمة ضوضاء "لوقت واحد" لكل نقطة والتي تُحدث أثناء القراءة المفردة وهذا مستقل عن وقت التكامل. التصميم الإلكتروني الصحيح الذي يقدم فائدة، على سبيل المثال، من أخذ العينات المضاعف المربوط وتكامل المنحدر الثنائي يُمكن أن يُزيل ضوضاء KTC تقريباً بالكامل.

ضوضاء المضخم

إن النموذج القياسي لهذا النوع من الضوضاء مضاف، لـ Gaussian، ومستقل عن الإشارة. في الإلكترونيات الحديثة والهصمة من بشكل جيد ، ضوضاء المضخم تافهة عموماً. الاستثناء الأكثر شيوعاً من هذه هو في آلات تصوير الملورة حيث أنه يتم تكبير بشكل ألكس في قناة اللون الأزرق من قناة اللون الأخضر أو قناة اللون الأحمر مما يؤدي إلى ضوضاء أكثر في القناة الزرقاء.

ضوضاء التجزئة

ضوضاء التجزئة (عند الانتقال الى التمثيل الرقمي للإشارة) متصلة في عملية سعة التجزئة وتحدث في التحويل من النظير (الكهربائي) إلى الرقمي، ADC. إن الضوضاء مضافاً ومستقلة عن الإشارة عندما يكون عدد المستويات $L \geq 16$. هذا مكافئ إلى $B \geq 4 \text{ bits}$. الإشارة التي حوّلت إلى الشكل الكهربائي وهذا لها قيمة كهربائية دنيا وقصى. المعادلة المعطاة سابقاً هي الصيغة الملائمة لتحديد SNR. إذا ADC معدل لكي يصبح 0 هذا يرتبط بلقيمة الكهربائية الدنيا 2^{B-1} يُقابل القيمة الكهربائية القصوى فإن:

$$SNR = 6B + 11 \text{ dB} \text{ - ضوضاء التجزئة}$$

لـ $B \geq 8 \text{ bits}$ ، هذا يعني $SNR \geq 59 \text{ dB}$. ضوضاء التجزئة يُمكن أن تكون مهمة عادة بينما SNR الكلي للآلة النظام يُسيطر نموذجياً من قبل SNR الأصغر. في آلات التصوير CCD هذه تعتبر ضوضاء فوتون.

آلات التصوير

إن آلات التصوير (الكاميرات) وأجهزة التسجيل المتوفرة لتطبيقات معالجة الصور الرقمية الحديثة تتغير بسرعة هامة. لإعتماد طويل جداً في هذا المجال على نوع رئيسي واحد من آلة التصوير، مثل آلات التصوير CCD، ولإهمال التطورات في المجالات الأخرى مثل آلات التصوير، أداة حقن الشحنة (CID) وآلات التصوير CMOS أن يُخاطروا بالزوال. على الرغم من هذا، التقنيات التي تُستعمل لتمييز آلة تصوير CCD تبقى "عالمية" والتقديم الذي يُلِي يضع سياق تقنية CCD الحديثة بهدف الإيضاح.

الخطية

من الواضح عموماً ان العلاقة بين إشارة الم دخل الطبيعية (ومثال على ذلك: - فوتونات) وإشارة الناتج (ومثال على ذلك: - فولتية) تكون خطية. رسمياً هذا يعني (كما في المعادلة) بحيث انه إذا عُدنا صورتان ، a و b، وثابتان معقدان إعتباطيان ، w 1 و w 2 و إستجابة خطية لآلة التصوير ، فإن:

$$c = R\{w_1 a + w_2 b\} = w_1 R\{a\} + w_2 R\{b\}$$

حيث أن $R\{*\}$ إستجابة آلة التصوير و c ناتج آلة التصوير. في الممارسة، العلاقة بين الم دخل a والفايح c تُعطي كثيراً من قبل:

$$c = gain \cdot a^{\gamma} + offset$$

حيث γ غاما متوسط التسجيل. لنظام تسجيل خطي حقيقي نحن يجب أن يكون عُدنا $\gamma = 1$ و $offset = 0$. لسوء الحظ، $offset$ على الاغلب لا يساوي صفر وهكذا نحن يجب أن نعوّض هذا إذا كانت النية أن تنتزع مقاييس الكثافة. تقنيات التعويض ستناقش في قسم لاحق. القيم المثالية التي قد تُصادف مُدرجة في الجدول رقم 8. آلات التصوير الحديثة لها القدرة في أغلب الأحيان للتحلّل إلكترونياً بين القيم المختلفة γ .

الحساس	السطح	γ	الفوائد المحتملة
رقاقة CCD	سيليكون	1.0	خطية
Vidicon Tube	Sb_2S_3	0.6	مدى ديناميكي مضغوط يعطي مشاهد مقارنة عالية
فيلم	Silver halide	< 1.0	مدى ديناميكي مضغوط يعطي مشاهد مقارنة عالية
فيلم	Silver halide	> 1.0	مدى ديناميكي موسع يعطي مشاهد مقارنة منخفضة

الجدول 8: مقارنة الحساسات المختلفة

الحساسية

هناك طريقتان لوصف حساسية آلة تصوير:

- أولاً، نحن يمكن أن نُقرّر العدد الأدنى للفوتوليكترون القابل للكشف. هذا يمكن أن يُعَيّن الحساسية المطلقة.
- الثانية، نحن يمكن أن نصّف عدد الفوتوليكترون الضروري للتعبير من مستوى سطوع رقمي لآخر، ذلك، لتغيير من التمثيل التماثلي إلى الوحدة الرقمية (ADU). هذا يمكن أن يُعَيّن الحساسية النسبية.

الحساسية المطلقة

لتحديد الحساسية المطلقة نحتاج لخصائص آلة التصوير المتعلقة بالضوء. إذا الضوء الكنتية لها σ ، لنقل، 100 فوتوليكترون، فإنه و لضمان إكتشاف الإشارة فلننا يمكن أن نقول بأن في المستوى σ^3 ، الإشارة القابلة للكشف الدنيا (أو الحساسية المطلقة) ستكون 300 فوتوليكترون. إذا كل مصادر الضوء المدرجة في القسم السابق، باستثناء ضوء الفوتون، يمكن أن تتحول لمستويات تافهة، هذا يعني بأن الحساسية المطلقة لأقل من 10 فوتوليكترون قابلة للإنجاز بالتقنية الحديثة

الحساسية النسبية

تعريف الحساسية النسبية، S، أعطى فوق عندما زأوج إلى الحالة الخطية ، مع $\gamma=1$ ، يفود فوراً إلى النتيجة:

$$S = 1/\text{gain} = \text{gain}^{-1}$$

مقياس الحساسية يُمكن أن يُؤدَى في طريقتين مُتميزتين.

- إذا، الإشارة المدخلة a يمكن التحكم بها بدقة بزمن مصراع الكاميرا أو بالكثافة (من خلال مرشحات الكثافة المحايدة)، فإن المكسب يُمكن أن يُخَمَّن بتخمين منحدر منحنى الخط المستقيم الناتج. لترجمة هذا إلى الوحدات المطلوبة، على أية حال، المصدر القياسي الذي يجب أن يُستعمل هو الذي يُصدر عدد معروف من الفوتونات في حراس آلة التصوير والكفاءة الكمية (η) للحراس يجب أن تُعرَّف. تشير الكفاءة الكمية إلى كم من الفوتوالكترون أُنتج -- في المعدل -- لكل فوتون في طول موجة مُعطى. عموماً $\eta(\lambda) \Rightarrow 0$.

- إذا، التأثير المُحدّد لآلة التصوير فقط هو ضوضاء الفوتون، فإنه سهل لتطبيق، تقنية بديلة متوفرة لتقرير الحساسية. إستعمال المعادلات، وبعد التعويض للتعديل، الحساسية المقاسة من صورة c تحسب بالصيغة التالية:

$$S = \frac{E\{c\}}{\text{Var}\{c\}} = \frac{m_c}{s_c^2}$$

حيث m_c و s_c مُعرَّف في المعادلات.

البيانات المدروسة لخمس تشكيلات حديثة (1995) لآلات التصوير CCD مدجة بالجدول رقم 9.

Camera Label	Pixels	Pixel size $\mu\text{m} \times \mu\text{m}$	Temp. $^{\circ}\text{K}$	S e^{-}/ADU	Bits
C-1	1320 x 1035	6.8 x 6.8	231	7.9	12
C-2	578 x 385	22.0 x 22.0	227	9.7	16
C-3	1320 x 1035	6.8 x 6.8	293	48.1	10
C-4	576 x 384	23.0 x 23.0	238	90.9	12
C-5	756 x 581	11.0 x 5.5	300	109.2	8

الجدول 9: مقاييس الحساسية. نلاحظ ان آلة تصوير الأكثر حساسية لها اقل قيمة S .

إن الحساسية الإستثنائية لآلات التصوير CCD الحديثة واضحة من هذه البيانات. في الدرجة - العلمية آلة التصوير CCD (C-1)، فقط 8 فوتوالكترون (تقريباً 16 فوتون) تفصل مستويان لتدرجات الرمادي في التمثيل الرقمي للصورة. إلى حد كبير أقل آلة تصوير فيديو عالية (C-5)، فقط حوالي 256 فوتوالكترون (تقريباً 512 فوتون) تقسم مستويان من تدرجات الرمادي.

SNR

كما وُصِفَ في القسم السابق، في أنظمة آلات التصوير الحديثة، الضوضاء تُحدّد كثيراً من قبل:

- ضوضاء مضخم في حالة آلات التصوير الملون
- ضوضاء حرارية التي، تُحدّد بدرجة حرارة الرقاقة K ووقت التعرّض T
- ضوضاء الفوتون التي تُحدّد بنسبة إنتاج الفوتون P ووقت التعرّض T .

الضوضاء الحرارية (تيار مظلم)

باستخدام تقنيات التبريد المستندة على عناصر تبريد Peltier وهي ببساطة إبقاء درجة حرارة الرقاقة بين 230 إلى 250 K. هذا يؤدي إلى نسب إنتاج إلكترون حرارية منخفضة. كمقياس للضوضاء الحرارية، نحن نُنظر إلى عدد الثواني الضروري لإنتاج العدد الكافي من الإلكترونات الحرارية للانتقال من مستوى سطوع لآخر، ADU، في غياب الإلكترونات الضوئية. هذا الشرط الأخير -- غياب الإلكترونات الضوئية -- السبب لتسمية التيار المظلم. البيانات المدروسة لآلات التصوير الخمس الموصوفة اعلاه موضحة في الجدول رقم 10.

Camera Label	Temp. K	Dark Current Seconds/ADU
C-1	231	526.3
C-2	227	0.2
C-3	293	8.3
C-4	238	2.4
C-5	300	23.3

الجدول 10: خصائص الضوضاء الحرارية

آلة تصوير الفيديو (C-5) لها تيار إخماد مظلم على الرقاقة. التشغيل في درجة حرارة الغرفة، هذه الكاميرا تتطلب أكثر من 20 ثانية لإنتاج تغيير ADU واحد بسبب الضوضاء الحرارية. هذا يعني في إطار الفيديو التقليدي ونسب التكامل من 25 إلى 30 صورة بالثانية (انظر الجدول 3)، الضوضاء الحرارية تافهة.

ضوضاء الفوتون

رأينا كيف انه ممكن زيادة SNR بزيادة وقت تكامل الصورة وهذا يأسر فوتونات أكثر. النقاط في آلات التصوير CCD لها، على أية حال، قدرة جيدة محدودة. هذه القدرة المحدودة، C، تعني ان SNR الأقصى لآلة التصوير CCD لكل نقطة مُعطاة من قبل:

$$SNR = 10 \log_{10}(C) \text{ dB} \quad \text{ضوضاء الفوتون المحدودة قدرة -}$$

البيانات المحسوبة لآلات التصوير الخمس الموصوفة اعلاه موضحة في الجدول 11.

Camera Label	C #e-	Theor. SNR dB	Meas. SNR dB	Pixel size $\mu\text{m} \times \mu\text{m}$	Well Depth #e- / μm^2
C-1	32,000	45	45	6.8 x 6.8	692
C-2	340,000	55	55	22.0 x 22.0	702
C-3	32,000	45	43	6.8 x 6.8	692
C-4	400,000	56	52	23.0 x 23.0	756
C-5	40,000	46	43	11.0 x 5.5	661

الجدول 11: خصائص ضوضاء الفوتون

نُلاحظ انه لبعض آلات التصوير، يُنجزُ SNR المدروس، لحدّ أعلى يُشيرُ بأن SNR، في الحقيقة، فوتون وقدره محددة. منحنيات الـ SNR مقابل T (وقت التكامل) متّسق مع المعادلات . كما يُمكن أيضاً أن يظهر ، كنتيجة لتقنية CCD، "عمق" النقطة في CCD ثابت، حوالي $0.7 \text{ ke}^- / \text{um}^2$

التظليل

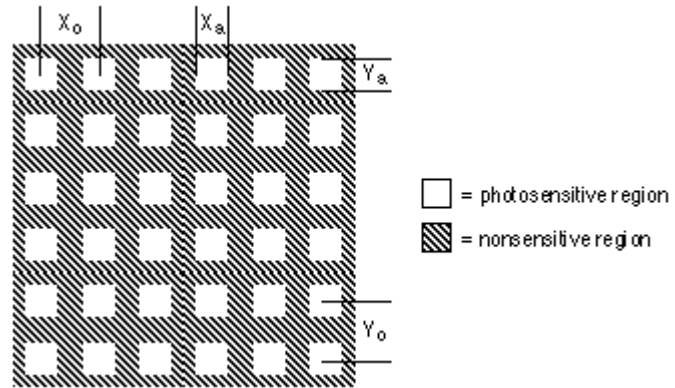
نتُجّ عملياً كل أنظمة التصوير التظليل (الظل). بهذا نحن نَعني بأنّ إذا الصورة المدخلة الطبيعية $a(x, y)$ ثابتة، فإن النسخة الرقمية للصورة لن تكون ثابتة. مصدر التظليل قد يكون خارج آلة التصوير مثل في حالات إضاءة المشهد أو نتيجة آلة التصوير نفسه حيث المكسب والتعديل ($gain$ and $offset$) قد يتفاوتان من نقطة إلى أخرى. إنّ النموذج المعطى للتظليل هو التالي:

$$d[m, n] = gain[m, n] \cdot a[m, n] + offset[m, n]$$

حيث $a[m, n]$ - الصورة الرقمية التي يُمكن أن تُسجّل لولا وجود التظليل في الصورة، التي هي $a[m, n]$ = ثابت. التقنيات لتخفيض أو إزالة تأثيرات التظليل ستناقش في قسم آخر.

شكل نقطة شاشة

بينما النقاط الموضحة في الرسم رقم 2 تبدو نقاط مربع ولتغطية الصورة المستمرة، من المهم معرفة الهندسة (قياس المسافات) لآلة التصوير / نظام الترقيم المُعطاة. في الرسم رقم 19 نُعرّف العوامل المحتملة المرتبطة بآلة التصوير ونظام الترقيم (التحويل الى رقمي) والتأثير عندّه على نقطة الشاشة.

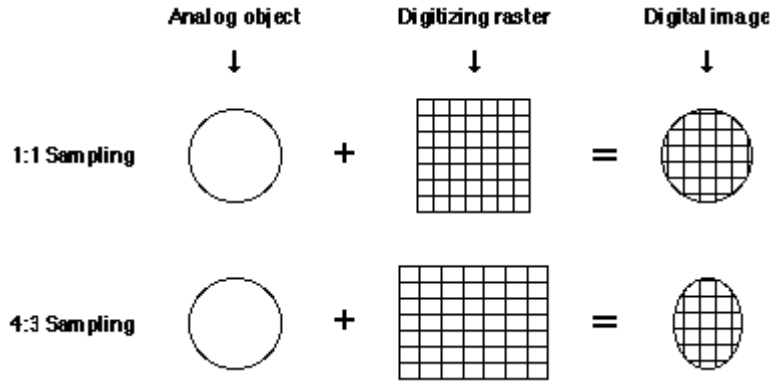


الرسم 19: عوامل شكل النقطة

إنّ العوامل X_0 و Y_0 المباعدة بين مراكز النقط ويُمثّلان مسافات أخذ العينات من المعادلة. إنّ العوامل X_a و Y_a هي أبعاد ذلك الجزء من سطح آلة التصوير الحساس للإضاءة. كما هو مذكور في قسم سابق، ان أنظمة ترقيم فيديو مختلف يُمكن أن تتخذ قيم مختلفة لـ X_0 بينما لديهم قيمة مشتركة لـ Y_0 .

نقاط الشاشة المربعة

كما هو مذكور في قسم سابق، يُشيرُ أخذ عينات المربع ضمناً إلى أن $X_0 = Y_0$ أو بدلاً عن ذلك $X_0 / Y_0 = 1$. كما هو ليس غير عام، على أية حال، لإيجاد الإطار حيث $X_0 / Y_0 = 1.1$ أو $X_0 / Y_0 = 4/3$. (تجاري هذه الصيغة الأخيرة صيغة التلفزيون التجاري. شاهد الجدول 3). الخطر المرتبط بالنقاط الغير-مربع هو ان الأجسام الاستوائية التي مسحت بنقاط غير - المربع قد تظهر استوائية على شاشة عرض آلة التصوير لكن تحليل الأجسام (مثل الطول إلى نسبة العرض) سيعطي نتائج غير استوائية. هذا مُوضح في الرسم رقم 20.



الرسم 19: تأثير نقاط الشاشة الغير مربع

النسبة X_o / Y_o يُمكن أن تحدد لأي آلة تصوير / نظام ترقيم معينة، بإستعمال مخطط إختبار التحديد بالمسافات المعروفة في الإتجاه الأفقي والعمودي. هذا سهل للتنفيذ بإستخدام طابعات الليزر الحديثة. بعد ذلك ممكن مسح مخطط الإختبار و تحدد مسافات أخذ العينات X_o و Y_o .

عامل الملء

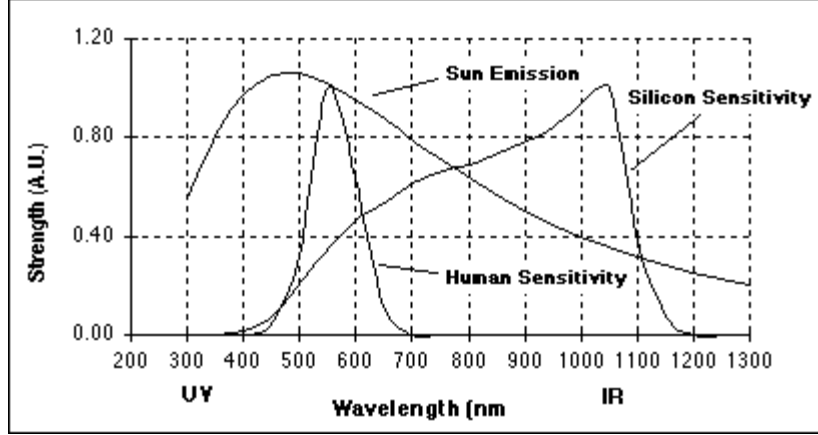
في آلات التصوير CCD الحديثة من المحتمل ان جزء سطح آلة التصوير ليس حساس للإضاءة وبدلاً من ذلك إستعملت لإلكترونيات CCD أو لمنع وهج الإشعاع. حيث انه يحدث عندما CCD مملوء بشكل جيد (انظر الجدول 11) ونقيض الالكترونات الضوئية الإضافية إلى مناطق CCD المجاورة. المناطق المضادة للوهج بين مواقع CCD النشيطة يمكن أن تُستعمل لمنع هذا. هذا يعني، بالطبع، بأن جزء من الفوتونات القادمة مفقودة بينما يضربون الجزء غير الحساس لرقاقة CCD. إن جزء السطح الحساس للإضاءة يُعَيَّن عامل الملء ومُعطى من قبل:

$$fill\ factor = \frac{X_o \cdot Y_a}{X_a \cdot Y_o} \times 100\%$$

عامل الملء الأكبر حيث الضوء الأكثر سيأسر بالرقاقة إلى الحد الأقصى 100 %. هذا يُساعد على تحسين SNR. كمبادلة، على أية حال، القِيم الكمية لعامل الملء تعني صفًل مكاني أكثر بسبب تأثير الفتحة الموصف في قسم سابق. هذا موضح في الرسم رقم 15.

الحساسية الطيفية

الحساسات، كتلك الموجودة في آلات التصوير والفيديو، ليست حساسة على حد سواء إلى كل أطوال الموجات الضوئية. إن الحساسية الطيفية لحساس CCD موضحة في الرسم رقم 21.



الرسم 21: الخصائص الطيفية للسيليكون، الشمس، والنظام البصري الإنساني. UV = فوق البنفسجي IR = تحت الأحمر.

الحساسية العالية للسيليكون في الموجات تحت الحمراء تعني، للتطبيقات التي بها كاميرات CCD (أو أي أساس سيليكون آخر) أن تستعمل كمصدر الصور في أنظمة معالجة وتحليل الصور الرقمية، الإعتبار يجب أن يُعطى لإستعمال مرشح (فلتر) منع IR. يمنع هذا المرشح أطوال الموجات فوق 750 nm. وهكذا يمنع "تضبيب" الصورة من أطوال الموجات الأطول الموجودة في نور الشمس. بدلاً من ذلك، الآلات التصوير على أساس CCD يمكن أن تحتوي على حراس ممتاز للموجات قرب مدى موجات تحت الحمراء من 750 nm إلى 1000 nm.

سرعة مصراع الكاميرا (وقت التكامل)

إن المدة المفروضة لإخذ الصورة - حيث تُجمع الفوتونات -- قد تتغير في بعض آلات التصوير أو قد تتفاوت على أساس صيغ الفيديو المختلفة (انظر الجدول 3). للأسباب التي يجب أن تعمل بعوامل التصوير الفوتوغرافي، هذه المدة تحدد سرعة مصراع الكاميرا، عادة، بالرغم من أن وقت التكامل سريع وصفت أكثر ملائمة.

آلات تصوير الفيديو

قيم سرعة المصراع المنخفضة كـ 500 ns متوفرة بآلات التصوير الفيديو CCD المتوفرة بشكل تجاري بالرغم من أن السرعة الأكثر تقليدية للفيديو NTSC) ms 33.37 و PAL, SECAM) ms 40.0. قيم بارتفاع 30 s أيضاً مُنجزّة ببعض آلات تصوير الفيديو بالرغم من أن هذا يعني تضبيب بسيل مستمر من صور الفيديو الذي يحتوي الإشارة لمصلحة صورة متكاملة وحيدة وسط سيل الصور الفارغة عادةً. أجهزة التحويل إلى رقمي اللاحقة يجب أن تكون قادرة على معالجة هذه الحالة.

آلات التصوير العلمية

قيم منخفضة كـ 500 ns محتلمة، وبتقنيات التبريد المستندة على تبريد Peltier أو التبريد بالفنتروجين السائل، أوقات التكامل بزيادة عن ساعة واحدة تُنجز بسهولة.

درجة القراءة

إن الدرجة التي تُقرأ فيها البيانات من رقاقة الحساس تُعَيّن نسبة القراءة. درجة القراءة لآلات تصوير الفيديو القياسية تعتمد على عوامل إطار الملتقط بالإضافة إلى آلة التصوير. درجة القراءة مُعطية من قبل:

$$R = \left(\frac{\text{images}}{\text{sec}} \right) \cdot \left(\frac{\text{lines}}{\text{image}} \right) \cdot \left(\frac{\text{pixels}}{\text{line}} \right)$$

بينما الوحدة الملائمة لوصف درجة القراءة يجب أن تكون نقاط / ثانية، التعبير z يُوجد كثيراً في المراجع وفي مواصفات الكاميرات؛ نحن سنستعمل الوحدة الأخيرة. آلات تصوير الفيديو بالنقاط المربعة، هذا يعني:

<i>Format</i>	<i>lines / sec</i>	<i>pixels / line</i>	<i>R (Mz.)</i>
NTSC	15,750	(4/3)*525	~11.0
PAL / SECAM	15,625	(4/3)*625	~13.0

الجدول 12: درجة قراءة آلات تصوير الفيديو

نلاحظ ان القيم في الجدول 12 تقريبية. القيم المضبوطة لأنظمة النقطة المربعة تتطلب معرفة مضبوطة عن طرق ترقيم الفيديو (إطار الالتقاط) التي تجزئ كل خط فيديو. درجة القراءة المستعملة في آلات تصوير الفيديو تعني أن الضوضاء الإلكترونية الموصوفة في قسم سابق تحدث بحدود طيف الضوضاء، وصفت من قبل $\omega > \max$ حيث زيادات الضوضاء الكهربائية بشكل متزايد. ضوضاء القراءة يمكن أن تكون هامة في آلات تصوير الفيديو. آلات التصوير العلمية تستعمل درجة القراءة الأبطأ لكي تخفض ضوضاء القراءة. تُقدر القيم المثالية للقراءة لآلات التصوير العلمية، مثل تلك الموصوفة في الجداول 9، 10، و 11، بـ 20 kHz, 500 kHz, and 1 Mz to 8 Mz.

شاشات العرض

شاشات العرض المستعملة لمعالجة الصور -- خصوصاً أنظمة العرض المستعملة بالحاسبات -- لها عدد من الخصائص التي تساعد على تقرير نوعية الصورة النهائية.

نسبة التحديث

نسبة التحديث معرفة كعدد الصور الكاملة الذي يعرض على الشاشة بالثانية الواحدة. للفيديو القياسي، نسبة التحديث ثابتة في القيم المعطاة في الجدول رقم 3.

المشابكة

لمنع ظهور الرجة البصرية في نسب التحديث تحت 60 صورة / بالثانية، شاشة العرض يمكن أن تُشابك كما وُصف في قسم سابق. يُشابك المعيار لأنظمة الفيديو 2:1. حيث ان المشابكة ليست ضرورية في نسب التحديث التي فوق 60 صورة / بالثانية، تُشابك 1:1 مستعمل بمثل هذه الأنظمة. بكلمة أخرى، الخطوط مسخوبة في موديل متسلسلة عادية: 1,2,3,4,...,N.

دقة العرض

إن النقاط المخزنة في ذاكرة الحاسوب، بالرغم من أنهم مُشتقون من مناطق القطاع المحدودة في المشهد الأصلي، يمكن ان نعتبرها كنقاط رياضية ليس لها مدى طبيعي (فيزيائي). عندما نعرض الصور، فإن المسافة بين النقاط يجب أن تُملأ. هذا يحدث كنتيجة لحجم البقعة المحدود عموماً لأنبوب أشعة القطب السالب (CRT). إن لمحة السطوع لبقعة CRT هي تقريباً Gaussian وعدد البقع الذي يمكن أن يقرر على شاشة العرض يعتمد على نوعية النظام. من السهل

نسبياً الحُصُول على أنظمة العرض مع دقة عرض مِنْ 72 بُقعة لكل بوصة (28.3 بُقعة لكل سنتيمتر) يُقابل هذا العدد المعيار الذي يستعمل في الطباعة ايضاً. إذا الطباعة أيسر ذات إعتبار فإن دقة العرض الأعلى، في الزيادة مِنْ 30 بُقعة لكل سنتيمتر، سهلة المنال.

الأدوات

بعض الأدوات تعتبر مركزية (المعالج المركزي) بالنسبة إلى معالجة الصور الرقمية. تتضمن : أدوات رياضية مثل الإلتواء، تحليل فوريير، وأوصاف إحصائية، وأدوات تشغيلية مثل رموز السلسلة ورموز التشغيل. نحن سنقدم هذه الأدوات بدون أي حافز معين. الدافع سيأتي في الأقسام التالية.

الإلتواء

هناك عدة طرق محتملة للدلالة على إلتواء إشارتين (متعددة الأبعاد) لإنتاج إشارة ناتجة. الأكثر شيوعاً منها:

$$c = a \otimes b = a * b$$

نحن سنستعمل الشكل الأول، $c = a \otimes b$ ، بالتعريف الرسمية التالية.

في الفضاء ثنائي الأبعاد المستمر:

$$c(x,y) = a(x,y) \otimes b(x,y) = \int_{-\infty}^{+\infty} \int_{-\infty}^{+\infty} a(\xi,\zeta) b(x-\xi, y-\zeta) d\xi d\zeta$$

في الفضاء ثنائي الأبعاد المنفصل:

$$c[m,n] = a[m,n] \otimes b[m,n] = \sum_{j=-\infty}^{+\infty} \sum_{k=-\infty}^{+\infty} a[j,k] b[m-j, n-k]$$

خصائص الإلتواء

هناك عدد من الخصائص الرياضية المهمة المرتبطة بالإلتواء.

* إلتواء تحويلي.

$$c = a \otimes b = b \otimes a$$

* إلتواء ترابطي.

$$c = a \otimes (b \otimes c) = (a \otimes b) \otimes c = a \otimes b \otimes c$$

* إلتواء توزيعي.

$$c = a \otimes (b + d) = (a \otimes b) + (a \otimes d)$$

حيث a, b, c ، و d كل الصور، أما مستمرة أو منفصلة (ثابتة).

تحويلات فوريير (Fourier)

يُنتج تحويل فوريير تمثيل آخر من الإشارة، بشكل مُحدّد، تمثيل لمجموع الأوزان الأسية المعقّد. بسبب صيغة يولر (Euler):

$$e^{jq} = \cos(q) + j \sin(q)$$

حيث، نحن يُمكن أن نقول بأن تحويل فوريير يُنتج تمثيل لإشارة ثنائية الأبعاد كوزن مجموع الجيوب وجيب التمام. إن الصيغ الحاسمة لفوريير المباشرة وتحويلات فوريير المعكوسة كالتالي. م عطاء صورة a وتحويل فوريير A ، ثم يتحوّل بشكل مباشر بحيث يذهب من المجال المكاني (أما مستمر أو منفصل) إلى مجال التردد الذي يكون مستمر دائماً.

$$A = F\{a\}$$

للأمام - يُذهب تحويل فوريير المعكوس من مجال التردد و يعود إلى المجال المكاني.

المعكوس - $a = F^{-1}\{A\}$

إنَّ تحويل فوريريرَ فريد وعملية تقبل العكس مما يسمح بالقول:

$$a = F^{-1}\{F\{a\}\} \quad \text{and} \quad A = F\{F^{-1}\{A\}\}$$

إنَّ الصيغَ المعبَّنةَ لِلتَّحوُّلِ ذهاباً وإياباً بين المجالِ المكاني ومجالِ الترددِ مُعطاة اسفلا. في فضاء 2D مستمر:

$$A(u, v) = \int_{-\infty-\infty}^{+\infty+\infty} a(x, y) e^{-j(ux+vy)} dx dy \quad \text{للأمام -}$$

$$a(x, y) = \frac{1}{4\pi^2} \int_{-\infty-\infty}^{+\infty+\infty} A(u, v) e^{+j(ux+vy)} du dv \quad \text{المعكوس -}$$

في فضاء 2D منفصل:

$$A(\Omega, \Psi) = \sum_{m=-\infty}^{+\infty} \sum_{n=-\infty}^{+\infty} a[m, n] e^{-j(\Omega m + \Psi n)} \quad \text{للأمام -}$$

$$a[m, n] = \frac{1}{4\pi^2} \int_{-\pi}^{+\pi} \int_{-\pi}^{+\pi} A(\Omega, \Psi) e^{+j(\Omega m + \Psi n)} d\Omega d\Psi \quad \text{المعكوس -}$$

خصائص تحويلات فوريرير

هنالك العديد من الخصائص الم رتبطة بتحويل فوريرير وتحويل فوريرير المعكوس. نعرض هنا البعض الأكثر علاقة بمعالجة الصورة الرقمية.

- تحويل فوريرير، عموماً، وظيفة معقَّدة مِنْ متغيَّراتِ الترددِ الحقيقيَّة. في حد ذاته التحول يُمكنُ أَنْ يُكتَبَ من ناحية مقدارِه ومرحلتيه.

$$A(u, v) = |A(u, v)| e^{j\varphi(u, v)} \quad A(\Omega, \Psi) = |A(\Omega, \Psi)| e^{j\varphi(\Omega, \Psi)}$$

- الإشارة ثنائية الابعاد يُمكنُ أيضاً أَنْ تكون مركَّبةً، وتكتبُ من ناحية مقدارِها ومرحلتيها.

$$a(x, y) = |a(x, y)| e^{j\varphi(x, y)} \quad a[m, n] = |a[m, n]| e^{j\varphi[m, n]}$$

- إذا كانت الإشارة ثنائية الابعاد حقيقيَّة، فإن تحويل فوريرير لَهُ تناظرُ مُتأكَّد.

$$A(u, v) = A^*(-u, -v) \quad A(\Omega, \Psi) = A^*(-\Omega, -\Psi)$$

- الرمز (*) يُشيرُ إلى الإقترانِ المعقَّد. للإشاراتِ الحقيقيَّةِ المساواة تقود مباشرة إلى:

$$\begin{aligned} |A(u, v)| &= |A(-u, -v)| & \varphi(u, v) &= -\varphi(-u, -v) \\ |A(\Omega, \Psi)| &= |A(-\Omega, -\Psi)| & \varphi(\Omega, \Psi) &= -\varphi(-\Omega, -\Psi) \end{aligned}$$

- إذا كانت الإشارة ثنائية الابعاد حقيقيَّة ومتعادلة، فإن تحويل فوريرير حقيقي ومتعادل.

$$A(u, v) = A(-u, -v) \quad A(\Omega, \Psi) = A(-\Omega, -\Psi)$$

- تحويلات فوريير وتحويلات فوريير المعكوسة هي عمليات خطية.

$$F\{w_1 a + w_2 b\} = F\{w_1 a\} + F\{w_2 b\} = w_1 A + w_2 B$$

$$F^{-1}\{w_1 A + w_2 B\} = F^{-1}\{w_1 A\} + F^{-1}\{w_2 B\} = w_1 a + w_2 b$$

حيث a و b إشارات (صور) ثنائية الأبعاد و w_1 و w_2 ثوابت معقدة إعتباطية.

- تحويل فوريير في الفضاء المنفصل، $A(\Psi, \Omega)$ ، دوري في كلا Ω و Ψ . كلتا الفترات تبلغ 2π .

$$A(\Omega + 2\pi j, \Psi + 2\pi k) = A(\Omega, \Psi) \quad j, k \text{ integers}$$

- الطاقة، E ، في الإشارة يُمكن أن تُقاسَ أما في المجال المكاني أو في مجال التردد. لإشارة مع الطاقة المحدودة:

نظرية Parseval لفضاء ثنائي الأبعاد مستمر:

$$E = \int_{-\infty-\infty}^{+\infty+\infty} \int_{-\infty-\infty}^{+\infty+\infty} |a(x, y)|^2 dx dy = \frac{1}{4\pi^2} \int_{-\infty-\infty}^{+\infty+\infty} \int_{-\infty-\infty}^{+\infty+\infty} |A(u, v)|^2 du dv$$

نظرية Parseval لفضاء ثنائي الأبعاد منفصل :

$$E = \sum_{m=-\infty}^{+\infty} \sum_{n=-\infty}^{+\infty} |a[m, n]|^2 = \frac{1}{4\pi^2} \int_{-\pi-\pi}^{+\pi+\pi} \int_{-\pi-\pi}^{+\pi+\pi} |A(\Omega, \Psi)|^2 d\Omega d\Psi$$

"طاقة الإشارة" هذه لن تُشَوَّش بالطاقة الطبيعية في الظاهرة التي أنتجت الإشارة. إذا، على سبيل المثال، القيمة $a[m, n]$ تمثّل إحصاء الفوتون، ثم ان الطاقة الطبيعية نسبية إلى مدى الإشارة a ، وليس الى مربع المدى. هذه عموماً هي الحالة في تصوير الفيديو.

- م أعطى ثلاثة، إشارات متعددة الأبعاد a, b, c وتحويلات فوريير الخاصة بهم هي A, B, C :

$$c = a \otimes b \quad \xleftrightarrow{F} \quad C = A \bullet B$$

and

$$c = a \bullet b \quad \xleftrightarrow{F} \quad C = \frac{1}{4\pi^2} A \otimes B$$

باختصار، الإلتواء في المجال المكاني مكافئ إلى عملية الضرب في مجال (تردد) فوريير والعكس صحيح. هذه النتيجة المركزية التي تُزوّد ليس فقط بمنهجية لتطبيق الإلتواء لكن أيضاً بفطرة وفهم إلى كيفية تفاعل الإشارتان مع بعضهم البعض -- تحت الإلتواء -- لإنتاج إشارة ثالثة. نحن سرقوم بليستعمال شامل من هذه النتيجة لاحقاً.

- إذا الإشارة ثنائية الأبعاد $a(x, y)$ مَقَاسَة في الإحداثيات المكانية فإن:

$$\text{If } a(x, y) \rightarrow a(M_x \bullet x, M_y \bullet y)$$

$$\text{Then } A(u, v) \rightarrow A\left(\frac{u}{M_x}, \frac{v}{M_y}\right) / |M_x \bullet M_y|$$

- إذا الإشارة ثنائية الأبعاد $a(x, y)$ عِنْدَهَا طيف فوريير $A(u, v)$ فإن:

$$A(u=0, v=0) = \int_{-\infty-\infty}^{+\infty+\infty} a(x, y) dx dy$$

$$a(x=0, y=0) = \frac{1}{4\pi^2} \int_{-\infty-\infty}^{+\infty+\infty} A(u, v) dx dy$$

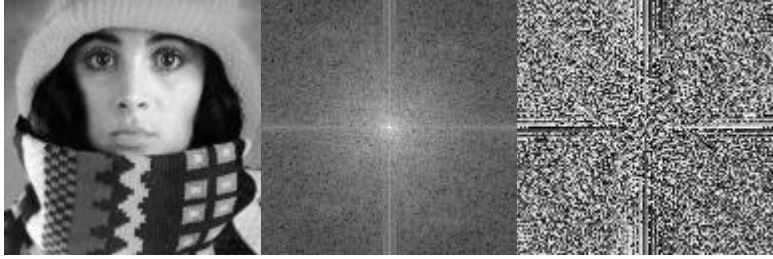
• إذا الإشارة ثنائية الأبعاد $a(x, y)$ عنده أ طيف فوريير $A(u, v)$ فإن:

$$\frac{\partial a(x, y)}{\partial x} \xleftrightarrow{F} juA(u, v) \quad \frac{\partial a(x, y)}{\partial y} \xleftrightarrow{F} jvA(u, v)$$

$$\frac{\partial^2 a(x, y)}{\partial x^2} \xleftrightarrow{F} -u^2 A(u, v) \quad \frac{\partial^2 a(x, y)}{\partial y^2} \xleftrightarrow{F} -v^2 A(u, v)$$

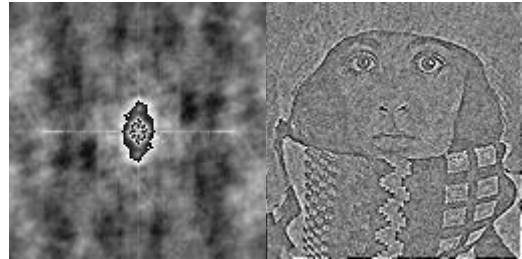
أهمية المرحلة والمقدار

تُشيرُ المعادلةُ بأنَّ تحويلَ فورييرَ لصورةٍ يُمكنُ أَنْ يَكُونُ معقَّدَ. هذا مُوضح اسفلا في الصور رقم 5 c. الصورة رقم 5 a تظهر الصورة الأصلية $[m, n]$ ، تظهر 5 b المقدار في شكل مقيس ك $\log(|A(\Omega, \Psi)|)$ ، ورقم 5 c المرحلة $\phi(\Omega, \Psi)$.



الرسم رقم 5 a ، b ، c

كل من وظائف (دوال) المقدار و المرحلة ضرورية لإعادة البناء الكاملة لصورة من تحويل فوريير. رقم 6 a توضح ما يحدث عندما الرسم رقم 5 a مُعاد فقط على أساس المعلومات والصورة رقم المقدار 6 b توضح ما يحدث عندما رقم 5 a مُعاد فقط على أساس معلومات المرحلة.



الرسم رقم 6 a ، b

لا معلومات المقدار ولا معلومات المرحلة كافية لإعادة الصورة. معلومات المقدار فقط موضحة بالصورة (رقم 6 a) مستحيلة التمييز ولها مشاكل المدى الدينامي كية الحادة. معلومات المرحلة فقط موضحة بالصورة (رقم 6 b) بالكاد يمكن تمييزها، و ذلك، بسبب التخفيف الشديد في النوعية.

إشارات متماثلة بشكل دائري

الإشارة الإعتباطية ثنائية الأبعاد $a(x, y)$ يُمكن أن نكتب دائماً في نظام إحداثيات قطبي $a(r, \theta)$. عندما الإشارة ثنائية الأبعاد تُعرضُ تناظر دائري هذا يعني ان:

$$a(x, y) = a(r, \theta) = a(r)$$

حيث $r^2 = x^2 + y^2$ و $\tan \theta = y/x$. كعدد من الأنظمة الطبيعية مثل العدسات التي تُعرضُ تناظر دائري، وه ذا مفيد لكي نكون قادرين على حساب تمثيل فوريير ملائم.

تحويل فوريير $A(u, v)$ يُمكن أن يُكتب في الاحداثيات القطبية $A(\xi, \omega)$ وبعد ذلك، لإشارة متماثلة بشكل دائري، يهأ كتابته كتحويل ankel:

$$A(u, v) = F\{a(x, y)\} = 2\pi \int_0^\infty a(r) J_0(\omega_r r) r dr = A(\omega_r)$$

حيث أن $\omega_r^2 = u^2 + v^2$ and $\tan \xi = v/u$ و $J_0(*)$ دالة Bessel للنوع الأول من طلب صفر. تحويل ankel المعكوس مُعطى من قبل:

$$a(r) = \frac{1}{2\pi} \int_0^\infty A(\omega_r) J_0(\omega_r r) \omega_r d\omega_r$$

إن تحويل فوريير للإشارة ثنائية الأبعاد المتماثلة بشكل دائري، هو دالة فقط للتردد الشعاعي ω . الإعتدال على التردد الزاوي، ξ ، تلاحظ. إذا $a(x, y) = a(r)$ حقيقي، فإنه ألياً يتساوى بسبب التناظر الدائري. طبقاً للمعادلة، $A(\omega_r)$ سيكون حقيقي ومتساو.

أمثلة عن الإشارات الثنائية الأبعاد والتحويلات

أدرج في الجدول رقم 4 بعض الإشارات الأساسية والمفيدة و تحويلات فوريير الخاصة بهم. عند إستعمال مداخل الجدول في بقية هذا الفصل سنشير إلى تعبير المجال المكاني كوظيفة إنتشار النقطة (PSF) أو الرد النبضي ثنائي الأبعاد وتحويلات فوريير الخاصة به كدالة النقل البصرية (OTF) أو ببساطة دالة التحويل. إشارتان قياسيتان إستعملتا في هذا الجدول $u(*)$ ، ووظيفة خطوة الوحدة، و $J_1(*)$ ، ووظيفة Bessel للنوع الأول. الإشارات المتماثلة بشكل دائري تُعتبر دوال لـ r .

الإحصائيات

إستعمال أوصاف إحصائية بسيطة للصور والصور الثانوية في معالجة الصور شائع جداً. إن فكرة الإحصاء مرتبطة بمفهوم توزيع الاحتمالات، عموماً توزيع سعات الإشارات. لمنطقة مُعطاة -- والتي من المعقول أن تكون كامل الصورة -- نحن يُمكن أن نُعرف وظيفة توزيع إحتمال السطوع في تلك المنطقة ووظيفة سعة إحتمال السطوع في تلك المنطقة. نحن سنفترض في المناقشة التي تلي بأننا نتعامل مع صور رقمية $a[m, n]$.

وظيفة توزيع إحتمال السطوع

إن وظيفة توزيع الإحتمال، $P(a)$ ، هي الإحتمال بأن السطوع المختار من المنطقة أقل من أو مساوي لقيمة السطوع المَعْطى a . كزيادات من $-\infty$ إلى $+\infty$ ، $P(a)$ يزيد من 0 إلى 1. $P(a)$ رتيبة، لاتتناقص في a وهكذا $dP/da \geq 0$.

وظيفة سعة إحتمال السطوع

إحتمال ان يقع السطوع في منطقة بين a و $a + \Delta a$ ، مَعْطى بدالة توزيع الإحتمال $P(a)$ ، يُمكن أن يُبدو ك $\Delta p(a)$ حيث أن $p(a)$ وظيفة سعة (كثافة) الإحتمال:

$$p(a) \Delta a = \left(\frac{dP(a)}{da} \right) \Delta a$$

T.1 <i>Rectangle</i>	$\left(\frac{\sin(2\pi af_x)}{\pi af_x} \right) \left(\frac{\sin(2\pi bf_y)}{\pi bf_y} \right)$	$\begin{matrix} F \\ \leftrightarrow \end{matrix}$	$R_{a,b}(x,y) = \frac{1}{4ab} u(a^2 - x^2) u(b^2 - y^2)$
T.2 <i>Pyramid</i>	$\left(\frac{\sin(2\pi af_x)}{\pi af_x} \frac{\sin(2\pi bf_y)}{\pi bf_y} \right)^2$	$\begin{matrix} F \\ \leftrightarrow \end{matrix}$	$R_{a,b}(x,y) \otimes R_{a,b}(x,y)$
T.3 <i>Pill Box</i>	$2 \frac{J_1(2\pi af)}{\pi af}$	$\begin{matrix} F \\ \leftrightarrow \end{matrix}$	$P_a(r) = \frac{u(a^2 - r^2)}{\pi a^2}$
T.4 <i>Cone</i>	$4 \left(\frac{J_1(2\pi af)}{\pi af} \right)^2$	$\begin{matrix} F \\ \leftrightarrow \end{matrix}$	$P_a(r) \otimes P_a(r)$
T.5 <i>Airy PSF</i>	$\frac{2}{\pi} \left(\cos^{-1} \left(\frac{f}{f_c} \right) - \left(\frac{f}{f_c} \right) \sqrt{1 - \left(\frac{f}{f_c} \right)^2} \right) u(f_c^2 - f^2)$	$\begin{matrix} F \\ \leftrightarrow \end{matrix}$	$PSF(r) = \frac{1}{\pi} \left(\frac{J_1(\omega_c r / 2)}{r} \right)^2$
T.6 <i>Gaussian</i>	$G_{2D}(f, \sigma) = \exp(-2\pi^2 f^2 \sigma^2)$	$\begin{matrix} F \\ \leftrightarrow \end{matrix}$	$g_{2D}(r, \sigma) = \frac{1}{2\pi\sigma^2} \exp\left(-\frac{r^2}{2\sigma^2}\right)$
T.7 <i>Peak</i>	$\frac{1}{f}$	$\begin{matrix} F \\ \leftrightarrow \end{matrix}$	$\frac{1}{r}$
T.8 <i>Exponential Decay</i>	$\frac{2\pi a}{(\omega^2 + a^2)^{3/2}}$	$\begin{matrix} F \\ \leftrightarrow \end{matrix}$	e^{-ar}

الجدول رقم 4: صور ثنائية الابعاد وتحويلات فوريير الخاصة بها

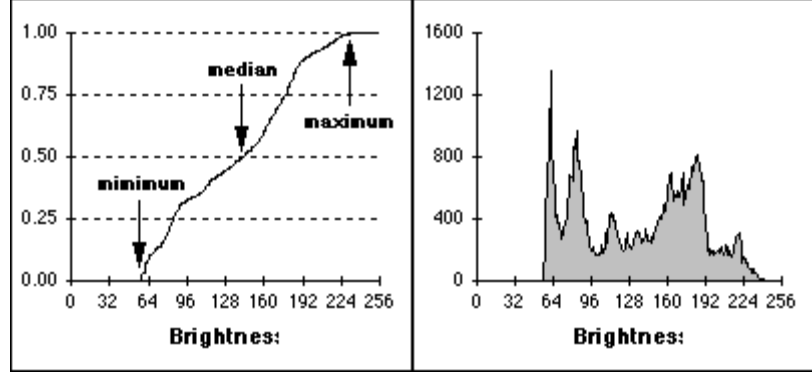
بسبب الرتبة، وخاصية عدم تآلف $P(a)$ عندنا ذلك:

$$p(a) \geq 0 \quad \text{and} \quad \int_{-\infty}^{+\infty} p(a) da = 1$$

لصورة بقيمة ثابتة (عدد صحيح) لساعات السطوع، تفسير Δa هو عرض فترة السطوع. نفترض ان فترات العرض ثابتة. إن دالة سعة احتمال السطوع تُخمن كثيراً بحساب عدد المرات التي يحدث كل سطوع في المنطقة لتوليد رسم بياني إحصائي، $h[a]$. الرسم البياني الإحصائي يُمكن أن يعدل بحيث تكون المنطقة الكلية تحت الرسم البياني الإحصائي مساوية لـ 1. بمعنى آخر، $p[a]$ لمنطقة هي الإحصاء المعدل لعدد نقاط الشاشة، A ، في المنطقة التي تَبَتَ فيها قيم السطوع:

$$p[a] = \frac{1}{\Lambda} h[a] \quad \text{with} \quad \Lambda = \sum_a h[a]$$

إن دالة توزيع احتمال السطوع للصورة الموضحة في الصورة رقم 5a يتوضح في الصورة رقم 7a. مخطط السطوع الإحصائي (الغير مُعدل) للرسم رقم 4 a الذي يعتبر نسبي إلى دالة سعة احتمال السطوع المُخَمَّنَة موضح في الرسم رقم 7 b. الإرتفاع في هذا الرسم البياني الإحصائي يُقابل عدد نقاط الشاشة مع السطوع المُعطى.



(a) (b)

الرسم 7: (a) دالة توزيع سطوع الرسم رقم 4 a بالإشارة إلى القصوى والمتوسطة والدنيا. (b) مخطط السطوع الإحصائي للرسم رقم 4 a.

كل من دالة التوزيع والرسم البياني الإحصائي كمقاييس من المنطقة هما وصف إحصائي لتلك المنطقة. يجب أن يُؤكّد بأنّ كلتا $P[a]$ و $p[a]$ يجب أن يُنظرًا كتخمينات التوزيعات الحقيقية عندما يحسبون من منطقة معينة. عليه، سننظر إلى الصورة و المنطقة المعنية كعنصر واحد من إدراك العمليات العشوائية المختلفة المشتركة في تشكيل تلك الصورة وتلك المنطقة. في نفس السياق، الإحصائيات المعرّفة أسفل يجب أن تُنظر كتخمينات العوامل التحتية.

المعدل

إنّ السطوع المتوسط لمنطقة مُعرّف كمُتوسط عينة سطوع نقطة الشاشة ضمن تلك المنطقة. إنّ معدل السطوع m_a ، على نقاط الشاشة Λ ضمن منطقة \mathcal{M} مُعطى من قبل:

$$m_a = \frac{1}{\Lambda} \sum_{(m,n) \in \mathcal{M}} a[m,n]$$

بدلاً عن ذلك، نحن يُمكن أن نُسعمل صياغة مستندة على (غير مُعدل) مخطط السطوع الإحصائي ، $h(a) = \Lambda \cdot p(a)$

بقيم السطوع المنفصلة a. هذا يعطي:

$$m_a = \frac{1}{\Lambda} \sum_a a \cdot h[a]$$

إنّ السطوع المتوسط m_a ، هو تخمين السطوع المتوسط u_a ، من توزيع احتمال السطوع التحتي.

الانحراف المعياري

إنّ التخمين الغير متحيّز للانحراف المعياري s_a ، للسطوع ضمن المنطقة \mathcal{M} بنقاط الشاشة يُدعى إنحراف العينة المعياري ومُعطى من قبل:

$$\begin{aligned} s_a &= \sqrt{\frac{1}{\Lambda-1} \sum_{(m,n) \in \mathcal{M}} (a[m,n] - m_a)^2} \\ &= \sqrt{\frac{\sum_{(m,n) \in \mathcal{M}} a^2[m,n] - \Lambda m_a^2}{\Lambda-1}} \end{aligned}$$

إستعمال صياغةِ الرسم البياني الإحصائي يعطي:

$$s_a = \sqrt{\frac{\left(\sum_a a^2 \cdot h[a]\right) - \Lambda \cdot m_a^2}{\Lambda - 1}}$$

إنَّ الإنحراف المعياري ، s_a ، هو تخمين a من توزيع إحتمال السطوع التحتي.

عامل الاختلاف

إنَّ عاملَ الاختلاف الهلا أبعاد ، CV ، مُعرَّف ك:

$$CV = \frac{s_a}{m_a} \times 100\%$$

الوحدة الإحصائية

الوحدة الإحصائية $p\%$ لتوزيع سطوع غير مُنَبَّت هي قيمة مُعرَّف كقيمة السطوع a على النحو التالي:

$$P(a) = p\%$$

أو بشكل مكافئ

$$\int_{-\infty}^a p(\alpha) d\alpha = p\%$$

ثلاث حالات خاصّة تستعمل كثيراً في معالجة الصور الرقمية.

- 0% الحَد الأدنى للقيمة في المنطقة
 - 50% القيمة المتوسطة في المنطقة
 - 100% الحَد الأقصى للقيمة في المنطقة
- كُلّ واحدة من هذه القيم الثلاثة يُمكن أن تُقرَّر من الوسم رقم a .

النمط

إنَّ نمطَ التوزيع هو قيمة السطوع الأكثر تكراراً. ليس هناك ضمان بأننا سنجد نمطا ما أو بأنه فريد بحال وجد.

نسبة الإشارة للضجيج (إشارة/ضجيج)

نسبة الإشارة للضجيج، SNR ، يُمكن أن يأخذ عدّة تعاريف. إنَّ الضوضاء مُمَيَّزَة بإنحرافها المعياري ، s_n . خصائص الإشارة يُمكن أن تختلف. إذا الإشارة تُعرَّف للوَقوع بين الحدين ، $a_{min} \leq a \leq a_{max}$ ، فإن SNR مُعرَّف ك:

$$SNR = 20 \log_{10} \left(\frac{a_{max} - a_{min}}{s_n} \right) \text{ dB}$$

الإشارة المحدودة -

إذا الإشارة لم تُعرف لكن لها توزيع إحصائي فإن تعريفان آخران يعطيان:

$$SNR = 20 \log_{10} \left(\frac{m_a}{s_n} \right) \text{ dB}$$

إشارة إحصائية - $S \& N$ تابع وسطي

$$SNR = 20 \log_{10} \left(\frac{s_a}{s_n} \right) \text{ dB}$$

$S \& N$ مستقل

حيث m_a و s_a مُعرَّف بالاعلى.

إنَّ الإحصائيات المُختلفة معطاة في الجدول رقم 5 للصورة والمنطقة في الرسم رقم 8.



Statistic	Image	ROI
Average	137.7	219.3
Standard Deviation	49.5	4.0
Minimum	56	202
Median	141	220
Maximum	241	226
Mode	62	220
SNR (db)	NA	33.3

الرسم رقم 8. الجدول رقم 5. المنطقة داخل الدائرة. إحصائيات من الرسم رقم 8

- حساب SNR لكامل الصورة المستندة على المثال ليس متوفر مباشرة. الاختلافات في سطوع الصورة التي تؤدي إلى القيمة الكبيرة ($s = 49.5$) ليست، عموماً، مطلوبة للضجيج لكن إلى الاختلاف في المعلومات المحلية. بمساعدة المنطقة هناك طريق لتخمين SNR. نحن يمكن أن نستعمل $\mathcal{R}s (=4.0)$ والمدى الديناميكي، $a_{max} - a_{min}$ ، للصورة (241-56) لحساب SNR الكلي (=33.3 dB). إن الفرضيات التحتية هي:
- الإشارة ثابتة تقريباً في تلك المنطقة والاختلاف في المنطقة لذا الضجيج مستحق،،
 - الضوضاء نفسها على كامل الصورة مع إنحراف معياري م عطي من قبل $s_n = \mathcal{R}$.

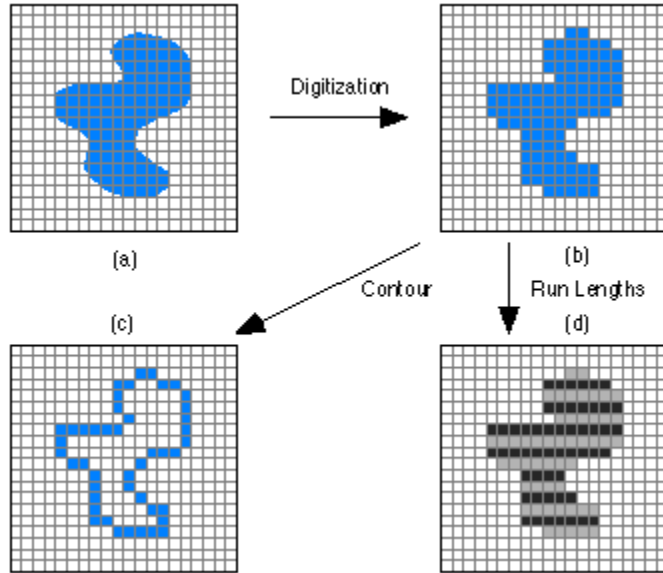
تمثيل المحيط

عندما نتعامل مع منطقة أو جسم، عِدّة تمثيلات محكمّة متوفرة والتي يمكن أن تُسهّل التعامل مع مقاييس الجسم. في كلّ حالة نفترض بأننا نبدأ بتمثيل صورة الجسم كم 1 هو م عروض في الوم رقم 9 a, b. نوجد عِدّة تقنيات لتمثيل المنطقة أو الجسم بوصف محيطها.

رمز السلسلة

هذا التمثيل مستند على عمل فريمان. نتبع المحيط باتجاه عقرب الساعة و نحافظ على مسار الإتجاهات كلها انطلقنا من نقطة على المحيط لآخرى. للتطبيق القياسي لرمز السلسلة نعتبر نقطة م حيط من نقط محيط الجسم التي لها اقل عدد جوار من ضمن الجسم من جيرانها المرتبطين الاربعة (او الثمانية). شاهد الوم رقم 9 c. الرموز المرتبطة بثمانية إتجاهات محتملة هي رمز السلسلة ، ومع x كموقع حالي لنقطة المحيط، الرموز تُعرّف عموماً ك:

$$\begin{matrix} & 3 & 2 & 1 \\ \text{Chain codes} = & 4 & x & 0 \\ & 5 & 6 & 7 \end{matrix}$$



الرسم 9: منطقة (مظللة) كما هي تُحوَّل من (a) مستمرة إلى (b) شكل منفصل (ثابت) وبعد ذلك تعطي (c) المحيط

خصائص رمز السلسلة

- رموز زوجية {0,2,4,6} تقابل الاتجاهات الأفقية والعمودية؛ الرموز المفردة {1,3,5,7} تقابل الاتجاهات القطرية.
- كل رمز يُمكن أن يُعتبر كالاتجاه الزاوي، من مضاعفات الزاوية 45 ، ونحن يجب أن نتحرك للذهاب من نقطة محيط لأخرى.
- الإحداثيات المطلقة [m,n] لنقطة المحيط الأولى (ومثال على ذلك: - قمة ، الجهة اليسرى) سوية مع رمز سلسلة المحيط بمثل وصف كامل لمحيط المنطقة الثابت.
- عندما يكون هناك تغيير بين رمزي سلسلة متتاليين، فإن المحيط يغير اتجاهه. هذه النقطة تُعرف كزاوية.

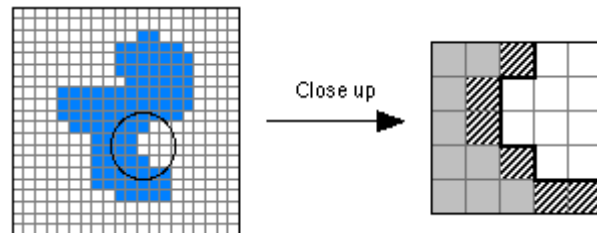
رمز الشق

يستخدم لتبديل لرمز السلسلة لترميز المحيط ، لا يعتمد فقط على النقاط المرتبطة بالمحيط بالجسم ولا المرتبطة بالخلفية لكن بالأخرى الخط، "الشق"، في الوسط. هذا مَصَوَّر بتوسيع جزء من الرسم رقم 9 في الرسم رقم 10. رمز "الشق" يُمكن أن يُنظر كرمز سلسلة بأربعة اتجاهات محتملة بدلاً من ثمانية.

1

Crack codes = 2 x 0

3



(b) (a) الرسم 10: (b) نقاط المحيط كما في رمز السلسلة مُظلل. إن "الشق" يهيز بالخط الأسود السميك.

إن رمز السلسلة للقسم المكبر للرسم رقم 10 b، من الأعلى إلى الأسفل، {5,6,7,0}. إن رمز الشق {3,2,3,3,0,3,0,0}.

رموز المجرى

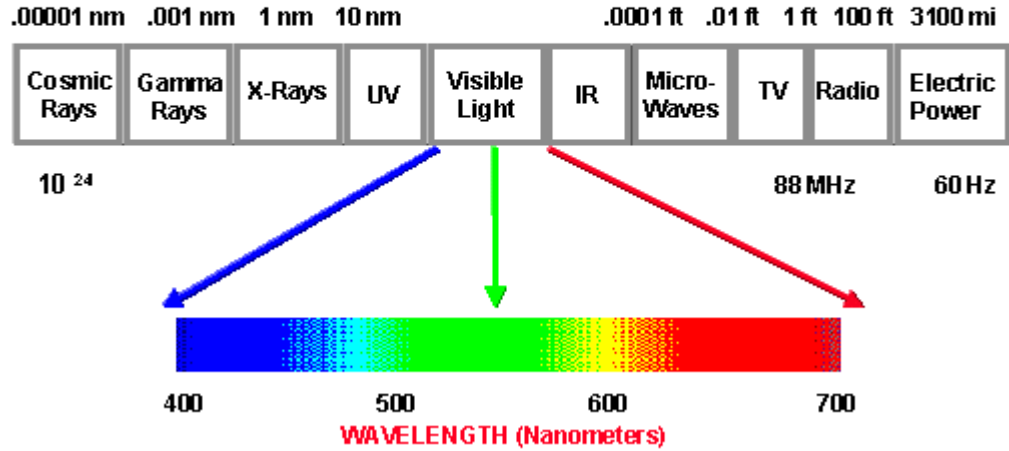
تمثيل ثالث مستند على ترميز النقاط المتتالية على طول صف -- مجرى -- التي تنتمي إلى الجسم المراد تحديد محيطه بإعطاء الموقع البادي للمجرى وموقع النهاية. مثل هذه المجرى موضح في الرسم رقم 9 d. هناك عدد من البدائل للتعريف الدقيق للمواقع. البديل الذي يجب أن يستعمل يعتمد على التطبيق.

هناك الكثير من التحويلات الأخرى المفيدة بشكل كبير لمعالجة الصور مثل : التحويلات الجيبية، تحويلات جيب التمام، تحويلات أدامارا (Adamara) ، تحويلات Hara ... الخ. نظرا للتقيد بحجم معين للكتاب، ولحجم هذه التحويلات الكبير، اكتفيت بمناقشة واحدة من هذه التحويلات (Fourier) بالتفصيل وتسمية الباقي منها لتنبيه القارئ لها وإهميتها. يمكن العودة للمراجع لمعرفة كافة التفاصيل عن هذه التحويلات ومجالات وطرق استخدامها في أنظمة المعالجة والتمييز.

اللون

الفهم الحديث للون نشأ بعد إكتشاف الطبيعة الطيفية للضوء من قبل نيوتن في 1600. افترض نيوتن الضوء لجدول الجزيئات. وضحت تجاربه مع الموشورات بأن الضوء الأبيض يمكن أن يُقسَم إلى الألوان الفردية. علاوة على ذلك، لاحظ أن الضوء بالألوان المختلفة له قابلية مختلفة للإنكسار. الضوء الأزرق ينكسر أكثر من الضوء أحمر، على سبيل المثال، عندما يمر من الهواء إلى وسط يكسر الضوء مثل الموشور. نعرف الآن بأن تجارب نيوتن المشهورة بينت بأن الضوء يملك طاقة أطوال موجات مختلفة. إن العين حساسة إلى حزمة واسعة من أطوال الموجة بالمدى التقريبي 350-750 nm. يمثل الطيف المرئي فقط جزء صغير من الطيف الكهرومغناطيسي الكامل. ضمن الطيف المرئي بعض أطوال الموجة تُسبب بعض الأحاسيس البصرية. على سبيل المثال، أطوال الموجة الأقصر محسوسة لكي تكون بنفسجية وزرقاء. من المهم، على أية حال، لفهم أن استعمال مصطلح مثل الضوء الأزرق للراحة فقط وبأن هذا الإستعمال لم يعطى لمناقشة الحقيقة بأن اللون يحل فقط في العقل.

electromagnetic spectrum



الطيف الكهرومغناطيسي للضوء

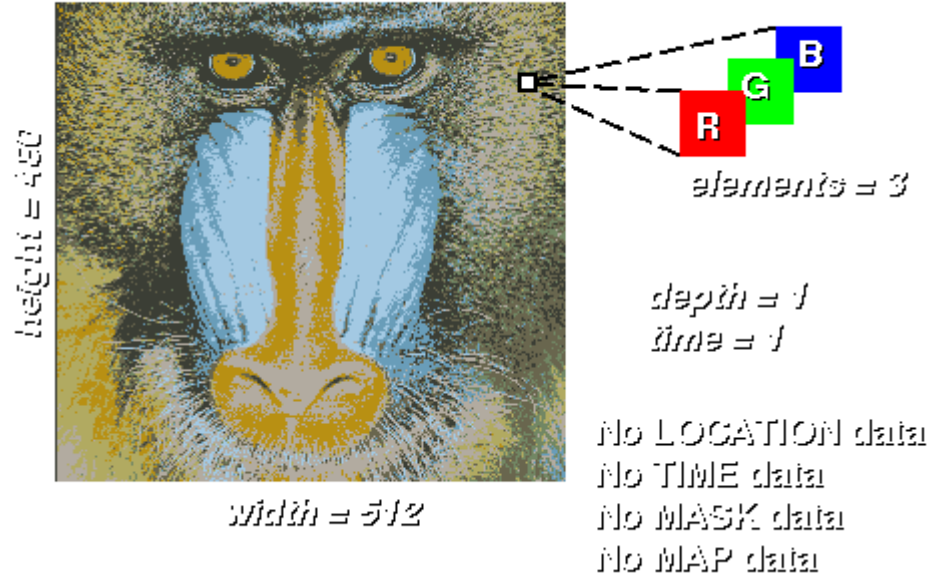
اللون يلعب دور مهم جداً في تحليل الصورة خاصة عندما يتعامل لوصف للأجسام في الصورة. الصورة الملونة، معروفة كذلك بصورة الألوان الحقيقية، لها ثلاث حزم مختلفة (R = احمر، G = أخضر، B = أزرق)، واحدة لكل لون.

نماذج اللون

نموذج اللون هو تمثيل فريد ثلاثي الأبعاد للون. هناك نماذج ألوان مختلفة على سبيل المثال، نموذج اللون RGB مستعمل في تطبيقات الأجهزة مثل شاشات الكمبيوتر، آلات التصوير والفواخض الضوئية، نموذج اللون CMY مستعمل في الطباعة الملونة، ونموذج YIQ في البث التلفزيوني. في معالجة الصور الملونة، يكثر استعمال النماذج HLS و HSV.

تعرض أسفلاً صورة RGB وتركيب بياناتها. كل نقطة لها ثلاثة مكونات: المكونات الزرقاء والخضراء والحمراء، التي إذا جمعت سوياً يمكن أن تولد أغلب الألوان الموجودة.

VALUE data



صورة لون RGB وتمثيلها في نموذج بيانات متعدد الاشكال.

كُل لون يُمكن أن يَكُون نقطة في نموذج مكعب اللون RGB. الأحمر، الأخضر والأزرق المعروف بالألوان الأساسية. هذه الألوان يُمكن أن تُضاف لإنتاج الألوان الثانوية كالتالي:

قرمزي = أحمر + أزرق

سماوي = أزرق + أخضر

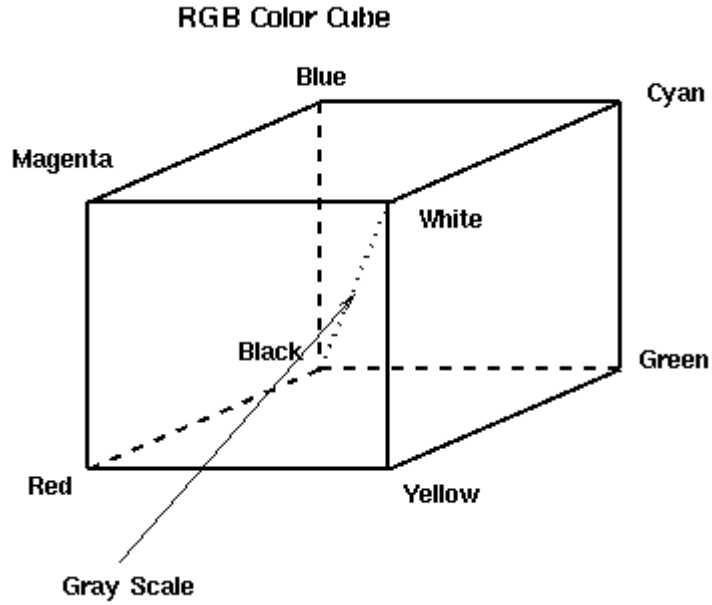
أصفر = أحمر + أخضر

المجموعات المحتملة الأخرى:

أبيض = أزرق (أساسي) + أصفر (ثانوي)

أبيض = أخضر (أساسي) + قرمزي (ثانوي)

أبيض = حمراء (أساسي) + سماوي (ثانوي)



نموذج مكعب اللون RGB

نموذج CMY ونماذج اللون YIQ مكتسبة من نموذج اللون RGB بإداء التحويلات التالية:

$$\begin{bmatrix} C \\ M \\ Y \end{bmatrix} = \begin{bmatrix} 1 \\ 1 \\ 1 \end{bmatrix} - \begin{bmatrix} R \\ G \\ B \end{bmatrix} \quad \begin{bmatrix} Y \\ I \\ Q \end{bmatrix} = \begin{bmatrix} 0.299 & 0.587 & 0.114 \\ 0.596 & -0.275 & -0.321 \\ 0.212 & -0.523 & 0.311 \end{bmatrix} \begin{bmatrix} R \\ G \\ B \end{bmatrix}$$

(a) تحويل RGB إلى CMY؛ (b) تحويل RGB إلى YIQ

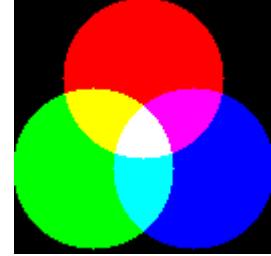
التعامل مع صور RGB
نقاط الصور الملونة التي تستعمل نموذج RGB لها ثلاثة مكونات، أحمر، أخضر وأزرق. نحن يُمكن أن نرى صورة RGB مكونة من ثلاث طبقات، واحدة لكل مكون.

خلق صورة RGB
في هذه التجربة، سننتج ثلاثة صور لاهارة، كل واحدة بمركز في موقع مختلف.



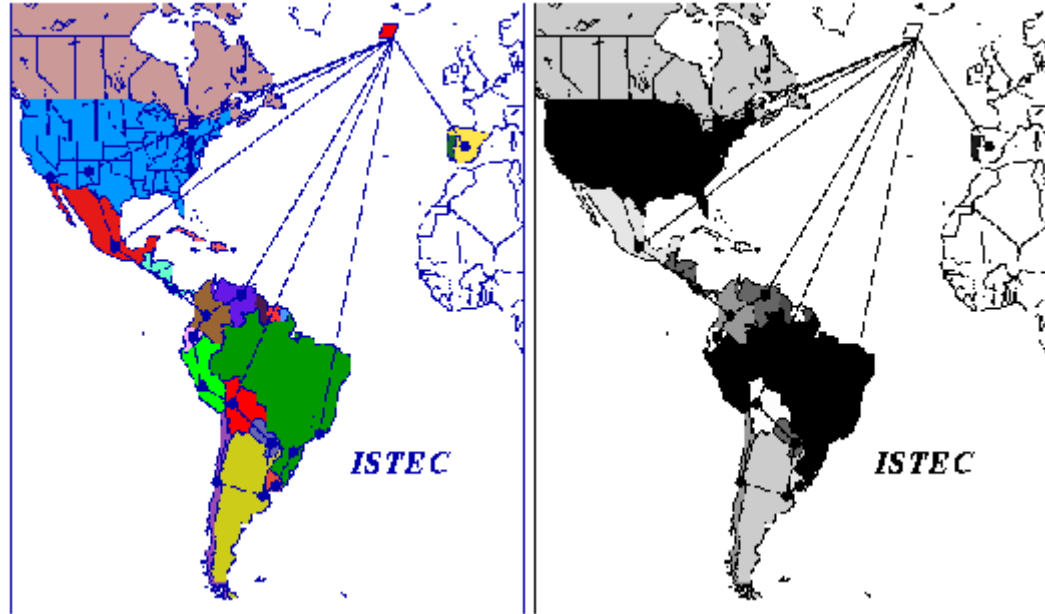
(a) أحمر؛ (b) أخضر؛ (c) أزرق

نحن يُمكنُ أَنْ نُكَدِّسَ الطبقات الثلاث سوية، مثل سندويتش. في نموذج اللون RGB، تُقابل الطبقة الأولى الحمراء، الثانية إلى الطبقة الخضراء والثالثة إلى الطبقة الزرقاء. بعد تكديس الطبقات سوية يَجِبُ أَنْ نُشِيرَ بِأَنَّ الصورة سَتَسْتَعْمَلُ نموذج لون RGB. نعرض اسفلا الصورة الناتجة. أنت يُمكنُ أَنْ تُلاحظَ بِأَنَّ ثمانية ألوانَ يمكن ان تشاهد ، وهي العدد المحتمل للمجموعات بالعناصر الثلاثة.

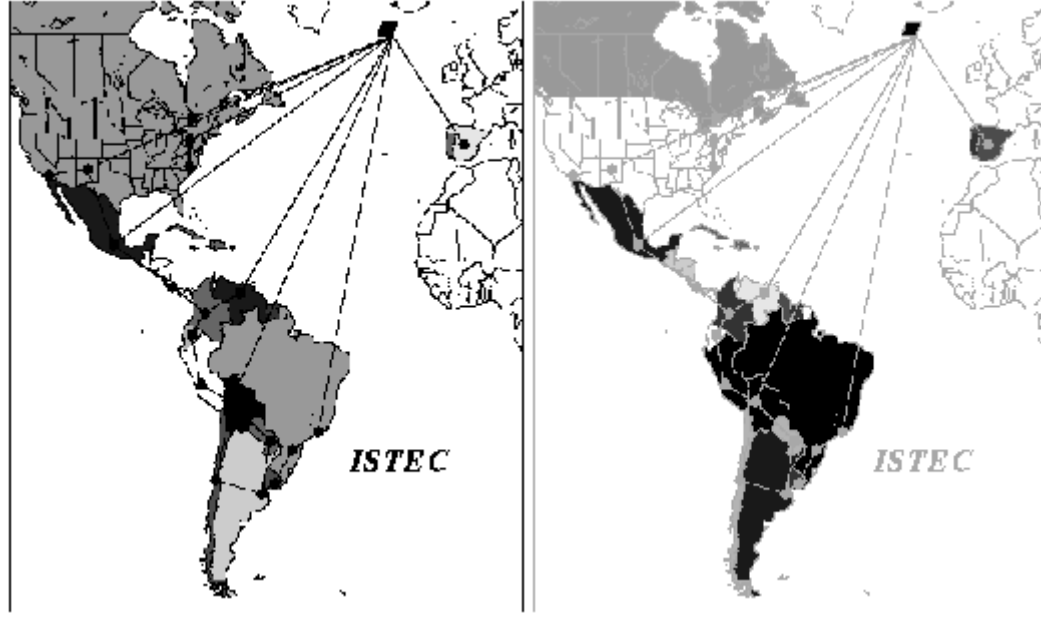


صورة RGB

إنترزاغ الألوان البدائية لصورة RGB
في هذه التجربة، ننتزغُ كُلَّ طبقة (عنصر) صورة RGB. نعرض اسفلا صورة RGB الأصلية وعناصره الثلاثة: R, G, B. نلاحظ انهم يُشاهدون كصور رمادية بينما هم متكوّنون من عنصر وحيد. نحن يُمكنُ أَنْ نعتبر كُلَّ عنصر رمادي كوزن كُلَّ مدفع لوري في شاشة العرض RGB، عندما يَعرَضُ صورة RGB.



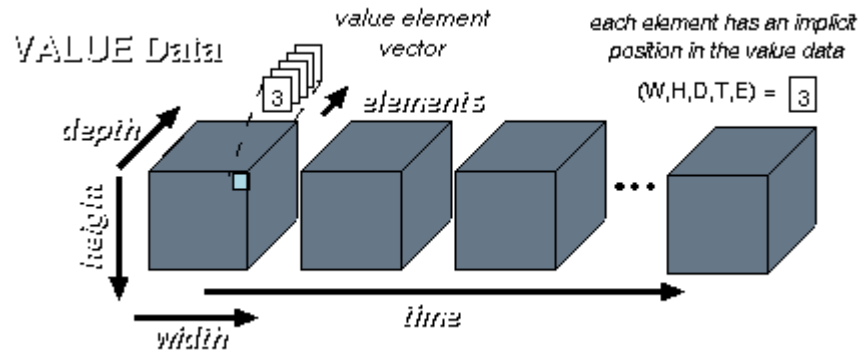
(a) أصلي؛ (b) عنصر R



(a) عنصر G؛ (b) عنصر B

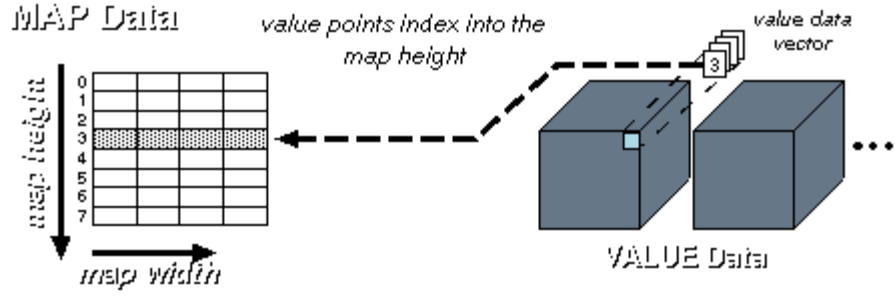
جدول اللون

قيم نقاط الصورة الوهمية يمكن أن تكون قيمة عديدة أو موجه (شعاع) بقيمته والتي تسمى عادة العناصر أو الخواص. في الصورة الملونة كل نقطة لها ثلاثة عناصر. العناصر الثلاثة تعتمد على نموذج اللون المستعمل. في نموذج اللون RGB، تُقابل العناصر الثلاثة الألوان الأحمر، الأخضر والأزرق. هناك تركيبات بيانات يُستعملان لتمثيل قيم النقاط ضمن الصورة. واحد يُدعى الألوان الحقيقية والآخر جدول اللون. في تركيب بيانات اللون الحقيقية كل نقطة مخزونة في الإستمارة القياسية ضمن مصفوفة الصورة.



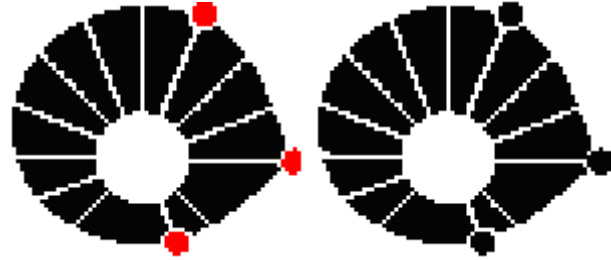
الرسم . نموذج قيمة البيانات

في تركيب بيانات جدول اللون، كل قيمة نقطة هي دليل إلى الجدول (جدول المشاهدة). كل دخول على الجدول يمكن أن يأخذ عنصر واحد أو أكثر. طول الجدول يمكن أن يكون من أي حجم ويعتمد على قيم الدليل ضمن الصورة. هناك العديد من الأسماء لجدول اللون، البعض منها: لوحة الألوان، LUT (جدول المشاهدة)، جدول التخطيط، خريطة اللون.

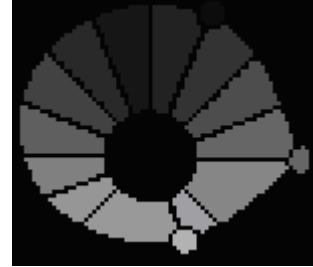


الرسم . نموذج بيانات خريطة اللون

- إن فوائد إستعمال تركيب بيانات اللون بشكل رئيسي ثلاثة:
- ضغط الصورة في الصور الملونة الحقيقية تتطلب ثلاث قيم لكل نقطة. إذا إستعملنا جدول اللون ، فإن كل نقطة يمكن أن تأخذ فقط قيمة واحدة ودليل إلى الجدول من عرض 3 لتمثيل عدد الألوان المحتملة في الصورة. الصورة مع جدول اللون تساوي تقريباً 3/1 من حجم صورة اللون الحقيقية.
 - سرعة المعالجة - إذا الصورة ممثلة بإستعمال تركيب بيانات جدول اللون ، فإن كل عمليات النقطة التي تستعمل العامل المفرد يمكن أن تنفذ فقط بواسطة معالجة جدول اللون. إن جدول اللون عموماً أصغر بكثير من الصورة، مما يؤدي إلى سرعة أكبر في المعالجة.
 - معظم أجهزة الشاشات الملونة تدعم جدول اللون.
- في هذه التجربة، تم بناء جدول اللون لحل مشكلة تلوين نقاط الشعار التالي (الابيض - الأسود) بتلوين نقاطه الثلاثة ، باللون الاحمر .



إن الفكرة هي ان نعرف الصورة أولاً، كأعطاء قيمة فريدة تُخصّص إلى كل نقطة تنتمي إلى المنطقة المرتبطة. عادة، تُخصّص عملية التعريف أعداداً للمنطقة في ترتيب صاعد بحيث يكون العدد الأقصى مُقابل لعدد المنطقة المرتبطة.



صورة معرفة: تدرجات الومادي

إنَّ القيمةَ القصوى للنقطة من الصورة المعرفة هي 23، لذا يمكننا القول ان هناك 24 منطقة: 0 الخلفية و 1 - 23 لباقي المناطق المرتبطة الأخرى. جدول اللون يُمكن أن يُبنى لتخصيص قيم النقطة 0 للون الأبيض ، قيم النقاط 1، 10 و 16 للون الأحمر، والبقية للأسود.

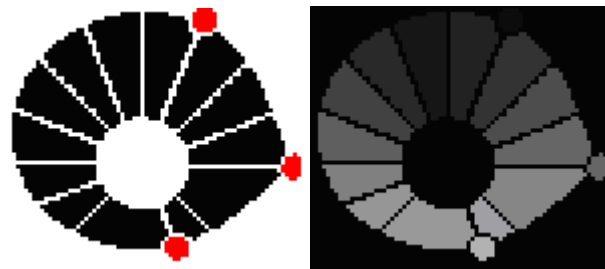
جدول اللون باستعمال نموذج RGB (عمود الدليل ضمني وليس مطلوب):

index	R	G	B	color
0	255	255	255	white
1	255	0	0	red
2	0	0	0	black
3	0	0	0	black
...				
9	0	0	0	black
10	255	0	0	red
11	0	0	0	black
...				
15	0	0	0	black
16	255	0	0	red
17	0	0	0	black
...				
23	0	0	0	black

جدول اللون يُمكن أن يشاهد اسفلا. هناك 24 لون في الجدول. بالعد من الزاوية اليسرى نرى بأن الدليل صفر يقابل اللون الأبيض ، قيم الدليل 1، 10، 16 تقابل الأحمر والبقية تقابل الأسود.



عرض جدول اللون



هناك ثلاثة طرق للعمل مع جداول اللون:

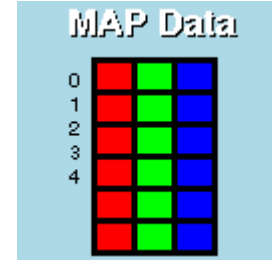
- استعمال جدول اللون فقط أثناء العرض.
- تخزين جدول اللون في نفس الملف سوية مع بيانات النقطة.
- نربط بشكل واضح نقاط الصورة إلى جدول اللون، النتيجة تكون صورة اللون الحقيقية.

تطبيقات اللون على الصور

نظام الرؤية الإنساني يُمكن أن يُمَيَّز فقط حوالي 30 من تدرجات الومادي في الصورة أحادية اللون، لكنّه يُمكن أن يُمَيَّز الهئات من تدرجات الألوان المختلفة.

تلوين الصور الرمادية هي تقنية لتخصيص الألوان بشكل إصطناعي إلى المقياس الومادي. هناك طرق مختلفة لتخصيص اللون إلى الصور الرمادية. التقنية، المعروفة بتقطيع الكثافة، يُخصَّص تدرج اللون إلى كُُلّ تدرجات الرمادي التي تُسقط تحت القيمة المحددة و تدرج آخر من اللون إلى تلك المستويات الرمادية التي تتجاوز القيمة المحددة. أغلبية التقنيات تحول المستوى الومادي للتحويلات اللونية. إنَّ الفكرة أن تُؤدِّي 3 تحويلات على المستوى الومادي المعين وتُغذِّي هذه إلى مدخلات اللون الثلاث (RGB) للشاشة الملونة. إنَّ النتيجة هي صورة مركبة التي يعتمدُ محتوى لونها على المستوى الرمادي للتحويلات اللونية.

إجراءات التلوين الآلي وخيارات خريطة اللون

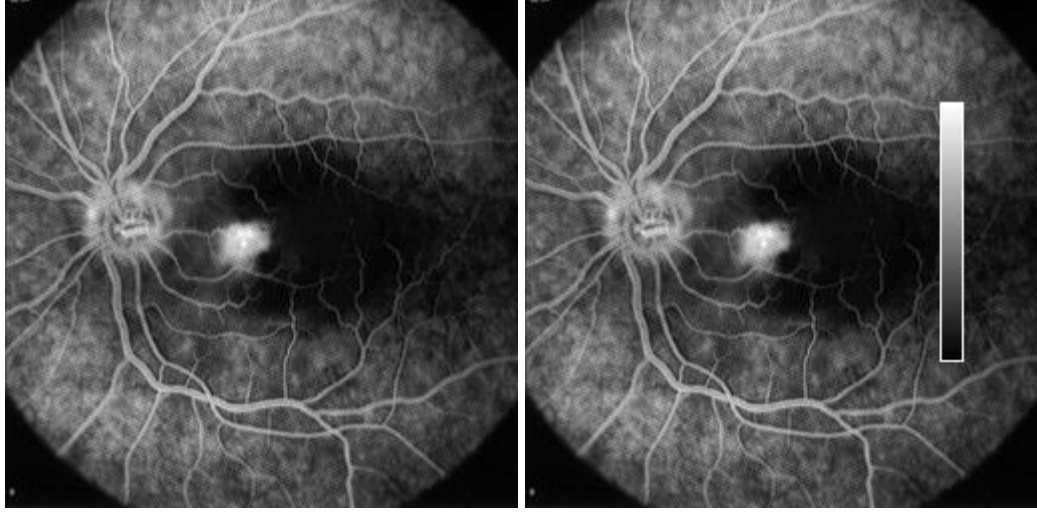


خريطة اللون

- أساساً نريدُ نُدخل خريطة اللون للصورة. وهذا يتم بطريقتين:
- إجراء التلوين الآلي: حيث أن خريطة اللون الحالي تستبدل بخريطة لون مُعرَّف.
- عملية خريطة اللون: حيث القيم الحالية في خريطة اللون تُعدَّل طبقاً لخوارزمية مُعرَّفة.

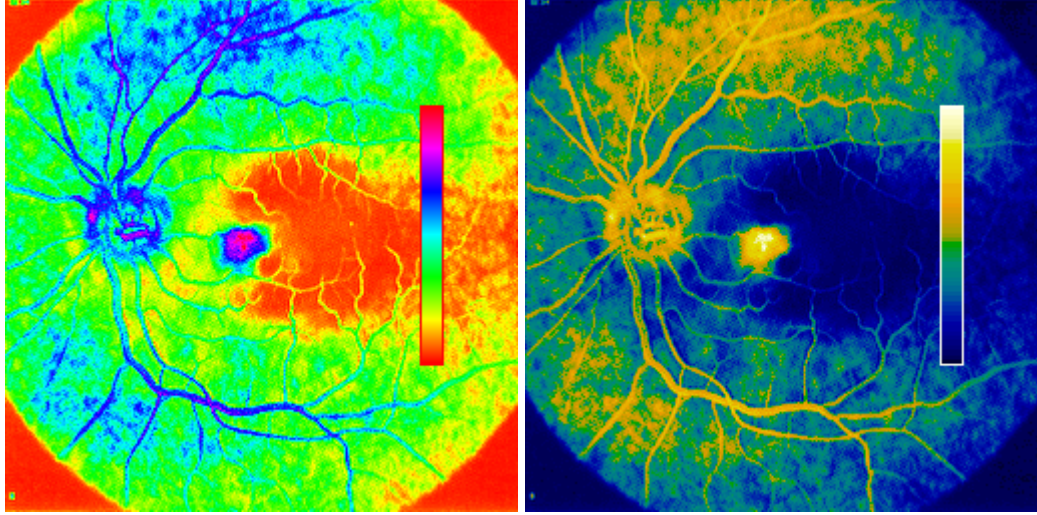
إجراءات التلوين الآلي

- هناك مخططين للخريطة.
 - تخطيط موقعي: تُقَيَّم الخريطة بأي موقع في الخريطة تُولَّد فقط كوظيفة ذلك الموقع (الهلل). ليس هناك تبعية على خصائص قيمة النقطة، إلا على التخطيط الطبيعي.
 - إعتمادية البيانات: إنَّ قِيَم الخريطة مُولَّدة كوظيفة قيمة النقطة.
- نعرض اسفلا صورة بتدرجات ال رمادي (صورة أحادية اللون) وبجانبه نفس الصورة لكن مع رفع مستويات الومادي فيها. هذا ينفذ بحيث ان جدول اللون يُمكن أن يوضح مباشرة في عرض الصورة. التقنية لتوليد الصورة مع تعلية الومادي مفيدة جداً لفهم كيف أن الألوان مُحططة في العرض.



(a) b

(a) صورة أصلية؛ (b) بتعليق رمادية
سنعرض اسفلا صورتان تستعملان جدولان مختلفان لتلوين الصور الرمادية. الصورة على اليسار تستعمل جدول
التلوين "قوس قزح" والاخرى على اليمين يستعمل جدول التلوين "Sapseudo".

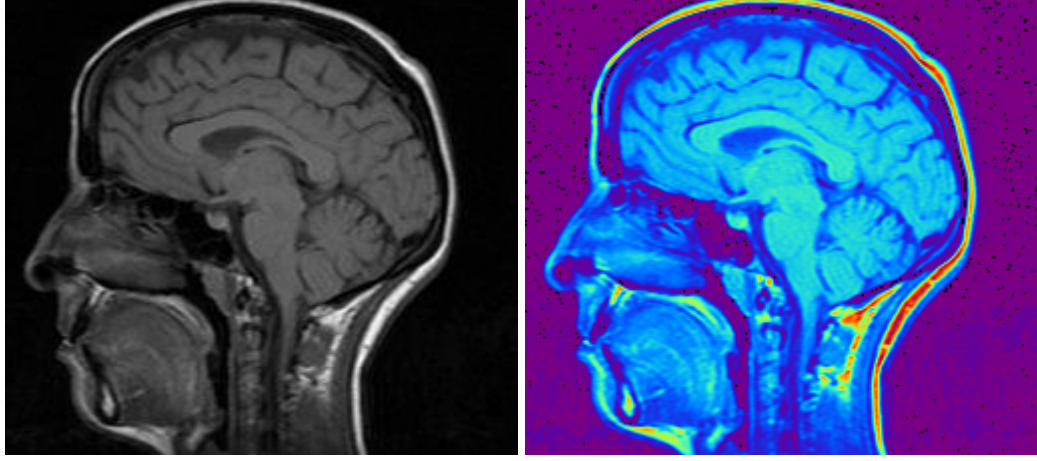


(a) b

(a) جدول التلوين قوس قزح ؛ (b) جدول التلوين Sapseudo

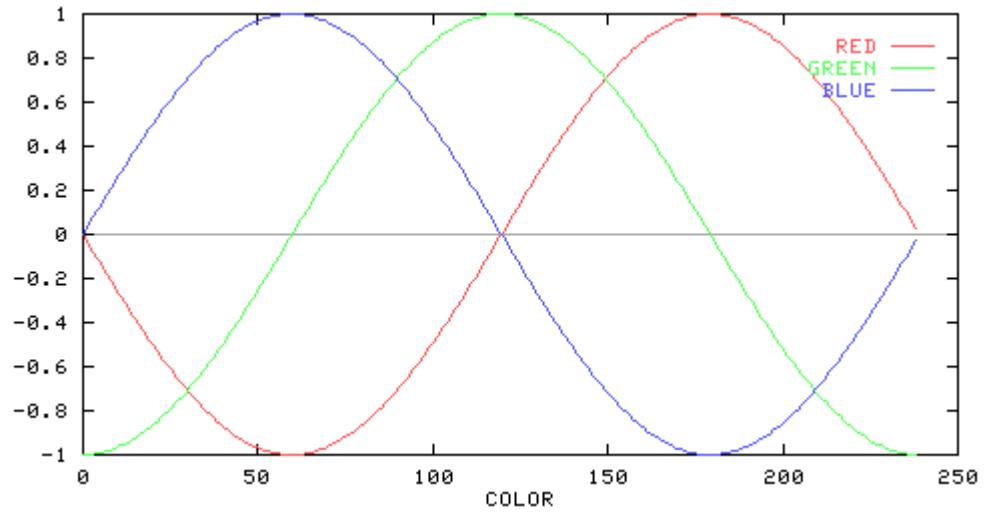
بناء جداول اللون المزيفة

سنناقش هنا، كيفية بناء جداول اللون المزيفة وتطبيقها على الصور. إن الصورة المختارة لهذه التجربة هي تصوير
بالرنين المغناطيسي لرأس الإنسان. تتراوح نقاط الصورة الأصلية من 1024 إلى 1262. يُمكن أن نجعل الصورة
طبيعية لتوافق نقطة الهابت، لكن الضرر سيكون بآرثا سنفقد قيم النقاط الأصلية.
معروض اسفلا الصورة الرمادية الأصلية ونتيجة تطبيق جدول اللون المزيف. إن غرض هذه التجربة هو أن
نعرض كيف نبنى جدول اللون المزيف المناسب لهذه الصورة. نلاحظ ان الصورة الرمادية عُرِضَتْ بتقنية إمتداد
المخطط الإحصائي.



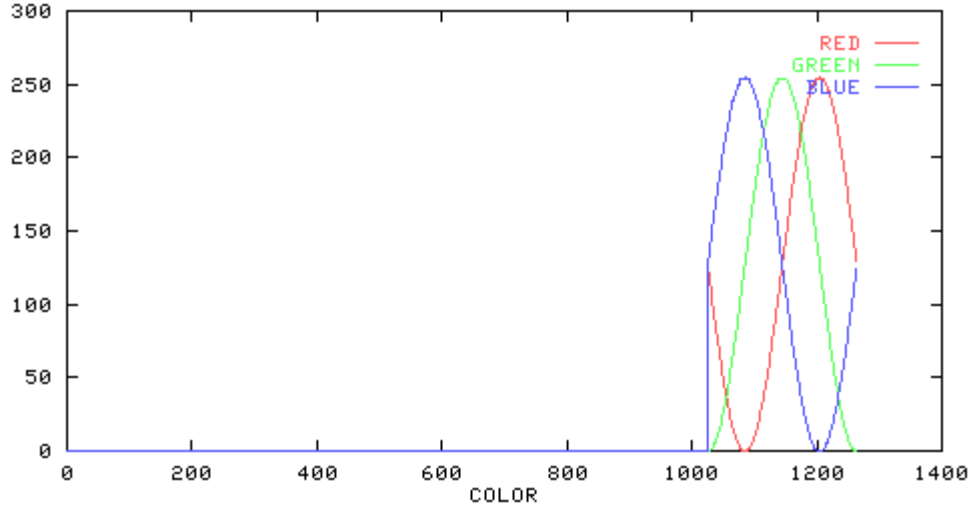
(a) أصلي؛ (b) يُلون زائف

أولاً، نحن يُمكن أن نَسْتعمل المخطط الجيبي لخلق الأعمدة الزرقاء والخضراء والحمراء المنفصلة ونضعهم مع بعض في الجدول. إن حجم الجدول مُعطى بالاختلاف بين قيم النقطة الأعلى والأوطأ في الصورة. في هذه الحالة، المدى 238، وبمعنى آخر: 1262 ناقص 1024. إختَرنا مراحل المخطط الجيبي بطريقة بحيث أن الظلال الزرقاء تَظهر على البداية والظلال الحمراء يَظهران في نهاية الجدول. إن أعمدة الجدول موضحة في التخطيط اسفلا.



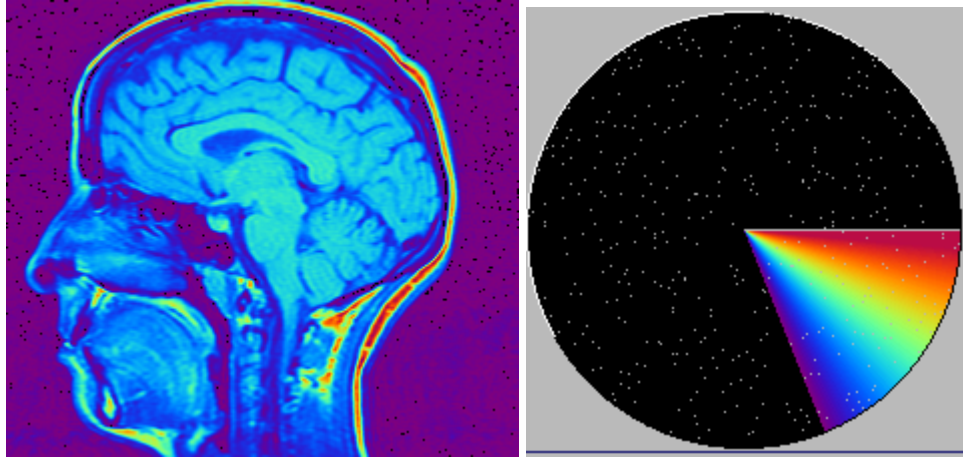
خريطة جدول اللون

لكي نطبّق الجدول إلى الصورة، من الضروري تحريك الجدول لتجاري أدلة الجدول قيم النقطة الأصلية. لإنجاز هذا، نُضيف 1024 لون أسود في بداية الجدول. هذا الجدول مَعْرُوض اسفلا.



خريطة جدول اللون

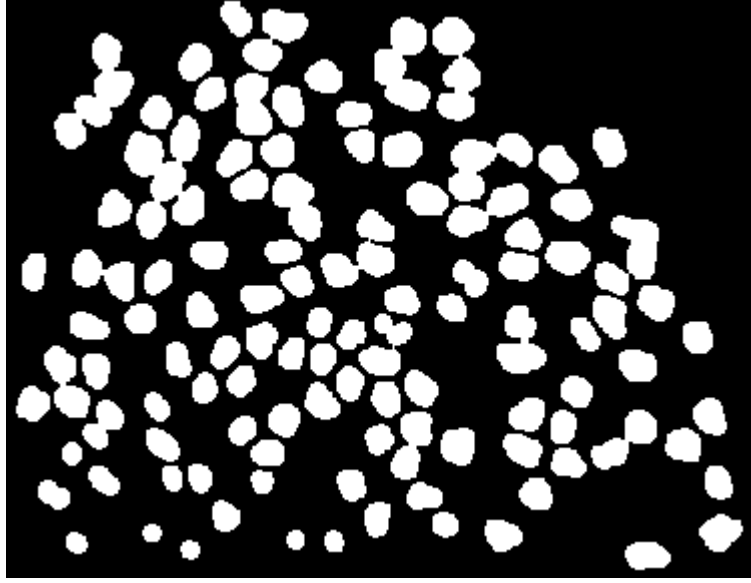
أخيراً، جدول اللون يُطبق على الصورة، النتيجة موضحة اسفلا. في الجهة اليمنى للصورة باللون الزائف، موضحة جدول اللون الممثل بعجلة اللون. في عجلة اللون، يُفهرس اللون الزيادات في إتجاه عكس عقارب الساعة.



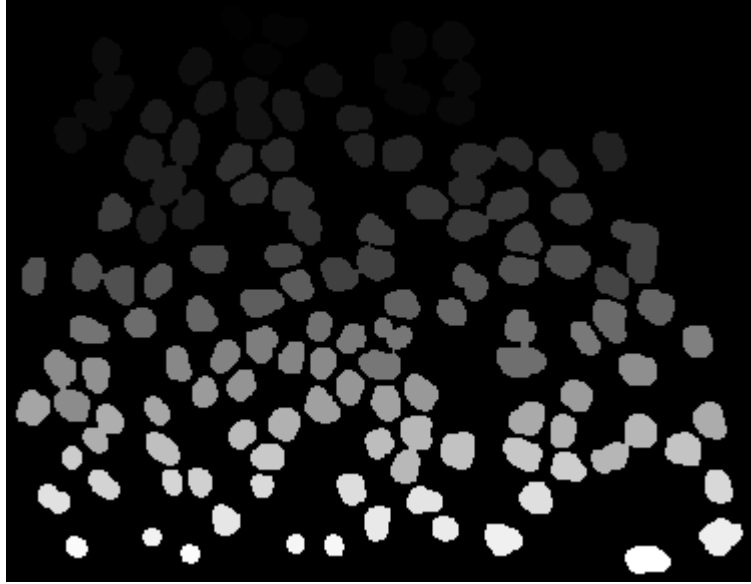
(a) بلون زائف؛ (b) رؤية جدول اللون

عرض خواص الصورة

إنّ مقياس منطقة القطاعات المرتبطة هي عملية مشتركة في تحليل الصور. يطبق تحليل الصور إلى العمليات المنفذة على الصور (البيانات ثنائية الأبعاد) لتحديد المقاييس الكمية التي يمكن ان تُصَف الصورة. مما يعني، اننا نريد أن ننتزع بعض ميزات الصورة. الميزات هي الخواص (العناصر الهدائية) التي تُستعمل لإتخاذ القرارات حول الأجسام في الصورة. بعض العناصر البدائية طبيعية ومُعرّفة بالظهور البصري للصورة. هناك ميزات أخرى ، ميزات اصطناعية وتعتبر نتيجة للعمليات المنفذة على الصورة. الإجراءات المُطبقة لتحليل الصورة هي تطبيقات موجهة. ما هو جيد لتطبيق ما قد لا يكون مناسب لآخر. مفهوم اخر مهم ويجب أن لا يُنسى وهو بأن الإجراءات على البيانات يجب ان لا تزيد محتوى معلومات البيانات الأصلية. هذه التجربة تُصَف إجراء لتوليد صورة حيث أن المنطقة كلّ قطاع مُرتبط متعلقة بظهورها البصري. إن الصورة الثنائية والاجسام المرتبطة موضحة اسفلا.

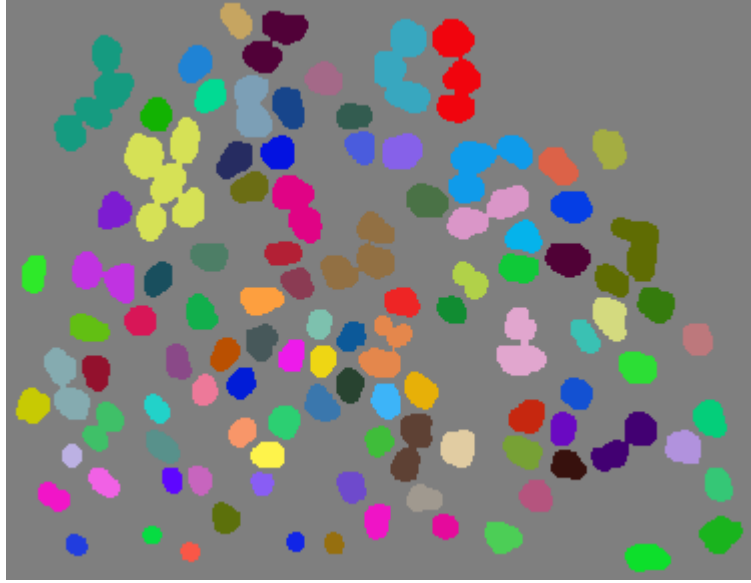


الصورة الثنائية



الصورة المعرفة

التلوين المزيف مفيد للتصوّر بشكل أفضل ويُميّز المناطق المرتبطة (الخلايا)، خصوصاً عندما يكون عدد المناطق المُجاوِرة قُرْب بعضهم البعض. المقياس الرمادي للرؤية فقير للمعرفة بين المناطق المرتبطة مباشرة.



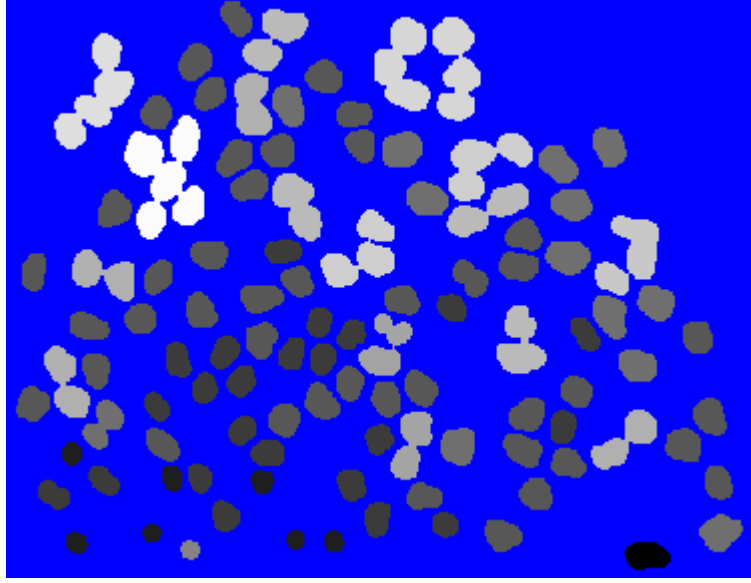
التلوين المزيف العشوائي

المخطط الإحصائي للصورة المعرفة يعطي المعلومات التالية. يعطي طول الجدول عدد المناطق المرتبطة ومحتوياته تعطي المناطق المرتبطة بكل منطقة.

Size: Width = 1, Height = 105, Depth = 1, Time = 1, Elements = 1

```
0  79409
1  204
2  542
3  795
4  784
5  946
6  242
...
...
...
101  74
102  89
103  95
104  333
```

هناك 104 منطقة مرتبطة بالإضافة للخلفية. المنطقة 1 لها 204 نقطة، المنطقة 104 لها 333 نقطة... الخ. هذا المخطط الإحصائي يُمكن أن يُستعمل كجدول خريطة اللون للصورة المعرفة. في حالة الخلفية، حيث انه هناك عدد كبير من النقاط، 79409، من الأفضل تغيير قيمته إلى الصفر، لكي تكون كل نقاط الخلفية سوداء كما هو متوقع. عرض تخطيط الصورة بالمخطط الإحصائي كنتيجة خريطة اللون.



عرض منطقة القطاعات المُرتبطة

ناقشنا فيما سبق نموذج اللون RGB ، هذا النموذج مثالي للعرض ولكن ليس لانظمة المعالجة والتمييز. التغيير البسيط في الانارة (الطبيعية، او الاصطناعية) يؤدي الى تغيير في السطوع الذي يحدد اللون، هذا يعني تغيير في اللون. هذا يدل على انه من المستحيل استعمال اللون في نموذج RGB كعنصر تمييز او مطابقة في نظم المعالجة والتمييز. لذا كان من الضروري البحث عن نماذج اخرى للون والتي لايعتمد فيها تدرج اللون على الإنارة. والتي تعتبر قاعدة جيدة لإستخدام ميزات اللون في نظم المعالجة والتمييز. سنناقش هذه النماذج والتحويلات مابينها ونموذج RGB.

نماذج اللون الرئيسية الأخرى:

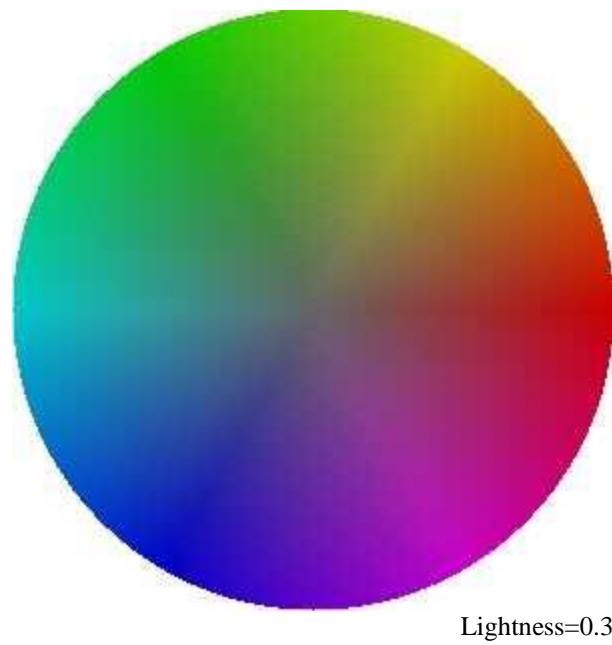
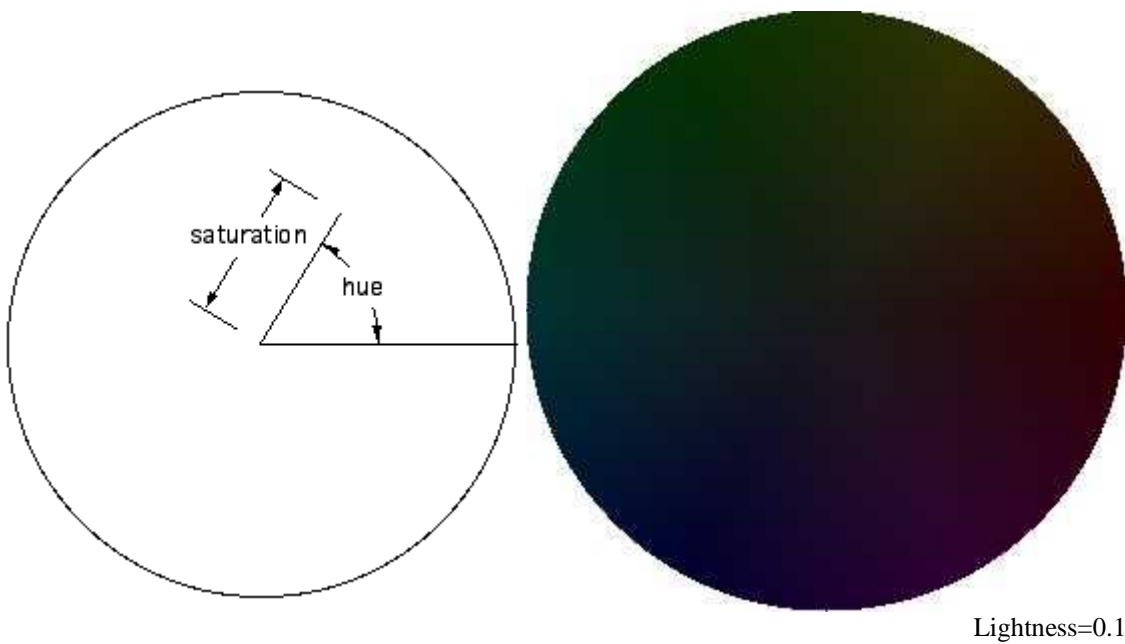
- HSL، الإشباع، تدرج اللون، الاضاءة.
- HSI، الإشباع، تدرج اللون، الكثافة
- HSV، الإشباع، تدرج اللون، القيمة

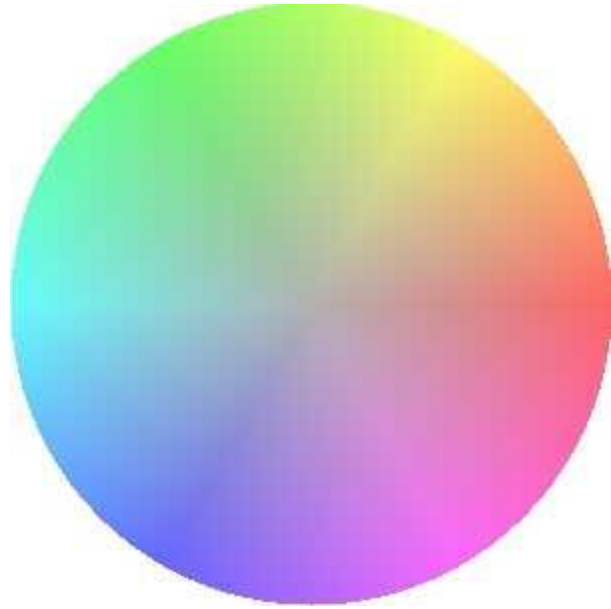
هناك عموماً طرق تحويل (تحوّل) بين نماذج اللون المختلفة بالرغم من أن في أكثر الحالات، التحويل لاخطئ. بعض نماذج اللون على سبيل المثال يُمكن أن تُمثّل الألوان التي لا يُمكن أن تُمثّل في النماذج الأخرى.

نموذج اللون HLS

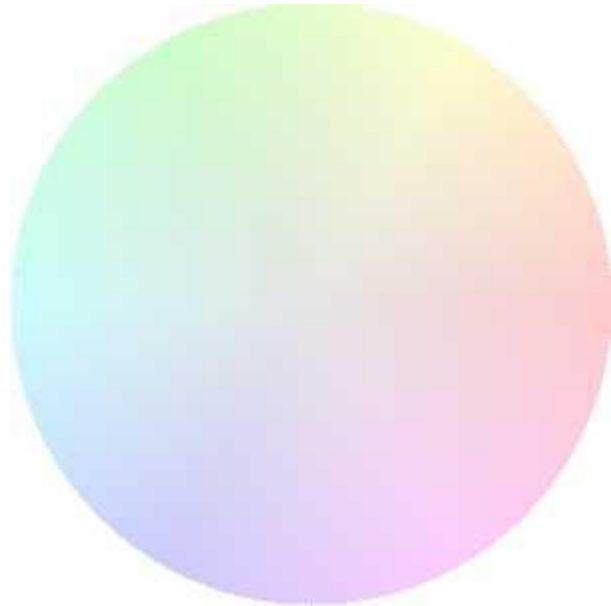
تدرج اللون (رقمه) - الإشباع - الاضاءة

نموذج اللون HLS له ثلاثة نظراء: تدرج اللون، الإشباع، الاضاءة على التوالي، هو أحياناً ييَعى باسم HLS. إن تدرج اللون هو زاوية من 0 إلى 360 درجة، نموذجياً 0 يمثل الاحمر، 60 درجة الاصفر، 120 درجة الأخضر، 180 درجة السماوي، 240 درجة الأزرق و 300 درجة القرمزي. يتراوح الإشباع نموذجياً من 0 إلى 1 (أحياناً 0 إلى 100 %) ويُعرّف كيف ان اللون مشبع بالرمادي ، يُشير 0 إلى اللون المشبع كلياً بالرمادي و 1 اللون الأساسي الصافي. الاضاءة (الخفة) بشكل حدسي هي ما يشير اليه الاسم ، تخبّي الاضاءة تُخفّض قيم الألوان الأساسية بينما تُبقيهم في نفس النسبة. إذا نموذج اللون مُمثّل بأقراص لتغيير الاضاءة فإن تدرج اللون والإشباع المكافئ إلى النظراء القطبي (r, theta) لأي نقطة على القرص. هذه الأقراص تُشاهد في الصور اسفلا للقيم المُختلفة من الاضاءة.





Lightness=0.6



Lightness=0.8

ندرج هنا كود بلغة البرمجة C للتحويل بين RGB وHLS

```
/*  
    Calculate HSL from RGB  
    Hue is in degrees  
    Lightness is between 0 and 1  
    Saturation is between 0 and 1  
*/  
HSL RGB2HSL(COLOUR c1)  
{
```

```

double themin,themax,delta;
HSL c2;

themin = MIN(c1.r,MIN(c1.g,c1.b));
themax = MAX(c1.r,MAX(c1.g,c1.b));
delta = themax - themin;
c2.l = (themin + themax) / 2;
c2.s = 0;
if (c2.l > 0 && c2.l < 1)
    c2.s = delta / (c2.l < 0.5 ? (2*c2.l) : (2-2*c2.l));
c2.h = 0;
if (delta > 0) {
    if (themax == c1.r && themax != c1.g)
        c2.h += (c1.g - c1.b) / delta;
    if (themax == c1.g && themax != c1.b)
        c2.h += (2 + (c1.b - c1.r) / delta);
    if (themax == c1.b && themax != c1.r)
        c2.h += (4 + (c1.r - c1.g) / delta);
    c2.h *= 60;
}
return(c2);
}
/*
    Calculate RGB from HSL, reverse of RGB2HSL()
    Hue is in degrees
    Lightness is between 0 and 1
    Saturation is between 0 and 1
*/
COLOUR HSL2RGB(HSL c1)
{
    COLOUR c2,sat,ctmp;

    while (c1.h < 0)
        c1.h += 360;
    while (c1.h > 360)
        c1.h -= 360;

    if (c1.h < 120) {
        sat.r = (120 - c1.h) / 60.0;
        sat.g = c1.h / 60.0;
        sat.b = 0;
    } else if (c1.h < 240) {
        sat.r = 0;
        sat.g = (240 - c1.h) / 60.0;
        sat.b = (c1.h - 120) / 60.0;
    } else {
        sat.r = (c1.h - 240) / 60.0;
        sat.g = 0;
        sat.b = (360 - c1.h) / 60.0;
    }
    sat.r = MIN(sat.r,1);
    sat.g = MIN(sat.g,1);
    sat.b = MIN(sat.b,1);

    ctmp.r = 2 * c1.s * sat.r + (1 - c1.s);
    ctmp.g = 2 * c1.s * sat.g + (1 - c1.s);
    ctmp.b = 2 * c1.s * sat.b + (1 - c1.s);

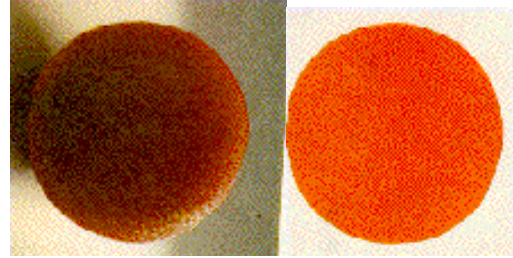
```

```

if (c1.l < 0.5) {
    c2.r = c1.l * ctmp.r;
    c2.g = c1.l * ctmp.g;
    c2.b = c1.l * ctmp.b;
} else {
    c2.r = (1 - c1.l) * ctmp.r + 2 * c1.l - 1;
    c2.g = (1 - c1.l) * ctmp.g + 2 * c1.l - 1;
    c2.b = (1 - c1.l) * ctmp.b + 2 * c1.l - 1;
}

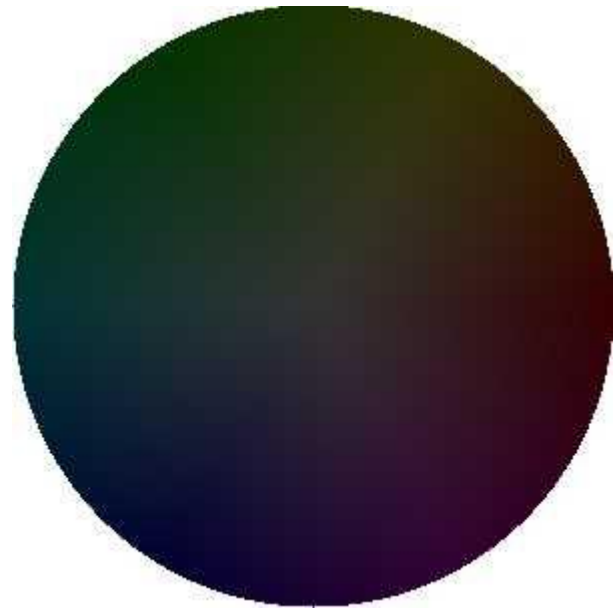
return (c2);
}

```

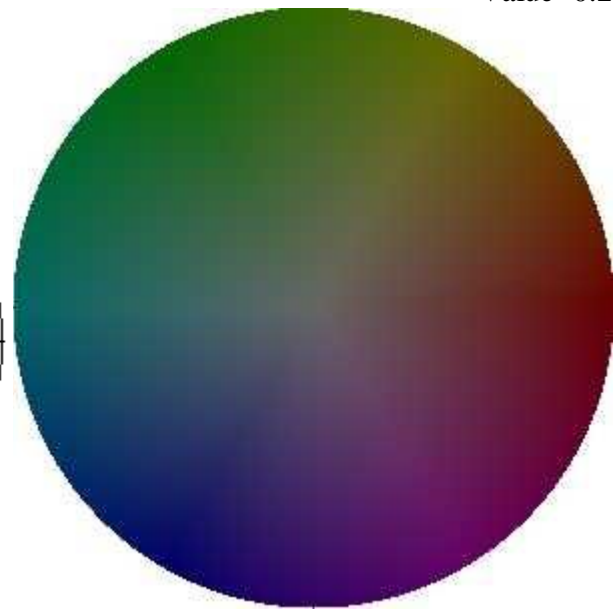
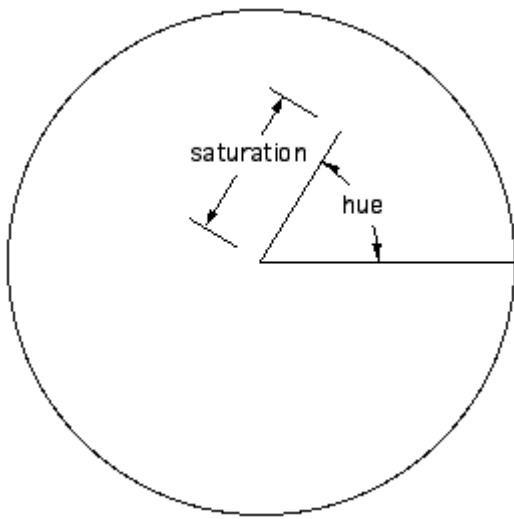


نموذج اللون HSV تدرج اللون - الإشباع - القيمة

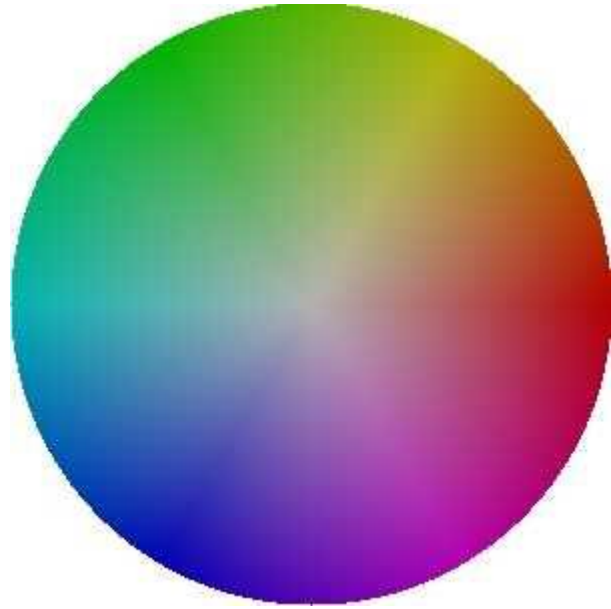
نموذج اللون HSV له ثلاثة نظراء: تدرج اللون، الإشباع، والقيمة (أحياناً مسمّاة السطوع) على التوالي. نظام اللون هذا يُنسب إلى "سميث" وكان يُدعى نموذج اللون المخروطي. إنّ تدرج اللون هو زاوية من 0 إلى 360 درجة، نموذجياً 0 يمثل الأحمر، 60 درجة الأصفر، 120 درجة الأخضر، 180 درجة السماوي، 240 درجة الأزرق و 300 درجة القرمزي. يتراوح الإشباع نموذجياً من 0 إلى 1 (أحياناً 0 إلى 100 %) ويُعرّف كيف أن اللون مشبع بالومادي، يُشير 0 إلى اللون المشبع كلياً بالومادي و 1 اللون الأساسي الصافي. القيمة مشابهة لكم هو مضى ماعده يُغيّر إشباع اللون أيضاً. إذا نموذج اللون ممثّل بأقراص تغيير الإضاءة فإن تدرج اللون والإشباع المكافئ إلى النظراء القطبي (r, theta) لأي نقطة في القرص. تُشاهد الأقراص اسفلا للقيم المُختلفة.



Value=0.2



Value=0.4



Value=0.7

ندرج هنا كود بلغة البرمجة C للتحويل بين RGB و HSV

```
/*
  Calculate RGB from HSV, reverse of RGB2HSV()
  Hue is in degrees
  Lightness is between 0 and 1
  Saturation is between 0 and 1
*/
COLOUR HSV2RGB(HSV c1)
{
    COLOUR c2,sat;

    while (c1.h < 0)
        c1.h += 360;
    while (c1.h > 360)
        c1.h -= 360;

    if (c1.h < 120) {
        sat.r = (120 - c1.h) / 60.0;
        sat.g = c1.h / 60.0;
        sat.b = 0;
    } else if (c1.h < 240) {
        sat.r = 0;
        sat.g = (240 - c1.h) / 60.0;
        sat.b = (c1.h - 120) / 60.0;
    } else {
        sat.r = (c1.h - 240) / 60.0;
        sat.g = 0;
        sat.b = (360 - c1.h) / 60.0;
    }
    sat.r = MIN(sat.r,1);
    sat.g = MIN(sat.g,1);
    sat.b = MIN(sat.b,1);
}
```

```

c2.r = (1 - c1.s + c1.s * sat.r) * c1.v;
c2.g = (1 - c1.s + c1.s * sat.g) * c1.v;
c2.b = (1 - c1.s + c1.s * sat.b) * c1.v;

return(c2);
}
/*
Calculate HSV from RGB
Hue is in degrees
Lightness is between 0 and 1
Saturation is between 0 and 1
*/
HSV RGB2HSV(COLOUR c1)
{
    double themin,themax,delta;
    HSV c2;

    themin = MIN(c1.r,MIN(c1.g,c1.b));
    themax = MAX(c1.r,MAX(c1.g,c1.b));
    delta = themax - themin;
    c2.v = themax;
    c2.s = 0;
    if (themax > 0)
        c2.s = delta / themax;
    c2.h = 0;
    if (delta > 0) {
        if (themax == c1.r && themax != c1.g)
            c2.h += (c1.g - c1.b) / delta;
        if (themax == c1.g && themax != c1.b)
            c2.h += (2 + (c1.b - c1.r) / delta);
        if (themax == c1.b && themax != c1.r)
            c2.h += (4 + (c1.r - c1.g) / delta);
        c2.h *= 60;
    }
    return(c2);
}

```

التحويلات الهندسية

التحويلات الهندسية ضرورية جدا، كجزء من المعالجة المبدئية للصور. تقوم هذه التحويلات بتوحيد شروط الإدخال (من الناحية الهندسية) بحيث تزيل الاختلافات الهندسية والمتعلقة بحجم مقاس الجسم (تغيير المقاس)، توضع الجسم بالنسبة للمحاور الإحداثية (الدوران) و موقع الجسم بالنسبة لمركز الإحداثيات (السحب). كما تستعمل التحويلات الهندسية في مرحلة إكتساب وحساب دلائل التمييز، على سبيل المثال، عند حساب قيمة المطابقة بإستعمال مبدأ الإسقاط للتمييز. التحويلات الهندسية تستخدم بشكل واسع في أنظمة الجرافيك، حيث تستخدم لتشكيل وعرض الاجسام من زوايا مراقبة مختلفة. التحويلات الهندسية تستخدم أيضا في أنظمة الرسوم المتحركة (الكرتون) ذلك لتشكيل الحركة للأجسام ضمن الصورة بالنسبة للخلفية.

الطرق الكلاسيكية لتنفيذ التحويلات الهندسية تتلخص بضرب المصفوفة الممثلة للصورة بعامل التحويل الهندسي. سنعرض في هذا القسم هذه التحويلات بالطريقة الكلاسيكية، غير انه يوجد خوارزميات سريعة تنفذ التحويلات الهندسية بشكل اسرع. كذلك قمت انا بإختراع ثلاثة أجهزة تنفذ التحويلات الهندسية بنفس زمن قراءة الصورة على الشاشة، بحيث تنفذ التحويلات بزمن تحديث الصور على الشاشة. سيتم عرض ومناقشة الخوارزميات السريعة والاجهزة المبنية على اساس هذه الخوارزميات بالكتاب المتعلق بالرسم الآلي (الجرافيك)، الذي سيتم اصداره لاحقا.

الزيادة الخطية

المجموعة ذات المركز الخطي الم فيدة جداً هي الزيادة الخطية. لنفترض ان $a, b \in \mathbf{E}^3$ هما نقطتان ونفترض ان الأوزان هي $1-t$ و t لِبَعْضِ الأعدادِ الحقيقيَّةِ (العوامل) t . فإن النقاط

$$L = L(t) = (1 - t)a + tb, t \in \mathbf{R}$$

تسمى الخَطَّ المستقيم خلال a و b . إنَّ الخَطَّ $L(t)$ هو المجموعة ذات الخط المركزي. إذا حددنا العامل t للوَقُوعِ بين $0 \leq t \leq 1$ الصفر و $L(t)$ هي مجموعة محدّبة: هي قطعة الخَطِّ من a لـ b . لاحظْ بأنَّ هناك إتجاه السَّيْرِ الذي دَلَّ عليه على طول الخَطِّ.

المصفوفات

المصفوفات $n \times m$ هي الأداة الأساسية التي تَحَوَّلُ النقاط مِنْ \mathbf{E}^3 إلى \mathbf{E}^3 . المصفوفة هي ترتيب مَن n صفوف و m أعمدة. نَحْتَاجُ لمَعْرِفَةٍ كَيْفَ يُؤَدَّى ضربِ المصفوفة. أغلب مصفوفاتنا سَتَكُونُ 4×4 ، لَكِنَّهُمْ سَيَبْدَأُونَ ك 3×3

الإدعاء بأنَّ ضربِ المصفوفة هو مُنْتَجَاتِ المجموعة الداخلية المفيدة حيث أنها تُرَوِّدُ بتفسير هندسي. ذلك، العنصر (i, j) في المُنتَجِ AB المُنتَجِ الداخلي للصف- i من A مَعَ العمود- j من B .

الصفوف والأعمدة

الصف

$$P = [x \ y \ z \ w]$$

يَجِبُ أَنْ يُفَكَّرَ به كنقطة.

العمود

$$E = \begin{bmatrix} a \\ b \\ c \\ d \end{bmatrix}$$

يَجِبُ أَنْ يُفَكَّرَ به كمستوي.

$$P \cdot E = [x \ y \ z \ w] \begin{bmatrix} a \\ b \\ c \\ d \end{bmatrix} = ax + by + cz + dw$$

كمية ذات بعد واحد (عدد حقيقي). إذا القيمة صفر، فإن النقطة تقع في المستوى.

تغيير المقياس (التصغير أو التكبير)

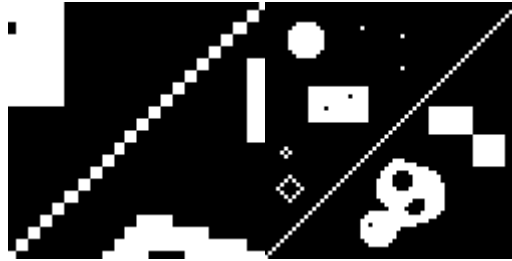
يُعدّل قياس حجم الجسم. لنفترض انه لدينا نقطة و التي هي قَمّة جسم ما، ولنفترض ان (s_x, s_y, s_z) هي عوامل المقياس في x, y, z ، على التوالي. فإن النقطة يُمكن أن تُقاس إلى نقطة جديدة (تغيير المقياس) بالمصفوفة التالية:

$$S = \begin{bmatrix} s_x & 0 & 0 \\ 0 & s_y & 0 \\ 0 & 0 & s_z \end{bmatrix}.$$

بشكل خاص،

$$pS = (x \ y \ z) \begin{bmatrix} s_x & 0 & 0 \\ 0 & s_y & 0 \\ 0 & 0 & s_z \end{bmatrix} = (s_x x \ s_y y \ s_z z).$$

لتغيير مقياس (تكبير أو تصغير) حجم الجسم، فإن كلّ قَمّة جسم يجب ان تضرب بمصفوفة المقياس S الموضحة اعلاه.



(a) صورة أصلية؛ (b) تغيير المقاس (تكبير)

كود تغيير المقاس بلغة البرمجة C++

```
void scale(float sx, float sy)
{
    int xm, ym, col;
    int x1, x2, y1, y2, i, j;
    float dx, dy, ii, jj;
    xm = trunc((xm1 + xm2) / 2);
    ym = trunc((ym1 + ym2) / 2);
    x1 = trunc(xm1 - xm);
    y1 = trunc(ym1 - ym);
    x1 = trunc(x1 * sx);
    y1 = trunc(y1 * sy);
    x1 = trunc(x1 + xm);
    y1 = trunc(y1 + ym);
    x2 = trunc(xm2 - xm);
    y2 = trunc(ym2 - ym);
    x2 = trunc(x2 * sx);
    y2 = trunc(y2 * sy);
    x2 = trunc(x2 + xm);
```

```

y2=trunc (y2+ym) ;
dx=(1/sx) ;
dy=(1/sy) ;
jj=0;
for (y=y1;y<=y2;y++)
{
    ii=0;
    for (x=x1;x<=x2;x++)
    {

        i=(int) ii;
        j=(int) jj;
        col=mm[i][j];
        if (col==0 )
        {
            col=cc[i][j];
            putpixel (x,y,col);
        }
        ii+=(dx) ;
    }
    jj+=(dy) ;
}
}

```

نقطة ثابتة للمقياس

نلاحظ ان الأصل $O = [000]$ بدون تغييرٍ مِنْ قَبْلِ المقياس (هو ما زال الأصل). هناك دائماً نقطة ثابتة واحدة لأيّ عملية قِيَاسٍ. بالأساس النقطة الثابتة هي الأصل $O = (000)$ ، لكننا يُمكنُ أَنْ نَخْتَارَ نقطة ثابتة إعتباطية $F = [x_f \ y_f \ z_f]$ بالعملية التالية ذات الثلاث خطوات، التي سَتَكُونُ مُعَرَّفَةً بتفصيل أكثر اسفلا.

- السحب (النقل، التحريك) إلى $O = [000]$ $F = [x_f \ y_f \ z_f]$
- تغيير المقياس بـ $[s_x \ s_y \ s_z]$
- السحب (النقل، التحريك) إلى $O = [000]$ $F = [x_f \ y_f \ z_f]$

معكوس تغيير المقياس

طالما اننا لا نَغيّر بالمَقْيَاس "الصفر" ، تغيير المقياس يُمكنُ أَنْ يَكُونُ مَعكُوسَ دائماً (مُلغى) بالمصفوفة التالية:

$$S^{-1} = \begin{bmatrix} \frac{1}{s_x} & 0 & 0 \\ 0 & \frac{1}{s_y} & 0 \\ 0 & 0 & \frac{1}{s_z} \end{bmatrix}.$$

المُنْتَج $SS^{-1} = S^{-1}S = I$ ، 3×3 مصفوفة مطابقة.

الدوران

الدوران يُحْدِلُ توجيهَ الجسم: هـ و معقد بشكل أكثر مِنْ تغيير المقياس. سنبدأ في الدوران في الصور الثنائية الأبعاد لانه أسهل ومطلوب بشكل كبير في معالجة وتمييز الصور.

الدوران في بُعدين

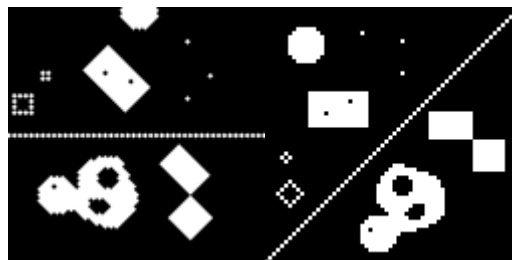
الدوران يَحْرَكُ النقطة على طول طريق دائري مركزه في الأصل (المدار). هو مشكلة عِلْمِ المثلثات البسيطة لعرض الدوران $P = [x \ y]$ بعكس عقرب الساعة بزاوية θ ينتج النقطة الجديدة $P' = [x' \ y']$ باستعمال الصيغة التالية:

$$\begin{aligned} x' &= x \cos \theta - y \sin \theta \\ y' &= y \cos \theta + x \sin \theta \end{aligned}$$

على سبيل المثال، لنفترض ان $P = [1 \ 1]$ و $\theta = \pi/2$ فإن، $P' = [-1 \ 1]$ ، أنت يَجِبُ أَنْ تُوافَقَ بأنه يَجاري الوصفَ بشكل صحيح.

بالطبع، نحن يُمكنُ أَنْ نعطي الدورانَ في شكلِ المصفوفة

$$\begin{bmatrix} x' & y' & 1 \end{bmatrix} = \begin{bmatrix} x & y & 1 \end{bmatrix} \begin{bmatrix} \cos \theta & \sin \theta & 0 \\ -\sin \theta & \cos \theta & 0 \\ 0 & 0 & 1 \end{bmatrix}$$



(a) صورة أصلية؛ (b) الدوران (بزاوية 45 درجة)

كود دوران الجسم بلغة البرمجة C++

```
void rotate(int ang)
{
    int i, j, yt1, yt2, yt3, yt4, xt1, xt2, xt3, xt4;
    int x1, y1, x2, y2, x3, y3, x4, y4, x0, y0, col, xrn, xrk, yrn, yrk;
    int xm, ym, xn, yn, xk, yk, ms, e3, e4, sx, sy, flag;
    int dx1, dx2, dy1, dy2, fl1, fl2, s11, s12, s21, s22, e1, e2;
    int xp1, xp2, yp1, yp2, d, d1=128, d2=34;
    float co, si, k1x, k1y, xwk, ywk, a;
    double pi;
```

```

pi=atan(1.0)*4.0;
for (i=0;i<=90;i++)
    val[i]=sin(((float)i*pi)/180.0);

    xm=xm1+5;
    ym=trunc((ym1+ym2)/2);
    if (ang > 360)
        ang--=(floor(ang/360)*360);
    //if (ang < 0)
        //ang=360-ang;

    if (ang >=0 && ang <= 90)
    {
        co=val[90-ang];
        si=val[ang];
        x0=trunc((xm1-xm)*aspectratio);
        y0=ym1-ym;
        x1=xm+trunc((x0*co-y0*si)/aspectratio);
        y1=ym+trunc(x0*si+y0*co);
        x0=trunc((xm2-xm)*aspectratio);
        y0=ym1-ym;
        x3=xm+trunc((x0*co-y0*si)/aspectratio);
        y3=ym+trunc(x0*si+y0*co);
        x0=trunc((xm1-xm)*aspectratio);
        y0=ym2-ym;
        x2=xm+trunc((x0*co-y0*si)/aspectratio);
        y2=ym+trunc(x0*si+y0*co);
        x0=trunc((xm2-xm)*aspectratio);
        y0=ym2-ym;
        x4=xm+trunc((x0*co-y0*si)/aspectratio);
        y4=ym+trunc(x0*si+y0*co);
        yt1=y1; yt2=y2;   yt3=y3;   yt4=y4;
        xt1=x1; xt2=x2; xt3=x3; xt4=x4;
        xw=xm1; yw=ym1; xwk=xm1; ywk=ym1;
        xrn=xm1; yrn=ym1; xrk=xm1; yrk=ym1;
        yn=ym2; xn=xm1; yk=ym1; xk=xm2;
        sx=1; sy=1; flag=1;
    }
    else
        if (ang >=91 && ang <= 180)
        {
            co=val[ang-90];
            si=val[180-ang];
            x0=trunc((xm1-xm)*aspectratio);
            y0=ym1-ym;
            x1=xm+trunc((-x0*co-y0*si)/aspectratio);
            y1=ym+trunc(+x0*si-y0*co);
            x0=trunc((xm2-xm)*aspectratio);
            y0=ym1-ym;
            x3=xm+trunc((-x0*co-y0*si)/aspectratio);
            y3=ym+trunc(x0*si-y0*co);
            x0=trunc((xm1-xm)*aspectratio);
            y0=ym2-ym;
            x2=xm+trunc((-x0*co-y0*si)/aspectratio);
            y2=ym+trunc(x0*si-y0*co);
            x0=trunc((xm2-xm)*aspectratio);

```

```

y0=ym2-ym;
x4=xm+trunc((-x0*co-y0*si)/aspectratio);
y4=ym+trunc(x0*si-y0*co);
yt1=y2;      yt2=y4;      yt3=y1; yt4=y3;
xt1=x2; xt2=x4; xt3=x1; xt4=x3;
xw=xm1; yw=ym2; xwk=xm1; ywk=ym2;
xrn=xm1; yrn=ym2; xrk=xm1; yrk=ym2;
yn=ym2; xn=xm2; yk=ym1; xk=xm1;
sx=1; sy=-1; flag=2;
}
else
    if (ang >=181 && ang <= 270)
    {
        co=val[270-ang];
        si=val[ang-180];
        x0=trunc((xm1-xm)*aspectratio);
        y0=ym1-ym;
        x1=xm+trunc((-x0*co+y0*si)/aspectratio);
        y1=ym+trunc(-x0*si-y0*co);
        x0=trunc((xm2-xm)*aspectratio);
        y0=ym1-ym;
        x3=xm+trunc((-x0*co+y0*si)/aspectratio);
        y3=ym+trunc(-x0*si-y0*co);
        x0=trunc((xm1-xm)*aspectratio);
        y0=ym2-ym;
        x2=xm+trunc((-x0*co+y0*si)/aspectratio);
        y2=ym+trunc(-x0*si-y0*co);
        x0=trunc((xm2-xm)*aspectratio);
        y0=ym2-ym;
        x4=xm+trunc((-x0*co+y0*si)/aspectratio);
        y4=ym+trunc(-x0*si-y0*co);
        yt1=y4; yt2=y3; yt3=y2; yt4=y1;
        xt1=x4; xt2=x3; xt3=x2; xt4=x1;
        xw=xm2; yw=ym2; xwk=xm2; ywk=ym2;
        xrn=xm2; yrn=ym2; xrk=xm2; yrk=ym2;
        yn=ym1; xn=xm2; yk=ym2; xk=xm1;
        sx=-1; sy=-1; flag=1;
    }
else
    {
        co=val[ang-270];
        si=val[360-ang];
        x0=trunc((xm1-xm)*aspectratio);
        y0=ym1-ym;
        x1=xm+trunc((x0*co+y0*si)/aspectratio);
        y1=ym+trunc(-x0*si+y0*co);
        x0=trunc((xm2-xm)*aspectratio);
        y0=ym1-ym;
        x3=xm+trunc((x0*co+y0*si)/aspectratio);
        y3=ym+trunc(-x0*si+y0*co);
        x0=trunc((xm1-xm)*aspectratio);
        y0=ym2-ym;
        x2=xm+trunc((x0*co+y0*si)/aspectratio);
        y2=ym+trunc(-x0*si+y0*co);
        x0=trunc((xm2-xm)*aspectratio);
        y0=ym2-ym;
        x4=xm+trunc((x0*co+y0*si)/aspectratio);
    }

```



```

        y4=ym+trunc(-x0*si+y0*co);
        yt1=y3; yt2=y1; yt3=y4; yt4=y2;
        xt1=x3; xt2=x1; xt3=x4; xt4=x2;
        xw=xm2; yw=ym1; xwk=xm2; ywk=ym1;
        xrn=xm2; yrn=ym1; xrk=xm2; yrk=ym1;
        yn=ym1; xn=xm1; yk=ym2; xk=xm2;
        sx=-1; sy=1; flag=2;
    }

if(ang==90||ang==180||ang==270||ang==360)
{
    xp1=xt2; yp1=yt2; xp2=xt1; yp2=yt1;
}
else
{
    xp1=xt1; yp1=yt1; xp2=xt1; yp2=yt1;
}
dx1 = abs(xt2 - xt1);
dy1 = abs(yt2 - yt1);
s11= sign(xt2-xt1);
s21= sign(yt2-yt1);
if (dy1 > dx1)
{
    ms = dx1;
    dx1 = dy1;
    dy1 = ms;
    fl1 = 1;
}
else
    fl1 = 0;
e1 = 2 * dy1 - dx1;
e3 = e1;
dx2 = abs(xt3 - xt1);
dy2 = abs(yt3 - yt1);
s12= sign(xt3-xt1);
s22= sign(yt3-yt1);
if (dy2 > dx2)
{
    ms = dx2;
    dx2 = dy2;
    dy2 = ms;
    fl2 = 1;
}
else
    fl2 = 0;
e2 = 2 * dy2 - dx2;
e4 =e2;
if(flag==1)
{
    k1y=(float)d2/dx1;
    k1x=(float)d1/dx2;
}
else
{
    k1y=(float)d1/dx1;
    k1x=(float)d2/dx2;
}

```

```

kly=(float)kly*sy;
klx=(float)klx*sx;
for (y=yp1;y<yt4-1;y++)
{
    while (yp1==y || yp2==y)
    {
        robekt1(xp1,xp2,xrn,yrn,xrk,yrk,ang,yt2);
        if (yp1==y)
        {
            if (y<yt2)
            {
                if (flag==1)
                {
                    yw=yw+kly;
                    yrn=(int) yw;
                    xrn=xn;
                }
                else
                {
                    xw=xw+klx;
                    xrn=(int) xw;
                    yrn=yn;
                }
                while ( e1 >= 0)
                {
                    if (fl1==1)
                        xp1 = xp1 + s11;
                    else
                        yp1 = yp1 + s21;
                    e1 = e1 - 2 * dx1;
                }
                if (fl1== 1)
                    yp1= yp1 + s21;
                else
                    xp1 = xp1 + s11;
                e1 = e1 + 2 * dy1;
            }
            if ((y>=yt2&& y<=yt4) && (y<=dx2+yt2))
            {
                if (flag==1)
                {
                    xw=xw+klx;
                    xrn=(int) xw;
                    yrn=yn;
                }
                else
                {
                    yw=yw+kly;
                    yrn=(int) yw;
                    xrn=xn;
                }
                while ( e4 >= 0)
                {
                    if (fl2==1)
                        xp1 = xp1 + s12;
                    else
                        yp1 = yp1 + s22;
                }
            }
        }
    }
}

```

```

        e4 = e4 - 2 * dx2;
    }
    if (f12== 1)
        yp1= yp1 + s22;
    else
        xp1 = xp1 + s12;
        e4 = e4 + 2 * dy2;
    }
}
if (yp2==y)
{
    if (y<yt3)
    {
        if (flag==1)
        {
            xwk=xwk+k1x;
            xrk=(int)xwk;
            yrk=yk;
        }
        else
        {
            ywk=ywk+k1y;
            yrk=(int)ywk;
            xrk=xk;
        }
        while ( e2 >= 0)
        {
            if (f12==1)
                xp2 = xp2 + s12;
            else
                yp2 = yp2 + s22;
                e2 = e2 - 2 * dx2;
            }
            if (f12== 1)
                yp2= yp2 + s22;
            else
                xp2 = xp2 + s12;
                e2 = e2 + 2 * dy2;
            }
        }
    if (y>=yt3&& y<=yt4)
    {
        if (flag==1)
        {
            ywk=ywk+k1y;
            yrk=(int)ywk;
            xrk=xk;
        }
        else
        {
            xwk=xwk+k1x;
            xrk=(int)xwk;
            yrk=yk;
        }
        while ( e3 >= 0)
        {
            if (f11==1)
                xp2 = xp2 + s11;

```

```

else
    yp2 = yp2 + s21;
e3 = e3 - 2 * dx1;
}
if (fl1== 1)
    yp2= yp2 + s21;
else
    xp2 = xp2 + s11;
e3 = e3 + 2 * dy1;
}
}
}
}
}

```

مدار الدوران

بالأساس نقطة المدار الأصل $o = [000]$ ، لَكُنَّا يُمكنُ أَنْ نأخذ لمدار إعتباطي $P = [x_p y_p]$ بإستعمال ثلاثة خطوات مُعالِجَة مشابهة لتلك التي في حالة تغيير المقياس وذلك حول نقطة ثابتة إعتباطية.

- السحب $P = [x_p y_p]$ إلى $O = [00]$
- الدوران بالزاوية θ
- السحب $0 = [00]$ إلى $P = [x_p y_p]$

الدوران في ثلاثة أبعاد

تدار النقاط في الأبعاد الثلاث حول محور، الذي هو خط في الفضاء الثلاثي الأبعاد. هناك محاور اساسية ثلاثة: x , y , z . نَفترضُ ان النظام منسق من الناحية اليمنى، بالإخذ بالإعتبار ان الدوران الإيجابي هو بعكس عقارب الساعة.

دوران $P = [x y z]$ حول محور z بزاوية θ ينتج نقطة جديدة $P' = [x' y' z']$ حيث

$$\begin{aligned}
 x' &= x \cos \theta - y \sin \theta \\
 y' &= x \sin \theta + y \cos \theta \\
 z' &= z
 \end{aligned}$$

أو في ترقيم المصفوفة

$$[x' y' z'] = [x y z] \begin{bmatrix} \cos \theta & \sin \theta & 0 \\ -\sin \theta & \cos \theta & 0 \\ 0 & 0 & 1 \end{bmatrix} = [x y z] R_z = [x y z] R_{xy}.$$

إنَّ التَّرفيمَ R_z و R_{xy} يَقْصِدُ أَنْ يَكُونَ متعلَق بالذاكرة للدوران حول z و الدوران من x نحو y . الدوران حول الاحداثي x بالزاوية θ ينتج نقطة جديدة $P' = [x' y' z']$ حيث

$$\begin{aligned} x' &= x \\ y' &= y \cos \theta - z \sin \theta \\ z' &= y \sin \theta + z \cos \theta \end{aligned}$$

أو في ترقيم المصفوفة

$$[x' y' z'] = [x y z] \begin{bmatrix} 1 & 0 & 0 \\ 0 & \cos \theta & \sin \theta \\ 0 & -\sin \theta & \cos \theta \end{bmatrix} = [x y z] R_x = [x y z] R_{yz}.$$

الدوران حول الإحداثي y بزاوية θ ينتج نقطة جديدة $P' = [x' y' z']$ حيث

$$\begin{aligned} x' &= x \cos \theta + z \sin \theta \\ y' &= y \\ z' &= -x \sin \theta + z \cos \theta \end{aligned}$$

أو في ترقيم المصفوفة

$$[x' y' z'] = [x y z] \begin{bmatrix} \cos \theta & 0 & \sin \theta \\ 0 & 1 & 0 \\ -\sin \theta & 0 & \cos \theta \end{bmatrix} = [x y z] R_y = [x y z] R_{zx}.$$

زوايا الدوران حول المحاور الأساسية تدعى زوايا *Euler*.

معكوس الدوران

معكوس الدوران بزاوية θ يُمكن أَنْ يُخْلَقَ بالدوران بزاوية $-\theta$ ، لكن هذه ليست أفضل طريقة. لنفترض المُعرفات المثلثاتية :

$$\begin{aligned} \cos(-\theta) &= \cos \theta \\ \sin(-\theta) &= -\sin \theta \end{aligned}$$

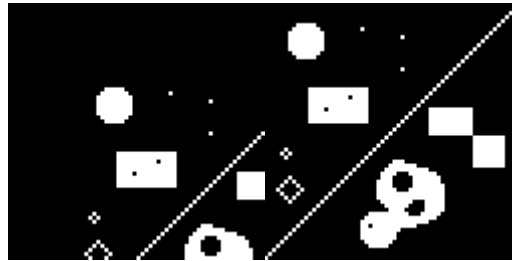
إذا نحن نضيف هذا إلى الدوران الإعتباطي مِنْ المعادلة (1) ، فإننا سنرى بأنَّ معكوس R هو النقل لـ R . هذه ملاحظة مهمة.

النقل (السحب، التحريك)

يُغيّر السحب موقع الجسم. السحب الصافي (ثلاثي الأبعاد) لا يُمكن أن يُطبّق باستعمال المصفوفة 3×3 : هي خريطة تقويم. نحن يجب أن نُعدّل فكرتنا عن النقطة لتطبيق السحب. أي نقطة ثلاثية الأبعاد ستُضمّن في الفضاء المتجانس الثلاثي الأبعاد. الآن، المنسق المتجانس w سيكون عنده القيمة الثابتة 1. هذا يسمح لنا لتطبيق السحب باستعمال المصفوفات 4×4 ، بشكل خاص، المصفوفة

$$T = \begin{bmatrix} 1 & 0 & 0 & 0 \\ 0 & 1 & 0 & 0 \\ 0 & 0 & 1 & 0 \\ t_x & t_y & t_z & 1 \end{bmatrix}$$

تسحب (تنقل) النقطة $P_h = [x \ y \ z \ 1]$ إلى النقطة $P'_h = [x + t_x \ y + t_y \ z + t_z \ 1]$.



(a) صورة أصلية؛ (b) السحب

كود سحب الجسم بلغة البرمجة C++

```
void translate(int dx,int dy)
{
    int ii,jj,col;
    xm1+=dx;
    ym1+=dy;
    xm2+=dx;
    ym2+=dy;
    for (y=ym1;y<=ym2;y++)
    {
        jj=y-ym1;
        for (x=xm1;x<=xm2;x++)
        {
            ii=x-xm1;
            col=mm[ii][jj];
            if (col==0 )
            {
                col=cc[ii][jj];
                putpixel(x,y,col);
            }
        }
    }
}
```

}
 }
 }

معكوس السحب

لإلغاء السحب t_x, t_y, t_z نستعمل المصفوفة التالية:

$$T^{-1} = \begin{bmatrix} 1 & 0 & 0 & 0 \\ 0 & 1 & 0 & 0 \\ 0 & 0 & 1 & 0 \\ -t_x & -t_y & -t_z & 1 \end{bmatrix}.$$

نحن يُمكنُ أَنْ نُكْمَلْ تغيير القياس الآن حول نقطة ثابتة إعتباطية و الدوران حول مدار إعتباطي. ل تغيير القياس $F = [x_f \ y_f \ z_f]$ نستعمل، تركيب المصفوفات التالية :

$$\begin{bmatrix} 1 & 0 & 0 & 0 \\ 0 & 1 & 0 & 0 \\ 0 & 0 & 1 & 0 \\ -x_f & -y_f & -z_f & 1 \end{bmatrix} \begin{bmatrix} s_x & 0 & 0 & 0 \\ 0 & s_y & 0 & 0 \\ 0 & 0 & s_z & 0 \\ 0 & 0 & 0 & 1 \end{bmatrix} \begin{bmatrix} 1 & 0 & 0 & 0 \\ 0 & 1 & 0 & 0 \\ 0 & 0 & 1 & 0 \\ x_f & y_f & z_f & 1 \end{bmatrix}$$

التي تعطي :

$$\begin{bmatrix} s_x & 0 & 0 & 0 \\ 0 & s_y & 0 & 0 \\ 0 & 0 & s_z & 0 \\ x_f(1-s_x) & y_f(1-s_y) & z_f(1-s_z) & 1 \end{bmatrix}.$$

لذا نقطة تغيير القياس $[x \ y \ z \ 1]$ تُصبحُ

$$[x' \ y' \ z' \ 1] = [x \ y \ z \ 1] \begin{bmatrix} s_x & 0 & 0 & 0 \\ 0 & s_y & 0 & 0 \\ 0 & 0 & s_z & 0 \\ x_f(1-s_x) & y_f(1-s_y) & z_f(1-s_z) & 1 \end{bmatrix} \quad (2)$$

$$= [xs_x + x_f(1-s_x) \ ys_y + y_f(1-s_y) \ zs_z + z_f(1-s_z) \ 1] \quad (3)$$

بطريقةٍ مماثلة يُمكنُ أَنْ نَقَرَّرَ بأنَّ الدورانَ حول $R = [x_r \ y_r]$ يُؤدِّي مدارٌ إليه

$$\begin{aligned} x' &= x_r + (x - x_r) \cos \theta - (y - y_r) \sin \theta \\ y' &= y_r + (y - y_r) \cos \theta + (x - x_r) \sin \theta \end{aligned}$$

الإدراك الحسي

الكثيرُ من تطبيقاتِ المعالجةِ مُعدة لإنتاجِ الصورِ التي سَتُشاهدُ مِنْ قِبَلِ المراقِبينِ البشريينِ (على سبيلِ المثال، أتمنّى التقنيّاتِ الصناعيّة). لذا من المُهمِّ فَهْمُ الخصائصِ والحدودِ (التقييدات) في النظامِ البصريِّ الإنساني -- لفَهْمِ "مستلَم" الإشاراتِ ثنائيةِ الأبعاد. منذُ البداية من المُهمِّ إدراكُ التالي:

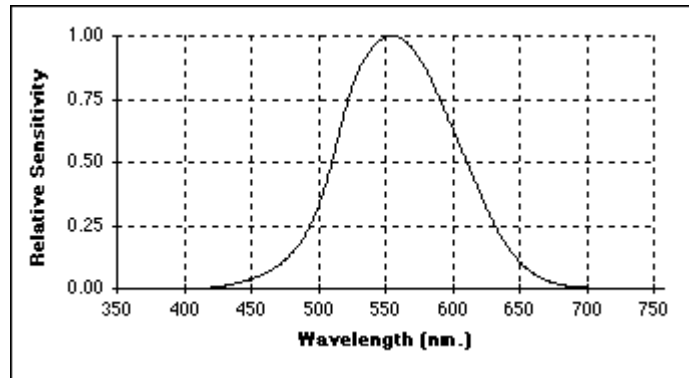
- النظامِ البصريِّ الإنساني ليسَ مفهومٌ بشكلٍ جيدٍ جداً،
 - لا يَجِدُ إجراءً موضوعيَّ للحُكْمِ على نوعيةِ الصورةِ الذي يُجَابِلُ التقييمَ الإنسانيَّ بالنسبةِ لنوعيةِ الصورة،،
 - لا يوجِ مراقِبَ إنسانيٍّ "مثالي".
- على الرغمِ من هذا، بحثُ في الإدراكِ الحسيِّ النَّفْسيِّ زوّدَ ببَعْضِ البصائرِ المهمّةِ عن النظامِ البصريِّ.

حساسية المسطوع

هناك عدّة طرقٍ لوصفِ حساسيةِ النظامِ البصريِّ الإنساني. لِلْبَدْءِ، دعنا نَفترضُ بأنَّ المنطقةَ المتجانسةَ في الصورةَ لَهَا كثافةٌ لشدّةِ طولِ الموجةِ (اللون) المِعْطاةُ بـ $I(\lambda)$. دعنا نَفترضُ بأنَّ $I_0(\lambda) = 1$ ، ثابت.

حساسية طول الموجة

الكثافةُ المحسوسة لشدّةِ λ ، الحساسية الطيفية، لـ "مراقِبِ مثالي" موضحة في الرسم رقم 11. من الواضح من الرسم ان حدود الرؤية عند الانسان تقع بين اطوال الموجات 430-690 وخارج ذلك لايمكن ان يرى. يقول الله تعالى في كتابه الكريم " وكشفنا عنه غطاءه فبصره اليوم حديد" بمعنى ان مجال الرؤية سيتوسع بشكل اكبر يوم القيامة ليساوي اطوال الموجات لعنصر الحديد.



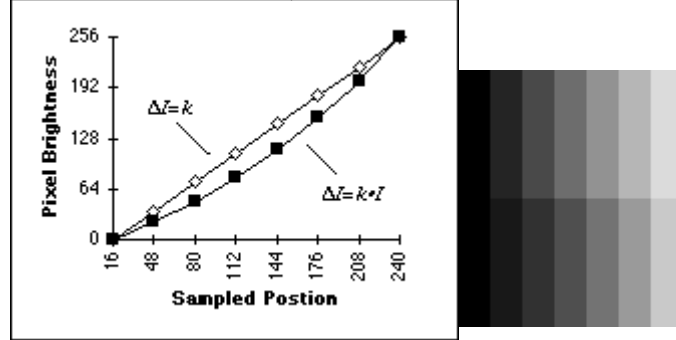
الرسم 11: الحساسية الطيفية للمراقِبِ الإنساني "المثالي"

حساسية التحفيز

إذا الكثافة الثابتة (السطوع) I_0 تُسمَح بالتفاوت فإنه، لتقريب جيد، رد الفعل البصري، R ، هو نسبي إلى لوغاريتم الكثافة. هذا معروف بقانون Weber-Fechner:

$$R = \log(I_0)$$

هذه النتائج سهلة للتصور. نلاحظ ان التدرجات في السطوع، $\Delta R = k$ ، تتطلب بأن السطوع الطبيعي (المحفر) يزيد تصاعدياً. هذا موضح في الرسم رقم 12 ab. الخط الأفقي خلال الجزء الأعلى للرسم 12 a يظهر الزيادة الخطية في السطوع الهدف (رسم 12 b) لكن الزيادة لوغاريتمية في السطوع الذاتي. الخط الأفقي خلال الجزء السفلي للرسم 12 a يظهر زيادة أسية في السطوع الهدف (رسم 12 b) لكن الزيادة خطية في السطوع الذاتي.

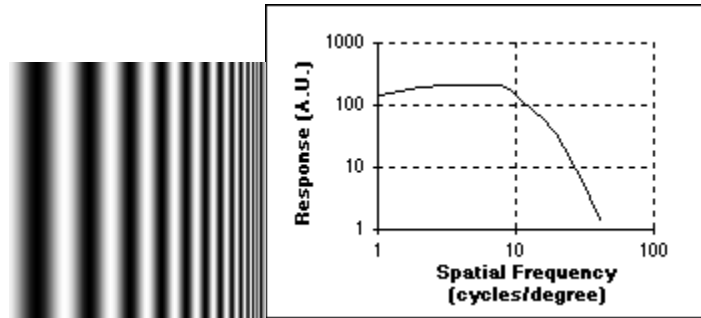


الرسم رقم 12 a، b

إن تأثير موجات Mach واضح في الرسم رقم 12 a. بالرغم من أن السطوع الطبيعي ثابت عبر كل شريط عمودي، يدرك المراقب الإنساني "الحدود الدنيا" و"العليا" من السطوع والذي يعتبر فيزيائياً حافة الخطوة. هكذا، مباشرة قبل الخطوة، نرى نقصان طفيف في السطوع بالمقارنة مع القيمة الطبيعية الحقيقية. بعد الخطوة نرى زيادة طفيفة في السطوع بالمقارنة مع القيمة الطبيعية الحقيقية. إن التأثير الكلي واحد من الزيادة، المحلية، المحسوسة في حافة الخطوة من السطوع.

حساسية التردد المكانية

إذا الكثافة الثابتة (السطوع) I_0 مُستبدل بمشبك جيبي (sinusoidal) بزيادة التردد المكاني (الرسم رقم 13 a)، فإنه محتمل لتقرير حساسية التردد المكانية. إن النتيجة تظهر في الرسم رقم 13 b.



رسم رقم 13 a، b اختبار حساسية التردد المكانية

لترجمة هذه البيانات إلى الشروط المتداولة، نأخذ شاشة حاسوب "مثالية" ونراقب من مسافة 50 سنتيمتر. التردد المكاني الذي سيعطي رد أقصى يقع في 10 دورات لكل درجة. (انظر الرسم b 13) الدرجة الواحدة في 50 سنتيمتر تتحول إلى $\tan(1 \text{ deg.}) = 0.87$ 50 سنتيمتر على شاشة الحاسوب. هكذا التردد المكاني للرد الأقصى $f_{\max} = 10 \text{ cycles} / 0.87 \text{ cm} = 11.46$ دورة / سنتيمتر بالنسبة لمسافة النظر هذه. بتوجمة هذا إلى الصيغة العامة تعطي:

$$f_{\max} = \frac{10}{d \cdot \tan(1^\circ)} = \frac{572.9}{d} \text{ cycles / cm}$$

حيث d = مسافة النظر المقاسة بالسنتيمترات.

حساسية اللون

فهم اللون عند البشر موضوع معقد جداً. نحن يُمكن أن نُقدّم هنا فقط مقدمة قصيرة. إنَّ الفهم الطبيعي للون مستند على صبغات اللون الثلاث في شبكية العين.

المراقب القياسي

بالإستناد على المقاييس النفسية – الفيزيائية ، أقواس قياسية تُبنيت من قبل CIE (Commission Internationale de l'Eclairage) (اللجنة العالمية للمقاييس) بينما تتحني الحساسية للمراقب "المثالي" للصبغات الثلاث $\bar{x}(\lambda)$, $\bar{y}(\lambda)$, and $\bar{z}(\lambda)$. هذه يوضح في الرسم رقم 14. هذه ليست خصائص إمتصاص الصبغة الفعلية الموجودة في شبكية العين الإنسانية "القياسية" لكن أقواس الحساسية بالأحرى اشتقت من البيانات الفعلية.

$$\bar{x}(\lambda)$$

الرسم 14: أقواس حساسية لون المراقب القياسية. لمنطقة متجانسة إعتباطية من الصورة التي لها كثافة كوظيفة طول الموجة (اللون) المغطاة بـ $I(\lambda)$ ، الردود الثلاثة تسمى قيم التحفيز:

$$X = \int_0^\infty I(\lambda) \bar{x}(\lambda) d\lambda \quad Y = \int_0^\infty I(\lambda) \bar{y}(\lambda) d\lambda \quad Z = \int_0^\infty I(\lambda) \bar{z}(\lambda) d\lambda$$

الإحداثيات اللونية من CIE

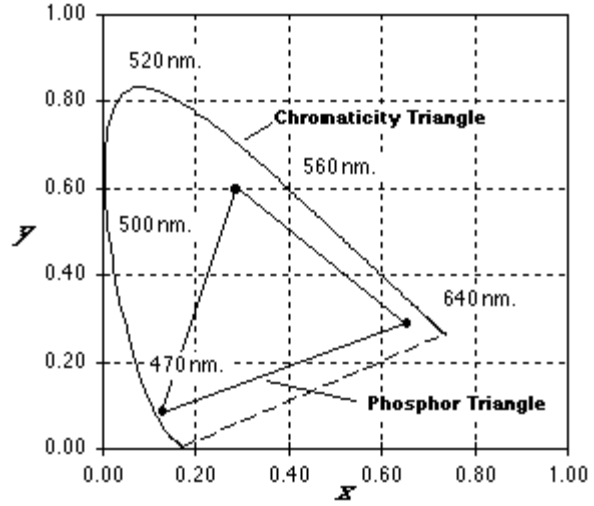
الإحداثيات اللونية التي نَصِفُ معلومات اللون المحسوسة مُعرَّف ك:

$$x = \frac{X}{X+Y+Z} \quad y = \frac{Y}{X+Y+Z} \quad z = 1 - (x+y)$$

إنَّ إحداثي اللون الأحمر مُعطى من قبل x وإحداثي اللون الأخضر من قبل y. إنَّ قيم المحفزات خطية في $I(\lambda)$ وهكذا معلومات الكثافة المطلقة قُدت في حساب اللون في الإحداثيات {x, y}. كُت توزيعات اللون، $I(\lambda)$ ، التي تظهر للمراقب كوجود نفس اللون مما يعني سيكون له نفس إحداثيات اللون. إذا إستعملنا مصدر متناغم للون الصافي (مثل الليزر)، فإن الكثافة يُمكن أن تُشكّل كالتالي

$$I(\lambda) = d(\lambda - \lambda_0)$$

مع $d(*)$ كوظيفة الإندفاع. مجموعة إحداثيات اللون {x, y} الذي سيؤلّد بتفاوت λ يعطي مثلث اللون من CIE كالمعروض في الرسم رقم 15.



الرسم 15: مخطط اللون CIE الذي يحتوي على مثلث اللون المرتبط بالألوان طيفية صافية والمثلث الفوسفوري المرتبط بـ CRT.

الألوان الطيفية الصافية على طول حدود مثلث اللون. كل الألوان الأخرى داخل المثلث. إن الإحداثيات اللونية لبعض المصادر القياسية معطاة في الجدول رقم 6.

المصدر	X	Y
اللمبة الفلورية (النيون)، 4800 deg. K	0.35	0.37
الشمس، 6000 deg. K	0.32	0.33
الفوسفور الأحمر	0.68	0.32
الفوسفور الأخضر (كبريتات الزنك مع الكاديوم)	0.28	0.60
الفوسفور الأزرق (كبريتات الزنك)	0.15	0.07

جدول 6: الإحداثيات اللونية للمصادر القياسية.

وصف اللون على أساس الإحداثيات اللونية لا يسمح فقط بتحليل اللون لكن يُزوّد بتقنية التركيب أيضاً. استعمال خليط من مصدري لون، هو محتمل لتوليد أي من الألوان على طول الخط الذي يوصل إحداثياتهم اللونية. بما اننا لا يمكن أن نأخذ عدد سلبى من الفوتونات، هذا يعني معاملات الخلط يجب أن تكون إيجابية. استعمال مصادر اللون الثلاث مثل الأحمر، الأخضر، والأزرق الفوسفورية مع شاشات CRT يؤدي إلى مجموعة الألوان المعروفة بـ "مثلث الفوسفور" الموضح بالرسم رقم 15.

الصيغ للتحويل من قيم التحفيز (X, Y, Z) إلى CRT المشهورة (R, G, B) والعكسية معطى من قبل:

$$\begin{bmatrix} R \\ G \\ B \end{bmatrix} = \begin{bmatrix} 1.9107 & -0.5326 & -0.2883 \\ -0.9843 & 1.9984 & -0.0283 \\ 0.0583 & -0.1185 & 0.8986 \end{bmatrix} \cdot \begin{bmatrix} X \\ Y \\ Z \end{bmatrix}$$

و

$$\begin{bmatrix} X \\ Y \\ Z \end{bmatrix} = \begin{bmatrix} 0.6067 & 0.1736 & 0.2001 \\ 0.2988 & 0.5868 & 0.1143 \\ 0.0000 & 0.0661 & 1.1149 \end{bmatrix} \cdot \begin{bmatrix} R \\ G \\ B \end{bmatrix}$$

طالما موقع اللون (X, Y, Z) داخل مثلث الفوسفور في الرسم رقم 15، فإن قيم R, G, B ممكن ان تحسب الصيغ المعطاة اعلاه. من الخاطئ إفتراض ان إزاحة صغيرة في أي مكان من المخطط اللوني (رقم 15) ستنتج بشكل متناسب تغيير في اللون المحسوس. الفضاء اللوني مشتق بشكل تجريبي حيث أن هذه الخاصية قرب فضاء (u', v'):

$$u' = \frac{4x}{-2x + 12y + 3} \quad v' = \frac{9y}{-2x + 12y + 3}$$

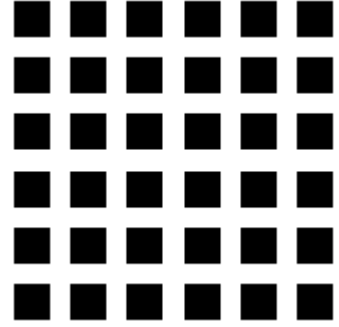
and

$$x = \frac{9u'}{6u' - 16v' + 12} \quad y = \frac{4v'}{6u' - 16v' + 12}$$

التغيير البسيط تقريباً في أي مكان من (u', v') ينتج تغييرات على حد سواء في الألوان المحسوسة من الفضاء اللوني.

الخداع البصري

إن وصف النظام البصري الإنساني المشروح اعلاه، مدروج في شروط الهندسة القياسية. هذه يمكن أن تؤدي للاستنتاج بأن هناك معرفة كافية عن النظام البصري الإنساني للسماح بنمذجة النظام البصري بتقنيات تحليل الأنظمة القياسية. مثال بسيط من الخداع البصري، انظر الرسم رقم 16، يوضح بأن نظرة هذا النظام ستكون نتيجة مفرطة في التبسيط. مثل هذه النماذج يجب فقط أن تستعمل بالعناية الهلغة.



الرسم 16: الخداع البصري

يقتنع وهم القيم الرمادية العين بينما يعرف الدماغ انها غير موجودة. أبعد من هذا، هناك إحساس التغيير الدينامي يائي للصورة، جزئياً، بالنسبة إلى حركات العين.

الخوارزميات

في هذا القسم نحن سنناقش العمليات الأساسية لمعالجة الصور الرقمية. هذه العمليات يمكن أن تقسم إلى أربعة أصناف:

- عمليات مستندة على مخطط مسقط الصورة الإحصائي،
 - عمليات مستندة على الرياضيات البسيطة،
 - عمليات مستندة على الالتواء،
 - عمليات مستندة على علم الصرف الرياضي.
- بشكل أعمق، هذه العمليات يمكن أيضاً أن توصف من ناحية تطبيقهم كعملي ات على النقطة، عمليات محلية، أو عمليات واسعة كما وصفت في قسم سابق.

العمليات المستندة على مخطط مسقط الصورة الإحصائي

صنف مهم من عمليات النقطة المستند على التعامل مع مخطط مسقط الصورة الإحصائي أو مخطط مسقط منطقة إحصائي. إن الأمثلة الأكثر أهمية موصوفة أسفلاً.

بسط التباين في تركيز اللون

في الكثير من الأحيان، تكون الصورة مقروءة ضوئياً بطريقة ما بحيث أن قيم السطوع الناتجة لا تستفيد استفادة تامة من المدى الديناميكي المتوفر. هذا يمكن أن يلاحظ بسهولة في مخطط المسقط الإحصائي من قيم السطوع الموضحة في الرسم رقم 7. ببسط مخطط الإسقاط الإحصائي على المدى الديناميكي المتوفر فإننا نقوم بتصحيح هذه الحالة. إذا الصورة تنتقل من السطوع 0 إلى السطوع $2^B - 1$ ، فإنه عموماً يمكن تحديد قيمة 0 % (أو الحد الأدنى) إلى القيمة 0 وقيمة 100 % (أو الحد الأعلى) إلى القيمة $2^B - 1$. إن التحويل الملائم مُعطى بالصيغة التالية:

$$b[m,n] = (2^B - 1) \cdot \frac{a[m,n] - \text{minimum}}{\text{maximum} - \text{minimum}}$$

هذه الصيغة، على أية حال، يمكن أن تكون حساسة جداً بالنسبة إلى النقاط الواقعة خارج الجسم. النسخة الأقل حساسية والاكثر عمومية مُعطية بالصيغة التالية:

$$b[m,n] = \begin{cases} 0 & a[m,n] \leq p_{\text{low}} \% \\ (2^B - 1) \cdot \frac{a[m,n] - p_{\text{low}} \%}{p_{\text{high}} \% - p_{\text{low}} \%} & p_{\text{low}} \% < a[m,n] < p_{\text{high}} \% \\ (2^B - 1) & a[m,n] \geq p_{\text{high}} \% \end{cases}$$

في هذه النسخة الثانية نحن قد تختار 1 % و 99 % قيم $p_{\text{low}} \%$ و $p_{\text{high}} \%$ ، على التوالي، بدلاً من 0 % و 100 % القيم المعطاة في المعادلة السابقة. من المحتمل أيضاً لتطبيق عملية إمتداد الـ 100 % على قاعدة مناطقية باستعمال مخطط المسقط الإحصائي من منطقة لتقرير الحدود الملائمة للخوارزمية. نلاحظ أن في المعادلة من المحتمل لقمع التعبير $2^B - 1$ ويعدل مدى السطوع ببساطة إلى $0 \leq b[m,n] \leq 1$. هذا يعني تمثيل سطوع النقطة النهائي لقيم حقيقية بدلاً من أعداد صحيحة، لكن سرعة الحاسوب الحديث وسعة ذاكرته تجعل هذه العملية سهلة جداً.

المساواة

عندما نريد مقارنة اثنين أو أكثر من الصور على قاعدة معينة، مثل القوام (البنية الخارجية للجسم)، من شائع أولاً أن نعدل مخططات إسقاطهم الإحصائي إلى مخطط الإسقاط الإحصائي القياسي (المعياري). هذه العملية يمكن أن تكون مفيدة خصوصاً عندما يتم إدخال الصور في الظروف المختلفة (على سبيل المثال، عند مضاهاة التوافيق، يجب أن تغير مقاييس الصور المدخلة الطول x العرض لتكون متساوية لكل الصور المخزنة والمعالجة). إن تقنية تعديل مخطط المسقط الإحصائي الأكثر شيوعاً هي مساواة مخطط المسقط الإحصائي حيث نحاول تغيير المسقط الإحصائي من خلال استعمال الدالة $b = f(a)$ إلى مخطط إسقاط إحصائي الذي يعتبر ثابت لكل قيم السطوع. هذا يُقابل توزيع السطوع حيث كل القيم محتملة على حد سواء. لسوء الحظ، لصورة إعتباطية، نحن يمكن فقط أن نُقرب هذه النتيجة.

لدالة "مناسبة" $f(*)$ العلاقة بين وظيفة سعة الإحتمال المدخل، ووظيفة سعة الإحتمال الناتج، والدالة $f(*)$ مُعطاة بالصيغة التالية:

$$p_b(b)db = p_a(a)da \Rightarrow df = \frac{p_a(a)da}{p_b(b)}$$

من المعادلة نرى بأن "المناسبة" تعني بأن $f(*)$ قابلة للاختلاف وان $df/da \geq 0$. لمساواة مخطط الإسقاط الإحصائي نرغب بأن ثابت $p_b(b) =$ وهذا يعرّف التالي:

$$f(a) = (2^B - 1) \cdot P(a)$$

حيث أن $P(a)$ دالة توزيع الاحتمال المعرّفي قسم آخر وصوّرت في الرقم 7. بكلمة أخرى، دالة توزيع الاحتمال المُنتَبّة المعدلة من 0 إلى $2^B - 1$ هي جدول الملاحظة المطلوب لمساواة مخطط الإسقاط الإحصائي. الصور 22 توضح تأثير إمداد تركيز الإشارة ومساواة مخطط الإسقاط الإحصائي على صورة قياسية. إجراء المساواة يُمكن أيضاً أن يُطبّق على قاعدة مناطقية.



رقم 22 a الصورة الاصلية، b بسط تغاير تركيز الإشارة ، c مساواة مخطط الإسقاط

العمليات الاخرى التي أساسها مسقط إحصائي

مخطط المسقط الإحصائي المشتق من منطقة محلية يُمكن أيضاً أن يُستعمل لرفع المرشحات (الفلاتر) المحلية التي سنطبق على تلك المنطقة. تتضمن الأمثلة مرشحات حد أدنى ، ترشيح متوسط، وترشيح أقصى. سيتم مناقشة المرشحات بشكل مفصل في الباب الخاص بالمرشحات.

العمليات المستندة على الرياضيات

- عمليات ثنائية
- عمليات أساسها الحساب

نُميز في هذا القسم بين الحساب الثنائي والحساب العادي. في الحالة الثنائية هناك قيمتا سطوع "0" "1". في الحالة العادية نبدأ بقيم سطوع 2^B أو مستويات، لكن معالجة الصور يُمكن أن تولّد المزيد من المستويات بسهولة. لهذا السبب العديد من الأنظمة البرمجية تُزوّد بتمثيل 16 أو 32 خانة لسطوع النقطة لكي تتفادى المشاكل بالفيض الحسابي.

العمليات الثنائية

عمليات مستندة على الثنائية (المنطق البولي او الجبر المنطقي) هي شكل حسابي يعتبر القاعدة لمجموعة أدوات قويّة التي ستناقش هنا، فهي علم صرف رياضي. إن العمليات الموضحة اسفلا هي عمليات على النقطة وهذا يسمح بتبسيطة التطبيقات الكفوءة من ضمن ذلك جداول الملاحظة البسيطة. إن مجموعة الرموز القياسي للمجموعة الأساسية للعمليات الثنائية، هي التالية:

<i>NOT</i>	$c = \bar{a}$
<i>OR</i>	$c = a + b$
<i>AND</i>	$c = a \cdot b$
<i>XOR</i>	$c = a \oplus b = a \cdot \bar{b} + \bar{a} \cdot b$
<i>SUB</i>	$c = a \setminus b = a - b = a \cdot \bar{b}$

إنَّ النتيجةَ بأنَّ كلَّ عملية تطبيقية تتم على أساس نقطة بنقطة. على سبيل المثال، إنَّ تعريف كلِّ عملية:

NOT	a	
	0	1
	1	0
	↑	↑
	input	output

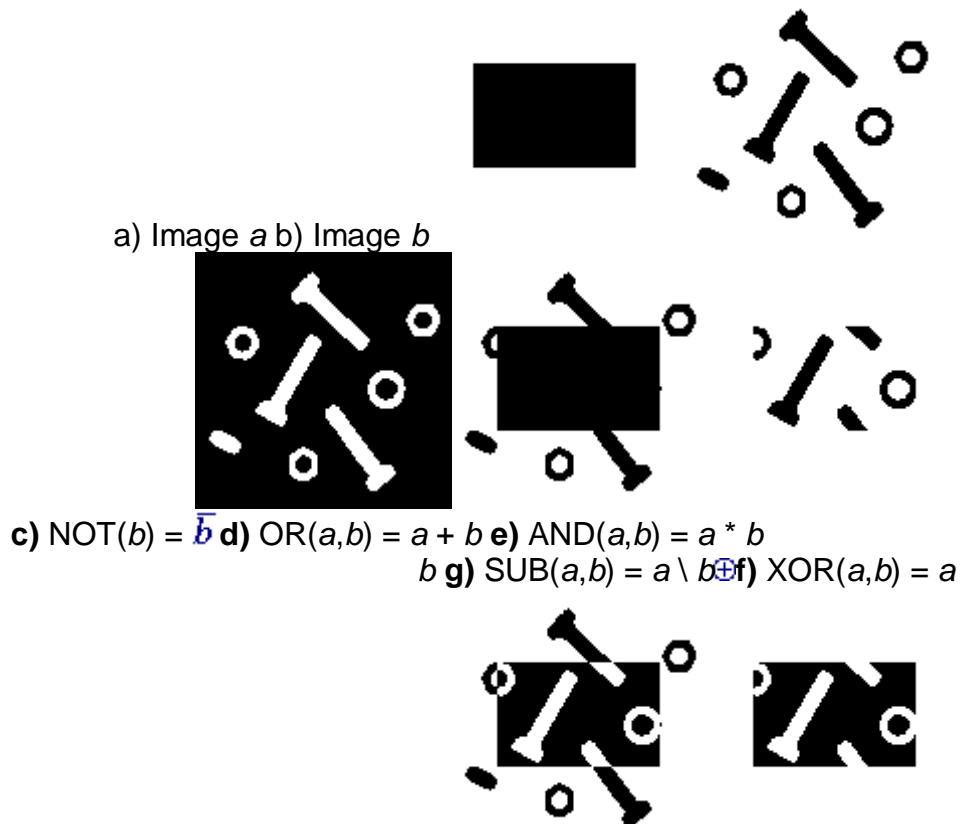
OR	a	b	
	0	0	1
	0	1	1
	1	0	1
	1	1	1

AND	a	b	
	0	0	0
	0	1	0
	1	0	0
	1	1	1

XOR	a	b	
	0	0	1
	0	1	1
	1	0	1
	1	1	0

SUB	a	b	
	0	0	0
	0	1	0
	1	0	1
	1	1	0

هذه العمليات مُوضحة في الرسم رقم 23 حيث أنَّ القيمة الثنائية "1" أظهرت في الأسود والقيمة "0" في الأبيض.



الرسم 23: أمثلة على عمليات النقطة الثنائية المختلفة.

عملية SUB(*) يُمكنُ أَنْ تَكُونُ مفيدة جداً عندما تمثل الصورة a منطقة الاهتمام التي نريدُ تحليل ها بشكل منظم والصورة b تُمثلُ الأجسام التي، تم نخلعها، يُمكنُ أَنْ نَكُونُ مُنبوذة الآن، تلك المُطروحة، مِنْ المنطقة.

عمليات أساسها الحساب

عمليات نقطة القيمة الرمادية (اللون) التي تُشكّل القاعدة لمعالجة الصور بالإستناد على الرياضيات العادية وتُتضمنُ:

Operation	Definition	preferred data type
ADD	$c = a + b$	integer
SUB	$c = a - b$	integer
MUL	$c = a * b$	integer or floating point
DIV	$c = a / b$	floating point
LOG	$c = \log(a)$	floating point
EXP	$c = \exp(a)$	floating point
SQRT	$c = \sqrt{a}$	floating point
TRIG.	$c = \sin/\cos/\tan(a)$	floating point
INVERT	$c = (2^B - 1) - a$	integer

جدول رقم 8 العمليات على اساس الرياضيات العادية

عمليات أساسها الالتواء

- خلفية
- إلتواء في المجال المكاني
- إلتواء في مجال التردد

الإلتواء، العملية المحليّة الرياضية المعرّفت في قسم سابق تعتبر مركزيّة بالنسبة إلى معالجة الصور الحديثة. إنّ الفكرة الأساسية بأن نافذة بمقاييس محدودة، والشكل (الهيئة) تسمح ضوئياً عبر الصورة. إنّ قيمة النقطة الناتجة هي مجموع أوزان النقاط المدخلة من ضمن النافذة، حيث الأوزان هي قيم المرشح (الفلتر) المخصّص إلى كلّ نقطة من النافذة نفسها. إنّ النافذة بأوزانها تُدعى نواة (جوهر) الإلتواء. هذا يَقودُ مباشرة إلى الاختلاف التالي على المعادلة: إذا المرشح $[j, k]$ h صفر خارج النافذة (المستطيلة) $\{j=0,1,...,J-1; k=0,1,...,K-1\}$ ، فإنه بإستخدام المعادلة، الإلتواء يُمكنُ أَنْ يُكْتَبَ كالمجموع المحدود التالي:

$$c[m,n] = a[m,n] \otimes h[m,n] = \sum_{j=0}^{J-1} \sum_{k=0}^{K-1} h[j,k] a[m-j, n-k]$$

هذه المعادلة يُمكنُ أَنْ تُنظَرُ كأكثر مِنْ آليّة واقعية فقط لصقل أو شحذ (الزيادة من حدة الصور) الصور. بشكل اعمق، يمكن القول بينما المعادلة تُصوّرُ الخاصية المحليّة لهذه العملية، و نقترحُ بأن العملية يُمكنُ أَنْ تُطبّقَ من خلال إستعمال مجال فوريير الذي يُطلّبُ عملية خارجية، وهي تحويل فوريير. كل من هذه السمات سرّيا قش أسفل.

الخلفية

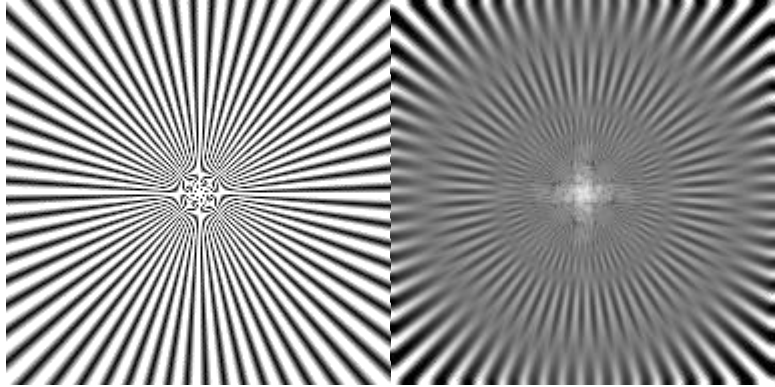
في أنظمة تشكّل الصور المختلفة يخصص نموذج ملائم لتحويل الإشارة الطبيعية $a(x, y)$ إلى إشارة إلكترونية $c(x, y)$ هو إلتواء الإشارة المُدخلَة مع إستجابة نبض نظام الحساس. هذا النظام قد يُشملُ كل من النظم الفرعية الصرّعي بالإضافة إلى الكهربائي. إذا كلّ من هذه الأنظمة يُمكنُ أَنْ تُعتبرَ خطيّة، لثابت تغيير (LSI) النظام فإن نموذج الإلتواء ملائم. إنّ تعاريف الخصائص لهذان النظامان، المحتملان، مُعطية تحت:

$$\text{If } a_1 \rightarrow c_1 \text{ and } a_2 \rightarrow c_2 \\ \text{Then } w_1 \cdot a_1 + w_2 \cdot a_2 \rightarrow w_1 \cdot c_1 + w_2 \cdot c_2 \quad \text{- خطية}$$

$$\text{If } a(x, y) \rightarrow c(x, y) \\ \text{Then } a(x - x_o, y - y_o) \rightarrow c(x - x_o, y - y_o) \text{- Invariance التغير}$$

حيث ان w_1 و w_2 ثوابت معقّدة إعتباطية و x_o و y_o الاحداثيات المطابقة لنقلات مكانية إعتباطية. ملاحظتان ملائمتان في هذه النقطة.

- أولاً، نثّل الخطية عليه (بإختيار $w_1 = w_2 = 0$) "بحيث ان الصفر على المدخل، يعطي، صفر على المخرج". النقلة الموصفتة في المعادلة تعني ان إشارات الخرج في مثل هذا النوع من الآلات التصوير ليست ناتجة نظام خطي وهكذا (على وجه التحديد) نتيجة الإلتواء ليست قابلة للتطبيق. لحسن الحظ، من السهل تصحيح هذا التأثير اللاخطي.
 - الثانية، العدسات البصرية مع التكبير، M ، ما عدا $1\times$ ليست ثابتة التغيير؛ النقلة من الوحدة 1 في الصورة المدخلة $a(x, y)$ تنتج نقلة لعدد M من الوحدات في الصورة الناتجة $c(x, y)$. بسبب خاصية فوريير الموصوفة سابقاً. هذه الحالة يمكن تكون معالجة بنظرية النظام الخطية.
- إذا نقطة إندفاع الضوء $a(x, y)$ مصوّرة من خلال نظام LSI فإن إستجابة إندفاع ذلك النظام بثعوى دالة إنتشار النقطة (PSF). صورة الناتج ستصبح إلتواء الصورة المدخلة مع PSF. إن تحويل فوريير لـ PSF يدعى دالة النقل البصرية (OTF). ان PSF للأنظمة البصرية التي تعتبر خالية الانحراف ومحدودة الانعكاس ومتماثلة بشكل دائري مُعطى بالقرص الوهمي الموضح في الجدول 4 - T.5. OTF للقرص يعطى أيضاً في الجدول 4 - T.5.
- إذا نافذة الإلتواء ليست PSF المحدود الانحراف للعدسة ولكن بالأحرى تأثير بؤرة العدسة فإن النموذج الملائم لـ $h(x, y)$ هو قرص بنصف القطر a كما وُصف في الجدول 4 - T.3. إن التأثير على نمط الإختبار الموضح في الرسم رقم 24.



(a) نمط الإختبار (b) صورة البؤرة
الرسم 24: إلتواء نمط الإختبار مع قوس بنصف القطر $a = 4.5$ نقطة.

إن تأثير البؤرة هو أكثر من تشويه أو صفّل بسيط فقط. تنتج الفصوص السلبية الدورية تقريباً في دالة النقل من الجدول 4 - T.3 180 deg. تغيير المرحلة بحيث ان الأسود ينتقل إلى الأبيض والعكس بالعكس. إن تغيير المرحلة واضح جداً في الوسم رقم 24 b.

الإلتواء في المجال المكاني

في وصف المرشحات المستندة على الإلتواء نحن سنستعمل التقليد التالي: مُعطى المرشح $h[j, k]$ ذو الأبعاد $J \times K$ ، نحن سنعتبر الإحداثيات $[j=0, k=0]$ لكي يكون في مركز مصفوفة المرشح، h . هذا مُوضح في الرسم رقم 25. إن

"المركز" واضح المعالم عندما J و K مفردة؛ بغض النظر عن ا لحالة أين هم حتى، نحن سنستعمل التقريبات $(J/2, K/2)$ لمركز المصفوفة.

$$\mathbf{h} = \begin{bmatrix} h[-(J-1/2), -(K-1/2)] & \dots & \dots & h[0, -(K-1/2)] & \dots & \dots & h[(J-1/2), -(K-1/2)] \\ \vdots & \ddots & \vdots & \vdots & \ddots & \vdots & \vdots \\ \vdots & \dots & h[-1, -1] & h[0, -1] & h[1, -1] & \dots & \vdots \\ h[-(J-1/2), 0] & \dots & h[-1, 0] & h[0, 0] & h[1, 0] & \dots & h[(J-1/2), 0] \\ \vdots & \dots & h[-1, 1] & h[0, 1] & h[1, +1] & \dots & \vdots \\ \vdots & \ddots & \vdots & \vdots & \vdots & \ddots & \vdots \\ h[-(J-1/2), (K-1/2)] & \dots & \dots & h[0, (K-1/2)] & \dots & \dots & h[(J-1/2), (K-1/2)] \end{bmatrix}$$

الرسم 25: النظام الإحداثيات لوصف $\mathbf{h}[j, k]$

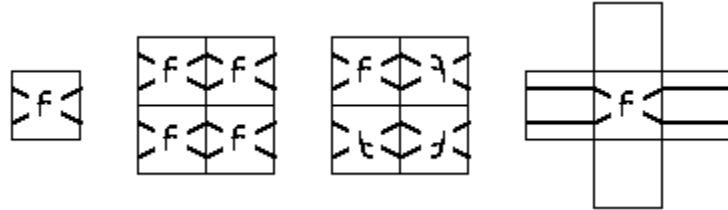
عندما نفحص مجموع الإلتواء مباشرة، عِدّة قضايا تُصبح واضحة.
* تقييم الصيغة لـ $m=n=0$ بينما يُعاد كتابة الحدود لمجموع الإلتواء بالإستناد على "مركزة" $h[j, k]$ يظهر ان قيم $a[j, k]$ يُمكن أن يُطلب انهم خارج حدود الصورة:

$$c[0,0] = \sum_{j=-J_o}^{+J_o} \sum_{k=-K_o}^{+K_o} h[j, k] a[-j, -k] \quad J_o = \frac{(J-1)}{2}, \quad K_o = \frac{(K-1)}{2}$$

السؤال الذي يطرح نفسه - ماهي القيم التي يجب أن نُخصّص إلى الصورة $a[m, n]$ لـ $m < 0, m \geq M, n < 0, n \geq N$ ؟ ليس هناك "جواب" على هذا السؤال. هناك فقط بدائل وسطية و نحن أحرار لإختيارها مع إفتراض بأننا نفهم النتائج المحتملة من إختيارنا. إن البدائل القياسية هي التالية :

- تُمدّد الصور مع قيمة سطوع ثابتة (من المحتمل صفر)
- تُمدّد الصورة بشكل دوري ،
- تُمدّد الصورة بنسخها في حدودها،
- تُمدّد القيم في الحدود بشكل غير محدد.

هذه البدائل موضحه في الرسم رقم 26.



(a) (b) (c) (d)

الرسم 26: أمثلة البدائل المُختلفة لتمديد الصورة خارج حدودها الرسمية.

* عندما يكتب مجموع الإلتواء في الشكل القياسي لصورة $a[m, n]$ من الحجم $M \times N$:

$$c[m, n] = \sum_{j=0}^{M-1} \sum_{k=0}^{N-1} a[j, k] h[m-j, n-k]$$

نرى بأن نواة الالتواء $h[j, k]$ مَنسُوخُ (معكوس بالمرآة) حول $j=k=0$ لإنتاج $h[-j, -k]$ قبل سحبه بـ $[m, n]$ كما أُشيرَ إليه في المعادلة. بينما بعض مراكز الالتواء في إستعمالٍ مشتركٍ متماثل في هذا المجال $h[j, k] = h[-j, -k]$ نجد ان الكثير منهم ليسوا كذلك. لذا يجب أن يُخَذَ في عين الاعتبار فيما يتعلق بمتطلبات النسخ عند تطبيق المرشحات.

* التعقيد الحسابي لـ $K \times K$ مركز إلتواء المطبَّق في المجال المكاني على صورة $N \times N$ هو $O(K^2)$ حيث أنَّ التعقيد قيس لكل نقطة على أساس عدد المضاعفلات والإضافات (MADDs).
 * القيمة المحسوبة من قبل الالتواء الذي يُبدأ بعدد صحيح للسطوح لـ $a[m, n]$ قد يُنتج عدد نسبي أو عدد حقيقي في النتيجة $c[m, n]$. العمل بشكل خاص مع قيم سطوح للعدد الصحيح سيُسبب، أخطاء التقريب.
 * التفنيش يُكشف إمكانية أخرى للتطبيق الكفوء من الالتواء. إذا مركز الالتواء $h[j, k]$ مفصول، ذلك يعني، المركز يُمكن أن يُكتب ك:

$$h[j, k] = h_{row}[k] \cdot h_{col}[j]$$

فإن الترشيح يُمكن أن يُؤدى كالتالي:

$$c[m, n] = \sum_{j=0}^{J-1} \left\{ \sum_{k=0}^{K-1} h_{row}[k] a[m-j, n-k] \right\} h_{col}[j]$$

هذا يعني انه بدلاً من تطبيق مرشح ثنائي الأبعاد واحد فإنه من المحتمل تطبيق مرشحان أحاديي البعد، الأول في الاتجاه k والثاني في الاتجاه j . لصورة $N \times N$ عموماً، هذا يُخفّض التعقيد الحسابي لكل نقطة من $O(J \cdot K)$ إلى $O(J+K)$.
 الطريق الدليل للكتابة بشكل منفصل أن يُلاحظ بأن مركز الالتواء (رقم 25) هو المصفوفة h ، وبإمكانية الفصل ، فإنه يُمكن أن يُكتب h كالتالي:

$$[h] = [h_{col}] \cdot [h_{row}]$$

$$(J \times K) = (J \times 1) \cdot (1 \times K)$$

حيث "t" يدل على عملية نقل المصفوفة. بكلمة أخرى ، h يُمكن أن يُبدي كالمُنْتَج الخارجي لهوجه العمود $[h_{col}]$ و موجه الصف $[h_{row}]$.

* لبعض المرشحات من المحتمل إيجاد تطبيق تزايدى للالتواء. بينما تتحرك نافذة الالتواء على الصورة ، العمود في الجهة اليسرى لبيانات الصورة تحت النافذة نُقل خارج كعمود جديد من بيانات الصورة يُنقل داخلا من اليمين. الخوارزميات الكفوءة يُمكن أن تستغل هذه الخاصية، وعند الاندماج مع المرشحات المفصولة كما وُصفت فوق، هذا يُمكن أن يُؤدى إلى الخوارزميات حيث أن التعقيد الحسابي لكل نقطة O (ثابت).

الالتواء في مجال التردد

في قسم سابق نحن أشرنا إلى انه هناك طريقة بديلة لتطبيق ترشيح الصور خلال الالتواء. بالإستناد على المعادلة يَبدو انها محتملة للوصول الى نفس النتيجة كما في المعادلات بالسلسلة التالية للعمليات:

i) الحساب $A(\Omega, \Psi) = F\{a[m, n]\}$

ii) المضاعفة $A(\Omega, \Psi)$ by the precomputed $(\Omega, \Psi) = F\{h[m, n]\}$

iii) حساب النتيجة $q[m,n] = F^{-1}\{A(\Omega,\Psi)^*(\Omega,\Psi)\}$

* بينما هو قد يبدو بأن ال طريقة الم عطا اعلاه في المعادلة تُحبط المشاكل المرتبطة بالالتواء المباشر في المجال المكاني -- بشكل مُحدد، يُقرّر القيم للصورة خارج حدود الصورة -- نظرة مجال فوريير، في الحقيقة، نفترض ببساطة بأن الصورة متكررة بشكل دوري خارج حدودها كما الصور في الرقم 26 b. هذه الظاهرة تدعى باسم الالتواء الدائري.

إذا الالتواء الدائري ليس مقبولا فإن الإمكانيات الأخرى المصورة في الرسم رقم 26 يُمكن أن تُدرك بتضمين الصورة $a[m,n]$ والمرشح (Ψ,Ω) في المصفوفات الأكبر بالية إمتداد الصورة المطلوبة ل $a[m,n]$ أن يُطبق بشكل واضح.

* التعقيد الحسابي لكل نقطة لنظرية فوريير لصورة $N \times N$ ولمركز الالتواء $K \times K$ هو $O(\log M)$ معقد MADDs ومستقل عن K . سنفترض هنا بأن $N > K$ وبأن N عدد مركب لثمن عدد من قوة إثنان. هذه الفرضية الأخيرة تسمُح لإستعمال خوارزمية تحويل فوريير السريع الكفوء بشكل حسابي (FFT). باندهاش فإن، الطريق الغير مباشر وصف من قبل يُمكن أن يكون أسرع من الطريق المباشر. هذا يتطلب، عموماً، أن $\log N \gg K^2$. الهدى K و N يعتمد على تفاصيل التطبيق. لآ لة التي تكتب عليها هذه المخطوطة ورزمة معالجة الصور المستعملة، لصورة $N = 256$ نظرة فوريير أسرع من نظرة الالتواء عندما يكون $K \geq 15$. (يجب ملاحظة انه في هذه المقارنة، يتضمن الالتواء المباشر حساب العدد الصحيح فقط، بينما تتطلب نظرة مجال فوريير حساب عدد حقيقي معقد.

عمليات الصقل

- مرشحات خطية
- مرشحات لاخطية
- خلاصة خوارزميات الصقل

هذه الخوارزميات تطبق لكي تُخفّض ضوضاء و/ أو لتهيئة الصور للمعالجة الأخرى مثل الإنقسام (التقسيم). تُميز بين الخوارزميات الخطية وغير الخطية حيث المشكل في الاولى قابل للتحليل في مجال فوريير والآخر ليس قابلاً. تُميز أيضاً بين التطبيقات المستندة على الدعم المستطيل للمرشح والتطبيقات المستندة على الدعم الدائري للمرشح.

المرشحات الخطية

عدّة خوارزميات ترشيح سيقدمُ سوية بهدف المساندة المفيدة الاكثر.

* مرشح موحد (متسق) - صورة الناتج مستندة على التعديل المحلي للمرشح المدخل، حيث كل القيم ضمن دعم المرشح لها نفس الوزن. في المجال المكاني المستمر (x,y) ال PSF، و دالة النقل م عطا في الجدول 4 - T.1 للحالة المستطيلة وفي الجدول 4 - T.3 لحالة التعميم (القرص). للمجال المكاني المنفصل $[m,n]$ قيم المرشح هي عينات حالة المجال المستمرة. الأمثلة للحالة المستطيلة ($J=K=5$) والحالة الدائرية ($R=2.5$) موضحة في الرسم رقم 27.

(a) مرشح مستطيل ($J=K=5$) (b) مرشح دائري ($R=2.5$)

$$h_{\text{circ}}[j,k] = \frac{1}{21} \begin{bmatrix} 0 & 1 & 1 & 1 & 0 \\ 1 & 1 & 1 & 1 & 1 \\ 1 & 1 & 1 & 1 & 1 \\ 1 & 1 & 1 & 1 & 1 \\ 0 & 1 & 1 & 1 & 0 \end{bmatrix} \quad h_{\text{rect}}[j,k] = \frac{1}{25} \begin{bmatrix} 1 & 1 & 1 & 1 & 1 \\ 1 & 1 & 1 & 1 & 1 \\ 1 & 1 & 1 & 1 & 1 \\ 1 & 1 & 1 & 1 & 1 \\ 1 & 1 & 1 & 1 & 1 \end{bmatrix}$$

الرسم 27: المرشحات الموحدة لصقل الصور

نلاحظ انه في الحالتين المرشح مُطَبَّع بحيث ان $\sum h[j,k] = 1$. هذا يُمكن تنفيذه إذا كان المُدخل $a[m,n]$ ثابت فإن صورة الناتج $c[m,n]$ ثابتة ايضا. التبرير يُمكن أن يُوجَد في خاصية تحويل فوريير. كما يمكن رؤيته من الجدول 4، كل من هذه المرشحات لها وظائف نقل التي لها فصوص سلبية ويُمكن أن تؤدي إلى عكس المرحلة كما شاهدنا في الرسم رقم 24. إن التطبيق المربع للمرشح مفصول وتزايدِي؛ إن التطبيق الدائري تزايدِي.

* مرشح مثلثي - صورة الناتج مستندة على التعديل المحلي للمرشح المدخل، حيث القيم ضمن دعم المرشح لها أوزان مختلفة. عموماً، المرشح يُمكن أن يرى كإلتواء مرشحان (مماثل) موحدان أما مستطيلة أو دائرية وهذه لها نتائج مباشرة للتعقيد الحسابي. (انظر الجدول 13). في المجال المكاني المستمر، PSF ووظيفة النقل موضحة في الجدول 4 - T.2 لحالة الدعم المستطيلة وفي الجدول 4 - T.4 لحالة التعميم (القرص). كما رأينا في الجدول نفسه وظائف النقل من هذه المرشحات ليس عندها فصوص سلبية وهكذا لا تعرض عكس المرحلة.

الأمثلة لحالة الدعم المستطيلة ($J=K=5$) وحالة الدعم الدائرية ($R=2.5$) تشاهد في الرسم رقم 28. إن المرشح يُعدل ثانياً لكي يكون $\sum h[j,k] = 1$.

$$h_{\text{circ}}[j,k] = \frac{1}{25} \begin{bmatrix} 0 & 0 & 1 & 0 & 0 \\ 0 & 2 & 2 & 2 & 0 \\ 1 & 2 & 5 & 2 & 1 \\ 0 & 2 & 2 & 2 & 0 \\ 0 & 0 & 1 & 0 & 0 \end{bmatrix} \quad h_{\text{rect}}[j,k] = \frac{1}{81} \begin{bmatrix} 1 & 2 & 3 & 2 & 1 \\ 2 & 4 & 6 & 4 & 2 \\ 3 & 6 & 9 & 6 & 3 \\ 2 & 4 & 6 & 4 & 2 \\ 1 & 2 & 3 & 2 & 1 \end{bmatrix}$$

(a) مرشح هرمي ($J=K=5$) (b) مرشح مخروط ($R=2.5$)

الرسم 28: المرشحات المثلثية لصقل الصورة

* مرشح Gaussian - إستعمال مركز Gaussian للصقل أصبح مشهوراً جداً. هذا يجب أن ينفذ مع بعض خصائص Gaussian (ومثال على ذلك: - نظرية الحد المركزية، منتج موجة فضاء أدنى) بالإضافة إلى عدة مناطق تطبيق مثل إيجاد الحافة وتحليل فضاء المقياس. PSF و دالة النقل للفضاء Gaussian المستمر مغطاة في الجدول 4

- T6. إن مرشح Gaussian مفصول:

$$h(x,y) = g_{2D}(x,y) = \left(\frac{1}{\sqrt{2\pi}\sigma} e^{-\left(\frac{x^2}{2\sigma^2}\right)} \right) \cdot \left(\frac{1}{\sqrt{2\pi}\sigma} e^{-\left(\frac{y^2}{2\sigma^2}\right)} \right) \\ = g_{1D}(x) \cdot g_{1D}(y)$$

هناك أربعة طرق متميزة لتطبيق Gaussian:

- الإلتواء بلستعمال عدد محدود من عينات Gaussian (N_0) لمركز الإلتواء. هذا شائع عندما نختار $N_0 = 3$ أو 5 ..

$$g_{1D}[n] = \begin{cases} \frac{1}{\sqrt{2\pi}\sigma} e^{-\left(n^2/2\sigma^2\right)} & |n| \leq N_o \\ 0 & |n| > N_o \end{cases}$$

- إنتواء تكراري ب إستعمال مرشح موحد لمرکز الإنتواء.

$$g_{1D}[n] \approx u[n] \otimes u[n] \otimes u[n]$$

$$u[n] = \begin{cases} \frac{1}{(2N_o + 1)} & |n| \leq N_o \\ 0 & |n| > N_o \end{cases}$$

إنّ التطبيقَ الفعليّ (في كلّ بُعد) عادة من الشكل التالي:

$$c[n] = ((a[n] \otimes u[n]) \otimes u[n]) \otimes u[n]$$

هذا التطبيق يستعمل التقريب المتضمن بنظرية الحدّ المركزية. للمطلوب σ مع المعادلة، نستعمل $N_o = |\bar{0}|$ بالرغم من أن هذا يُحدّد إختيارنا بشدّة إلى قيم العدد الصحيح.

- المضاعفة في مجال التردد. كتحويل فوريير لـ Gaussian هو Gaussian (انظر الجدول - T.6)، هذا يُعني بأنّه بسيط لإعداد المرشح:

$$(\Omega, \Psi) = G_{2D}(\Omega, \Psi)$$

للإستعمال مع المعادلة. لتفادي تأثيرات البتر في مجال التردد بسبب المدى اللانهائي لـ Gaussian من المهم إختيار σ ليكون كبير بما فيه الكفاية. إختيار $\sigma > K/\pi$ حيث $k = 3$ أو 4 عادة سيكُونُ كافي.

- إستعمال تطبيق المرشح التكراري. المرشح التكراري له رُدّ إندفاع لانهاضي وهكذا دعم لانهاضي. مرشح Gaussian المفصول يُمكن أيضاً أن يُطبّق بتطبيق الوصفية التالية في كلّ بُعد عندما يكون $\sigma < 0.5$.

- رَختارُ σ بالإستناد على الهدف المطلوب للترشيح؛
- رُفّرُ العامل q بالإستناد على المعادلة ؛
- نستعمل المعادلة لتقرير معاملات المرشح $\{b_0, b_1, b_2, b_3, B\}$ ؛
- رُطبّقُ معادلة الاختلاف الأمامية ؛
- رُطبّقُ معادلة الاختلاف الخلفية ؛

إنّ العلاقة بين σ المطلوبة و q مُعطى من قبل:

$$q = \begin{cases} .98711\sigma - 0.96330 & \sigma \geq 2.5 \\ 3.97156 - 4.14554\sqrt{1 - .26891\sigma} & 0.5 \leq \sigma \leq 2.5 \end{cases}$$

إنّ معاملات المرشح $\{b_0, b_1, b_2, b_3, B\}$ مُعرّفت من قبل:

$$b_0 = 1.57825 + (2.44413q) + (1.4281q^2) + (0.422205q^3)$$

$$b_1 = (2.44413q) + (2.85619q^2) + (1.26661q^3)$$

$$b_2 = -(1.4281q^2) - (1.26661q^3)$$

$$b_3 = 0.422205q^3$$

$$B = 1 - (b_1 + b_2 + b_3) / b_0$$

تأخذ معادلة الاختلاف الأمامية الأحادية البعد الصف المدخل (أو المود) $a[n]$ وتُعطى نتيجة خرج متوسطة $w[n]$ المعلقة من قبل:

$$w[n] = Ba[n] + (b_1 w[n-1] + b_2 w[n-2] + b_3 w[n-3]) / b_0$$

تأخذ معادلة الاختلاف الخلفية الأحادية البعد النتيجة المتوسطة $w[n]$ وتُعطى الناتج $c[n]$ المعلقة من قبل:

$$c[n] = Bw[n] + (b_1 c[n+1] + b_2 c[n+2] + b_3 c[n+3]) / b_0$$

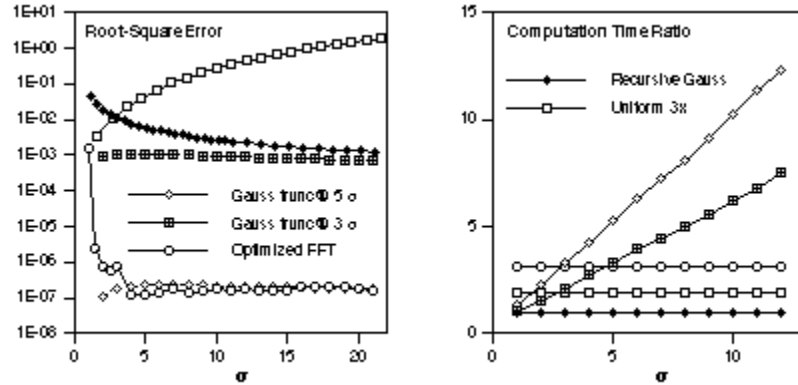
إن المعادلة الأمامية تطبق من $n = 0$ إلى $n = N - 1$ بينما المعادلة الخلفية تطبق من $n = N - 1$ إلى $n = 0$.

الأداء النسبي لهذا التطبيق المُختلف لمرشح Gaussian يُمكن أن يُوصَف كالتالي. إستعمال خطأ الجذر المربع

$$\sqrt{\sum_{n=-\infty}^{+\infty} |g[n\sigma] - h[n]|^2}$$

بين الهدى اللانهائي الحقيقي σ و Gaussian المُقَرَّب $h[n]$ ، كمقياس لدقة الخوارزميات المُختلفة الموصوفة أعلاه تُعطى النتائج الموضحة في الرسم رقم 29. a. السرعة النسبية للخوارزميات المُختلفة في المعروضة في الرسم رقم 29. b.

إن إجراء خطأ الجذر المربع محافظ جداً وهكذا كُـل المرشحات، باستثناء "الموحّد 3x" لقيمة كبيرة σ ، دقيقة بما فيه الكفاية. إن التطبيق التكراري هو المستقل والأسرع؛ من σ التطبيقات الأخرى يُمكن أن تكون أبطأ جداً. إن تطبيق تحويل فوريير السريع، على سبيل المثال، 3.1 مرة أبطأ لـ $N=256$. اعمق من ذلك، يتطلّب تحويل فوريير السريع بأن يكون N عدد مركّب جداً.



(a) مقارنة دقة (b) مقارنة سرعة

الرسم 29: مقارنة خوارزميات Gaussian المُختلفة مع $N = 256$.

* شكل آخر - نظريّة مجال فوريير تُعرض الفرصة لأن تُطبّق مختلف خوارزميات الصقل. مرشحات الصقل بعد ذلك ستُكون مرشحات المرور الأدنى. عموماً من المَرغوب إستعمال مرشحات المرور الأدنى الذي فيه المرحلة = 0 لكي لا تُنتج تشويه مرحلة عندما يُرشح الصورة. أهمية المرحلة وضحت في الرسوم رقم 6، 24. عندما خصائص مجال التردد يُمكن أن تُمثّل في شكل تحليلي، فإن هذا يُمكن أن يُؤدّي إلى تطبيقات بسيطة نسبياً من (Ψ, Ω) . يتضمّن المرشحات المحتملة مرشح المرور الأدنى "الخيالي" و "إنحطاط آسي" الموجود في الجدول 4 - T.5 - T.8، على التوالي.

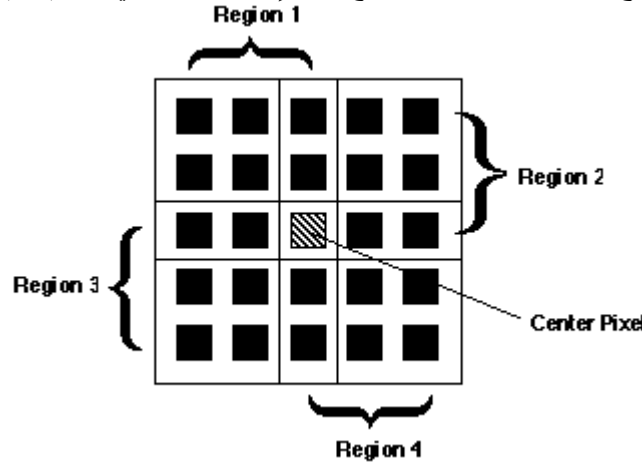
المرشحات اللاخطية

تشكيلة مرشحات الصقل المطورة تلك ليست خطية. حيث أنهم لا يستطيعون، عموماً، ان يمتثلوا إلى تحليل فوريير، خصائصهم ومجالاتهم التطبيقية دُرسا على نطاق واسع.

* المرشح الوسطي - الإحصائية المتوسطة وصفت في قسم سابق. المرشح الوسطي مستند على نقل النافذة على الصورة (كما في حالة الالتواء) وبحسب نقطة الناتج كالقيمة المتوسطة للسطوع ضمن النافذة المدخلة. إذا النافذة بحجم $J \times K$ نحن يمكن أن نطلب $J \times K$ نقاط بقيم سطوع من الأصغر إلى الأكبر. إذا $J \times K$ مفرد فإن المتوسط سيكون $(J \times K + 1)/2$ دخول في قائمة السطوع المنظم. نلاحظ ان القيمة المختارة ستكون مساوية بالضبط إلى إحدى قيم السطوع الحالي بحيث لا يكون هناك خطأ التقريب إذا اردنا العمل بشكل خاص بقيم السطوع ذات العدد الصحيح. إن الخوارزمية كما هي موصوفة فوق لها تعقيد عام لكل نقطة $O(J \times K \log(J \times K))$. لحسن الحظ، الخوارزمية السريعة تفيد في تخفيض التعقيد لـ $O(K)$ بفرض $J \geq K$.

الاختلاف المفيد في موضوع المرشح المتوسط هو مرشح الوحدة الإحصائية. هنا النقطة المركزية في النافذة تُستبدل ليس من قبل 50 % (متوسطة) من قيمة السطوع لكن بالأحرى من قبل $p\%$ من قيمة السطوع حيث $p\%$ مجاميع من 0 % (المرشح الأدنى) إلى 100 % (المرشح الأقصى). القيم المختلفة عن $p = 50\%$ لا تُقابل عموماً مرشحات الصقل.

* مرشح Kuwahara - الحافات تلعب دور مهم في فهمنا للصور وكذلك في تحليل الصور. من المهم أن يكون المرشح قادر على صقل الصور بدون التأثير على الحدية (حدية الصورة)، وإذا كان بالإمكان، مواقع الحافات أيضاً. المرشح الذي يُنجز هذا الهدف يُعَيَّن مرشح إبقاء الحافة ومثال معين واحد مرشح Kuwahara. بالرغم من أن هذا المرشح يمكن أن يطبق لتشكيلة مختلفة من شكل النافذة، الخوارزمية ستُصِف لنافذة مربعة من الحجم $J = K = 4L + 1$ حيث أن L عدد صحيح. إن النافذة مُقسمة إلى أربع مناطق كالمعرضة في الرسم رقم 30.



الرسم 30: أربعة، مناطق مربعة معرفت لمرشح Kuwahara. في هذا المثال $L=1$ وهكذا $J=K=5$. كل منطقة $[(K+1)/2] \times [(J+1)/2]$.

في كل من المناطق الأربع ($i=1,2,3,4$)، السطوع المتوسط، m_i في المعادلة، و التباين (i variance) s_i^2 ، في المعادلة، مقاسة. إن قيمة ناتج النقطة المركزية في النافذة هي القيمة المتوسطة لتلك المنطقة التي لها تباين أصغر.

خلاصة خوارزميات الصقل

يُخص الجدول التالي الخصائص المختلفة لخوارزميات الصقل المقدمه فوق. إن حجم المرشح مُفترض ان يُحاط من قبل مستطيل $J \times K$ حيث، بدون خسارة العمومية، $J \geq K$. حجم الصورة $N \times N$.

النقطة/التعقيد	متزايد / منفصل	الدعم	النوع	المجال	الخوارزمية
$O(constant)$	Y / Y	مربع	خطي	Space	موحد

موحد	Space	خطي	دائرة	N / Y	$O(K)$
مثلث	Space	خطي	مربع	Y / N	$O(constant)^a$
مثلث	Space	خطي	دائرة	N / N	$O(K)^a$
Gaussian	Space	خطي	∞^a	Y / N	$O(constant)^a$
متوسط	Space	غير خطي	مربع	N / Y	$O(K)^a$
Kuwahara	Space	غير خطي	مربع	N / N	$O(J^* K)$
Other	Frequency	خطي	--	-- / --	$O(\log N)$

جدول 13: خصائص مرشحات الصقل

أمثلة تأثير خوارزميات الصقل المختلفة موضحة في الرسم رقم 31.



(a) أصلي (b) الموحّد 5×5 Gaussian (c)

(d) متوسط 5×5 Kuwahara (e)

الرسم 31: إيضاح مرشحات الصقل الخطيّة واللاخطيّة المختلفة

عمليات أساسها الاشتقاق

كما الصقل عملية أساسية في معالجة الصور وكذلك القدرة على أخذ اشتقاق مكاني واحد أو أكثر من الصورة. إنّ المشكلة الأساسية بأنّه، طبقاً للتعريف الرياضي للاشتقاق، لا يمكن أن يُعمل تحويل الصورة إلى أرقام ليست وظيفة مستمرة (x, y) من المتغيرات المكانية لكن بالأحرى وظيفة منفصلة $[m, n]$ من إحداثيات العدد الصحيح المكاني. كنتيجة الخوارزميات التي نحن سنناقشها يمكن فقط أن تُنظر كتقريبات إلى الاشتقاق المكانية الحقيقية للصورة المستمرة- المكانية الأصلية.

بشكل أعمق، نحن يمكن أن نرى من خصائص فوريير في المعادلة، أخذ الاشتقاق بصّرب الطيف البارز ب u أو v هذا يعني بأنّ ضوضاء التذبذب العالي ستؤكّد في الصورة الناتجة. الحلّ العام لهذه المشكلة أن تدمج العملية القابلة للاشتقاق مع الأخرى التي تفعّل ضوضاء التذبذب العالي، باختصار، الصقل بالتمازج مع العملية القابلة للاشتقاق المطلوبة.

الإشتقاقات الأولى

باعتبار الصورة هي دالة من إثنان (أو أكثر) من المتغيرات، من الضروري تعريف الإتجاه الذي أخذ في الإشتقاق. للحالة الثنائية الأبعاد عندنا الإتجاه الأفقي، الإتجاه العمودي، أو إتجاه إعتباطي الذي يُمكن أن يُعتبر كمجموعة من الإثنان. إذا نُسعمل \mathbf{h}_x للدلالة على المرشح القابل للإشتقاق الأفقي (المصفوفة) ، \mathbf{h}_y للدلالة على المرشح القابل للإشتقاق العمودي (المصفوفة)، و \mathbf{h}_θ للدلالة على مرشح الزاوية الإعتباطية القابل للإشتقاق (المصفوفة)، فإن:

$$[\mathbf{h}_\theta] = \cos \theta \cdot [\mathbf{h}_x] + \sin \theta \cdot [\mathbf{h}_y]$$

- مرشحات الهيل - هو محتمل أيضاً لتوليد وصف موجه (شعاع) القابل للإشتقاق كالميل $\nabla a[m,n]$ ، للصورة:

$$\nabla a = \frac{\partial a}{\partial x} \vec{i}_x + \frac{\partial a}{\partial y} \vec{i}_y = (h_x \otimes a) \vec{i}_x + (h_y \otimes a) \vec{i}_y$$

حيث \vec{i}_x and \vec{i}_y متجهات أحادية في الإتجاه الأفقي والعمودي، على التوالي. هذا يؤدي إلى وصفين:

$$|\nabla a| = \sqrt{(h_x \otimes a)^2 + (h_y \otimes a)^2} \text{ - مقدار ميل -}$$

و

$$\psi(\nabla a) = \arctan \left\{ \frac{(h_y \otimes a)}{(h_x \otimes a)} \right\} \text{ - إتجاه ميل -}$$

إن مقدار الميل يُقرب أحياناً من قبل:

$$|\nabla a| \cong |h_x \otimes a| + |h_y \otimes a| \text{ - تقريباً. مقدار ميل -}$$

تَعتمدُ النَّتَائجُ النهائيةُ لهذه الحسابات بقوة على إختيارات h_x و h_y . عدد من الإختيارات المحتملة لـ (h_x, h_y) ستُوصفُ الآن.

- مرشحات قابلة للإشتقاق أساسية - هذه المرشحات محدّدة من قبل:
-

$$i) [\mathbf{h}_x] = [\mathbf{h}_y]^T = [1 \quad -1]$$

$$ii) [\mathbf{h}_x] = [\mathbf{h}_y]^T = [1 \quad 0 \quad -1]$$

حيث "t" يدلّ على نقل المصفوفة. يَتَلفُ هذان المرشحان بشكل ملحوظ في مقدار حجم فوريير ومرحلة فوريير. لمدى التردد $0 \leq \Omega \leq \pi$ ، هذه مُعطى من قبل:

$$i) [\mathbf{h}] = [1 \quad -1] \xleftrightarrow{F} |H(\Omega)| = 2|\sin(\Omega/2)|; \quad \varphi(\Omega) = (\pi - \Omega)/2$$

$$ii) [\mathbf{h}] = [1 \quad 0 \quad -1] \xleftrightarrow{F} |H(\Omega)| = 2|\sin \Omega|; \quad \varphi(\Omega) = \pi/2$$

الشكل الثاني (ii) يعطي إخماد شروط التذبذب العالي ($\Omega \sim \pi$) بينما الشكل الأول (i) لا يفعل ذلك. يُؤدّي الشكل الأول إلى تغيير المرحلة؛ بينما الشكل الثاني لا يؤدي.

• مرشحات ميل Prewitt - هذه المرشحات محدّدة من قبل:

$$[h_x] = \frac{1}{3} \begin{bmatrix} 1 & 0 & -1 \\ 1 & 0 & -1 \\ 1 & 0 & -1 \end{bmatrix} = \frac{1}{3} \begin{bmatrix} 1 \\ 1 \\ 1 \end{bmatrix} \cdot [1 \ 0 \ -1]$$

$$[h_y] = \frac{1}{3} \begin{bmatrix} 1 & 1 & 1 \\ 0 & 0 & 0 \\ -1 & -1 & -1 \end{bmatrix} = \frac{1}{3} \begin{bmatrix} 1 \\ 0 \\ -1 \end{bmatrix} \cdot [1 \ 1 \ 1]$$

كل من h_x و h_y مفصل. ما بعد النتائج الحسابية هناك النتائج لتحليل المرشح. يأخذ كل مرشح الاشتقاق في إتجاه واحد مستخدماً المعادلة ii ويصقل في استعمال الإتجاه المتعامد مستخدماً نسخة أحادية البعد للمرشح الموحد كما وُصِفَ في قسم سابق.

• مرشحات ميل Sobel - هذه المرشحات محدّدة من قبل:

$$[h_x] = \frac{1}{4} \begin{bmatrix} 1 & 0 & -1 \\ 2 & 0 & -2 \\ 1 & 0 & -1 \end{bmatrix} = \frac{1}{4} \begin{bmatrix} 1 \\ 2 \\ 1 \end{bmatrix} \cdot [1 \ 0 \ -1]$$

$$[h_y] = \frac{1}{4} \begin{bmatrix} 1 & 2 & 1 \\ 0 & 0 & 0 \\ -1 & -2 & -1 \end{bmatrix} = \frac{1}{4} \begin{bmatrix} 1 \\ 0 \\ -1 \end{bmatrix} \cdot [1 \ 2 \ 1]$$

ثانيةً، h_x و h_y مفصلة. يأخذ كل مرشح الاشتقاق في الإتجاه الواحد مستخدماً المعادلة ii ويصقل في استعمال الإتجاه المتعامد النسخة الأحادية البعد مستخدماً مرشحاً مثلثي كما وُصِفَ في قسم سابق.

* مرشحات الهيل الهذيلة - تشكيلة التقنيات المتوفرة في معالجة الإشارات الأحادية البعد لتصميم المرشحات الرقمية تعطينا أدوات قويّة من أجل تصميم النسخ الأحادية البعد h_x و h_y . استعمال خوارزمية Parks-McClellan لتصميم المرشحات، على سبيل المثال، نحن يُمكن أن نختار أحزمة التردد حيث نريد الاشتقاق أن تُؤخذ وأحزمة التردد حيث نريد الضوضاء أن تُقمع. الخوارزمية بعد ذلك ستنتج مرشح مفرد حقيقي مع الطول الأدنى الذي يحقق المواصفات.

كمثال، إذا نريد المرشح الذي له خصائص قابلة للاشتقاق في أحزمة المرور (مع الوزن 1.0) في مدى التردد 0.0 $\leq \Omega \leq 0.32\pi$ و حزام التوقف (مع الوزن 3.0) في المدى $\Omega = \pi \leq \Omega < \pi$ ، فإن الخوارزمية تنتج السبعة مرشحات التالية:

$$[h_x] = [h_y]^T = \frac{1}{16348} \begin{bmatrix} -3571 & 8212 & -15580 & 0 & 15580 & -8212 & 3571 \end{bmatrix}$$

الميل يُمكن أن يكون محسوباً كما في المعادلة .

* مرشحات ميل Gaussian - في معالجة الصور الرقمية الحديثة إحدى التقنيات الأكثر شيوعاً هي إستعمال مرشح Gaussian لإنجاز الصّقل المطلوب وأحد الإستقاقات المدرجة في المعادلة . هكذا، نحن قد نُطَبِّق Gaussian التكراري أولاً في امعادلة ثم على ذلك من قبل المعادلة ii . لإنجاز المطلوب، مرشحات الصّقل- الإستقاق h_x و h_y . بشكل اعمق، للكفاءة الحسابية، نحن يُمكن أن ندمج ه تان الخطوتين كالتالي:

$$w[n] = \left(\frac{B}{2}\right)(a[n+1] - a[n-1]) + (b_1 w[n-1] + b_2 w[n-2] + b_3 w[n-3]) / b_0$$

$$c[n] = Bw[n] + (b_1 c[n+1] + b_2 c[n+2] + b_3 c[n+3]) / b_0$$

حيث المعاملات المُختلفة مُعرّفة في المعادلة. الأول (أمامية) معادلة تطبيقية من $n = 0$ إلى $n = N - 1$ بينما الثانية (خلفية) معادلة تطبيقية من $n = N - 1$ أسفلا إلى $n = 0$.

* الخلاصة - أمثلة تأثير الخوارزميات القابلة للإشتقاق المُختلفة على نسخة صاحبة من الرسم رقم 31 a ($SNR = 29 \text{ dB}$) يُوضّح في الرسم رقم 32 c a. إن تأثير خوارزميات ميل المقدار المُختلفة في الرقم 31 a يُظهر في الرسم رقم 33 c a. بعد المعالجة، كل الصور شدّ تركيز قيمها لأغراض العرض.



(a) إشتقاق بسيط ، (b) Sobel ، (c) Gaussian

الرسم 32: تطبيق الخوارزميات المُختلفة لـ h_x - الإشتقاق الأفقي.



(a) إشتقاق بسيط ، (b) Sobel ، (c) Gaussian

الرسم 33: الخوارزميات المُختلفة لميل المقدار $|\nabla| \cdot |a|$.

يواجه ميل المقدار قيم كبيرة حيث هناك حافات قوية في الصورة. الإختيار الملائم في الإشتقاق أساسه Gaussian (رقم 32 c) أو ميل (رقم 33 c) يُسمَح لحساب عملياً أي من الأشكال الأخرى - البسيطة، Prewitt ، Sobel ، الخ. في ذلك الإحساس، إشتقاق Gaussian يُمثّل مجموعة ضخمة للمرشحات القابلة للإشتقاق.

الإشتقاقات الثانية

بالطبع، من المحتمل حساب اشتقاق الطلب الأعلى للوظائف من متغيرين. في معالجة الصور، كما نحن سنرى في أقسام قادمة، تلعب الاشتقاق الثانية أو Laplacian دور مهم. Laplacian مُعرَّف كالتالي:

$$\nabla^2 a = \frac{\partial^2 a}{\partial x^2} + \frac{\partial^2 a}{\partial y^2} = (h_{2x} \otimes a) + (h_{2y} \otimes a)$$

حيث h_{2x} و h_{2y} مرشحات قابلة للاشتقاق ثانية. في مجال التردد عندنا لمرشح Laplacian (من المعادلة):

$$\nabla^2 a \xleftrightarrow{F} -(u^2 + v^2)A(u, v)$$

وظيفة نقل Laplacian تُقابل القطع المكافئ $(u, v) = -(u^2 + v^2)$.
* مرشح قابل للاشتقاق - ثاني أساسي - هذا المرشح محدد من قبل:

$$[h_{2x}] = [h_{2y}]^T = \begin{bmatrix} 1 & -2 & 1 \end{bmatrix}$$

وطيف تردد هذا المرشح، في كل اتجاه، مُعطى من قبل:

$$H(\Omega) = F\{1 \quad -2 \quad 1\} = -2(1 - \cos \Omega)$$

على مدى التردد $-\pi \leq \Omega \leq \pi$. الإثنان، مرشحات أحادية البعد يُمكن أن تُستعمل في الأسلوب المقترح من قبل المعادلة. أو دمجها في ، مرشح واحد ثنائي الأبعاد كالتالي:

$$[h] = \begin{bmatrix} 0 & 1 & 0 \\ 1 & -4 & 1 \\ 0 & 1 & 0 \end{bmatrix}$$

وإستعمل كما في المعادلة.

* مجال تردد Laplacian - هذا المرشح هو تطبيق الوصفة العامة المعطاة في المعادلة و لمرشح Laplacian نأخذ الشكل:

$$c[m, n] = F^{-1}\{-(\Omega^2 + \Psi^2)A(\Omega, \Psi)\}$$

* مرشح Gaussian الثاني القابل للاشتقاق - هذا الإمتداد البسيط ل - Gaussian مرشح قابل للاشتقاق أولاً ووصف فوق ويُمكن أن يُطبق بشكل مستقل في كل بُعد. نُطبق صقل Gaussian أولاً مع σ الهُختار على أساس مواصفات المشكلة. ثم نُطبق المرشح القابل للاشتقاق الثاني المطلوب في المعادلة. ثانيةً هناك الاختيار بين Gaussian المُختلف الذي يصقل الخوارزميات.

للكفاءة، نحن يُمكن أن نستخدم التطبيق التكراري وندمج الخطوات -- الصقل والعملية القابلة للاشتقاق -- كالتالي:

$$w[n] = B(a[n] - a[n-1]) + (b_1 w[n-1] + b_2 w[n-2] + b_3 w[n-3]) / b_0$$

$$c[n] = B(w[n+1] - w[n]) + (b_1 c[n+1] + b_2 c[n+2] + b_3 c[n+3]) / b_0$$

حيث المعاملات المُختلفة مُعرَّفة في المعادلة. مرة ثانية، الأول (أمامية) معادلة تطبيقية من $n = 0$ إلى $n = N - 1$ بينما الثانية (خلفية) معادلة تطبيقية من $n = N - 1$ أسفلاً إلى $n = 0$.

* مرشحات Laplacian البديلة - تقنيات تصميم مرشح رقمية أحادية البعد. تزودنا بطرق قوية لِتَخْلُقَ المرشحات المُحسَّنة لمشكلة معينة. بلستعمال خوارزمية التصميم Parks-McClellan، نحن يُمكنُ أَنْ نَخْتَارَ أحزمة التردد حيث نريدُ الإشتقاق الثاني أَنْ تُؤْخَذَ وأحزمة التردد حيث نريدُ الضوضاء أَنْ تُقْمَعَ. الخوارزمية بعد ذلك سَتُنْتِجُ المرشح المزدوج الحقيقي مع الطول الأدنى الذي يُحقق المواصفات. كَمِثَال، إذا اردنا المرشح الذي لَهُ خصائصُ قابلة للإشتقاق ثانية في حزمة المرور (بالوزن 1.0) في مدى التردد 0.0 $\leq \Omega \leq 0.3\pi$ و $\Omega \leq 0.3\pi$ و $\Omega \leq 0.3\pi$ في المدى $0.32\pi \leq \Omega \leq \pi$ ، فإن الخوارزمية تُنتِجُ السبعة مرشحات المحسنة التالية:

$$[h_r] = [h_c]^T = \frac{1}{11043} \begin{bmatrix} -3448 & 10145 & 1495 & -16383 & 1495 & 10145 & -3448 \end{bmatrix}$$

Laplacian يُمكنُ أَنْ يُحَسَّبَ كما في المعادلة.

* مرشح SDGD - المرشح الذي يعتبر مفيداً خصوصاً في إيجاد الحافة ومقياس الجسم هو الإشتقاق الثاني في إتجاه الميل المرشح (SDGD). يستعمل هذا المرشح خمسة إشتقاق جزئية:

$$\begin{aligned} A_{xx} &= \frac{\partial^2 a}{\partial x^2} & A_{xy} &= \frac{\partial^2 a}{\partial x \partial y} & A_x &= \frac{\partial a}{\partial x} \\ A_{yx} &= \frac{\partial^2 a}{\partial x \partial y} & A_{yy} &= \frac{\partial^2 a}{\partial y^2} & A_y &= \frac{\partial a}{\partial y} \end{aligned}$$

نُلاحظ ان $A_{xy} = A_{yx}$ ، هذا يُفسِّرُ الإشتقاق الخمسة. يُدمَجُ SDGD الإشتقاق الجزئية المختلفة كالتالي:

$$SDGD(a) = \frac{A_{xx}A_x^2 + 2A_{xy}A_xA_y + A_{yy}A_y^2}{A_x^2 + A_y^2}$$

كما هو مُتَوَقَّع، العدد الكبير للإشتقاق المشترك في هذا المرشح يُشيرُ ضمناً إلى أَنْ إخمادَ الضوضاء مهمٌ وان مرشحات Gaussian القابلة للإشتقاق - كل من الطلب الأول والثاني -- يوصي إلى حدٍ كبير إن لم يكن مطلوب. ه ذا ضروري أيضاً ان المرشحات القابلة للإشتقاق الأولى والثانية لها جوهرياً نفس حزمة المرور و حزمة التوقف. هذا يُعني بأن إذا المرشح القابل للإشتقاق الأول h_{1x} مُعطى من قبل [1 0 -1] (المعادلة ii) فإن المرشح القابل للإشتقاق الثاني يُجبُ أَنْ يُعطى من قبل $h_{1x} \otimes h_{1x} = [1 0 -2 0 1]$. $h_{1x} = h_{2x}$

* الخلاصة - تأثيرات المرشحات القابلة للإشتقاق الثانية المُختلفة مُوضحة في الصورة رقم 34 a. كَلِّ الصور تم تعديل تركيز قيمها (تردد الرمادي) لأغراض العرض باستعمال المعادلة والعوامل 1 % و 99 %.



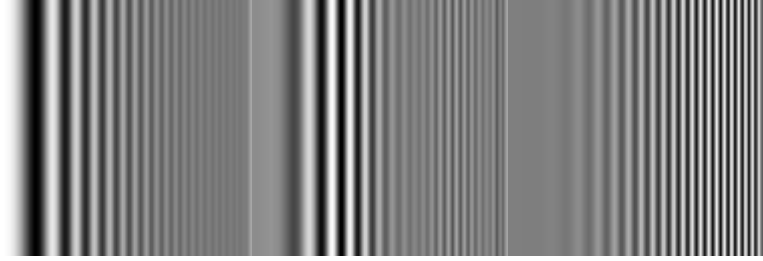


(a) (b) (c) Laplacian - eq. Fourier parabola - eq. Gaussian ($\sigma=1.0$) & eq.
(d) (e) "Designer" - eq. SDGD ($\sigma=1.0$) - eq.

الرسم 34: الخوارزميات المختلفة لـ Laplacian ومرشحات متعلقة بـ Laplacian.

المرشحات الأخرى

عدد لانهازي من المرشحات، من كلا النوعين خطي وغير خطي، محتمل لمعالجة الصور. اذن من المستحيل وصف أكثر من الأنواع الأساسية في هذا القسم. وصف المرشحات الأخرى يُمكن أن يُوجد في الكتب المرجعية وكذلك في كتب التطبيقات. من المهم إستعمال مجموعة ثابتة صغيرة من صور الاختبار ذات العلاقة بمنطقة التطبيق لفهم تأثير المرشح المعطى أو صنف المرشحات. تأثير المرشحات على الصور يُمكن أن يُفهم أكثر بإستعمال الصور التي تحتوي مناطق واضحة ظاهرة من تغيير المقاييس لتصور التأثير على الحافات أو بإستعمال أنماط الاختبار مثل عمليات مسح الجيبية لتصور التأثيرات في مجال التردد. انظر نماذج المرشحات في الرسم رقم 35.

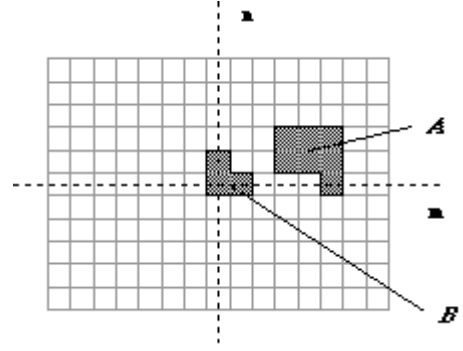


(a) Lowpass filter (b) Bandpass filter (c) Highpass filter

إعتقد 34: خوارزميات الإلتواء المختلفة المنفذة على صورة اختبار الجيبية.

عمليات أساسها علم التشكل

في قسم 1 عرفنا صورة كـ (مدى) دالة من متغيران (إحداثيات)، حقيقيان $a(x, y)$ أو متغيران منفصلان (ثابتان) $a[m, n]$. التعريف البديل للصورة يُمكن أن يكون مستند على الفكرة ان الصورة تشمل مجموعة (أو تشكيلة) من كل من الإحداثيات المستمرة أو المنفصلة. بمعنى اخر المجموعة تُقابل النقاط أو نقاط الشاشة التي تنتمي إلى الأجسام في الصورة. هذا مرسوم في الصورة رقم 36 الذي يحتوي الجسمين أو مجموعتين A و B . مع ملاحظة ان نظام الإحداثيات مطلوب. للحظة نحن سنعتبر قيم نقطة الشاشة لكي تكون ثنائية كما نوقشت في قسم سابق. بشكل اعمق نحن سنحدد مناقشتنا على الفضاء المنفصل (Z^2).



الرسم 36: الصورة الثنائية التي تحتوي مجموعتا الأجسام A و B .

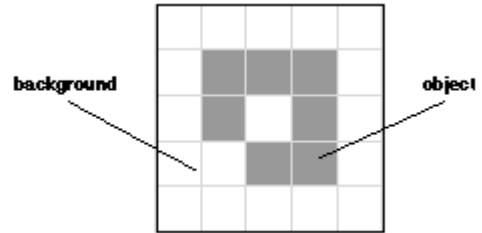
الجسم A يشمل تلك النقاط a التي تشترك في بعض الخصائص العامة:

جسم - $A = \{\alpha | \text{property}(\alpha) == \text{TRUE}\}$ - Object

كمثال، جسم B في الرسم رقم 36 يتضمن $\{[0,0], [1,0], [0,1]\}$. إن خلفية A المعطية بـ A^c (تكملة A) والتي نعرف كذلك العناصر التي ليست في A:

خلفية - $A^c = \{\alpha | \alpha \notin A\}$ - Background

في الرسم رقم 4 قدمنا مفهوم ربط الجوار. نحن الآن نلاحظ بأنّ إذا جسم A مُعرّف على أساس ربط C- (C=4، 6، 8) فإن الخلفية A^c لها ربط معطى بـ C- 12. الضرورة لهذا مُوضحة للشبكة الديكارتية في الرسم رقم 37.



الرسم 37: الصورة الثنائية التي تتطلب تعريف حذر من ربط الخلفية والجسم.

التعاريف الأساسية

العمليات الأساسية المرتبطة بجسم هي مجموعة العمليات المعيارية: الاتحاد، التقاطع، وتكملة $\{\cap, \cup, ^c\}$ بالإضافة للنقل:

* النقل - مُعطى الموجه (الشعاع) x و مجموعة A، النقل، $x + A$ ، مُعرّف لثلاثي:

$$A + x = \{\alpha + x | \alpha \in A\}$$

نلاحظ انه، منذ اننا نتعامل مع صورة رقمية متكوّنة من نقاط في مواقع إحداثيات العدد الصحيح (Z^2) ، هذا يندل على قيود على موجهات النقل الجائزة x.

عمليات مجموعة Minkowski الأساسية -- الجمع والطرح -- أولاً نلاحظ بأن العناصر الفردية التي تشمل B ليست فقط نقاط لكن أيضاً موجّهات حيث عندهم موقع احداثيات واضح فيما يتعلق ب [0,0]. أعطيت مجموعتان A وB:

$$A \oplus B = \bigcup_{\beta \in B} (A + \beta) \quad \text{- إضافة Minkowski}$$

$$A \ominus B = \bigcap_{\beta \in B} (A + \beta) \quad \text{- طرح Minkowski}$$

التوسّع والتآكل

من هاتان العمليتان من عمليات Minkowski نعرّف عمليات علم الصرف الرياضي الأساسي التوسّع والتآكل:

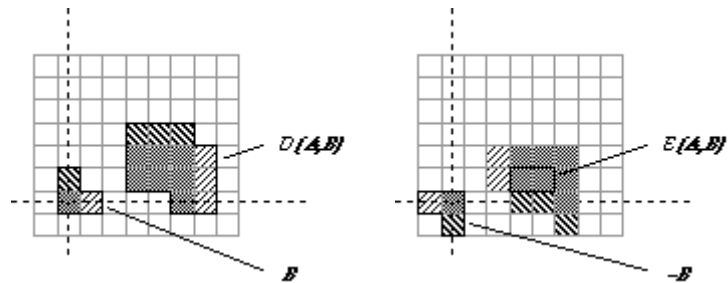
$$D(A, B) = A \oplus B = \bigcup_{\beta \in B} (A + \beta) \quad \text{- توسّع}$$

$$E(A, B) = A \ominus (-B) = \bigcap_{\beta \in B} (A - \beta) \quad \text{- تآكل}$$

$$-B = \{-\beta | \beta \in B\} \quad \text{حيث.}$$

هاتان العمليتان مُمَوَّرتان في الرسم رقم 38 للأجسام المعرّفتي الرسم رقم 36.

(a) توسّع $D(A, B)$ (b) تآكل $E(A, B)$

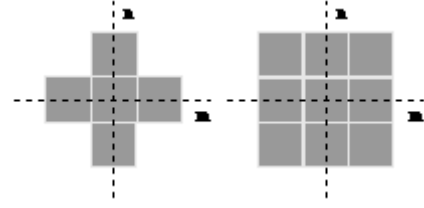


الرسم 38: الصورة الثنائية التي تحتوي مجموعتا الأجسام A وB. إن نقاط الشاشة الثلاث في B "تُلَوَّن" كما تأثيرهم في النتيجة.

مجموعة A أو B يُمكن أن تعتبر كصورة، A يُعتبر عادة كالصورة و B يُدعى عنصر التنظيم (الهيكل). إن عنصر التنظيم لعلم الصرف الوياضي الذي هو مركز الالتواء لنظرية مرشح خطية.

التوسّع، عموماً، يؤدي بالأجسام للتوسّع أو النمو في الحجم؛ التآكل يؤدي بالأجسام إلى الإنكماش. الكمية والطريق الذي يَنَمُون أو يَنَكْمَشُونَ به يعتمدان على إختيار عنصر التنظيم. التوسّع أو التآكل بدون تحديد العنصر الهيكلي لن يقدم أي تغيير أكثر من محاولة استعمال مرشح المرور الأدنى على صورة بدون تحديد المرشح. عنصرا التنظيم الأكثر شيوعاً (مُعطية الشبكة الديكارتية) المجموعات المرتبطة- 4 والمرتبطة- 8، N_4 و N_8 . مُصَوَّرُون في الرسم رقم 39.

N_8 (b) N_4 (a)



الرسم 39: المعيار الذي يُنظَّم العناصر N_4 و N_8 .

التوسُّع والتآكل لهُما الخصائص التالية:

$$\text{Commutative} - D(A, B) = A \oplus B = B \oplus A = D(B, A)$$

$$\text{Non-Commutative} - E(A, B) \neq E(B, A)$$

$$\text{Associative} - A \oplus (B \oplus C) = (A \oplus B) \oplus C$$

$$\text{Translation Invariance} - A \oplus (B + x) = (A \oplus B) + x$$

$$D^c(A, B) = E(A^c, -B)$$

$$\text{Duality} - E^c(A, B) = D(A^c, -B)$$

مع A كجسم و A^c كالخلفية ، المعادلة نقول بأنَّ توسُّع الجسم مكافئ إلى تآكل الخلفية. على نفس النمط، تآكل الجسم مكافئ إلى توسُّع الخلفية.
ماعدات الحالات الخاصة:

$$D(E(A, B), B) \neq A \neq E(D(A, B), B). \text{ غير م عكوس.}$$

التآكل لهُ خاصية النقل التالية:

$$A \otimes (B + x) = (A + x) \otimes B = (A \otimes B) + x. \text{ النقل الثابت}$$

التوسُّع والتآكل لهُما الخصائص المهمة التالية. لأيَّ عنصر تنظييم إعتباطي B وجسما صورة A_1 و A_2 مثل التالية:

$$A_1 \subset A_2 \text{ (} A_1 \text{ is a proper subset of } A_2 \text{):}$$

$$D(A_1, B) \subset D(A_2, B)$$

$$E(A_1, B) \subset E(A_2, B) \text{ - متزايد في أي -}$$

لعنصري التنظيم B_1 و B_2 مثل $B_2 \subset B_1$:

$$E(A, B_1) \supset E(A, B_2) \text{ - متناقص في بي -}$$

نظريات التحليل الى مركبات ابسط تجعلها محتملة لإيجاد تطبيقات كفاءة للمرشحات الصرفية.

$$\text{Dilation} - A \oplus (B \cup C) = (A \oplus B) \cup (A \oplus C) = (B \cup C) \oplus A \text{ توسُّع}$$

$$\text{Erosion} - A \otimes (B \cup C) = (A \otimes B) \cap (A \otimes C) \text{ تآكل}$$

$$\text{Erosion} - (A \otimes B) \otimes C = A \otimes (B \oplus C) \text{ تآكل}$$

$$nB = \underbrace{(B \oplus B \oplus B \oplus \dots \oplus B)}_{n \text{ times}}$$

$$\text{Multiple Dilations} - \text{التوسُّعات المتعددة}$$

نظرية التحليل الى مركبات ابسط مهمة بسبب Vincent. أولاً، نتطلَّب بَعْض التعاريف:

- المجموعة المحدبة (في R^2) هي واحدة للخط المستقيم الذي يضم أي نقطتان في المجموعة التي تشمل نقاط المجموعة. من الواضح انه يجب أخذ العناية تطبيقي هذا التعريف إلى النقاط المنفصلة كمفهوم "خط مستقيم" يجب أن يفسر بشكل ملائم في Z^2 .
 - المجموعة المحدودة إذا كل من عناصرها له مقدار محدود، في هذه الحالة المسافة إلى أصل نظام الاحداثيات.
 - المجموعة المتمثلة إذا $B = -B$. إن المجموعات N_4 و N_8 في الرسم رقم 39 أمثلة عن المجموعات المحدبة، المحدودة، و المتمثلة.
- نظرية فنسينت، عندما تطبق على صورة تشمل نقاط منفصلة، فإن عنصر التنظيم المتمثل B الذي لن يحتوي أي فتحات ويحتوي مركزه الخاص، $[0,0] \in B$:

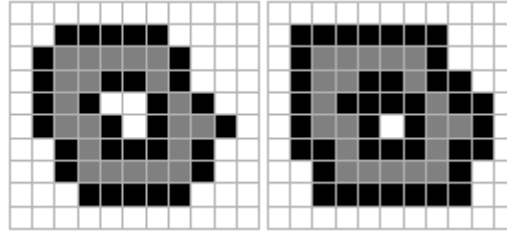
$$D(A, B) = A \oplus B = A \cup (\partial A \oplus B)$$

حيث أن ∂A محيط (حدود) الجسم. ∂A هو مجموعة النقاط التي لها نقطة خلفية كجار. إن نتيجة هذه النظرية بأنه ليس من الضروري معالجة كل النقاط في الجسم لكي يحسب التوسع أو التآكل. نحن فقط يجب أن نعالج نقاط الحد. هذا يحمل أيضاً لكل العمليات التي يمكن أن نشق من التوسعات والتآكلات. معالجة نقاط الحد بدلاً من نقاط الجسم تعني بأن، فيمعدا الصور الطبية، التعقيد الحسابي يمكن أن يخفض من $O(N^2)$ إلى $O(N)$ لصورة $N \times N$. إن التوسع الأسهل وخوارزميات التآكل يصفان كثيراً كالتالي.

* التوسع - نأخذ كل نقطة جسم ثنائية (القيمة "1") ووضع كل نقاط الخلفية (بالقيمة "0") بمعنى ان النقاط C - مرتبطة إلى نقطة الجسم تأخذ القيمة "1".

* التآكل - نأخذ كل نقطة جسم ثنائية (القيمة "1") النقاط C - المرتبطة إلى نقطة الخلفية ووضع قيمة نقطة الجسم إلى "0".

مقارنة هذين الإجرائين. حيث $B = N_{C=4}$ أو $N_{C=8}$ يظهر بأنهم مكافئون إلى التعاريف الرسمية للتوسع والتآكل. إن الإجراء المصور للتوسع في الرسم رقم 40.



(a) $B = N_4$ (b) $B = N_8$

الرسم 40: إيضاح التوسع. نقاط الجسم الأصلية رمادية؛ النقاط المضافت خلال التوسع في الأسود.

الإلتواء المنطقي

صورة ثنائي إعتباطي لجسم (أو عنصر تنظيم) A ممكن ان تكون ممثلة لالتالي:

$$A \leftrightarrow \sum_{k=-\infty}^{+\infty} \sum_{j=-\infty}^{+\infty} a[j, k] \cdot \delta[m-j, n-k]$$

حيث \sum و * العمليات المنطقية OR و AND كما عرفت سابقاً، $a[j, k]$ وظيفة الخاصية التي تواجه القيم المنطقية "1" "0" كالتالي:

$$a[j, k] = \begin{cases} 1 & a \in A \\ 0 & a \notin A \end{cases}$$

و $a[m, n]$ نسخة منطقية من وظيفة Dirac delta التي تواجه القيم المنطقية "1" "0" كالتالي:

$$\delta[j,k] = \begin{cases} 1 & j = k = 0 \\ 0 & \text{otherwise} \end{cases}$$

التوسُّع للصُّور الثنائية يُمكنُ أَنْ يُكوِّنَ مكتوباً لثلاثي:

$$D(A, B) = \sum_{k=-\infty}^{+\infty} \sum_{j=-\infty}^{+\infty} a[j, k] \cdot b[m-j, n-k] = a \otimes b$$

لأن العمليات المنطقية OR, AND يمكن ان تستبدل، فإنه يُمكنُ أيضاً أَنْ يُكتَبَ لثلاثي:

$$D(A, B) = \sum_{k=-\infty}^{+\infty} \sum_{j=-\infty}^{+\infty} a[m-j, n-k] \cdot b[j, k] = b \otimes a = D(B, A)$$

إستعمال نظرية De Morgan's:

$$\overline{(a+b)} = \bar{a} \cdot \bar{b} \quad \text{and} \quad \overline{(a \cdot b)} = \bar{a} + \bar{b}$$

بالاعتماد على المعادلات السابقة، التآكل يُمكنُ أَنْ يُكتَبَ لثلاثي:

$$E(A, B) = \prod_{k=-\infty}^{+\infty} \prod_{j=-\infty}^{+\infty} (a[m-j, n-k] + \bar{b}[-j, -k])$$

وهكذا، التوسُّع والتآكل على الصُّور الثنائية يُمكنُ أَنْ يُعْطَرَ كشكل من الإلتواء على الجبر المنطقي. رأينا في القسم الخاص بالإلتواء بأنَّ، عند إستخدام الإلتواء، فإن الإختيار الهلائم لشروط الحدِّ لصورةٍ هو ضروري. التوسُّع والتآكل – يمكن أَنْ يَكُونَا إلتواء منطقي بلا اي إستثناء. إِنَّ الإختيارين الأكثر شيوعاً بأنَّ أَمَّا كُلُّ شيء خارج الصورة الثنائية "0" أو كُلُّ شيء خارج الصورة الثنائية "1".

الإفتتاح والإغلاق

نحن يُمكنُ أَنْ نَدْمَجَ التوسُّع والتآكل لبناء عمليتي الطلبِ الأعلى المهمتين:

إفتتاح - $O(A, B) = A \circ B = D(E(A, B), B)$

إغلاق - $C(A, B) = A \bullet B = E(D(A, -B), -B)$

الإفتتاح والإغلاق لهُما الخصائص التالية:

$$C^c(A, B) = O(A^c, B)$$

ثنائية - $O^c(A, B) = C(A^c, B)$

$$O(A + x, B) = O(A, B) + x$$

النقل - $C(A + x, B) = C(A, B) + x$

لإفتتاح بعنصر التنظيم B وصور أي، أي 1، وأي 2، حيث أنَّ أي 1 صورة ثنائية أي 2 (أي 1 أي 2):

$$\text{Antiextensivity} - O(A, B) \subseteq A$$

$$\text{Increasing monotonicity} - O(A_1, B) \subseteq O(A_2, B)$$

$$\text{Idempotence} - O(O(A, B), B) = O(A, B)$$

لإغلاق بتنظيم العنصر بي وصور A_1, A_2 ، حيث أن A_1 صورة ثانوية من A_2 : $A_2 \subseteq A_1$

$$\text{Extensivity} - A \subseteq C(A, B)$$

$$\text{Increasing monotonicity} - C(A_1, B) \subseteq C(A_2, B)$$

$$\text{Idempotence} - C(C(A, B), B) = C(A, B)$$

عملية الرمية الخاطئة

مشغل الرمية الخاطئة أو الضربة عرّفًا من قبل Serra لَكُنَّا سَنُشِيرُ إليه كالمشغل (العملية) "لا على التعيين" ونُعرِّفه كالتالي. م عطلة الصورة A وعنصرين التنظيم B_1 و B_2 ، فإن تعريف المجموعة والتعريف المنطقي هو التالي:

$$\text{HitMiss}(A, B_1, B_2) = \begin{cases} E(A, B_1) \cap E^c(A^c, B_2) \\ E(A, B_1) \cdot \overline{E(\bar{A}, B_2)} \\ E(A, B_1) - E(\bar{A}, B_2) \end{cases} \quad \text{رمية خاطئة -}$$

حيث B_1 و B_2 عناصر تنظيم مفككة محدودة. (لاحظ استعمال الترقيم في المعادلة). المجموعتان مفككتان إذا $B_1 \cap B_2 = \emptyset$ المجموعة الفارغة. المشغل لا على التعيين المكافئ الصرفي لملائمة القالب ، التقنية المشهورة لمجاراة الأنماط مستندة على عبر - العلاقة المتبادلة. هنا، عُنْدَنَا قالب B_1 للجسم وقالب B_2 للخلفية.

خلاصة العمليات الأساسية

إنّ نتائج تطبيق هذه العمليات الأساسية على صورة الاختبار مُصَوَّرَة اسفلا. في الرسم رقم 41 عناصر التنظيم المُخْتَلَفَة المستعملة في المعالجة مُعرَّفة القيمة " - " تُشِيرُ إلى "لا نَحْمُ". كُلّ عناصر التنظيم الثلاثة متماثلة.

$$B = N_8 = \begin{bmatrix} 1 & 1 & 1 \\ 1 & 1 & 1 \\ 1 & 1 & 1 \end{bmatrix} \quad B_1 = \begin{bmatrix} - & - & - \\ - & 1 & - \\ - & - & - \end{bmatrix} \quad B_2 = \begin{bmatrix} - & 1 & - \\ 1 & - & 1 \\ - & 1 & - \end{bmatrix}$$

(a) (b) (c)

الرسم 41: عناصر التنظيم B, B_1, B_2

إنّ نتائج المعالجة توضح في الرسم رقم 42 حيث أنّ القيمة الثنائية "1" أظهرت في الأسود والقيمة "0" في الأبيض.



(a) صورة A (b) توسّع مع B2 (c) تآكل مع B2



(d) إفتتاح مع B2 (e) إغلاق مع B2 (f) رمية خاطئة مع B1B2
الرسم 42: أمثلة عمليات علم الصرف الرياضية المختلفة.

العملية الإفتتاحية يُمكن أن تُفصل الأجسام المُرتبطة في الصورة ثنائية. عملية الإغلاق يُمكن أن تُملأ الفتحّات الصغيرة. تُؤدّ كلتا العمليات كمية معينة من الصّقل على محيط جسم م عطيّ عنصر تنظيم الصّقل. يَصقلُ الإفتتاح مِنْ داخل مِنْ محيط الجسم بينما الإغلاق يَصقلُ مِنْ خارج محيط الجسم. وَجَدَ المثلّ المعطى على عملية "العملية لا على التعيين" نقاطُ المحيط الأربعة المُرتبطة. الطريقة الدّيلة لإيجاد المحيط ببساطة أن نَسعمل العلاقة التالية:

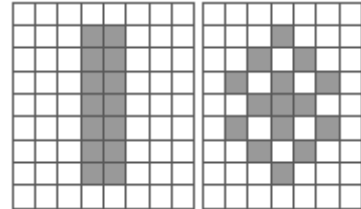
$$\partial A = A - E(A, N_8) \text{ - المخطط المُرتبط 4 أو}$$

$$\partial A = A - E(A, N_4) \text{ - المخطط المُرتبط 8}$$

الهيكَل العظمي

إنّ التعريفَ الشكليّ للهيكَل العظمي هو تمثيل الجسم الخطي بالمتطلبات التالية:

- نقطة واحدة سمكية،
 - خلال "منتصف" الجسم،
 - يحفظ الهندسة اللاكمية (الطبوغرافية) للجسم.
- هذه المتطلبات أيسرّ قابلة للتحقيق دائماً. الصورة 43 توضح هذه الحالة.



(a) (b)

الصورة 43: مثال المحيط إلى المتطلبات الثلاثة.

في المثال الأول، الرسم 43 a، ليس من المحتمل توليد خطّ بسمة نقطة واحدة وفي مركز الجسم بينما يُؤلّد الطريق الذي يَعْكُس ببساطة الجسم. في الرقم 43 b هو ليس محتمل لإزالة نقطة من الجسم المُرتبِط - 8 (ثمانية جيران) ويبقى الهندسة اللاكمية بشكل أني -- فكرة الارتباط -- للجسم. على الرغم من هذا، هناك تشكيلة التقنيات التي تُحاول الوصول إلى هذا الهدف وإنتاج هيكل عظمي.

الصيغة الأساسية المستندة على عمل Lantuejoul. المجموعة الفرعية للهيكل $S_k(A)$ مُعرّف كالتالي:

$$S_k(A) = E(A, kB) - [E(A, kB) \circ B] \quad k = 0, 1, \dots, K$$

حيث أن K القيمة الأكبر من k قبل أن تصبح المجموعة $S_k(A)$ فارغة. من المعادلة $E(A, kB) \circ B \subseteq E(A, kB)$ إن عنصر التنظيم B مُختار (في Z^2) لتقريب القرص الدائري، ذلك، متماثل ومحدود ومحدّب. إن الهيكل العظمي هو اتحاد المجموعات الفرعية للهيكل:

$$S(A) = \bigcup_{k=0}^K S_k(A)$$

هيكل عظمي -

أثر جانبي رائع لهذه الصيغة وهو بأن الجسم الأصلي يُمكن أن يُعاد بناءه بالاعتماد على المعرفة المُعطاة للمجموعات الفرعية الهيكلية $S_k(A)$ ، عنصر التنظيم B ، K :

$$\bar{A} = \bigcup_{k=0}^K (S_k(A) \oplus kB)$$

إعادة بناء -

هذه الصياغة للهيكل العظمي، على أية حال، لا تحفظ الهندسة اللاكمية (الطوبوغرافية)، حسب المتطلبات الموصفتة في المعادلة.

وجهة نظر بديلة وهي أن تُطبّق التّخفيف، التآكل الذي يُخفّض سُمْك الجسم بدون السماح له بالإختفاء. الخوارزمية العامة للتخفيف مستندة على العملية "لا على التعيين":

$$Thin(A, B_1, B_2) = A - HitMiss(A, B_1, B_2)$$

بالاعتماد على اختيار B_1 و B_2 ، التشكيلة الكبيرة من خوارزميات التخفيف -- وخلال التطبيق المتكرّر فإن خوارزميات الهيكلية -- يُمكن أن يُطبّق.

التطبيق العملي يُمكن أن يُوصَف بشكل آخر. إذا حدّدنا لأنفسنا 3×3 جوار، مشابه لعنصر التنظيم $B = N_8$ في الرسم رقم 41 a، فإننا يُمكن أن ننظر إلى عملية التّخفيف كنافذة التي تُمسح مراراً وتكراراً على الصورة الثنائية وتضع النقطة المركزية إلى قيمة "0" تحت بعض الشروط. النقطة المركزية لن تُغيّر إلى "0" إذا فقط إذا:

- يمكن إيجاد النقطة المَعزولة (ومثال على ذلك: - رقم 44 a)،
- إزالة النقطة سيغيّر الربط (ومثال على ذلك: - رقم 44 b)،
- إزالة النقطة سيقصّر الخطّ (ومثال على ذلك: - رقم 44 c).

كنقاط (فعلاً) أزيلت في كل تكرار، العملية تُدعى التآكل الشرطي. ثلاثة من حالات الاختبار مُصوّرة في الرسم رقم 44. عموماً كل الدورات والاختلافات المحتملة يجب أن تُفَق. حيث هناك فقط 512 مجموعة محتملة وحيدة للنافذة 3×3 على صورة ثنائية، هذا يُمكن أن يُعمل بسهولة باستعمال جدول المشاهدة.



(a) نقطة العزل (b) نقطة الوبط (c) نقطة النهاية

الرسم 44: شروط الاختبار للتآكل الشرطي من النقطة المركزية.

لوان الشرط (i) فقط إستعمل فإن كل جسم سَيُنزَلُ لنقطة وحيدة. هذا مفيد إذا كنا نريد حساب عدد الأجسام في صورة. أو شرط ان الشرط (ii) فقط إستعمل فإنه سيوجد حُفر في الأجسام. إذا الشروط (i + ii) فقط إستعملت فإن كل جسم سَيُنزَلُ إما لنقطة وحيدة إذا هي لا تحتوي على فتحة أو إلى الحلقات المغلقة إذا هي تحتوي على الفتحات. إذا الشروط (i + ii + iii) إستعملت فإن "هيكل عظمي كامل" سيُولد كتقريب إلى المعادلة. إيضاحات هذه الإمكانيات المُختلفة معطاة في الرسم رقم 45 a, b.

التكاثر (الانتشار)

هو سهل لكي يَكُون قادر على إعادة بناء الصورة التي "نَجثُ من" عدة تآكلات أو لمَلَى جسم مُعرَّف، على سبيل المثال، من قبل الحَدِّ. الآلية الرسمية لهذا لهُ عدة أسماء بضمن ذلك ملَى المنطقة، إعادة البناء، والتوليد. إن التعريف الرسمي مُعطى بالخوارزمية التالية. نَبْدُ مع بذرة الصورة $S^{(0)}$ ، صورة القناع A ، وعنصر التَنظيم B . بعد ذلك نَسْتعمل توسَّعات S بعنصر التَنظيم B وأخفوا بالقناع A في إجراء تكراري كالتالي:

$$S^{(k)} = [S^{(k-1)} \oplus B] \cap A \quad \text{until} \quad S^{(k)} = S^{(k-1)} - k \text{ تكرار}$$

بكل تكرار، بذرة الصورة تنمو (خلال التوسُّع) لكن ضمن المجموعة (جسم) المعرفة من قبل A ؛ S يُكَاثَرُ (ينتشر) لمَلَى A . الاختيارات الأكثر شيوعاً لـ B هي N_4 أو N_8 . عدة ملاحظات مركزية لإستعمال التكاثر:

- أولاً، في تطبيق بسيط، كما هو مُقترح من قبل المعادلة، الكلفة الحسابية عالية جداً. كل تكرار يَتطلَّبُ عدد $O(N^2)$ من العمليات لصورة $N \times N$ وبالعدد المطلوب للتكرار هذا يُمكن أن يُؤدِّي إلى تعقيد $O(N^3)$. لحسن الحظ، يَجِدُ تطبيق تكراري من الخوارزمية بمرور واحد أو اثنان خلال الصورة كافية عادة.
- الثانية، بالرغم من أننا لم نبدي إنتباه كثير إلى قضية "الجسم / ربط الخلفية" لحد الآن (انظر الرسم رقم 37)، من ضروري بأن الربط الذي دلَّ عليه من قبل B يَكُونُ متناظراً إلى الربط المرتبط بتعريف الحَدِّ A .
- أخيراً، كما هو مذكور في وقت سابق، من المهم القيام بالاختيار الصحيح ("0" أو "1") لشرط حَدِّ الصورة. يَعمَدُ الاختيار على التطبيق.

خلاصة الهيكل العظمي والتكاثر

إن تطبيق هاتين العمليتين على صورة الاختبار المُصَوَّرة في الرسم رقم 45. في الرسم رقم 45 a, b العملية الهيكلية موضحة بشروط النقطة النهائية (i+ii+iii) وبدون شرط نقطة النهاية (i + ii). إن عملية التوليد مُصَوَّرة في الرسم رقم 45 c. الصورة الأصلية، اعطيت بالومادي الفاتح، تآكلت بإستعمال $E(A, 6N_8)$ لإنتاج صورة البذرة المعطاة باللون الأسود. الصورة الأصلي بعد ذلك إستعملت كصورة القناع لإعطاء النتيجة النهائية. قيمة الحدود في كلتا الصور كانت "0".

عدة تقنيات مستندة على إستعمال عمليات التكاثر والهيكل العظمي بالتمازج مع عمليات عِلْمِ الصرف الرياضية الأخرى سَتُقَاشُ في قسم لاحق.

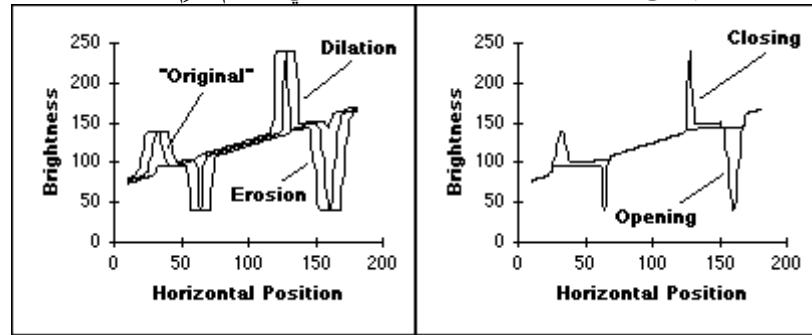


الأصلي = قناع اللون الرمادي = اللون الرمادي
الهيكل العظمي = البذرة السوداء = اللون الأسود

في العديد من الحالات، التعقيد الظاهر للمعالجة الصرفية لتدرجات الرمادي يُخَفَّضُ بشكل ملحوظ خلال إستعمال عناصر التنظيم المتماثلة حيث $b[j,k] = b[-j,-k]$. الأكثر شيوعاً، هذا المستند على إستعمال $B = \text{ثابت} = 0$. لهذه الحالة والإستعمال المهم ثانياً المجال $B, \subseteq [j,k]$ ، التعاريف فوق تُخَفَّضُ إلى:

$$\begin{aligned} \text{Dilation - توسع} \quad D_G(A, B) &= \max_{[j,k] \in B} \{a[m-j, n-k]\} = \max_B(A) \\ \text{Erosion - تآكل} \quad E_G(A, B) &= \min_{[j,k] \in B} \{a[m-j, n-k]\} = \min_B(A) \\ \text{Opening - إفتتاح} \quad O_G(A, B) &= \max_B(\min_B(A)) \\ \text{Closing - إغلاق} \quad C_G(A, B) &= \min_B(\max_B(A)) \end{aligned}$$

إنَّ الخاتمة الملاحظة هي ان المرشح الأقصى والمرشح الأدنى، المناقشين في قسم سابق، هما توسع تدرجات الرمادي وتآكل تدرجات الرمادي لعنصر التنظيم المعين الم عطي بشكل نافذة المرشح بالقيمة الرمادية "0" داخل النافذة. أمثلة هذه العمليات على إشارة أحادية البعد بسيطة تُشاهد في الرسم رقم 46.



(a) تأثير 15×1 توسع وتآكل (b) تأثير 15×1 إفتتاح وإغلاق

الرسم 46: الترشيح الصرفي للبيانات "تدرجات الرمادي"

لنافذة مستطيلة، $J \times K$ ، مرشح الحد الأعلى أو الأدنى الثنائي الأبعاد مفصول إلى، نافذتان أحادية البعد. بشكل أعمق، المرشح ذو الحد الأعلى أو الأدنى أحادي البعد يُمكن أن يُكتب في الشكل التزايدى. هذا يعني بأن التوسعات والتآكلات في تدرجات الرمادية لها تعقيد حسابي لكل نقطة (ثابت) O ، ذلك، مستقل عن J و K . (شاهد الجدول 13 أيضاً.)

العمليات الم عرّفت فوق يمكن أن تُستعمل لإنتاج الخوارزميات الصرفية لصقل، تصميم الميل ونسخة Laplacian. كلها مبنية من العناصر البدائية لتوسع تدرجات الرمادي وتآكل تدرجات الرمادي وفي كل الحالات، المرشحات القصوى والدنيا تُسيطر على المجال.

الصقل الصرفي

هذه الخوارزمية مستندة على الملاحظة التي تفيد بأن إفتتاح تدرجات الرمادي يصقل الصورة بالقيم الرمادية من فوق سطح السطوع الم عطاة بالدالة $a[m, n]$ ويصقل إغلاق تدرجات الرمادي من تحت. نُستعمل عنصر التنظيم B المستند على الصيغة.

$$\begin{aligned} \text{MorphSmooth}(A, B) &= C_G(O_G(A, B), B) \\ &= \min(\max(\max(\min(A)))) \end{aligned}$$

نلاحظ اننا قمنا بمجموعة الرموز (الترقيم) لعنصر التنظيم B تحت عمليات \max و \min لإبقاء الترقيم بسيط.

الميل الصرفي

للمرشحات الخطيّة، مرشح الميل يُنتج التمثيل الموجه مع a مقدار وإتجاه. النسخة المقدّمة هنا تُولّد تخمين صرفي من مقدار الميل:

$$\begin{aligned} \text{Gradient}(A, B) &= \frac{1}{2} (D_G(A, B) - E_G(A, B)) \\ &= \frac{1}{2} (\max(A) - \min(A)) \end{aligned}$$

Laplacian الصرفي

إنّ مرشح Laplacian المؤسّس بشكل صرفي مُعرّف من قبل:

$$\begin{aligned} \text{Laplacian}(A, B) &= \frac{1}{2} ((D_G(A, B) - A) - (A - E_G(A, B))) \\ &= \frac{1}{2} (D_G(A, B) + E_G(A, B) - 2A) \\ &= \frac{1}{2} (\max(A) + \min(A) - 2A) \end{aligned}$$

خلاصة المرشحات الصرفيّة

إنّ تأثير هذه المرشحات مُصوَّرة في الرسم رقم 47. كلّ الصور عولجت مع عنصر تنظيم 3×3 كما وُصِفَتْ في المثال خلال رقم 47 e. كانّ مقارنة إمتدّت لأغراض العرض تُستعمل العوامل 1% و 99%. أرقام c, d, e 47 يجب أن يُقارن إلى الأرقام 31، 33، و 34.



(a) توسّع (b) تأكل (c) صقل

(d) ميل Laplacian (e)

الرسم 47: أمثلة المرشحات الصرفيّة لتدرجات الرمادي.

التقنيات

الخوارزميات المقدّمة في القسم السابق يمكن أن تُستعمل لبناء التقنيات لحلّ مشاكل معيّنة لمعالجة الصور. بدون افتراض لتقديم الحلّ إلى كلّ مشاكل المعالجة، الأمثلة التالية ذات إهتمام عام ويُمكن أن تُستعمل كنماذج لحلّ المشاكل ذات العلاقة.

- تصحيح التظليل
- تحسين أساسي وتقنيات إعادة
- الإنقسام

تصحيح التظليل

- نموذج التظليل
- تخمين التظليل

الطريقة التي تُنتج -- التفاعل بين الأجسام في الفضاء الحقيقي، الإضاءة، وآلة التصوير -- تُؤدّي كثيراً إلى الحالات حيث تُعرض الصورة تظليل هامّ عبر مجال النظر. في بعض الحالات الصورة قد تُكون لامعة في المركز و يبدأ النقصان في السطوع بينما نتجه إلى حافة مجال النظر. في الحالات الأخرى، الصورة قد تُكون أظلم على جانب اليسار وأكثر سطوع على الجانب الأيمن. التظليل قد يُكون سببه الإضاءة الغير موحدة، حساسية آلة تصوير الغير موحدة، أو سخ و غبار على سطح الزجاج (العدسة) في الكاميرا. عموماً تأثير التظليل إلى هذا غير مرغوبٍ به. إلّا أنها ضروريّة كثيراً للمعالجة اللاحقة وخصوصاً عندما يكون تحليل الصور أو فهمها (تمييزها) هو الهدف النهائي.

نموذج تظليل

عموماً نبدأ بنموذج لتأثير التظليل. الإضاءة $I_{ill}(x,y)$ تتفاعل عادة في شكل مضاعف مع الجسم $a(x,y)$ لإنتاج الصورة $b(x,y)$:

$$b(x,y) = I_{ill}(x,y) \cdot a(x,y)$$

لتمثيل الجسم هناك قيود التصوير المُختلفة مثل:

$$a(x,y) = \begin{cases} r(x,y) & \text{reflectance model} \\ 10^{-OD(x,y)} & \text{absorption model} \\ c(x,y) & \text{fluorescence model} \end{cases}$$

حيث في الموقع (x,y) ، $r(x,y)$ هي الانعكاس، $OD(x,y)$ الكثافة البصرية، و $c(x,y)$ تركيز المادة المشعّة. بشكلٍ إعتراضي، نلاحظ بأنّ نموذج المادة المشعّة يحمل فقط للتوكيز المنخفض. آلة التصوير قد تُساهم في شروط التعديل والمكسب، لكي تكون كالتالي:

$$\begin{aligned} c[m,n] &= gain[m,n] \cdot b[m,n] + offset[m,n] \\ \text{Total shading} &= gain[m,n] \cdot I_{ill}[m,n] \cdot a[m,n] + offset[m,n] - \text{مجموع الظل} \end{aligned}$$

عموماً نفترض بأنّ $I_{ill}[m,n]$ يتفاوت ببطء بالمقارنة إلى $a[m,n]$.
تخمين التظليل

نُمَيِّرُ بين حالتين لتصميم $a[m, n]$ بدءً من $c[m, n]$. في كلتا الحالتين نَتَوَيَّ تَحْمِينِ شُرُوطِ التَّظْلِيلِ : المكسب والتعديل $\{gain[m, n] * I_{III}[m, n]\}$ and $\{offset[m, n]\}$ وبينما في الحالة الأولى نَفْتَرِضُ بِأَنَّهُ عِنْدُنَا فَقَطِ الصُّورَةُ الْمُسَجَّلَةُ $c[m, n]$ الَّتِي نَعْمَلُ مَعَهَا، فِي الْحَالَةِ الثَّانِيَةِ نَفْتَرِضُ بِأَنَّهُ يُمَكِّنُ أَنْ تُسَجَّلَ صُورَتَانِ ، تَحْدِيدِ إِضَافِيَتَانِ.

* تخمين إستدلالي - في هذه الحالة نحن نَحَاوُلُ إِنْتِزَاعَ تَحْمِينِ التَّظْلِيلِ مِنْ $c[m, n]$. إِنَّ الْإِمْكَانِيَّاتِ الْأَكْثَرَ شِيعَاً هِيَ التَّالِيَةُ:
مرشح المرور الأدنى - نَحْسِبُ النِّسْخَةَ الْمَصْقُولَةَ مِنْ $c[m, n]$ حَيْثُ أَنَّ الصَّفْلَ مُقَارَنَ بِشَكْلِ كَبِيرٍ إِلَى حِجْمِ الْأَجْسَامِ فِي الصُّورَةِ. النِّسْخَةُ الْمَصْقُولَةُ مَقْصُودَةٌ لِكَيْ تُكَوِّنَ تَحْمِينِ خَلْفِيَّةِ الصُّورَةِ. ثُمَّ نَطْرُحُ النِّسْخَةَ الْمَصْقُولَةَ مِنْ $c[m, n]$ وَبَعْدَ ذَلِكَ نُعِيدُ الْقِيَمَةَ الْمَطْلُوبَةَ DC. فِي الصِّيغَةِ:

$$\text{Lowpass-} \hat{a}[m, n] = c[m, n] - \text{LowPass}\{c[m, n]\} + \text{constant}$$

حَيْثُ $\hat{a}[m, n]$ تَحْمِينُ $a[m, n]$. إِخْتِيَارُ مَرْشِحِ الْمُرُورِ الْأَدْنَى الْمَلَائِمِ يَعْنِي الْمَعْرِفَةَ بِلْتَرَدَدَاتِ الْمَكَانِيَّةِ الْمَلَائِمَةِ فِي مَجَالِ فُورِيِيرٍ حَيْثُ شُرُوطُ التَّظْلِيلِ تُسَيِّطُ عَلَيْهَا.

المرشح المتشابه - نُلَاحِظُ بِأَنَّهُ، إِذَا التَّعْدِيلُ $offset[m, n] = 0$ ، فَإِنَّ $c[m, n]$ يَتَأَلَّفُ فَقَطِ مِنَ التَّعَابِيرِ الْمَضَاعِفَةِ بِشَكْلِ أَعْمَقِ، التَّعْبِيرِ $\{gain[m, n] * I_{III}[m, n]\}$ يَتَفَاوَتُ ببطءٍ بَيْنَمَا $a[m, n]$ مِنَ الْمَفْتَرِضِ لَا يَتَفَاوَتُ. لَذا نَأْخُذُ لُورْغَارِيْتَمَ $c[m, n]$ لِإِنْتِجَاجِ الشَّرْطَيْنِ : أَحَدُهُم تَرَدُّدٌ وَاطِئٌ وَ الْآخَرُ تَنْذِيبٌ عَالِي. نَقْمَعُ التَّظْلِيلَ بِإِسْتِخْدَامِ مَرْشِحِ الْمُرُورِ الْعَالِي لِلُورْغَارِيْتَمِ $c[m, n]$ وَبَعْدَ ذَلِكَ رَأْخُذُ الْأَسَاسِ (لُورْغَارِيْتَمِ مَعْكُوسٍ) لِإِعَادَةِ الصُّورَةِ. هَذَا الْإِجْرَاءُ مُسْتَنْدٌ عَلَى التَّرْشِيحِ الْمَتَشَابِهِ حَيْثُ أَنَّهُ مَطُورٌ مِنْ قَبْلِ Stockham و Schafer ، Oppenheim. فِي الصِّيغَةِ التَّالِيَةِ:

$$\begin{aligned} i) \quad & c[m, n] = gain[m, n] \cdot I_{III}[m, n] \cdot a[m, n] \\ ii) \quad & \ln\{c[m, n]\} = \ln\left\{ \underbrace{gain[m, n] \cdot I_{III}[m, n]}_{\text{slowly varying}} \right\} + \ln\left\{ \underbrace{a[m, n]}_{\text{rapidly varying}} \right\} \\ iii) \quad & \text{HighPass}\{\ln\{c[m, n]\}\} \approx \ln\{a[m, n]\} \\ iv) \quad & \hat{a}[m, n] = \exp\{\text{HighPass}\{\ln\{c[m, n]\}\}\} \end{aligned}$$

المرشح الصرفي - نَحْسِبُ ثَانِيَةَ النِّسْخَةَ الْمَصْقُولَةَ مِنْ $c[m, n]$ حَيْثُ أَنَّ الصَّفْلَ مُقَارَنَ بِشَكْلِ كَبِيرٍ إِلَى حِجْمِ الْأَجْسَامِ فِي الصُّورَةِ لَكِنْ هَذِهِ الْمَرَّةَ نَسْتَعْمَلُ مَرْشِحَ صَرْفِيٍّ كَمَا فِي الْمَعَادِلَةِ. هَذِهِ النِّسْخَةُ الْمَصْقُولَةُ هِيَ تَحْمِينُ لَخْلَفِيَّةِ الصُّورَةِ. ثُمَّ نَطْرُحُ النِّسْخَةَ الْمَصْقُولَةَ مِنْ $c[m, n]$ وَبَعْدَ ذَلِكَ نُعِيدُ الْقِيَمَةَ الْمَطْلُوبَةَ DC. فِي الصِّيغَةِ:

$$\hat{a}[m, n] = c[m, n] - \text{MorphSmooth}\{c[m, n]\} + \text{constant}$$

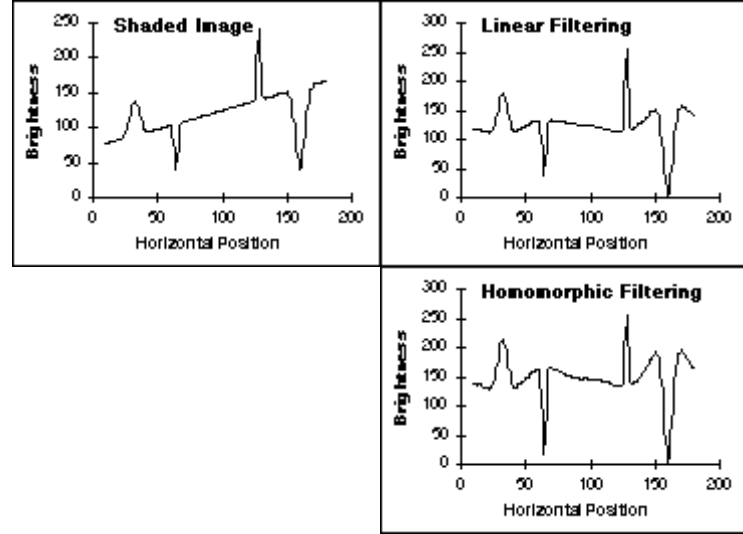
إِخْتِيَارُ نَافِذَةِ الْمَرْشِحِ الصَّرْفِيِّ الْمَلَائِمَةِ تَعْنِي مَعْرِفَةً (أَوْ تَحْمِينًا) حِجْمِ الْأَجْسَامِ الْأَكْبَرِ لِلْإِهْتِمَامِ.

* التَّحْمِينِ الْإِسْتِنْتَاجِي - إِذَا هُوَ مُحْتَمَلٌ لِتَسْجِيلِ الْإِخْتِبَارِ (تَحْدِيدِ) الصُّورِ خِلَالَ نِظَامِ آلَاتِ التَّصْوِيرِ، فَإِنَّ التَّقْنِيَةَ الْأَكْثَرَ مَلَائِمَةً لِإِزَالَةِ تَأْثِيرَاتِ التَّظْلِيلِ أَنْ تُسَجَّلَ صُورَتَانِ - $BLACK[m, n]$ وَ $WHITE[m, n]$. إِنَّ الصُّورَةَ السُّودَاءَ الْهَوْلَدَةَ بِتَغْطِيَةِ الْعَدْسَةِ تُؤَدِّي إِلَى $b[m, n] = 0$ الَّذِي تَبَاعاً يُؤَدِّي إِلَى $BLACK[m, n] = offset[m, n]$. إِنَّ الصُّورَةَ الْبَيْضَاءَ الْهَوْلَدَةَ بِإِسْتِعْمَالِ $a[m, n] = 1$ الَّذِي يُعْطِي:

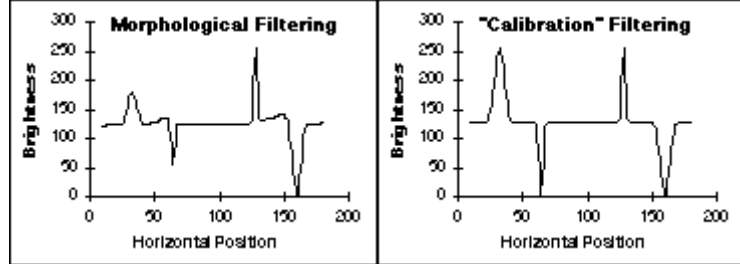
$$WHITE[m, n] = gain[m, n] * I_{III}[m, n] + offset[m, n]. \text{التَّصْحِيحُ بَعْدَ ذَلِكَ يُصْبِحُ التَّالِي:}$$

$$\hat{a}[m, n] = \text{constant} \cdot \frac{c[m, n] - BLACK[m, n]}{WHITE[m, n] - BLACK[m, n]}$$

إنَّ التعبيرَ الثابتَ بِخَنَارِ إنتاجِ المدى الديناميِّ المطلوبِ.
 إنَّ تأثيراتَ هذه التقنياتِ المُختلفةِ على البياناتِ مِنَ الرسمِ رقم 46 تُوضَحُ في الرسمِ رقم 48. إنَّ التَّظليلَ يمكنَ تشبيهه بتسليقٍ خطيٍّ بسيطٍ يَترَافِدُ من اليسارِ إلى اليمين؛ الأجسامُ تُشَمَلُ القُممُ Gaussian لتَغييرِ الأَعراضِ.



(a) صورة الأصل
 (b) التَّصحيحُ مَعَ مرشحِ المرورِ الأدنى Lowpass (c) التَّصحيحُ بالتَّرشيحِ اللوغاريتمي



(c) التَّصحيحُ مَعَ مرشحِ Max/Min (d) التَّصحيحُ بصورِ الإختبارِ

الرسم 48: مقارنة خوارزميات تصحيح التَّظليل المُختلفة.

في الخلاصة، ممكن القول بأنه إذا هو محتمل الحُصول على التحديد الأسود والأبيض للصورة، فإن الأفضل للاستخدام (التخمين الاستنتاجي). وفي حال ان هذا ليس ممكن، فإنه يجب اخذ أحد الخوارزميات الأخرى.

التحسين الأساسي وتقنيات الإعادة

- إخفاء الغير حاد
- قمع الضوضاء
- قمع التشويه

تَقوُدُ عمليةُ إكتساب (التقاط) الصورة كثيراً (بشكل غير مقصود) ل تشويهات في بعض خصائص الصورة . بسبب مشاكل ميكانيكية، خارج عَن البؤرة أو عدم الوضوح ، الحركة، الإضاءة الغير ملائمة، وبسبب هذه الضوضاء فإن نوعية الصورة الرقمية الناتجة يُمكن أن تَكونَ أدنى مِنَ الأصل من حيث النقاوة . إنَّ هدفَ التحسين هو- بدءاً مِنْ

تُنتج الصورة السارة بشكل بصري أكثر $\hat{a}[m,n]$. إن هدف إعادة هو -- بدء من
تنتج الصورة $c[m,n]$ -- لإنتاج أفضل تخمين محتمل $\hat{a}[m,n]$ من الصورة الأصلية $a[m,n]$. إن هدف
التحسين جمالي؛ إن هدف إعادة حقيقة.

إن مقياس النجاح في عملية إعادة هو عادة مقياس الخطأ بين الصورة الأصلية $a[m,n]$ والتخمين $\hat{a}[m,n]$:
 $E\{\hat{a}[m,n], a[m,n]\}$. ليس هناك من وظيفة (دالة) خطأ رياضية مَعْرِفَتَكَ التي تُقَابِلُ الإدراك لدى الإنسان
لتقييم الخطأ. إن وظيفة الخطأ المتوسطة المربعة تُستعملُ عموماً لأن:

- من السهل حسابها؛
- قابلة للاختلاف بحيث تُشيرُ ضمناً إلى أن حد أدنى يُمكن أن يُعتمد؛
- تُقَابِلُ "طاقة بارزة" في الخطأ الكلي،
- لها خصائص جيدة مقابل نظرية Parseval .

إن الخطأ المتوسط المربع مُعرَّف من قبل:

$$E\{\hat{a}, a\} = \frac{1}{MN} \sum_{m=0}^{M-1} \sum_{n=0}^{N-1} |\hat{a}[m,n] - a[m,n]|^2$$

في بعض التقنيات مقياس الخطأ لن يكون ضروري؛ بينما في الأخرى هو سيُكون ضروري للتقييم ولأغراض
المقارنة.

الإخفاء الغير حاد

التقنية المشهورة من التصوير الفوتوغرافي لتحسين النوعية البصرية للصورة هي القدرة على تحسني حافات الصور.
هذه التقنية تُدعى إخفاء الغير حاد. تحسين الحافة تعني اولا عزل الحافات في الصورة، نُضَخِّجُهَا، وبعد ذلك إضفاءهم
من جديد إلى الصورة. فحص الصورة رقم 33 يبين ان Laplacian هو الآلية الافضل لعزل حافات تدرجات
الرمادي. هذا يَفُودُ فوراً إلى التقنية التالية:

$$\hat{a}[m,n] = a[m,n] - (k \cdot \nabla^2 a[m,n])$$

إن التعبير k تعبير التّضخيم و $k > 0$. إن تأثير هذه التقنية يشاهد في الرسم رقم 49.
Laplacian يُستعملُ لإنتاج الوسم رقم 48 وتعبير التكبير $k = 1$.



Laplacian الأصلي مُحَسَّن
الرسم 49: الحافة المحسنة بالمقارنة مع الصورة الأصل
قمع (إخماد) الضوضاء

التقنيات المتوفرة لقمع الضوضاء يُمكنُ أَنْ تُقسَمَ إلى نوعين:

- التقنيات المستندة على المعلومات الزمنية (الموقتة).
 - التقنيات المستندة على المعلومات المكانية.
- بالمعلومات الزمنية نَعْنِي بأن سلسلة الصور $\{a_p[m,n] \mid p=1,2,\dots,P\}$ متوفرة و التي نَحْتَوِي بالضبط على نفس الأجسام والتي نَحْتَلِفُ فقط بمعنى إدراك الضوضاء المستقل. إذا هذه هي الحالة وإذا الضوضاء مضافاً، فإن مَوَسُط بسيط من السلسلة:

$$\hat{a}[m,n] = \frac{1}{P} \sum_{p=1}^P a_p[m,n]$$

Temporal averaging - التَّوَسُّط الموقت

سَيُعْطِي نتيجة حيث القيمة المتوسطة لكل نقطة سَتَكُون بدون تغيير. لكل نقطة ، على أية حال، الانحراف المعياري سَيَنْقُصُ مِنْ σ إلى σ/\sqrt{P} .

إذا التَّوَسُّط الموقت لَيْسَ محتمل، فإن التَّوَسُّط المكاني يمكن أن يُسْتَعْمَلَ لتخفيض الضوضاء. هذا يَحْدُثُ عموماً، على أية حال، في قيمة حادية الصورة. أربعة إختيارات واضحة للتَّوَسُّط المكاني هي خوارزميات الصَّفَل التي وُصِفَتْ في القسم السابق وهي التالية :

- مرشح Gaussian

- مرشح متوسط،

- مرشح Kuwahara،

- الصَّفَل صرفي.

من ضمن صنف المرشحات الخطية، المرشح المثالي للإعادة بوجود الضوضاء مُعْطَى بمرشح Wiener. إن كلمة "مثالي" مستعملة هنا بمعنى متوسط مربع الخطأ الأدنى (mse). لأن عملية الجذر التربيعي تتزايد برتابة ، يُقَالُ المرشح المثالي جذر مربع الخطأ المتوسط أيضاً (rms). إن مرشح Wiener مُمَيَّز في مجال فوريير و للضوضاء المضاعفة التي تعتبر مستقلة عن الإشارة هي مُعْطِيَةٌ بالصيغة التالية:

$$H_W(u,v) = \frac{S_{aa}(u,v)}{S_{aa}(u,v) + S_{nn}(u,v)}$$

حيث $S_{aa}(u,v)$ كثافة طيف الطاقة لمجموعة الصور العشوائية $\{a[m,n]\}$ و $S_{nn}(u,v)$ كثافة طيف الطاقة للضوضاء العشوائية. إذا كان عِنْدَنَا صورة مفردة فإن $S_{aa}(u,v) = |A(u,v)|^2$. عملياً من غير المحتمل ان تتوفر كثافة طيف الطاقة للصورة الغير ملوثة. لأن العديد من الصور لها كثافة طيف الطاقة مماثلة للتي يُمكن أن تُشكَّل بالجدول 4 - 8.T، ذلك النموذج يُمكن أن يُسْتَعْمَلَ كتحمين $S_{aa}(u,v)$. المقارنة للتقنيات المختلفة الخمس التي وُصِفَتْ فوق تُشَاهِد في الرسم رقم 50. مرشح Wiener بُنِيَ مباشرة من المعادلة. لأن طيف الصورة وطيف الضوضاء عُرفا. العوامل للمرشحات الأخرى قُرِّرَتْ بِلِخْتِيَار القيمة (أما σ أو حجم النافذة) التي أدَّت إلى rms الدنيا.



(a) صورة بضوضاء (b) مرشح Wiener (c) مرشح Gaussian
rms = 25.7 rms = 20.2 rms = 21.1



(d) مرشح (5 x 5) Kuwahara (e) مرشح متوسط (3 x 3) (f) مرشح صراري (3 x 3)
rms = 22.4 rms = 22.6 rms = 26.2

الرسم 50: إخماد الضوضاء باستعمال تقنيات الترشيح المختلفة.

أخطاء مربع الجذر المتوسطة (rms) المرتبطة بالمرشحات المختلفة تُشاهد في الرسم رقم 50. لهذه المقارنة المعينة، مرشح Wiener يُؤدّ خطأً أقل من أي من الإجراءات الأخرى. الهفوة هنا. الإجراءات الخطي، ان، مَرشح Wiener ومَرشح Gaussian، أديا الغرض بشكل أفضل من البدائل اللاحقة الثلاثة الأخرى.

قمع (إخماد) التشويه

النموذج المقدم اعلاه - تم تعريف الصورة به فقط بالضوضاء - عموماً هو ليس، متطور بما فيه الكفاية لوصف الطبيعة الحقيقية للتشويه في الصورة الواقعية. النموذج الأكثر واقعية يتضمن ليس فقط الضوضاء ولكن أيضاً نموذجاً للتشويه بالعدسات، بالفتحات المحدودة، بالحركة المحتملة لآلة التصوير، وهلم جرا. النموذج المستعمل كثيراً من صورة $[m, n]$ a حُرّف بنظام تغيير الثابت الخطي $h_o[m, n]$ (مثل العدسة) وبعد ذلك لوث بالضوضاء $[m, n]k$. السمات المختلفة $h_o[m, n]$ ، $[m, n]k$ نوقش في الأقسام السابقة. إن المجموعة الأكثر شيوعاً هي النموذج الإضافية:

$$c[m, n] = (a[m, n] \otimes h_o[m, n]) + k[m, n]$$

إن إجراء إعادة المستند على الترشيح الخطي اقترن بمعيار خطأ متوسط المربع الأدنى يُنتج ثانياً مرشح Wiener:

$$H_w(u, v) = \frac{H_o^*(u, v) S_{aa}(u, v)}{|H_o(u, v)|^2 S_{aa}(u, v) + S_{nn}(u, v)}$$

$$= \frac{H_o^*(u, v)}{|H_o(u, v)|^2 + \left(\frac{S_{nn}(u, v)}{S_{aa}(u, v)} \right)}$$

مرة أخرى $S_{aa}(u, v)$ كثافة طيف الطاقة لصورة، $S_{nn}(u, v)$ كثافة طيف الطاقة للضوضاء، و $o(u, v) = F\{h_o[m, n]\}$ فحص هذه الصيغة لبعض الحالات المتطرفة يُمكن أن يكون مفيداً. لتلك الترددات حيث $S_{aa}(u, v) \gg S_{nn}(u, v)$ ، حيث الطيف البارز يُسيطر على طيف الضوضاء، مرشح Wiener مُعطى ب $1/o(u, v)$ ، حلّ المرشح المعكوس. لتلك الترددات حيث $S_{aa}(u, v) \ll S_{nn}(u, v)$ ، حيث طيف الضوضاء يُسيطر على الطيف البارز، مرشح Wiener نسبي إلى $o^*(u, v)$ ، حلّ المرشح المتناظر. لتلك الترددات حيث $o(u, v) = 0$ ، مرشح Wiener $w(u, v) = 0$ يَمنع الفيض.

إن مرشح Wiener هو حلّ لمشكلة إعادة المستند على الإستعمال المُفترَض لمرشح خطي ومربع الحد الأدنى المتوسط (أو rms) معيار خطأ. في المثال اسفلا الصورة $[m, n]$ a حُرّف من قبل مرشح حزمة المرور وبعد ذلك أُضيفت ضوضاء بيضاء لإنجاز $SNR = 30 \text{ dB}$. إن النتائج تُشاهد في الرسم رقم 51.



(a) صورة بضوضاء و مشوّهة (b) مرشح Wiener (c) مرشح متوسط (3x3)
rms = 108.4 rms = 40.9

رقم 50: إخماد التشويش والضوضاء باستعمال مرشح Wiener والمرشح المتوسط.

rms بعد الترشيح باستعمال مرشح Wiener لكن قبل إمتداد المقارنة كان 108.4؛ بعد إمتداد المقارنة النتيجة النهائية لهما هي معروضة في الرسم رقم 51 b لها خطأ متوسط مربع من 27.8. باستعمال 3 x 3 مرشح متوسط لهما هو معروض في الرسم رقم 51 c يؤدي إلى rms خطأ من 40.9 قبل إمتداد المقارنة و 35.1 بعد إمتداد المقارنة. بالرغم من أن مرشح Wiener يعطي خطأ rms الأدنى من مجموعة كل المرشحات الخطية، المرشح المتوسط اللاخطي يعطي يُنزل الخطأ rms. إن إمتداد مقارنة العملية نفسه عملية لخطية. "النوعية المصرية" من نتيجة الترشيح المتوسطة مقارنة إلى نتيجة ترشيح Wiener. هذه جزئياً بسبب إنتاجات إصطناعية دورية قدمت بالمرشح الخطي والتي هي مرئية في الرسم رقم 51 b.

الإنقسام (التقسيم)

في عمليات تحليل الأجسام في الصور من الضروري بأننا يُمكن أن نُميّز بين أجسام الإهتمام (المهمة) وبقية الاجسام. هذه المجموعة الأخيرة تسمى بالخلفية. التقنيات التي تُستعمل لإيجاد أجسام الإهتمام عادة مدعوة باسم تقنيات الإنقسام - تُقسم المقدمة (الاجسام المهمة في الصورة) ع ن الخلفية (خلفية الصورة). في هذا القسم نحن سنناقش إثنتين من التقنيات الأكثر شيوعاً - العتبة والحافة - وسنقدم التقنيات لتحسين نوعية نتيجة الإنقسام. من المهم فهم التالي:

- ليس هناك تقنية إنقسام قابلة للتطبيق بشكل عام والتي يمكن تطبيقها على كل الصور،
- لا يوجد تقنية إنقسام مثالية.

العتبة

هذه التقنية مستندة على مفهوم بسيط. العامل θ المسمى عتبة السطوع مُختار ومطبق على الصورة $a[m,n]$ كالتالي:

$$\begin{aligned} \text{If } a[m,n] \geq \theta & \quad a[m,n] = \text{object} = 1 \\ \text{Else} & \quad a[m,n] = \text{background} = 0 \end{aligned}$$

تفترض هذه النسخة من الخوارزمية أننا مهتمون بالأجسام المضيئة (الأكثر سطوعاً) على خلفية مظلمة (الأقل سطوعاً). للأجسام المظلمة على خلفية مضيئة نحن نستخدم الصيغة التالية:

$$\begin{aligned} \text{If } a[m,n] < \theta & \quad a[m,n] = \text{object} = 1 \\ \text{Else} & \quad a[m,n] = \text{background} = 0 \end{aligned}$$

إن الناتج هو العلامة "جسم" أو "خلفية" والتي، بسبب طبيعة الفصل بين شيئين مختلفين ، يُمكن أن يُمثل كمتغير منطقي "1" "0". من حيث المبدأ، شرط الاختيار يُمكن أن يكون مستند على خاصية الأخرى غير السطوع البسيط (على سبيل المثال، إذا $Redness\{a[m,n]\} \geq Q_{red}$).

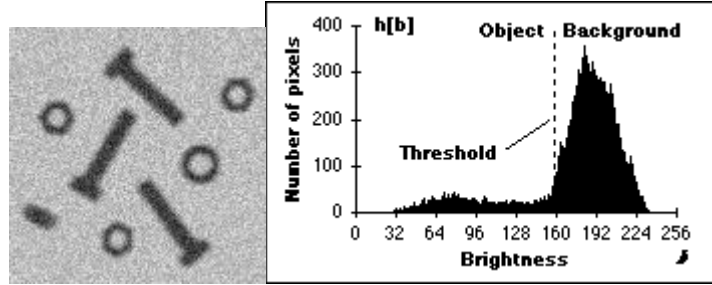
السؤال الأساسي في العتبة يُصيح: كيف نختار العتبة؟ بينما ليس هناك إجراء عام لإختيار العتبة الذي يُضمن للعمل مع كل الصور، هناك تشكيلة البدائل.

- عتبة ثابتة - الهديل الأول أن نستخدم العتبة المُختارة بشكل مستقل عن بيانات الصورة. إذا من المعروف بأننا نعامل مع صور ذات تركيز لوني عالي جداً حيث أن الأجسام مظلمة جداً والخلفية متجانسة وساطعة جداً، فإن العتبة الثابتة بالقيمة 128 من مقياس من 0 لـ 255 قد تكون دقيقة بما فيه الكفاية. بالدقة نغني بأن عدد النقاط المصنفة بشكل خاطئ يجب أن يلتزم بحد أدنى.

- العتبات المُشتقة من مخطط مسقط الصورة - في أكثر الحالات، العتبة مُختارة من مخطط مسقط السطوع الإحصائي لمنطقة أو للصورة ككل التي نريد تقسيمها. الصورة ومخطط السطوع الإحصائي المرتبط بها يُشاهد في الرسم رقم 52.

تشكيلة التقنيات المبتكرة لإختيار العتبة ألبا بدء من المخطط الإحصائي لقيم تدرجات الرمادي، $\{h[b] | b = 0, 1, \dots, 2^{B-1}\}$ ، بعض من التقنيات الأكثر شيوعاً مُقدمة اسفلاً. العديد من هذه الخوارزميات يُمكن أن تستفيد من صفات بيانات المخطط الإحصائي الخام لإزالة التقلبات الصغيرة لكن خوارزمية الصقل لا يجب أن تُحرك المواقع البالغة الذروة. هذا ينتقل إلى خوارزمية الصقل بالمرحلة "صفر" المعلقة اسفلاً حيث قيم مثالية لـ W هي 3 أو 5:

$$h_{smooth}[b] = \frac{1}{W} \sum_{w=-(W-1)/2}^{(W-1)/2} h_{raw}[b-w] \quad W \text{ odd}$$



(a) الصورة الاصل (b) مخطط السطوع الإحصائي للصورة

الرسم 52: النقاط تحت العتبة $(Q < a[m,n])$ ستعتبر كنقاط الجسم؛ النقاط التي فوق العتبة ستعتبر كنقاط الخلفية.

* خوارزمية معدل متوسط العينات - هذه التقنية التكرارية لإختيار العتبة طوّرت من قبل Ridler و Calvard. إن المخطط الإحصائي يُقسم مبدائياً إلى جزئين يستعملان قيمة العتبة الابتدائية مثل $Q = 2^{B-1}$ ، نصف المدى الديناميكي الأقصى. إن متوسط عينة $(m_{f,0})$ القيم الرمادية المرتبطة بنقاط المقدمة (الجسم) ومتوسط العينة $(m_{b,0})$ القيم الرمادية المرتبطة بنقاط الخلفية مُحسوبة. قيمة العتبة الجديدة θ تُحسب الآن كمعدل متوسط العيّتين. إن العملية تتكرر، بالإستناد على العتبة الجديدة، حتى قيمة العتبة تصبح ثابتة لا تتغير أكثر. هذا يتم حسب الصيغة التالية:

$$\theta_k = (m_{f,k-1} + m_{b,k-1}) / 2 \text{ until } \theta_k = \theta_{k-1}$$

* خوارزمية تناظر الخلفية - هذه التقنية تترض قيمة متميزة ومهيمنة للخلفية التي تعتبر متماثلة بالنسبة لحدّها الأعلى. التقنية يُمكن أن تستفيد من الصقل كما وُصف سابقاً. إن القيمة القصوى (maxp) تُوجد بالبحث عن الحد الأقصى

للقيمة في المخطط الإحصائي. ثم تَبْحَثُ الخوارزمية عن النقاط من خارج الجسم على جانب الحد الأعلى لإيجاد $p\%$ كما في المعادلة.

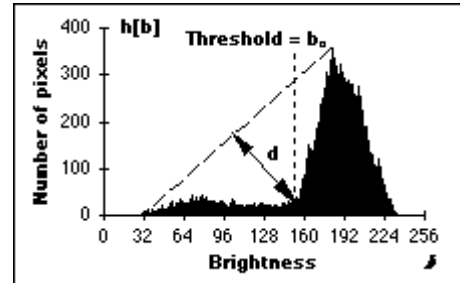
في الرسم رقم 52 b، حيث نقاط الجسم واقعة على يسار قمة الخلفية في السطوع 183، هذا يعني التفتيش إلى اليمين تلك القمة لتحديد المكان، كمثال، 95% قيمة. في قيمة السطوع، 5% من النقاط تقع إلى اليمين (فوق) تلك القيمة. هذا يحدث في السطوع 216 في الرسم رقم 52 b. بسبب التناظر المفترض، نستعمل الإزاحة على يسار الحد الأعلى كعتبة و الذي يهاوي الإزاحة إلى اليمين حيث أن $p\%$ وجد. للرسم رقم 52 b هذا يعني ان قيمة العتبة معطى بـ $183 - (216 - 183) = 150$. حسب الصيغة:

$$\theta = maxp - (p\% - maxp)$$

هذه التقنية يُمكن أن تُكَيَّفَ بسهولة إلى الحالة حيث يكون عندنا أجسام ساطعة (أكثر اضاءة) على خلفية مهيمنة مظلمة. بشكل اعمق، هذه التقنية يُمكن أن تستعمل إذا كانت قمة الجسم مهيمنة عليه ونحن عندنا سبب لإفترض ان توزيع السطوع حول قمة الجسم متماثلة. إختلاف إضافي على موضوع التناظر أن يستعمل تخمين إنحراف العينة المعياري (s) بالإستناد على جانب واحد من القمة المهيمنة وبعد ذلك إستعمال العتبة بالإستناد على:

(في المستوى 1%) $\theta = maxp \pm 2.57s$ ، (في المستوى 5%) $\theta = maxp \pm 1.96s$ إختيار "+" أو "-" يعتمد على اي الإتجاه من maxp بدأ يُعرَّف كعتبة الجسم / الخلفية. يجب أن تكون التوزيعات تقريباً Gaussian حول maxp، ثم القيم 1.96 و 2.57 ستقابل، في الحقيقة، المستويات 5% و 1%.

* خوارزمية المثلث - هذه التقنية مطورة من قبل زاك ، مُوضحة في الرسم رقم 53. حيث ان، الخط الهبني بين الحد الأعلى من المدرج الإحصائي في السطوع b_{max} والقيمة الأوطأ في الصورة $b_{min} = (p=0)\%$. إن المسافة d بين الخط والمدرج الإحصائي $h[b]$ محسوباً لكل قيم b من $b = b_{min}$ إلى $b = b_{max}$. قيمة السطوع b_0 حيث أن المسافة بين $h[b_0]$ والخط أعلى قيمة و العتبة، تلك، $\theta = b_0$. هذه التقنية فعالة جداً عندما تُنتج نقاط الجسم قمة ضعيفة في المدرج الإحصائي.



الرسم 53: خوارزمية المثلث المستندة على إيجاد قيمة b الذي يعطي المسافة القصوى d.

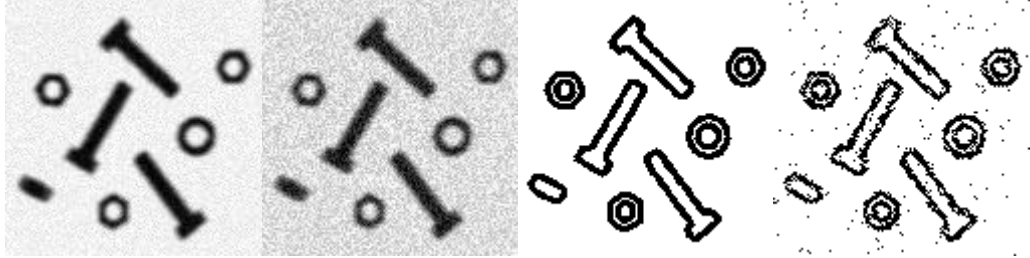
الإجراءات الثلاثة التي وصفت اعلاه تُعطي القيم $\theta = 139$ لخوارزمية معدل متوسط العينات، $\theta = 150$ لخوارزمية التناظر الخلفية في المستوى 5% ، و $\theta = 152$ لخوارزمية المثلث للصورة في الرسم رقم 52 a. العتبة لا يجب ان تطبق على صور كاملة لكن يُمكن أن تطبق على منطقة بقاعدة المنطقة. Chow and Kaneko طورا الإختلاف الذي فيه الصورة MxN منقسمة إلى مناطق غير متداخلة. في كل منطقة العتبة تُحسب وقيم العتبة الناتجة تُضغ سوياً (تُفحم) لتشكيل سطح العتبة لكامل الصورة. المناطق يجب أن تكون من الحجم "المعقول" لكي يكون هناك عدد كافي من النقاط في كل منطقة لعمل تخمين من المدرج الإحصائي والعتبة. المنافع من هذا الإجراء -- مثل في حالة العديد من الاجراءات الأخرى -- نَعتمدُ على التطبيق الذي في متناول اليد.

إيجاد الحافة

العتبة تُنتج الإنقسام الذي يُنتج كل النقاط تلك، التي من حيث المبدأ، تنتمي إلى الجسم أو أجسام الإهتمام في الصورة. الهديل لهذه العملية أن نجد تلك النقاط التي تنتمي إلى حدود الأجسام. التقنيات التي تُوجّه إلى هذا الهدف هي التقنيات

التي تَجْدُ الحافة المَعْبِيَّة. مِنْ مُناقشتنا في القسم الخاص بعلم الصرف الرياضي، بشكل مُحدّد المعادلات، نحن نرى بأنّ هناك علاقة عميقة بين الحافات والمناطق.

* إجراء على أساس الميل - التحدي الرئيسي لتقنيات إيجاد الحدود هو أنّ نَجِدَ الإجراءات التي تُنتج المحيطات المغلقة حول أجسام الإهتمام. للأجسام عالية الـ SNR ، هذا يُمكن أن يُنَجَزَ بحساب الميل وبعد ذلك إستعمال خوارزمية العتبة المناسبة. هذا مُصوّر في الرسم رقم 54.

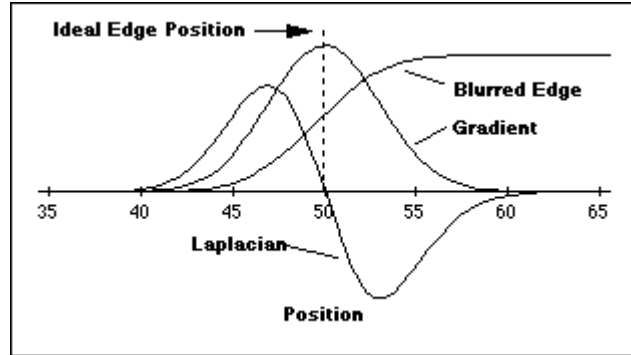


(a) $SNR = 30 \text{ dB}$ (b) $SNR = 20 \text{ dB}$

الرسم 54: إيجاد الحافة بالإستناد على ميل $Sobel$ ، المندمج مع خوارزمية معدل متوسط العينات.

بينما تَعْمَلُ التقنيّة بشكل جيد لصورة 30 dB في الرسم رقم 54 a، بينما تُخَفُّ في تَزويد تصميم دقيق لَتلك النقاط المرتبطة بحافات الجسم لصورة 20 dB في الرسم رقم 54 b. أي العديد من تقنيات صَفَل كما وُصِفَت في القسم السابق يمكن أن تُسْتَعْمَلُ لَتخفيض تأثيرات الضوضاء قبل تطبيق مشغل الميل.

* الإجراء المبني على أساس المعابر - صفر - تعتبر وجهة النظر الأكثر حداثة لمعالجة مشكلة الحافات في الصور المشوهة (المحتوية على إشارة ضوضاء) هي إستعمال "المعابر - الصفر" المولدة في Laplacian الصورة. يُبدأ البسط من نموذج حافة مثالية، وظيفة الخطوة، التي شوّهت بـ OTF كما في الجدول 4 T.3 (خارج البوّة)، 5 T.5 (محدود الإنحراف)، أو 6 T.6 (النموذج العام) لإعطاء النتيجة المصورة في الرسم رقم 55.



الرسم 55: إيجاد الحافة بالإستناد على العبور - الصفر كما هو مُحدّد من قبل الإشتقاق الثاني لـ Laplacian.

إنّ موقع الحافة، طبقاً للنموذج، في ذلك المكان في الصورة حيث يُغَيَّرُ Laplacian إشارة، العبور - الصفر. بينما عملية Laplacian تتضمّن الإشتقاق الثاني، هذا يعنّي التحسين المحتمل من الضوضاء في الصورة في الترددات المكانية العالية. لَمَنع الضوضاء المُحَسَّنَة من الهيمنة على البحث عن معابر - صفر، فإن الصَفَل ضروري. مرشح الصَفَل الملائم، من بين العديد من الإمكانيات التي وُصِفَت في القسم السابق، يُجِبُّ أن يكون له الخصائص التالية:

- في مجال التردد، (u, v) أو (Ψ, Ω) ، المرشح يُجِبُّ أن يَكُون ضيق بقدر الإمكان ليتمكن من إخماد ضوضاء التذبذب العالي،

- في المجال المكاني، (x, y) أو $[m, n]$ ، المرشح يجب أن يكون ضيق بقدر الإمكان لتقديم الموضوعة الجيدة من الحافة. المرشح العريض جداً يولّد حيرة بالنسبة إلى أين بالضبط، ضمن عرض المرشح، تقع الحافة. مرشح الصقل الذي يحقق كلتا هذه الخصائص بشكل آني – عرض الحزمة الأدنى وعرض الحد الأدنى المكاني – هو مرشح Gaussian الموصوف في القسم السابق. هذا يعني بأن الصورة يجب أن تُصقل مع Gaussian المخصص بتطبيق Laplacian. حسب الصيغة:

$$ZeroCrossing\{a(x, y)\} = \{(x, y) | \nabla^2 \{g_{2D}(x, y) \otimes a(x, y)\} = 0\}$$

حيث $g_{2D}(x, y)$ مُعرّف في الصيغة. إن العملية القابلة للإشتقاق هي خطية وثابت التغيير كما عرّف في صيغة سابقة. هذا يعني بأن طلب المشغلين يُمكن أن يتبادل أو يجمع في مرشح واحد. هذه النظريّة الثانية تُؤدّي إلى الصيغة Marr-ildreth من مرشح Laplacian- Gaussians (LOG):

$$ZeroCrossing\{a(x, y)\} = \{(x, y) | LoG(x, y) \otimes a(x, y) = 0\}$$

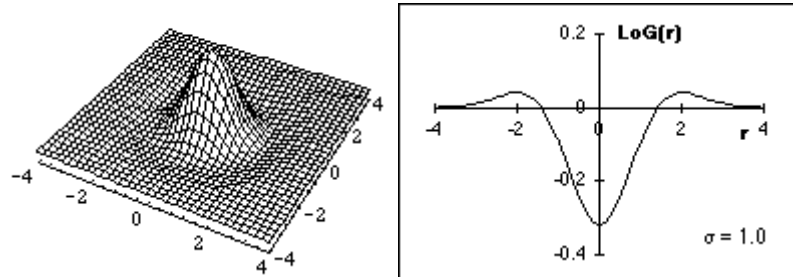
حيث

$$LoG(x, y) = \frac{x^2 + y^2}{\sigma^4} g_{2D}(x, y) - \frac{2}{\sigma^2} g_{2D}(x, y)$$

بإعطاء التناظر الدائري للصيغة يُمكن أيضاً أن تُكتب كالتالي:

$$LoG(r) = \left(\frac{r^2 - 2\sigma^2}{2\pi\sigma^6} \right) e^{-(r^2/2\sigma^2)}$$

هذا مركز الالتواء الثنائي الأبعاد، الذي أحياناً ينعى باسم "مرشح القبة المكسيكي"، والمُصوّر في الرسم رقم 56.



(a) $-LoG(x, y)$ (b) $LoG(r)$

الرسم 56: مرشح LoG مع $\sigma=1.0$.

إجراء أساسه -زائد - بين إجراءات العبور - الصفر لكشف الحافة، ربما يكون المرشح الزائد الأكثر دقة. هذا المرشح مطور من قبل Verbeek و Vliet. إن المرشح مُعرّف حسب الصيغة التالية:

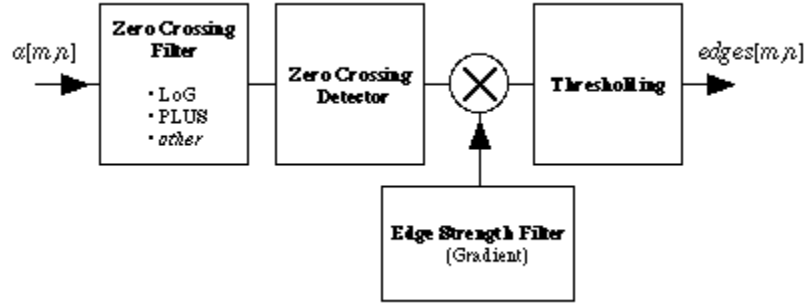
$$PLUS(a) = SDGD(a) + Laplace(a) \\ = \left(\frac{A_{xx}A_x^2 + 2A_{xy}A_xA_y + A_{yy}A_y^2}{A_x^2 + A_y^2} \right) + (A_{xx} + A_{yy})$$

لن نناقش في هذا القسم اشتقاق خاصيات الزائد ولا تقييم دقته. سرّسفي بلقول بأن، للحافات المُقَوَّسة إيجابياً في صور تدرجات الرمادي، فإن الإجراء الذي أساسه Laplacian العبور - الصفر يبالغ في تقدير موقع الحافة والإجراء الذي أساسه SDGD يُقلّل في تقدير الموقع. هذه الحقيقة موجودة في كل من الصور الثنائية الأبعاد والثلاثية الأبعاد مع خطأ على غرار $(\sigma / R)^2$ حيث أن R نصف قطر تقوس الحافة. مشغل الزائد عند خطأ على غرار $(\sigma / R)^4$ إذا الصورة مُختَبَرَة ، على الأقل في ، أخذ عينات التردد Nyquist العادي $x/3$ أو إذا إختارنا $\sigma \leq 2.7$ ونختبر في تردد Nyquist العادي.

كل الطرق المستندة على "معايير - الصفر" في Laplacian يجب أن تكون قادرة على التمييز بين "معيير - صفر" وقيم صفرية. بينما يمثل المشكل مواقع الحافة، فإن الأخيرة يمكن أن تولّد بالمناطق التي لا تعتبر أكثر تعقيداً من السطوح الخية، حسب الصيغة التالية:

$$a(x,y) = a_0 + a_1*x + a_2*y + a_3*x*y$$

للتمييز بين هاتين الحالتين، نجد مواقع العبور - الصفر أولاً ونعتبرهم كـ "1" وكلّ النقاط الأخرى كـ "0". ثم نضرب الصورة الناتجة بمقياس قوّة الحافة في كلّ نقطة. هناك إجراءات مُختلفة لقوّة الحافة والتي كلّها مستندة على الميل كما وُصِفَ في قسم سابق. واحدة منها، تستعمل الميل الصرفي كإجراء قوّة الحافة، والتي وُصِفَت من قبل Lee, Shapiro, and Aralick, بأنها فعالة جداً. بعد الضرب، تحسب عتبة الصورة (لما هو موضح اعلاه) لإعطاء النتيجة النهائية. إن الإجراء يتم كالتالي:

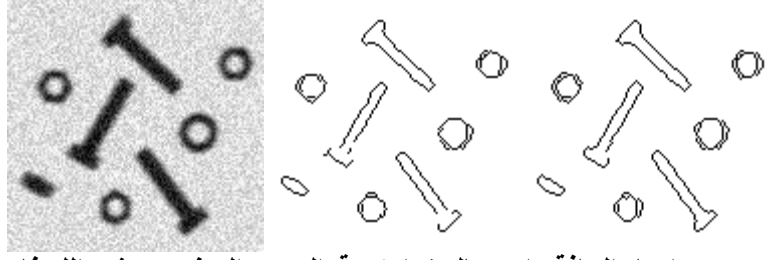


الرسم 57: الإستراتيجية العامة للحافات المستندة على "المعايير - الصفر".

إن نتائج هاتان التقنيتان لإيجاد الحافة المستندة على المعايير - الصفر والمرشح اللوغارتمي والمرشح الزائد، موضحة في الرسم رقم 58 للصور مع SNR 20 dB.



a) Image SNR = 20 dB ↕ b) LoG filter ↕ c) PLUS filter ↕



الرسم 58: إيجاد الحافة باستخدام خوارزمية العبور-الصفير ومرشح اللوغاريتم والفائدة. في كلتا الخوارزميات $\sigma=1.5$.

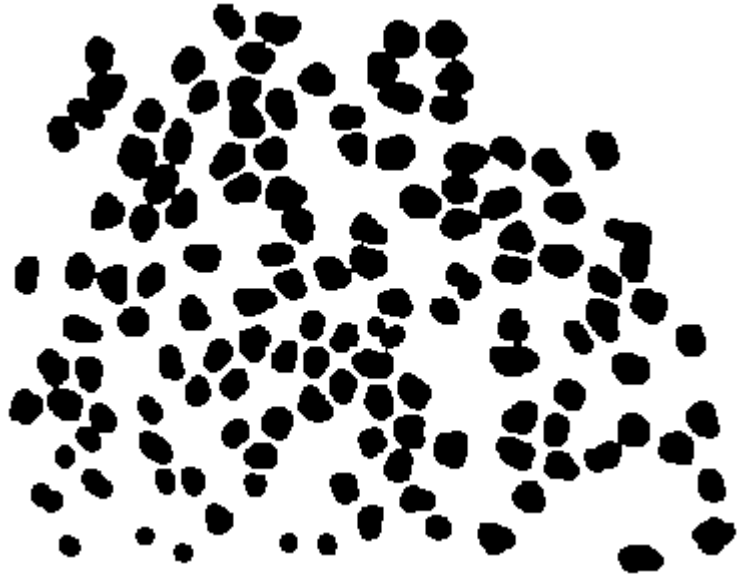
التقنيات التي تُجَدُ الحافة تُزوَّدُ، كما يفسر الاسم، بالصورة التي تتكون من مجموعة نقاط الحافة. يَجِبُ أَنْ تكون نقاط الحافة المطابقة للأجسام، بمعنى آخر ممكن القول انه باستخدام تقنية ملئ المنطقة المعطاة سابقا ممكن ملئ الخطوط البسيطة في الصورة، للحصول على الأجسام الكاملة.

إيجاد الحافة بناء على الفرق بين الصورة الأصلية والمُتَأَكَّلَة

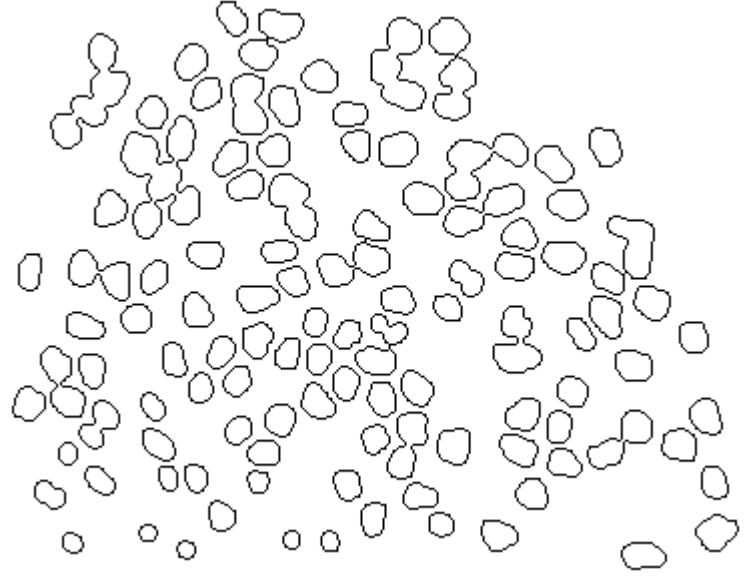
للصور الثنائية، الاختلاف بين الصورة المُتَوَسَّعة وأصلها يعطي المحيط الخارجي للأجسام في الصورة. يَمْلِي عنصر التنظيم طبوغرافية الحافة. إن عناصر التنظيم المستعملة على نحو واسع 3×3 "التقاطع" تولد حافة من نقاط الجوار المُرتَبِطة- 4، و 3×3 "الصندوق" تولد الحافة من نقاط الجوار "المُرتَبِطة- 8".

هناك مخططات أخرى يُمكن أَنْ تُخَلَقَ، وبمعنى آخر: ، الاختلاف بين الصورة الأصلية والمُتَأَكَّلَة، والاختلاف بين الصورة المُتَوَسَّعة والمُتَأَكَّلَة.

اسفلا نشاهد الصورة الأصلية و حوافها الذي أخذ كنتيجة الطرح بين الصورة الأصلية والمُتَأَكَّلَة باستخدام عنصر التنظيم "التقاطع".

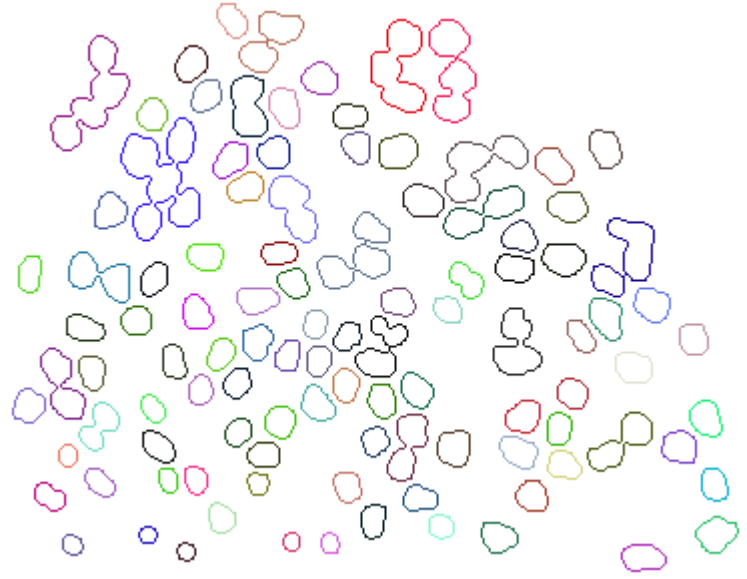


الصورة الأصلية

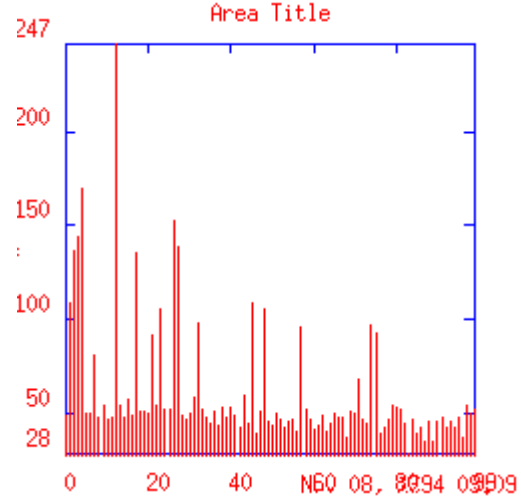


الأصلي - التآكل

نحن يُمكن أن نحدد الحافة ونأخذ مسقط الصورة الإحصائي لإنترزاغ الحافة المتعلق بكل حافة مُرتبطة.



صورة الحواف المحددة



الحافة لكل محيط مرتبط

علم الصرف الرياضي الثاني

الخوارزميات المختلفة التي وصفت سابقا لعلم الصرف الرياضي يُمكنُ أَنْ تدمج لتشكيل تقنية قوية لمعالجة الصور الثنائية وصور تدرجات الرمادي. بينما تنتج صور ثنائية مِنْ عمليات الانقسام على صور تدرجات الرمادي، فإن المعالجة الصرفية للنتيجة الثنائية تَسْمَحُ بتحسين نتيجة الانقسام.

* مرشح الملح أو الفلّ - تُؤدّي إجراءات الانقسام كثيراً إلى نقاط معزولة بقيمة "1" في "0" جوار (إصطلاحياً نسميه "ملح") أو نقاط معزولة بقيمة "0" في جوار "1" (إصطلاحياً نسميه "فلّ"). تعريف الجوار الملائم يجب أَنْ يَخْتَارَ كما في الرسم رقم 4. استعمال صياغة جدول المشاهدة للعمليات المنطقية في 3 x 3 للجوار والتي وُصِفَتْ بالإشتراك مع الرسم رقم 44، فإن مرشح "ملح" ومرشح "فلّ" بسيط للتطبيق. نَرُنُ المواقع المختلفة في 3 x 3 جوار كالتالي:

$$Weights = \begin{bmatrix} w_4 = 16 & w_3 = 8 & w_2 = 4 \\ w_5 = 32 & w_0 = 1 & w_1 = 2 \\ w_6 = 64 & w_7 = 128 & w_8 = 256 \end{bmatrix}$$

لنافذة 3 x 3 في [m, n] a مع قيم "0" أو "1" نحن نحسب:

$$\begin{aligned} sum = & w_0 a[m, n] + w_1 a[m+1, n] + w_2 a[m+1, n-1] + \\ & w_3 a[m, n-1] + w_4 a[m-1, n-1] + w_5 a[m-1, n] + \\ & w_6 a[m-1, n+1] + w_7 a[m, n+1] + w_8 a[m+1, n-1] \end{aligned}$$

النتيجة، هي المجموع، رقم محدود ضمن من 0 => المجموع => 511.

* مرشح "ملح" - النسخ المرتبطة-4 والمرتبطة-8 مِنْ هذا المرشح هي نفسها ومُعطاة بالإجراء التالي:

i) Compute sum ii) If ((sum == 1) c[m,n] = 0 Else c[m,n] = a[m,n]

i* مرشح "فلفل" - النسخ المرتبطة-4 والمرتبطة-8 من هذا المرشح تحسب بالإجراءات التالية:

4-connected 8-connected i) Compute sum ii) If (sum == 170) ii) If (sum == 510) c[m,n] = 1 c[m,n] = 1 Else Else c[m,n] = a[m,n] c[m,n] = a[m,n]

* عزل الأجسام بالفتحات - لإيجاد الأجسام بالفتحات يُمكن أن نستخدم الإجراءات التالية المُصوّر في الرسم رقم 59.

- نقسم الصورة لإنتاج تمثيل القناة الثنائي
- نحسب الهيكل العظمي بون نقاط النهاية
- نستخدم مرشح "ملح" لإزالة نقاط الهيكلية الوحيدة
- ننشر نقاط الهيكلية الباقية إلى القناة الثنائي الأصلي.



(a) صورة ثنائية (b) هيكل عظمي بعد مرشح الملح (c) أجسام بالفتحات

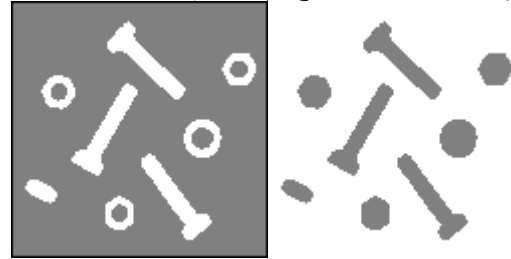
الرسم 59: عزل الأجسام بالفتحات التي تستخدم عمليات صرفية.

إن الأجسام الثنائية تُوضح في اللون الرمادي والهيكل العظمي، بعد تطبيق مرشح الملح، يُوضح كغطاء أسود على الأجسام الثنائية. لاحظ بأن هذا الإجراء لم يُستخدم أي عوامل أخرى غير الاختيار الأساسي للربط؛ أنه خالي من "الأعداد السحرية". في المثال الموضح في الرسم الرقم 59، استخدم تعريف المرتبط-8 بالإضافة إلى عنصر التنظيم $B = N_8$.

* ملئ الفتحات في الأجسام - ملئ الفتحات في الأجسام نستخدم الإجراءات التالية المُصوّر في الرسم رقم 60.

- نقسم الصورة لإنتاج التمثيل الثنائي للأجسام
- نحسب تكملة الصورة الثنائية لصورة القناة
- نُؤلّد صورة البذرة كحدود الصورة
- نُكاثّر البذرة إلى القناة
- نُكمل النتيجة التوليد لإعطاء النتيجة النهائية

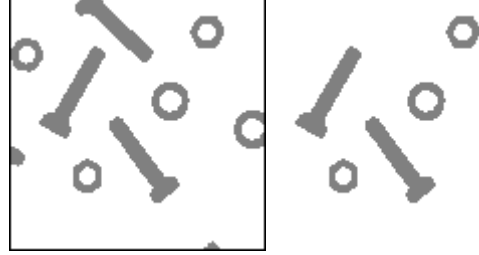
(a) صور البذرة والقناة (b) أجسام مملأت بالفتحات



الرسم 60: ملئ الفتحات في الأجسام.

* إزالة الأجسام الملتصقة بحدود الصورة – الاجسام الملتصقة بحدود الصورة ليست مناسبة للتحليل. لإزالتها يُمكن أن نستخدم سلسلة العمليات الصرفية التالية المُصوّرة في الرسم رقم 61.

- نقسم الصورة لإنتاج صورة القناع الثنائية للأجسام
- نُؤلّد صورة البذرة كحدود الصورة
- ننشر البذرة إلى القناع
- نحسب XOR لنتيجة النشر وصورة القناع كنتيجة نهائية



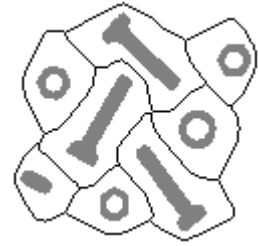
(a) صور البذرة والقناع (b) الأجسام الباقية

الرسم 61: إزالة الأجسام التي تَمَسُّ الحدود.

إذا عنصر التنظيم المستعمل في التوليد $B = N_4$ ، فإن الأجسام المزالة هي المرتبطة-4 بحدّ الصورة. إذا كان المستعمل $B = N_8$ فإن الاجسام المزالة هي المرتبطة-8 ببلحدّ.

* هيكل Exo - هيكل exo لمجموعة أجسام هو الهيكل العظمي للخلفية التي تَحتوي الأجسام. هيكل exo يُنتج تقسيم الصورة إلى المناطق والتي كلّ منها يحتوي جسم واحد. الهيكلية الفعلية تُؤدّى بدون حفظ نقاط النهاية والحدود المساوية لـ "0". إن هذا الإجراء موصوف أسفلا والنتيجة مُصوّرة في الرسم رقم 62.

- نقسم الصورة لإنتاج الصورة الثنائية
- نحسب تكملة الصورة الثنائية
- نحسب الهيكلية ليستعمل المعادلة مع وضع الحدود لقيمة "0"



الرسم 62: هيكل Exo.

* الأجسام الملتصقة - إجراءات التقسيم تتعرض لصعوبة كبيرة في فصل الاجسام الملتصقة ببعضها (الواقعة على بعضها)، والواضحة المعالم رغم ذلك. الإجراء التالي يُزوّد بلّية لفصل هذه الأجسام ويُقدّم إستعمال أقل ما يمكن لـ "أعداد سحرية". هيكل exo يُنتج تقسيم الصورة إلى المناطق التي كلّ منها يحتوي على جسم واحد. الهيكلية الفعلية تُؤدّى بدون حفظ نقاط النهاية ووضع الحدود لقيمة "0". إن الإجراء مُصوّر في الرسم رقم 63.

- نقسم الصورة لإنتاج الصورة الثنائية
- نحسب الـ "عدد صغير" من التآكلات مع $B = N_4$
- نحسب الهيكل exo من النتيجة المُتأكّلة

- تكملة نتيجة هيكل exo
- رَجَسُ AND للصورة الثنائية الأصلية وهيكل exo المُنَمَّ



(a) الصور المتأكلة وهيكل exo (b) الأجسام المفارقة (تفصيل)

الرسم 63: تفريق الأجسام الملتصقة.

قسم مكبر من النتيجة النهائية توضح في الرسم رقم 63 b والإفتراق يرى بسهولة. يتضمّن هذا الإجراء إختبار عدد أدنى صغير من التآكلات لكن هذا العدد لا يعتبر حرجاً طالما انه يبدأ بفوق خشن للأجسام المطلوبة. إن الإفتراق الفعلي هو الهوْدَى بهيكل exo والذي، هو نفسه، "خالي من" الأعداد السحرية. إذا هيكل exo هو "مرتبطة-8" فإن الخلفية التي تفصل الأجسام ستكون "مرتبطة-8". الأجسام، أنفسهم، سيكون مفصولون طبقاً للمعيار "المرتبط 4".

علم الصرف الرياضي لقيم الرمادي

كما رأينا في قسم تقنيات معالجة القيم الوادية الصرفية، فإن هذه التقنيات يمكن أن تستعمل للمشاكل العملية مثل تصحيح الظليل. في هذا القسم سنقدم عدّة تقنيات أخرى.

* تحويلات القبة (القمة) - عزل الاجسام ذات القيمة الرمادية والمحدّبة يمكن أن يُجرّ باستخدام تحويلات القبة المطورة من قبل Meyer. بالإعتماد على كوننا نتعامل مع الأجسام المضيئة على خلفية مظلمة أو مع الأجسام المظلمة على خلفية مضيئة، فإن التحويلات تعطى بالصيغ التالية:

$$\text{Light objects - } TopHat(A, B) = A - (A \circ B) = A - \max_B(\min(A))$$

$$\text{Dark objects - } TopHat(A, B) = (A \bullet B) - A = \min_B(\max(A)) - A$$

حيث أن عنصر التنظيم B إختياري بحيث يكون أكبر من الأجسام موضع السؤال، وإذا كان بالإمكان، أن يكون عندّه شكل محدّب. بسبب الخاصيات المعطاة في المعادلة ، وقيمة $Topat(A, B) \geq 0$ ، يعطى مثال عن هذه التقنية في الرسم رقم 64.

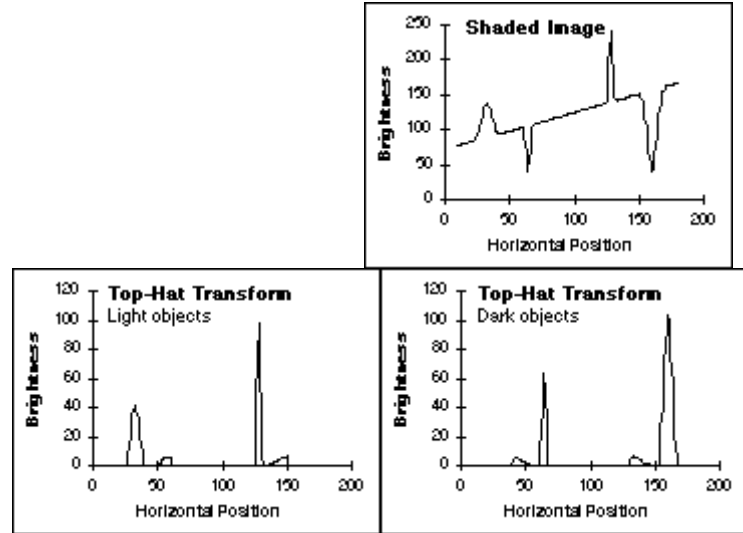
الصورة الأصلية بضمن ذلك الظليل معالجة بعنصر تنظيم 15×1 ، كما وُصِفَت في المعادلة ولإعطاء النتيجة المطلوبة. نلاحظ ان التحويلات للأجسام المظلمة عُرِفَت بطريقة كما لو اننا ننتج أجسام "إيجابية" بمقابل الأجسام "السلبية". التعاريف الأخرى، بالطبع، محتملة.

* العتبة - التخمين البسيط لسطح عتبة مختلف محلياً يمكن أن يُشتق من المعالجة الصرفية كالتالي:

$$\theta_{m,n} = \frac{1}{2}(\max(A) + \min(A)) \text{ - سطح عتبة -}$$

مرة أخرى، نَقَمُ الترقيم لعنصر التنظيم B تحت عمليات max و min لإبقاء الترقيم بسيط.

(a) أصلي



(a) تحويلات الاجسام المضيئة (b) تحويلات الاجسام المظلمة

إعتقد 63: تحويلات القبة.

* **بسط تركيز الضوء (اللون) المحلي** - باستعمال عمليات صرفية نحن يُمكنُ أَنْ نُطبّقَ تقنية لإمتداد (البسط) التركيز المحلي. وهو، قيمة الإمتداد التي ستطبق على نقاط الجوار والتي سَتَكُونُ تَحْتَ سَيِّطَرَةِ التركيز الأصلي في ذلك الجوار. الميل الصرفي المعرّف في المعادلة يمكن رؤيته أيضاً على اساس انه مرتبط بمقياس التركيز المحلي في النافذة المعرّفة بعنصر التنظيم B:

$$LocalContrast(A, B) = \max(A) - \min(A)$$

إنّ الإجراء لإمتداد التركيز المحلي مُعطى بالصيغة التالية:

$$c[m, n] = scale \cdot \frac{A - \min(A)}{\max(A) - \min(A)}$$

عمليات max و min يُسيطران على عنصر التنظيم B. تأثير هذا الإجراء مُصَوَّرُ في الرسم رقم 65. من الواضح أنّ هذه العملية المحلية نسخة ممتدة مِنْ عملية النقطة لإمتداد التركيز الموضحة في المعادلة السابقة.



↑before after, ↑↑before after, ↑↑before after ↑

الرسم 65: إمتداد التركيز المحلي.

إستعمال صور الإختبار المعيارية (كما رأينا في العديد من الأمثلة) يُصوِّر قوَّة نظريَّة الترشيح الصرفية المحليَّة.

أمثلة بإكواد بعض المرشحات والتقنيات بلغة البرمجة C++

نعطي هنا بعض الامثلة مكتوبة بالاكواد لبعض المرشحات والتقنيات، حيث يمكن للدارس ان يطبقها، كما يمكن بعد ذلك تغيير الدوال الخاصة بتطبيق المرشح واستعمال دوال اخرى لمرشحات اخرى لتطبيقها. لم نورد امثلة عن كل المرشحات والتقنيات الواردة في الكتاب لكن حجم الامثلة، وحيث انها تتغير حسب مضمون الدالة، فرأيت انه من الكافي طرح بعض النماذج فقط.

المرشحات المتوسطة N-4,N-8

```
void median5(int)
{
    int k[5];
    int i,j,kk,ii,g,aa,b,u;

    b=5;
    for(j=0;j<YY;j++)
    {
        for(i=0;i<XX;i++)
        {
            k[1]=cc[i][j];
            k[3]=cc[i-1][j];
            k[2]=cc[i+1][j];
            k[5]=cc[i][j-1];
            k[4]=cc[i][j+1];

            aa=0;
            do{
                aa=1;
                for(kk=0;kk<b;kk++)
                {

                    if(k[kk]<k[kk+1])
                    {
                        u=k[kk];
                        k[kk]=k[kk+1];
                        k[kk+1]=u;
                        aa=0;
                    }

                }
            }while( aa!=1);
            cc[i][j]=k[3];
            //putpixel(i+192,j,cc[i][j]);

        }
    }

}

void median9(int)
{
```

```

int k[9];
int i,j, kk, ii, g, aa, b, u;

b=9;
for(j=0; j<YY; j++)
{
    for(i=0; i<XX; i++)
    {
        k[1]=cc[i][j];
        k[3]=cc[i-1][j];
        k[2]=cc[i+1][j];
        k[5]=cc[i][j-1];
        k[4]=cc[i][j+1];
        k[7]=cc[i-2][j];
        k[6]=cc[i+2][j];
        k[9]=cc[i][j-2];
        k[8]=cc[i][j+2];

        aa=0;
        do{
            aa=1;
            for(kk=0; kk<b; kk++)
            {
                if(k[kk]<k[kk+1])
                {
                    u=k[kk];
                    k[kk]=k[kk+1];
                    k[kk+1]=u;
                    aa=0;
                }
            }
        }while( aa!=1);
        cc[i][j]=k[5];
        //putpixel(i+192,j,cc[i][j]);

        /*      g=0;
        for(kk=0; kk<b; kk++)
        {
            g+=k[kk];
        }
        cc[i][j]=g*(1/9);
    */
    }
}

```

تحديد الحواف

```

void edge(int)
{
    int i,j;
    int a0,a1,a2,a3,a4,a5,a6,a7;

```



```

double x,y;
for(j=0;j<YY;j++)
{
    for(i=0;i<XX;i++)
    {
        a7=cc[i-1][j];
        a3=cc[i+1][j];
        a1=cc[i][j-1];
        a5=cc[i][j+1];
        a0=cc[i-1][j-1];
        a4=cc[i+1][j+1];
        a6=cc[i-1][j+1];
        a2=cc[i+1][j-1];
        x=(a2+2*a3+a4)-(a0+2*a7+a6);
        y=(a0+2*a1+a2)-(a6+2*a5+a4);
        if(x<0) x*=-1;
        if(y<0) y*=-1;
        if(x!=0 || y!=0)
            cc[i][j]=(int)sqrt(x*x+y*y);
        else
            cc[i][j]=0;
    }
}
}

```

كود ثاني لتحديد الحافة

```

void edge2(int a,int b,int c,int d)
{
    int i,j,k;

    for (i=c;i<=d;i++)
        for (j=a;j<=b;j++)

            if (getpixel(j,i)==255 && getpixel(j,i-1)==0 ||
                getpixel(j,i)==255 && getpixel(j,i+1)==0 ||
                getpixel(j,i)==255 && getpixel(j+1,i)==0 ||
                getpixel(j,i)==255 && getpixel(j-1,i)==0)

                {
                    arr_x[k]=j;
                    arr_y[k]=i;
                    putpixel(arr_x[k],arr_y[k],117);
                    k++;
                }

}

```

فلتر اخرى

```

void remfilt()
{
    int k[16];
    int i,j;

    for(j=b1+1;j<b2;j++)
    {

```

```

for(i=a1+1;i<a2;i++)
{
    k[8]=getpixel(i+1,j-1);
    k[14]=getpixel(i-1,j+1);
    k[16]=getpixel(i+1,j+1);
    k[6]=getpixel(i-1,j-1);
    k[15]=getpixel(i,j+1);
    k[12]=getpixel(i+1,j);
    k[10]=getpixel(i-1,j);
    k[7]=getpixel(i,j-1);
    k[11]=getpixel(i,j);
    k[1]=getpixel(i-2,j-2);
    k[3]=getpixel(i,j+2);
    k[9]=getpixel(i-2,j);
    k[5]=getpixel(i-2,j-1);
    k[4]=getpixel(i+1,j-2);
    k[2]=getpixel(i-1,j-2);
    k[13]=getpixel(i-2,j+1);

    if(k[11]==0 && k[6]==15 && k[7]==15 && k[8]==15 && k[12]==15
&&
        k[16]==15 && k[15]==15 && k[14]==15 && k[10]==15)
        putpixel(i,j,15);

    if(k[11]==0 && k[7]==0 && k[3]==15 && k[8]==15 && k[12]==15
&&
        k[16]==15 && k[15]==15 && k[14]==15 && k[10]==15 &&
k[6]==15)
    {
        putpixel(i,j,15);
        putpixel(i,j-1,15);
    }
    if(k[11]==0 && k[10]==0 && k[7]==15 && k[6]==15 &&
        k[15]==15 && k[14]==15 && k[9]==15 && k[12]==15)
    {
        putpixel(i,j,15);
        putpixel(i-1,j,15);
    }

    if(k[3]==0 && k[2]==15 && k[4]==15 && k[11]==15 &&
        k[6]==15 && k[8]==15 && k[7]==15)
        putpixel(i,j-2,15);

    if(k[3]==0 && k[7]==0 && k[2]==15 && k[6]==15 && k[10]==15
&&
        k[11]==15 && k[12]==15 && k[8]==15 && k[4]==15)
    {
        putpixel(i,j-1,15);
        putpixel(i,j-2,15);
    }

    if(k[11]==0 && k[10]==15 && k[14]==15 && k[15]==15 &&
        k[16]==15 && k[12]==15)
    {
        putpixel(i,j,15);
    }
}

```

```

        }

    }

}

void grad(int)
{
    int k[9];
    int i,j, kk, ii, g, aa, u;
    int gx, gy, max;

    for(j=0; j<YY; j++)
    {
        for(i=0; i<XX; i++)
        {
            k[5]=cc[i][j];
            k[4]=cc[i-1][j];
            k[6]=cc[i+1][j];
            k[2]=cc[i][j-1];
            k[8]=cc[i][j+1];
            k[1]=cc[i-1][j-1];
            k[9]=cc[i+1][j+1];
            k[3]=cc[i+1][j-1];
            k[7]=cc[i-1][j+1];

            //gx=-k[1]-2*k[2]-k[3]+k[7]+2*k[8]+k[9];
            //gy=-k[1]+k[3]-2*k[4]+2*k[6]-k[7]+k[9];
            gx=k[5]-k[6];
            gy=k[5]-k[1];

            if(gx<0) gx*=(-1);
            if(gy<0) gy*=(-1);

            if(gx>gy) max=gx;
            else max=gy;

            cc[i][j]=max;
            //putpixel(i+192,j,cc[i][j]);
        }
    }

}

void approk(int g1, int g2)
{
    int i;
    float a=0, b=0, c=0, f=0, m=0, p=0, r=0, s=0;
    float d=0, e=0, k=0, l=0, q=0, b0=0, b1=0, b2=0;

    a=(float) g2-g1;
    for(i=g1; i<=g2; i++)
    {
        b+=(float) i;
        c+=(float) i*i;
        f+=(float) i*i*i;
        m+=(float) i*i*i*i;
        p+=(float) hist[i];
        r+=(float) hist[i]*i;
    }

```

```

    s+=(float)hist[i]*i*i;
}
d=b;
e=c;
k=c;
l=f;
q=d/a;
e-=q*b;
f-=q*c;
r-=q*p;
q=k/a;
l-=q*b;
m-=q*c;
s-=q*p;
q=l/e;
b2=(s-r*q)/(m-f*q);
b1=(r-f*b2)/e;
b0=(p-b*b1-c*b2)/a;
for(i=g1;i<=g2;i++)
{
    hist[i]=(int) (b0+b1*i+b2*i*i);
}
}

```

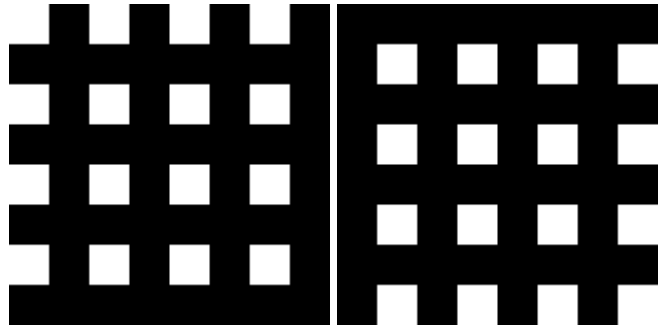
عمليات النقطة

الأنماط

الصور التركيبية (الإصطناعية)، الأنماط، لها العديد من التطبيقات في معالجة الصور. يُمكن أن يُستعملوا كنمط إختبار لتعبير الأجهزة، لتوليد مراكز الإلتواء، لتوليد أقنعة المرشحات، لتوليد وظائف المَزَج، الخ.

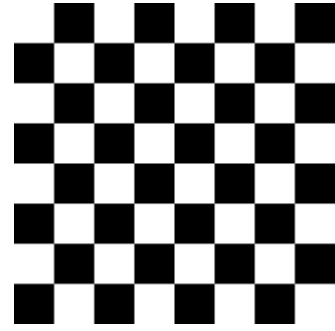
نمط رقعة الشطرنج

- A هناك طريق واحد لتوليد نمط رقعة الشطرنج وذلك بأخذ الإتحاد (حد أعلى) (مشغل لاخطي) من صورتين شبكتي B و B. صورة B تُبنى بسحب صورة A بنقطة واحدة للأسفل ونقطة واحدة إلى اليمين. معروض اسفلا الأجزاء المرتفعة للصور المستعملة في هذه التجربة. كل مربع يعتبر نقطة في الصورة الأصلية.



(a) b

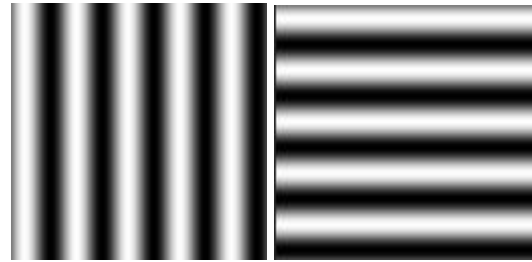
صورة A؛ (b) صورة B



الصورة الناتجة من إتحاد (B ، A)

الأنماط الجيبية

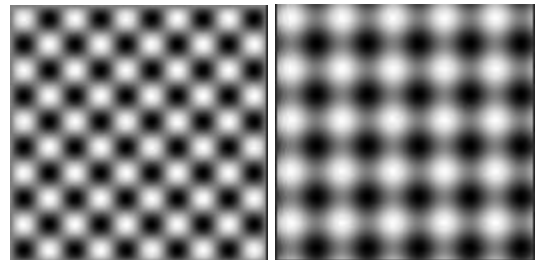
نعرض اسفلا أربع طرق لدمج صورتين يشتملان موجات الجيبية بإستعمال عمليات خطية (ضرب وإضافة)، ولاخطية (حدّ أعلى وحدّ أدنى).



$b \cdot a$

(a صورة A ؛ b صورة B)

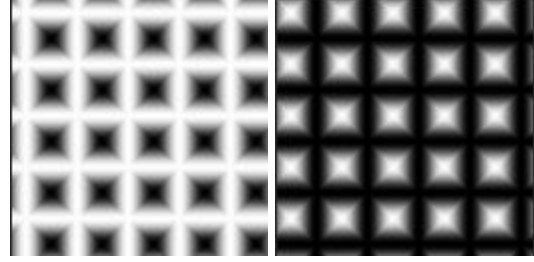
عمليات خطية



$b \cdot a$

$B + A$ (b ؛ B * A (a

عمليات لاخطية



(a) b

(B, A) MIN (b ; (B, A) MAX (a

مزج الصور

تُصوّر هذه التجربة عدّة طرق لمزج صورتين. أولاً نبني معدل من الصورتين. بعد ذلك، تطبق دالة الوزن (العلاوة) لضم النقاط الغير موحدة، باستعمال دالة gaussian. أخيراً ، نختار المجموعة بحيث تكون نصف النقاط من الصورة الاولى والنصف الآخر من الصورة الأخرى في شكل مشابه لرقعة الشطرنج الموصوفة اعلاه. نعرض اسفلا الصورتان اللتان ستُدمجان.



(a) b

(a صورة A ؛ b صورة B

أولاً، يُطبّق المعدل من كلتا الصور: النتيجة = $B \cdot 0.5 + A \cdot 0.5$

$$B \cdot 0.5 + A \cdot 0.5$$

$$0.5 \cdot A + 0.5 \cdot B$$

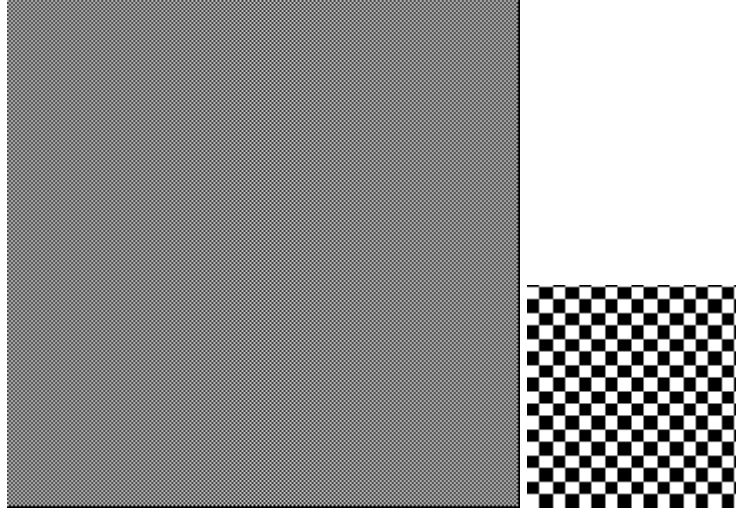


باستعمال دالة وزن gaussian لمزج الصورتين نحصل على التالي:
 النتيجة = $B * (\text{gaussian} - 1) + A * \text{gaussian}$



(a) b

(a) صورة وزن gaussian؛ (b) المزج
 أخيراً، صورة الوزن هي صورة رقعة الشطرنج الثنائية، نفس الصورة المستخدمة اعلاه.
 الأنماط.



(a) نمط رقعة الشطرنج؛ (b) جزء مصغر

نتيجة هذه المجموعة (الدمج) الهندسية يُمكنُ أن تُرى اسفلاً. هذه الطريقة لها فائدة لعرض بالضغط نقاط الأصلية للصور. من المعروف ان عيون الانسان هي التي تدمج الصور سوية.



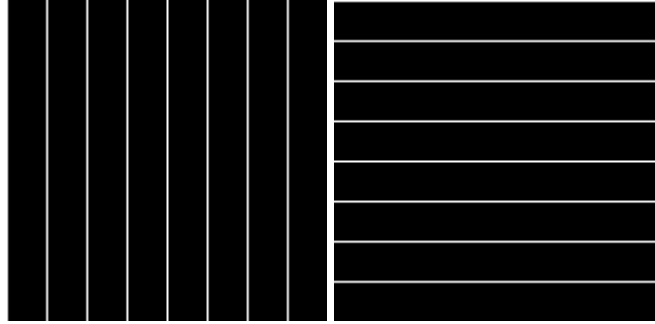
المزج الهندسي

توضع الصور على بعضها

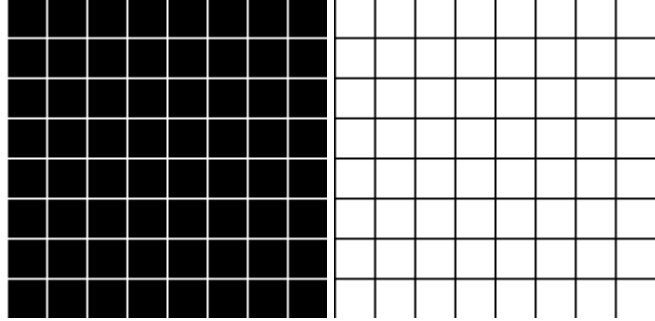
توضع شبكة خَطّية على قمة صورة هي عملية شائعة جداً. صورة A هي صورة 8×8 موسّعة بعامل من 20 استعمال لصدى نقطة. إنّ الشبكة تُبنى باستعمال نفي الحد الأعلى للشبكة العمودية والشبكة الأفقية:



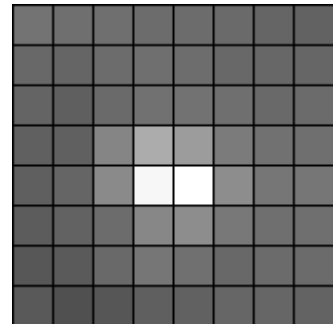
الصورة المُرْتَفَعَة



(a) شبكة عمودية؛ (b) شبكة أفقية



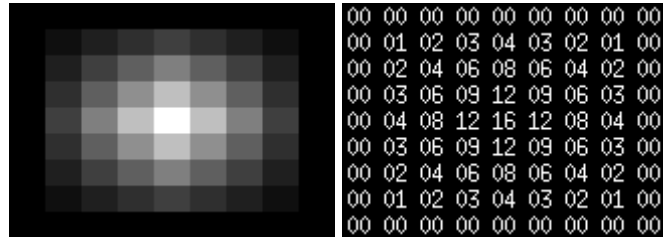
(a) شبكة بيضاء: حدّ أعلى بين الشبكات العمودية والأفقية؛ (b) شبكة سوداء: 255 - الشبكة البيضاء (نفي)



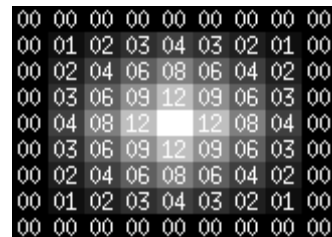
حدّ أدنى بين الصورة المُرْتَفَعَة والشبكة السوداء

توضع الصور من انواع مختلفة

إنَّ المشكلةَ هنا أنَّ تَغْطِي صورة ثنائية على صورة لتدرجات الرمادي. في أغلب الحالات، يَعْملُ المشغلين الأقصى أو الأدنى بشكل جيد لحل هذه المشكلة، سنرى أمثلة أخرى في نهاية هذه الصفحة. لكن هناك حالات حيث أنَّ الحَدَّ الأعلى أو الحَدَّ الأدنى بسيط لا يُخَصَّص:



(a صورة A؛ b صورة B



MAX(A,B)

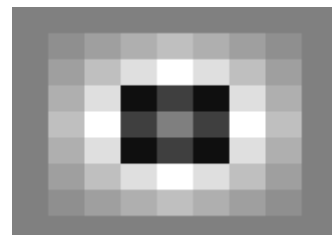
إِسْتِعْمَالُ الْحَدِّ الْأَعْلَى لِكُلَا الصَّوْرَتَيْنِ سَوْفَ لَنْ يَعْزُضَ الْعَدَدَ 16 عِلْمًا بِأَنَّ الصَّوْرَتَيْنِ تَسْتَعْمَلَانِ مَسْتَوَى النِّقَاطِ 255.



A XOR B

إستعمال عملية مقصور على خاصية الخانة سوف لَنْ تُعْرَضَ العددَ 8 علما ان كلا الصورتين تستعملان مستوى النقاط 128 (7FH XOR FF = 80H).

نَحْتَاجُ لَخَلْقِ مَشْغَلِ الْحِجْزِ، وَبِمَعْنَى آخَرٍ: .



$$C = (A + 128) \bmod 256$$

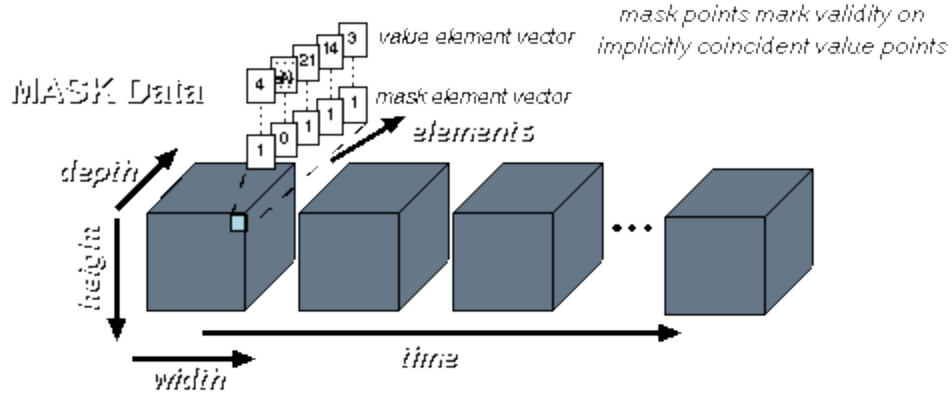
مشغل الحجز يَجْمَعُ A و B بإستعمال C كمختار (محدد):

00	00	00	00	00	00	00	00	00
00	01	02	03	04	03	02	01	00
00	02	04	06	08	06	04	02	00
00	03	06	09	12	09	06	03	00
00	04	08	12	16	12	08	04	00
00	03	06	09	12	09	06	03	00
00	02	04	06	08	06	04	02	00
00	01	02	03	04	03	02	01	00
00	00	00	00	00	00	00	00	00

If (B) then C else A

تطبيق القناع

إنَّ القناع أو "القناع الصحيح" هو الجزء ضمن ملف الصورة الذي يخبر عن النقاط الصحيحة في الصورة. هناك عدّة تطبيقات التي تُستعمل هذه الخاصية أو المفهوم. شكّل البيانات مع جزء "القناع الصحيح" تُشاهد اسفلا.



شكل البيانات لعمليات القناع

نحن سنوضح إستعماله بصورة فوق سمعية. معروض اسفلا صورة فوق سمعية (ultrasound) ونحن نريد حساب الإحصائيات منها. لاحظ بأن هناك منطقة "سوداء" التي لا تحتوي على أي معلومات صحيحة.



الصورة فوق السمعية

حساب الإحصائيات من الصورة سَيَتَضَمَّنُ المنطقة "السوداء".

Object Dimension: w=250 h=200 d=1 t=1 e=1

Mean: 63.2069

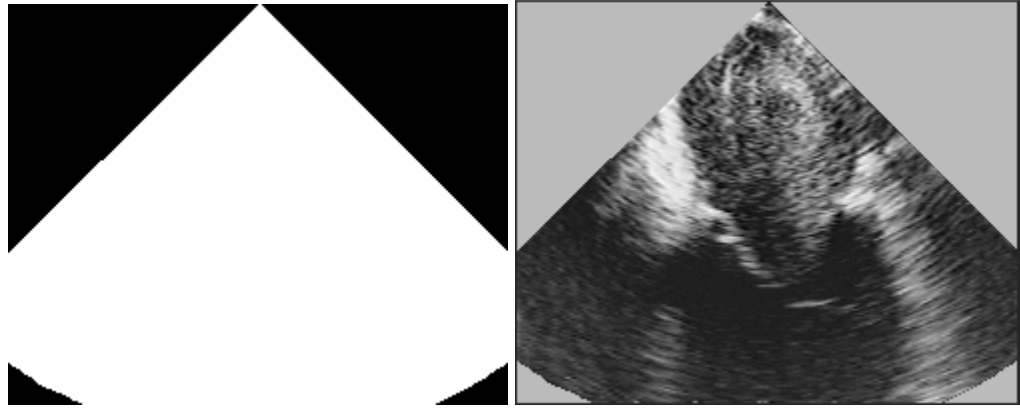
Variance: 2132.67

Std Dev: 46.1808

RMS: 78.2799

Total Contributing Points: 50000

إذا دمجنا القناة الصحيح فإن الإحصائيات التي ستحسب من الصورة سوف لَنْ تَتَضَمَّنُ المنطقة "السوداء"، وبمعنى آخر: . ، فقط البيانات المَكشُوفة سَتَكُونُ مستعملة للحساب. معروض اسفلا القناة الصحيح والصورة بقطعة القناة.



(a) القناة الصحيح؛ (b) صورة بالقناة
إنَّ الإحصائيات الجديدة توضح اسفلا.

Object Dimension: w=250 h=200 d=1 t=1 e=1

Mean: 77.2634

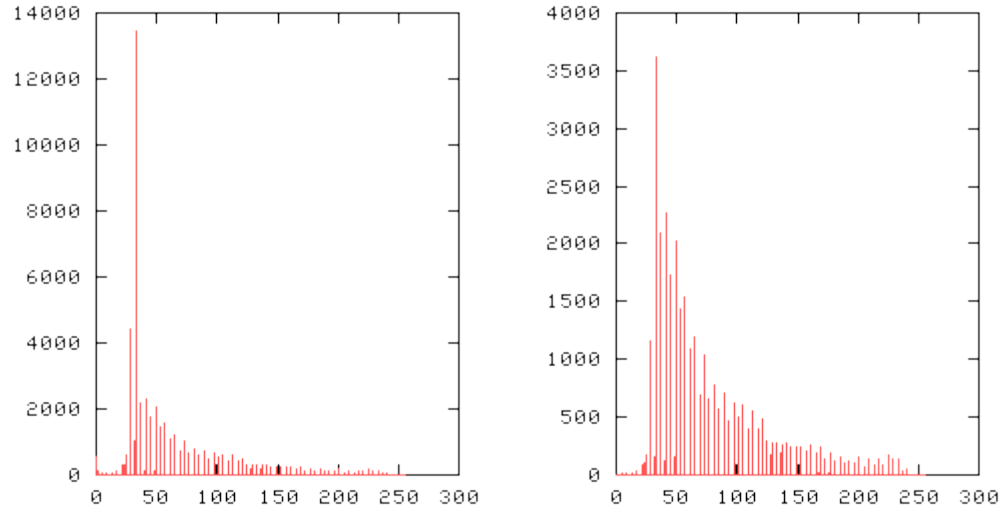
Variance: 2384.87

Std Dev: 48.8351

RMS: 91.4026

Total Contributing Points: 33816

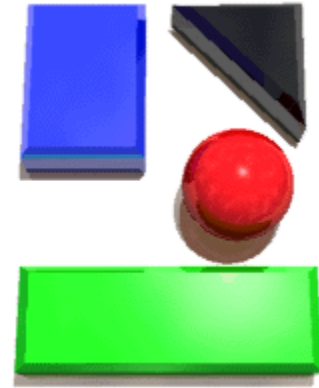
المدرج الإحصائي من الصورة الأصلية والمدرج الإحصائي من بيانات الإهتمام.



(a) مدرج إحصائي من الصورة الأصلية؛ (b) مدرج إحصائي من الصورة بقناع الصلاحية

ضرب الصور الملونة RGB

إن ضرب صورتين RGB هي عملية نقطية واسعة. كل عنصر نقطة من صورة RGB يضرب بإحداثي النقطة المطابقة / لعنصر الصورة الأخرى. من المحتمل الحصول على النتائج الغير متوقعة جداً. في هذه التجربة، نحن سنضرب صورة RGB بمستويات لون ثابتة. معروض اسفلا صورة RGB الأصلية.

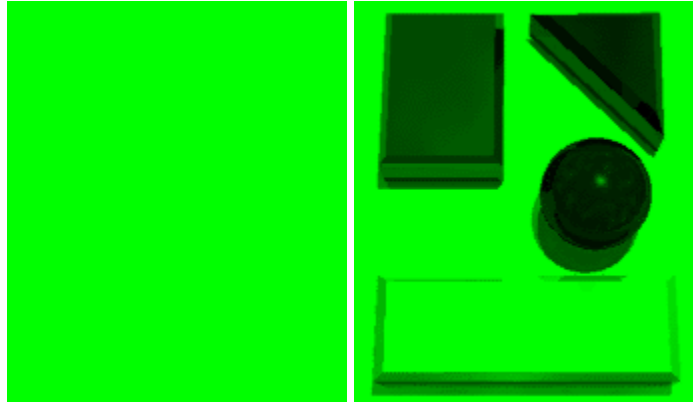


صورة اللون الأصلية (RGB)

مضروب بوزن 1 من المستوى الاحمر و0 للآخرين:



(a) وَزَنَ صَوْرَةً (R=1,G=0,B=0) (b) الصورة الناتجة
مضروب بوزن من 1 المستوى الأخضر و 0 للآخرين:

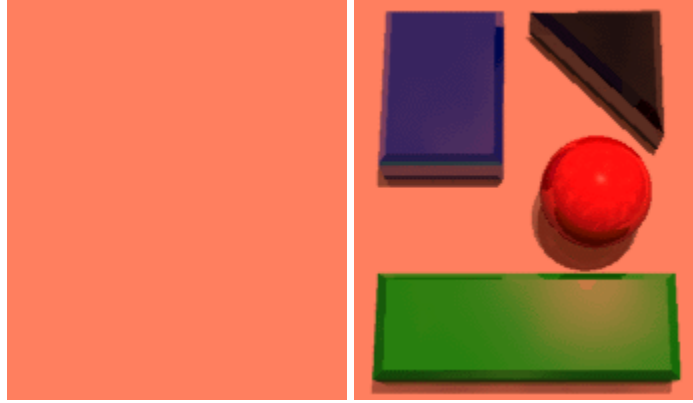


(a) وَزَنَ صَوْرَةً (R=0,G=1,B=0)؛ (b) الصورة الناتجة
مضروب بوزن من 1 المستوى الأزرق و 0 للآخرين:



(a) وَزَنَ صَوْرَةً (R=0,G=0,B=1)؛ (b) الصورة الناتجة

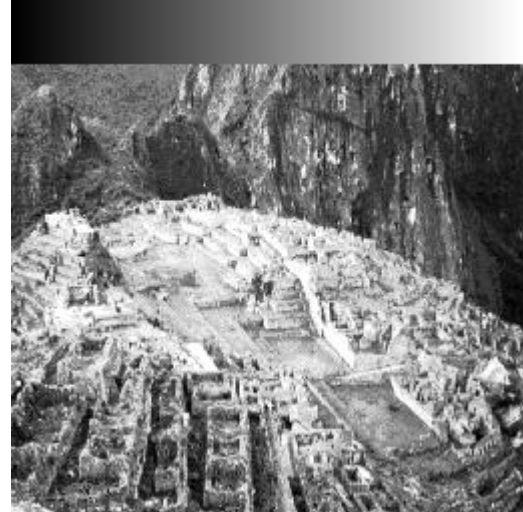
مضروب بوزن 0.8 من المستوى الأحمر، 0.4 الأخضر و0.3 الأزرق:



(a) وَزَنَ صَوْرَةً (R=0.8,G=0.4,B=0.3)؛ (b) الصورة الناتجة

إرتباك الصورة

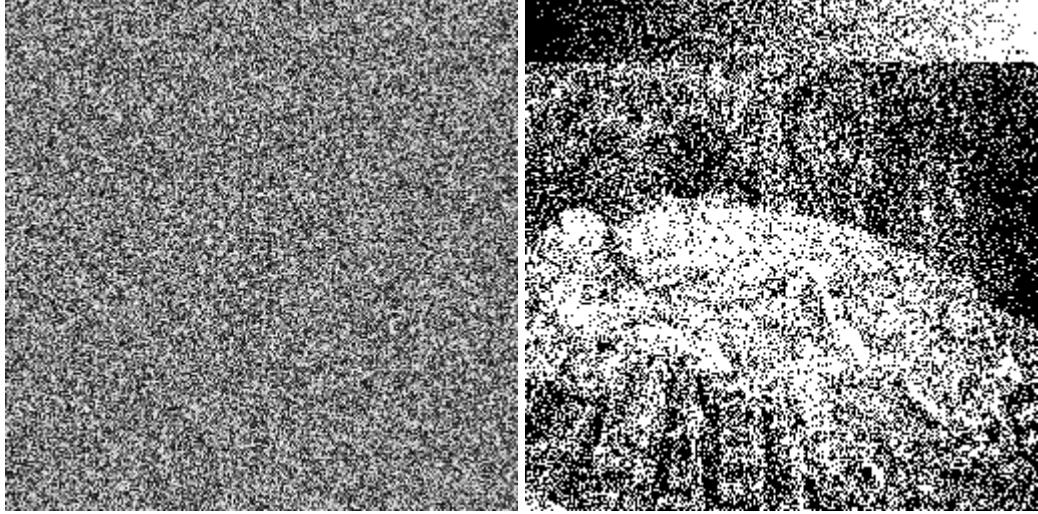
من المحتمل عَرَضَ صورة بتدرجات الرمادي في أداة عرض ثنائية المستوى مثل الشاشات الابيض والاسود والكثير من الطابعات الغير ملونة وذلك باستعمال التقنية المسماة إرتباك الصورة. هذا يَشْمَلُ تخطيط (عرض) الصورة الرمادية الأصلية إلى صورة ثنائية. بينما عيوننا تُؤدِّي التكامل المكاني، من المحتمل إنجاز نتائج معقولة باستعمال تخطيط الإستراتيجية حيث قِيم الكثافة الرمادية تُحوَّلُ إلى كثافة النقاط السوداء. في هذه التجربة، نحن سَنَرَى البعض من التخطيط الذي يُمكنُ أَنْ يطبق إرتباك الصورة. إِنَّ الصورة المستعملة في هذه التجربة تُشاهد اسفلا. ضَمَنَّا تعليمة رمادية مستوية في قِمَّةِ الصورة لكي يُمكنُ أَنْ نَرى ردة فعل خوارزميات التردد إلى تغيرات الصَّغْل.



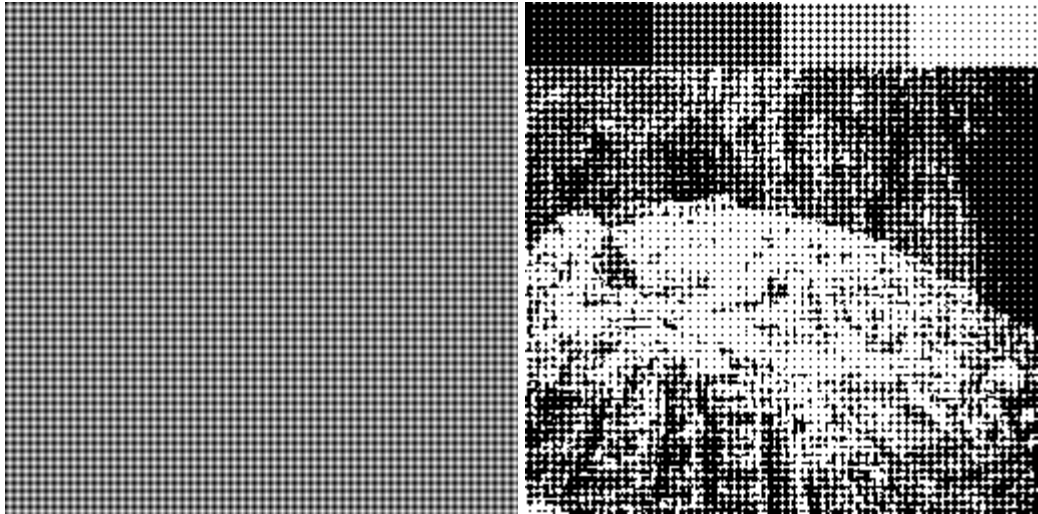
الصورة الأصلية

التقنية المستعملة في هذه التجربة تتضمن استعمال صورة النمط الرمادية التي ستقارن مع الصورة الأصلية. إذا قيمة النقطة في الصورة الاصل اكبر من قيمة النقطة المقابلة في النمط، فإننا نعطى قيمة للنقطة في الصورة الناتجة مساوية للابيض، ما عدا ذلك فإن القيمة في الصورة الناتجة تساوي الأسود.

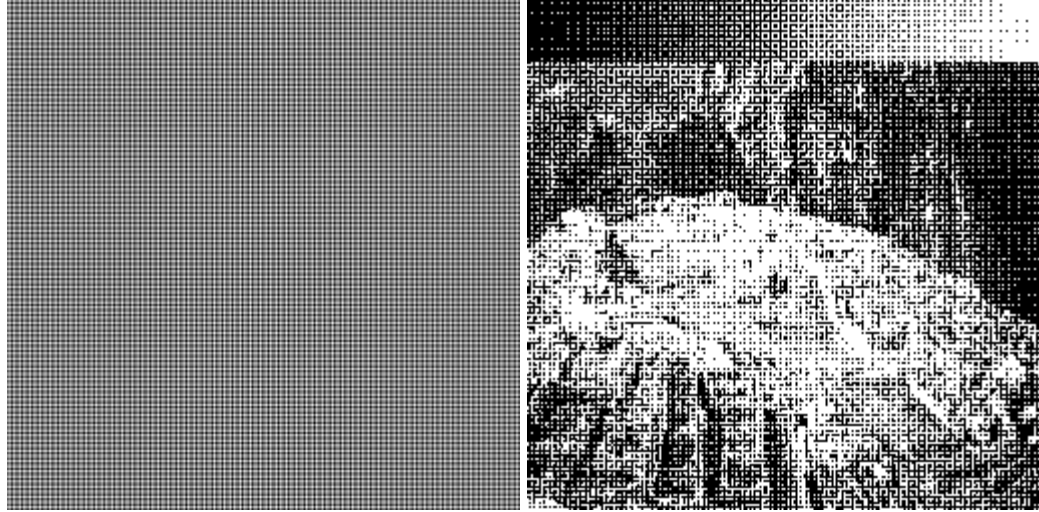
اسفلا نشاهد أربعة طرق مختلفة لبناء صورة النمط. في الحالة الأولى، نستخدم صورة ضوضاء موحدة. هذه التقنية تُدعى في أغلب الأحيان "التردد العشوائي". للحالة الثانية، نولد أهرام صغيرة. في الحالة الثالثة نستخدم موجات جيبية، وأخيراً نستخدم نمط بنى من مصفوفة تردد منظمة.



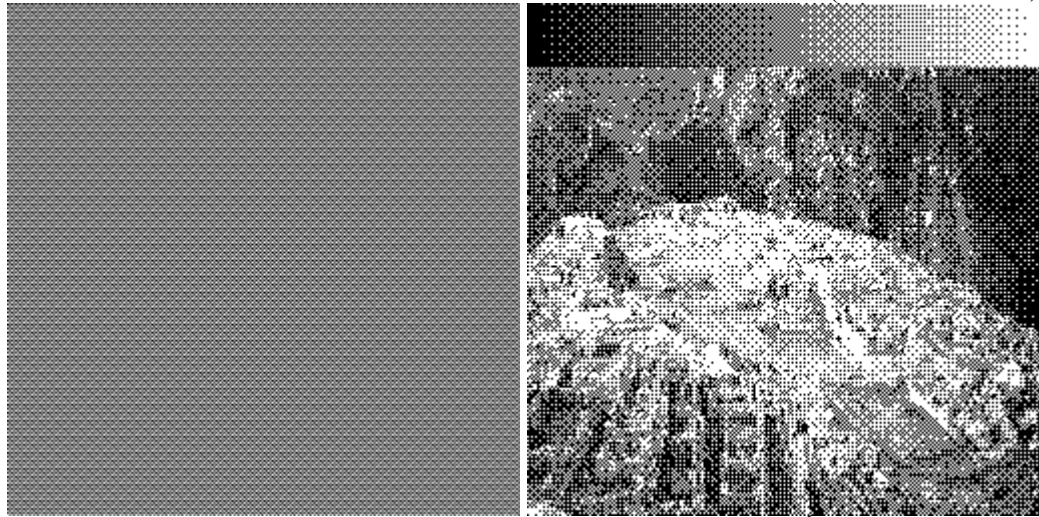
(a) ضوضاء موحدة؛ (b) النتيجة



(a) أهرام؛ (b) النتيجة



(a) موجات جيبية ؛ (b) النتيجة

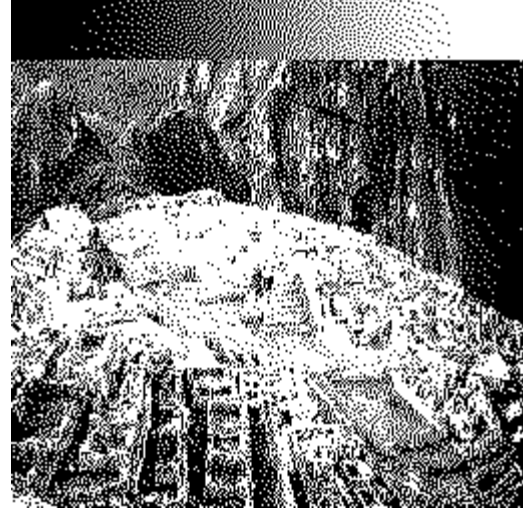


(a) مصفوفة تردد منظمة؛ (b) النتيجة

مصفوفة التردد المستعملة في تقنية العرض الأخيرة خُلِقَتْ مِنْ صدى النمط اسفلا. لرؤية كيف يُمكن أَنْ يُضَاعَفَ النمط إلى صورة كاملة، راجع تطبيقات الإلتواء.

0	32	8	40	2	34	10	42
48	16	56	24	50	18	58	26
12	44	4	36	14	46	6	38
60	28	52	20	62	30	54	22
3	35	11	43	1	33	9	41
51	19	59	27	49	17	57	25
15	47	7	39	13	45	5	37
63	31	55	23	61	29	53	21

للغرض الإيضاحي، نُشاهد اسفلا التقنية المتداخلة الأخرى، وهي بشكل اعلى مِنْ الطرق السابقة، والمسماة خوارزمية إنتشار خطأ Floyd-Steinberg. إِنَّ الفكرة أَنْ يَنْشَرِ الخطأ بين قيمة النقطة الناتجة وقيمة النقطة الفعلية للصورة بين جيرانهم في عملية متسلسلة تجميعية. هذه العملية لا يُمكن أَنْ تُطَبَّقَ بإستعمال المشغلين القياسيين.



إنتشار خطأ Floyd - Steinberg

مفاهيم الموجات الصغيرة

تحليل الموجات الصغيرة المنفصلة

عُموماً عندما نتعامل مع الإشارات الثابتة، التي خصائصهم الإحصائية ثابتة بتغير الوقت، الأداة المثالية هي تحويلات فوريير. إن تحويل فوريير حسب ماتم شرحه سابقاً هو مجموعة خطية لانهاية من جيب التمام المتوسّع وموجات الجيب. عندما نصادف إشارات غير ثابتة، نحن يُمكن أن نُمثل هذه الإشارات بالمجموعات الخطية للتحليل إلى المركبات البسيطة المعروفة بالموجات الصغيرة. هذه الموجات الصغيرة، أو التحليل إلى المركبات البسيطة، يُسمح لنا لإنترزاغ العناصر البسيطة التي تكون تراكيب معقدة أو إشارة. العناصر البسيطة المستعملة في معالجة الإشارات يُمكن أن تُجمّع في عدة اصناف: إلى مقياس الوقت (فضاء)، تردد الوقت (فضاء)، أو مزيج من كلتا الحالتين. في مجموعة مقياس الوقت (فضاء) نجد قاعدة الموجات الصغيرة Grossman Morlet و Daubechies معرفة بالدوال الموضحة اسفلاً. هذه الدوال تُستعمل للحصول على معاملات الموجات الصغيرة المستعملة في تحليل وتأليف الموجات الصغيرة.

موجات Morlet-Grossman الصغيرة :

$$\frac{1}{\sqrt{a}} \varphi\left(\frac{x-b}{a}\right) \quad a > 0; b \in \mathbb{R}$$

موجات Daubechies الصغيرة:

$$2^{j/2} \varphi(2^j x - k) \quad j, k \in \mathbb{Z}$$

في دالة موجات Grossman Morlet الصغيرة، العامل "a" يعطي عامل القياس و "b" مركز (موقع) الوظيفة. في حالة دالة موجات Daubechies الصغيرة، مقياس التغير مُعطى بالعامل 2^j ومركزه بالعامل "k".

في فضاء تردد الوقت نجد موجات Gabor Malvar الصغيرة معرفة بالصيغة التالية:

$$\omega(t-l) \cos(\pi(k+1/2)(x-l)) \quad k \in N, l \in Z$$

إذا نُخضع موجات Gabor Malvar الصغيرة إلى توسّعات زوجية فإنه يُمكن أن نُبني موجات Daubechies الصغيرة، وهكذا يكون عندنا مجموعة ثالثة.

تحويل الموجات الصغيرة هي أداة قويّة للتحليل وتشكيل الإشارات. مركزة الخصائص البارزة في المكان (أو الوقت) ومجالات التردد يُمكن أن تُنجز بشكل كفوء جداً مع الموجات الصغيرة. هذا يَسمح لنا بتحديد الإنتقالات الحادة بشكل أني في طيف الإشارة وفي موقع (أو وقت) حدوثهم.

إنّ التركيب الأساسي للموجات الصغيرة متكوّن من الترشّيح والإنقاص التكراري، للأسهل منهم نسبياً للتطبيق. خاصية فصل المركز في نظرية تحويلات الموجات الصغيرة هي ميزة مثيرة والتي تُعيد تحويلات الموجات الصغيرة متعدّدة الأبعاد كأداة قويّة لمعالجة الإشارات المتعددة الأبعاد.

إستعمال تحويلات الموجات الصغيرة في التحليل العددي يندو انه سيكوّن واعد جداً لأنه يَسمح بتمثيل جيد جداً للإنقطاع، على خلاف تحويل فوريير. بالإضافة الى ان، تحويلات الموجات الصغيرة هي مصفوفات المنتجات المتناثرة و/ أو المشغلون الذين يُمكن أن يُعالجوا بالتعقيد الحسابي المنخفض جداً.

ميزة جاذبة لتحويلات الموجات الصغيرة وهي علاقتها بأنظمة تشفير الحزمة الثانوية و بنوك المرشحات. الفرق الوحيد بين تحويلات الموجات الصغيرة والمرشحات في أنظمة تشفير الحزمة الثانوية بأنّ المُشكّل مُصمّم لأنّ يكوّن عندها بعض خصائص الإنتظام (العديد من الأصفار في $z = 0$ أو $z = 3.141516$ $((\pi) z)$). تُزوّد نظرية الموجات الصغيرة بأفكار وبصائر جديدة التي تغني المنطقة المهمة من بنوك المرشحات المتعددة الدرجات.

نظرية تحويلات الموجات الصغيرة يُمكن أيضاً أن تُفترن بتقنيات أخرى، مثل موجه التجزئة أو حافات متعددة المقياس. هذا يُؤدّي إلى تقنيات الضغط القويّة للإشارات الغير ثابتة. حقول معالجة الإشارات الإحصائية، نموذج متعدّد المقياس من العمليات والتحليل والتأليف من $1/f$ من الضوضاء كل هذا يعتبر نتائج مثيرة عندما إرتبطت بنظرية الموجات الصغيرة. رزم الموجات الصغيرة، التي تُقابل تركيب الشجرة التكميفية الإعتباطية لبنوك المرشحات هي مثال واعد جداً آخر.

تحويلات الموجات الصغيرة

التجربة: تحويلات الموجات الصغيرة وضغط البيانات

التجربة التالية تُؤدّي تحويل مستوى واحد (مقياس واحد) للموجات الصغيرة المباشر والعكسي. هي مستندة على مرشحات Daubechies (الموجات الصغيرة). بالإضافة الى ذلك، تجربة بسيطة من ضغط البيانات مُنفّذة بإستعمال المرور المنخفض للموجات الصغيرة فقط لإعادة بناء الصورة. هذا يُمكن أن يُرى كإرسال جزء وحيد من البيانات خلال قناة إتصال بنسبة ضغط 1:4.

معاملات مرشح Daubechies الأمامية والمعكوسة تُشاهد اسفلا. إثنان من مجموعات المرشحات مستعمل للتحويل الأمامي والمعكوس. لاحظ بأن المرشحات ذات بعد واحد.

مرشحات Daubechies تُطلّب مجموعتان من (أربعة معاملات)

• Direct Transform

○ Highpass

○ daub2hd.ascii -

○ (-0.1294095225512604, -0.2241438680420134, 0.8365163037378079, -0.4829629131445341)

○ Lowpass

○ daub2ld.ascii -

○ (0.4829629131445341, 0.8365163037378079,

0.2241438680420134, -
0.1294095225512604)

- Inverse Transform

- Highpass

- daub2hi.ascii -
 - (-0.4829629131445341, 0.8365163037378079, -0.2241438680420134, -0.1294095225512604)

- Lowpass

- daub2li.ascii -
 - (-0.1294095225512604, 0.2241438680420134, 0.8365163037378079, 0.4829629131445341)

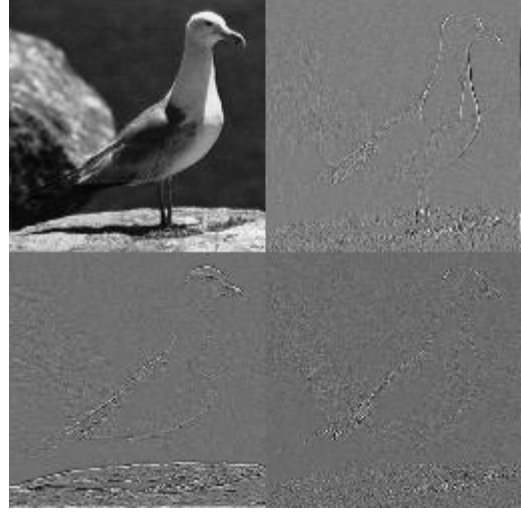
نتيجةً خوارزمية تحويلات الموجات الصغيرة الأمامية تُشاهد اسفلا.



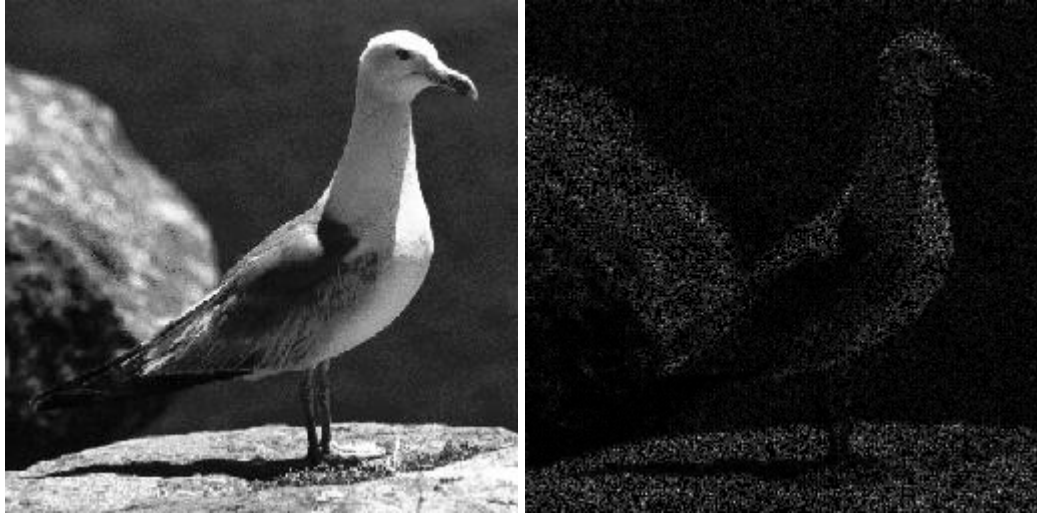
تحويلات الموجات الصغيرة المباشرة

لاحظُ التحليل الى المركبات البسيطة المؤدى. نلاحظ باتجاه عقارب الساعة والبدء من الزاوية العليا اليسرى من الصورة عندنا:

- تحليل المرور منخفض،
 - تحليل المرور الأعلى في إتجاه العرض (تفاصيل أفقية)،
 - تحليل المرور الأعلى في إتجاه الإرتفاع (تفاصيل عمودية)،
 - تحليل المرور الأعلى في كلتا الإتجاهات الإرتفاع والعرض. هذا الإسلوب العادي لتخزين وعرض تحويلات الموجات الصغيرة.
- لرؤية أوضاع كُل تحليل بشكل افضل، تم فصل المربعات الاربعة وعرضها بشكل منفصل. هذا مُصَوَّر اسفلا



التحويلات العكسية للموجات الصغيرة والإختلاف بين الأصل يُوضحون اسفلا



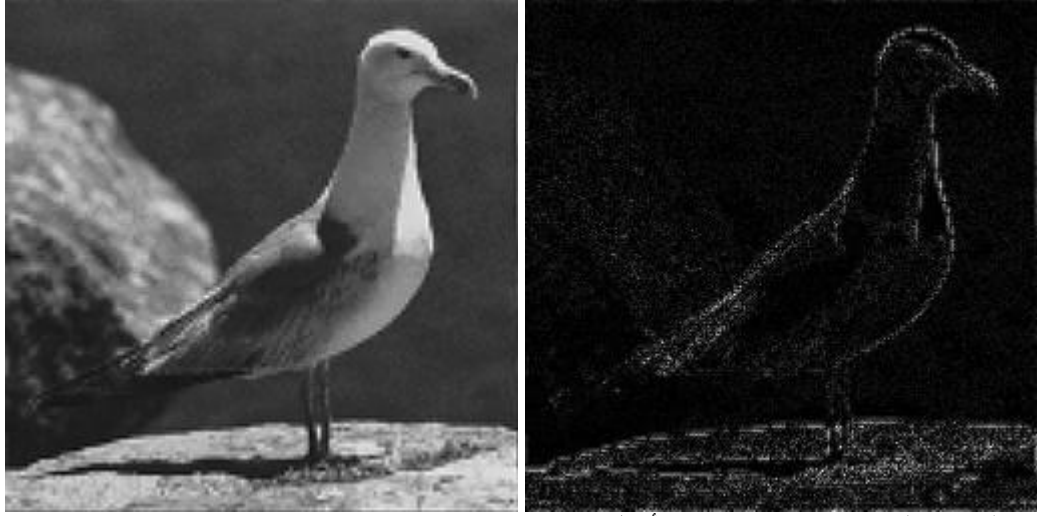
a) التحويلات العكسية للموجات الصغيرة (b) الإختلاف مع الاصل ($\max \sim 10E-14$)

ننتزغ تحليل المرور المنخفض ونستعمله لإعادة بناء الصورة الأصلية. الملاحظة: بالقيام بذلك نحن يُمكنُ أَنْ نُنجزَ 1:4 نسبة ضغط. إنَّ صورة المرور المنخفض هي التالية:



صورة المرور المنخفض

إعادة البناء باستعمال التحويلات العكسية للموجات الصغيرة تنتج الصورة اسفلا. إنَّ الاختلافَ بين الصورة الأصلية والمبنية يُعرَضونَ أيضاً:



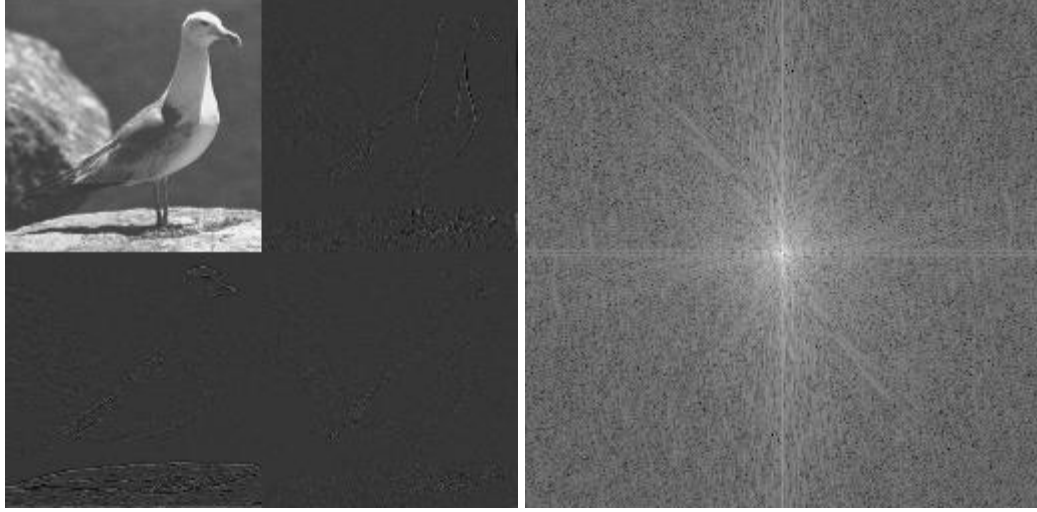
(a) الصورة المبنية؛ (b) إختلافها عن الأصل

الموجات الصغيرة: تحليل التردد

يَسْمَحُ لنا هذا القسم تَصَوُّرُ أطياف المقدار الثنائية الابعاد لتحليل الموجات الصغيرة المنفذة على صورة. تحليل الموجات الصغيرة ذو المستوى الواحد يُحلَّلُ الصورة إلى أربع مناطق. البداية في الزاوية العليا اليسرى مِنْ الصورة و باتجاه عقارب الساعة نَجِدُ 4 مناطق:

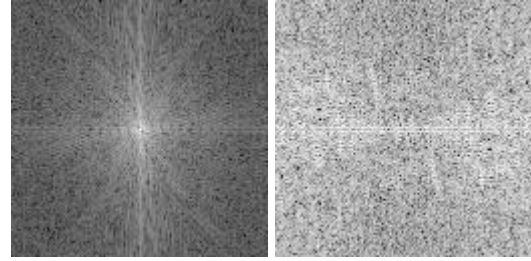
- "تحلل المرور المنخفض،
- "تحلل المرور العالي في إتجاه العرض،
- "تحلل المرور العالي في إتجاه الإرتفاع، و
- "تحلل المرور العالي في كلتا إتجاهات الإرتفاع والعرض.

من كُلِّ تحلل نُريدُ تَصَوُّرَ محتوى التردد، و طيف المقدار. معروض اسفلا التحويلات المباشرة للموجات الصغيرة ذات المستوى الواحد المستندة على مرشح Daubechies ، و طيفه $\log(\text{mag}+1)$ اللوغاريتمي .

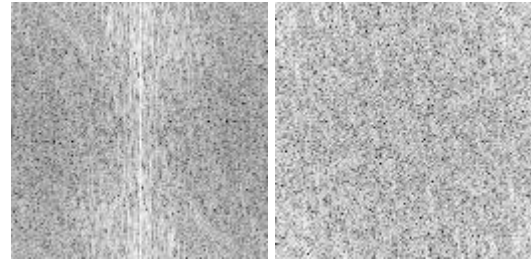


a) التحويلات المباشرة للموجات الصغيرة ؛ b) طيفها اللوغاريتمي

ننتزغ مناطق التحلل الأربع الآن، نجد أطيافهم اللوغارتمية $\log(\text{mag}+1)$ ونعرض النتائج. معروض اسفلا النتائج باتجاه عقارب الساعة وتبدأ من الزاوية اليسرى العليا.



a) الربع الاول ؛ b) الربع الثاني



a) الربع الثالث ؛ b) الربع الرابع

لاحظ بأن كل الترددات الواطنة مركزة حول مركز صورة الربع الأول التي تقابل التعبير المستمر (DC). في الربع الثاني نصادف التذبذبات العالية على طول إتجاه العرض، وفي الربع الثالث، التذبذبات العالية على طول إتجاه الإرتفاع. في الربع الرابع نجد التذبذبات العالية على طول كلتا إتجاهات الإرتفاع والعرض.

التدفق البصري

إذا أخذنا سلسلة من الصور بمرور الوقت، وهناك أجسام متحركة في هذا المشهد، أو ربما آلة التصوير نفسها على عربة متحركة، فإن المعلومات المفيدة حول ما تحتويه الصورة يُمكن أن تُحصَل عليها بتحليل وتَفْهَم الاختلاف بين الصور الذي سببه الحركة. على سبيل المثال، لنأخذ صورة سيارة متحركة، تحديد أيّ نقاط في الصورة تُمثّل الحركة يُمكن أن يُساعد على تَقْدير النقاط التي تنتمي إلى السيارة، والتي تنتمي إلى الخلفية الساكنة. دراسة الحركة بالتفصيل، نحن يُمكن أن نُجيب على الأسئلة التالية:

- كم عدد الأجسام المتحركة بالمشهد؟
 - بأيّ الاتجاهات هم يتحركون؟
 - نوع الحركة : خطيّة أو دائرية؟
 - ماهي سرعة حركتهم؟
- من سلسلة الصور، نحسب دالة جديدة مسماة بالتدفق البصري. لكل نقطة ،

- $\mathbf{v} = (u, v)$ موجه السرعة الموجود يعطي التالي:

0 كيف تتحرك النقطة بسرعة عبر الصورة،
0 باي اتجاه تتحرك.

معادلة تقييد التدفق البصري

دعنا نفترض بأن كثافة الصورة مُعطية بـ $I(x, y, t)$ ، حيث أن الكثافة الآن هي دالة الوقت t ، بالإضافة إلى x و y . في النقطة التي بها المسافة صغيرة ، والوقت صغير ، فإن الكثافة هي التالية:

$$I(x + dx, y + dy, t + dt) = I(x, y, t) + \frac{\partial I}{\partial x} dx + \frac{\partial I}{\partial y} dy + \frac{\partial I}{\partial t} dt + \dots,$$

حيث النقاط تُساند الشروط.

الآن، لنفترض ان جزء من الجسم في الموقع (x, y) من الصورة في الوقت t ، وبمرور الوقت dt لاحقاً تحرك الجسم للمسافة (dx, dy) في الصورة. علاوة على ذلك، دعنا نفترض بأن كثافة ذلك الجزء من الجسم بنفس الطريقة في صورتنا قبل ذلك وبعد ذلك. بشرط أننا مُبرّرون في وضع هذه الفرضية، فإنه سيكون عنْدنا الصيغة التالية:

$$I(x + dx, y + dy, t + dt) = I(x, y, t),$$

ولذا

$$\frac{\partial I}{\partial x} dx + \frac{\partial I}{\partial y} dy + \frac{\partial I}{\partial t} dt + \dots = 0.$$

على أية حال، بالتقسيم بـ dt ، عنْدنا الصيغة التالية:

$$\frac{dx}{dt} = u, \quad \frac{dy}{dt} = v,$$

بما ان هذه هي السرعة التي يتحرك بها الجسم في إتجاهات x و y على التوالي. فإنه، في الحد الذي dt يقترب الى الصفر، عندنا:

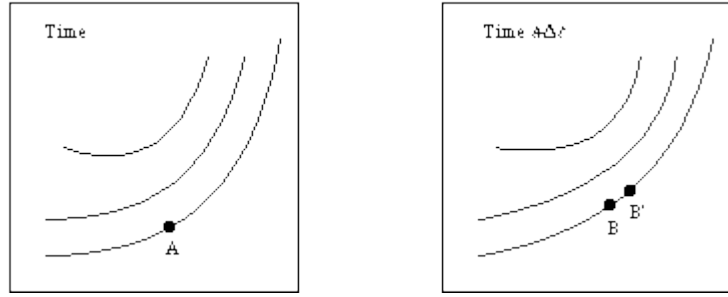
$$-\frac{\partial I}{\partial t} = \frac{\partial I}{\partial x}u + \frac{\partial I}{\partial y}v,$$

الذي يُدعى معادلة تقييد التدفق البصري.

الآن، $\frac{\partial I}{\partial t}$ في النقطة المُعطية هي فقط كيف تتغير الكثافة بسرعة بتغير الوقت، بينما $\frac{\partial I}{\partial x}$ و $\frac{\partial I}{\partial y}$ هي النسب المكانية لتغيير الكثافة، وبمعنى آخر: كيف بسرعة تتغير الكثافة في الذهاب عبر الصورة، لذا كل العناصر الثلاثة من هذه الكميات يُمكن أن تُخمن لكل نقطة باعتبار الصور.

القيود الأخرى

نريد الان حساب u و v، لكن القيد أعلاه لسوء الحظ يعطينا فقط معادلة واحدة لكل نقطة بمجهولين، لذا هذا غير كاف لوحده. لمعرفة لماذا هذا غير كاف، لاحظ الصوري في الرسم التالي:



الرسم. الغموض في تقرير التدفق البصري

إن الخطوط هي مخططات الكثافة المتساوية في الصورتين، المأخوذتان بفارق وقت Δt . إن الصعوبة في الإخبار سواء جزء من المشهد الممثل بالنقطة A في الصورة الأولى تحرك للنقطة B، أو B'، أو في الحقيقة أي نقطة أخرى بنفس الكثافة في الصورة الثانية. هكذا وبشكل اعمق هذه المعلومات المطلوبة تُسمح لتحديد u و v.

الملاحظة الرئيسية هي بأنه فيما عدا النقاط قرب حافات الأجسام المتحركة، الحركة المُلاحظة في النقاط المجاورة ستكُون مماثلة جداً. المقياس كيف ينحرف التدفق البصري من هذا التغيير المثالي ببسر يُمكن أن يُحسب بالتقييم التكاملية التالي على الصورة الكاملة، حيث الاشتقاق مثل $\frac{\partial u}{\partial x}$ إجراء كيف بسرعة تتغير السرعة بالذهاب عبر الصورة.

$$S = \iint_{\text{image}} \left(\frac{\partial u}{\partial x} \right)^2 + \left(\frac{\partial u}{\partial y} \right)^2 + \left(\frac{\partial v}{\partial x} \right)^2 + \left(\frac{\partial v}{\partial y} \right)^2 dx dy$$

إيجاد التدفق البصري

التقييد الناعم أعلاه ليس بالضرورة كلياً ان يتسق مع قيد التدفق البصري. نحن يُمكن أن نَبدي كم من الحلول لـ u و v ينحرف عن الشرط المطلوب بمعادلة قيد التدفق البصري بالتقييم

$$C = \int \int_{\text{image}} \left(\frac{\partial I}{\partial x} u + \frac{\partial I}{\partial y} v + \frac{\partial I}{\partial t} \right)^2 dx dy.$$

لدمج هذين القيدين الإثنان بشكل ذو مغزى، نستخدم تقنية مضاعفات Lagrangian:

- حاول إيجاد حل لـ u و v الذي يُقلل $S + \lambda C$ ، حيث λ مقياس التغيير.
 - نموذجياً نحن نجعل λ كبير إذا مقاييس الكثافة كانت دقيقة، حيث نحن يجب أن نتوقع C أن تكون صغيرة جداً طبيعياً.
 - من الناحية الأخرى، إذا البيانات الأصلية كانت صاحبة (مختلطة بضوضاء)، λ سيُجعل صغيرة جداً.
 - التعديل التفاعلي عموماً سيبطل لإيجاد أفضل قيمة لـ λ .
- تقليل (جعله اقل مايمكن) الناتج التكاملي يُمكن أن يُعنفذ بإستعمال التقنيات القياسية من حساب التغير، التي تُري بأن الدوال u و v مطلوبة لتحقيق الزوج المزاوج للمعادلات التفاضلية:

$$\begin{aligned} \frac{\partial^2 u}{\partial x^2} + \frac{\partial^2 u}{\partial y^2} &= \lambda \left(\frac{\partial I}{\partial x} u + \frac{\partial I}{\partial y} v + \frac{\partial I}{\partial t} \right) \frac{\partial I}{\partial x}, \\ \frac{\partial^2 v}{\partial x^2} + \frac{\partial^2 v}{\partial y^2} &= \lambda \left(\frac{\partial I}{\partial x} u + \frac{\partial I}{\partial y} v + \frac{\partial I}{\partial t} \right) \frac{\partial I}{\partial y}. \end{aligned}$$

إن إشتاقات I لكل نقطة مكتسبة من الصورة الأصلية، و λ مختارة كما هو اعلاه. الطريقة التكرارية يُمكن أن تكون مستعملة لحل هذه المعادلات لـ u و v في كل نقطة.

المراجع

- Мозеров М.Г. Цифровые методы обработки изображений в задачах реконструкции трехмерных поверхностей. : Автореферат дис. канд. техн. наук : М., 1995.
- Бутаков Е.А., Островский В.И., Фадеев И.Л. Обработка изображений на ЭВМ. - М.: Радио и связь, 1987.- 240 с. , ил.
- Даджион Д., Мерсеро О.Р. Цифровая обработка многомерных сигналов: Пер. с англ. - М.: Мир, 1988. - 190 с.
- Садыков С. С. Цифровая обработка и анализ изображения . - Ташкент : НПО 'Кибернетика' АН РУз , - 1994. 193 с.
- Претт У. Цифровая обработка изображений: Пер. с англ. - М.: Мир, 1982 - кн.1.- 312с. , ил., кн.2.- 480 с., ил.

- Ахмед Н., Рао К.Р. Ортогональные преобразования при обработке цифровых сигналов. - М.: Связь, 1980. - 248 с. , ил.
- Аберкулов Ш.Э. Разработка и применение эвристических методов и критериев выбора информативных признаков в распознавании образов. : Автореферат дис. канд. техн. наук : Ташкент, 1995.
- Александров В.В., Шнейдеров В.С. Рисунок, чертеж, картина на ЭВМ. Л.: Машиностроение, 1987. - 212 с. : ил.
- Алиев Т. М. и др. Системы отображения информации: Учебное пособие для вузов. М.: Высшая школа. 1988. -223 с. : ил.
- Аммерал Л. Интерактивная трехмерная машинная графика: Пер. с англ. - М.: "Сол. систем", 1992.-224 с. : ил.
- Бартошук С.О. Инструментальные средства моделирования и отображения пространственных сцен на ПЭВМ. Автореферат дис. канд. техн. наук : К., 1992.
- Болотев В.П. Геометрический и программный комплекс интерактивного расчетно-графического программирования в САПР.: Автореферат дис. канд. техн. наук : М. : 1993.
- Булгаков С.С. и др. Проектирование цифровых систем на комплексах микропрограммируемых БИС. - М.: Радио и связь, 1989.
- Васильев В.И. Проблема обучения распознаванию образов. К.: Высшая шк. Головное изд-во, 1989.- 64 с. , ил.
- Васильев В.И. Распознающие системы: Справочник. Киев: Наукова думка, 1983.- 292 с.
- Генкин В.Л. и др. Системы распознавания автоматизированных производств. - Л.: Машиностроение, 1988. - 264 с. , ил.
- Георгица Ю.В. Специализированный сопроцессор для вычисления тригонометрических функций.: Автореферат дис. канд. техн. наук : М., 1991.
- Горелик А.Л., Скрипкин В.А. Методы распознавания. - М.: Высшая школа, 1989. - 232 с.: ил.
- Горлик А.Л. Общая постановка задачи распознавания объектов и явлений. // Кибернетика, 1980, №6. - 231 с.
- Григорьев В.Л. Видеосистемы ПК фирмы IBM. - М. : Радио и связь, 1993. - 192 с. : ил.

- Дуда Р., Харт П. Распознавание образов и анализ сцен. - М.: Мир, 1976.
- Жирков В.Ф., Шутов А. Д. , Арнос Б.А. Выбор оптимального базиса преобразования формы в задаче распознавания визуальных образов // Перспективные информационные технологии в анализе изображения и распознавании образов: Тез. докл. Конф.- Ташкент: УзНПО "кибернетика", АН респ. Узбекистан, 1992.- с. 9,10.
- Жирков В.Ф., Арнос Б.А. Двумерные преобразования при синтезе изображений // Разработка и применение САПР ВЧ и СВЧ электронной аппаратуры: Тез. докл. - Владимир, 1994.- с. 84-86.
- Жирков В.Ф., Арнос Б.А. Формирование изображений с пересечением управляемого фрагмента // Оптико - электронные приборы и устройства в системах распознавания образов, обработки изображений и символьной информации: Тез. докл. конф. - Курск:,Курский политехнический институт, 1993.- с. 19,20.
- Арнос Б.А. Геометрические преобразования : статья. // сб. стат. Информационные системы и технологии.- 1996. (в печати)
- Жирков В. Ф. , Сушкова Л. Т. , Арнос Б. А. Компьютерный анализ крови под микроскопом: возможности и проблемы.: статья. // сб. стат. Медицинский вестник. - Владимир , 1996. (в печати)
- Зинченко Т.П. Опознание и кодирование. Л., Изд-во Ленингр. ун-та, 1981.- 183 с. , ил.
- Интеллектуальные процессы и их моделирование. Академия наук СССР. М.: Наука, 1987.-393 с.
- Картамышев А.А. Прогнозирование частых рецидивов рожи с использованием компьютерной программы принятия решения. : Автореферат дис. канд. техн. наук, Воронеж, 1994.
- Ковалевский В.А. Методы оптимальных решений в распознавании изображений. - М.: Наука, 1967. - 328 с.
- Компьютер обретает разум: Пер. с англ. / под ред. и с предисловием В.Л.Стефанюка. - М.: Мир, 1990. - 240 с. , ил.
- Костылев А. О скоростном заполнении областей экрана в трехмерной графике.// Монитор. N 4, 1995.- с. 38-40.
- Колориметрический способ выявления малоконтрастных изображений. : А. С. 1439413(СССР), МКИ. G 01 J 3/46 / Нечипоренко А.С. (СССР) - 5 с. , ил.

- Малакаев А.Р. Разработка и практическое применение распознающей советующей системы. : Автореферат дис. канд. техн. наук : Ташкент, 1994.
- Мартинес Ф. Синтез изображений. Принципы, аппаратное и программное обеспечение: Пер. с фр. - М.: Радио и связь, 1990. - 192 с. , ил.
- Моносов В.Л. Симптомокомплексный подход при разработке экспертной системы прогнозирования развития тяжести состояния в неонатологии.: Автореферат дис. канд. техн. наук : Санкт- Петербург, 1994.
- Носач В.В. Решение задач аппроксимации помимо персональных компьютеров. - М.: Микап, 1994.- 382 с. , ил.
- Озерова В.П. Разработка автоматизированной системы вероятностного моделирования патологических процессов и исследования ее возможностей при прогнозировании и диагностике заболеваний. : Автореферат дис. канд. техн. наук: М., 1991.
- Павловский В.Ф. Моделирование и обработка сигналов быстрыми цифровыми свертками в биологии и медицине. : Автореферат дис. канд. техн. наук : Санкт- Петербург, 1994.
- Пелешенко Е.И. Автоматизированный анализ и моделирование функциональных состояний сердца при действии биологически активных веществ.: Автореферат дис. канд. техн. наук : Воронеж, 1994.
- Петренко А.И. Методы и устройства распознавания цвета объектов. М.: “Энергия”, 1972. -96 с.
- Пилипенко О.П. Формат РСХ графические образы в прикладных программах. : // д-ра Добба, N 4, 1991.- с. 18-22.
- Представление и использование знаний: Пер. с япон. / Под. ред. Х.Уэно, М.Исидзука, - М.: Мир, 1989. - 220 с., ил.
- Принципы распознавания образов. Пер. с англ. Под ред. Ю.И.Журавлева. - М., 1978.
- Путятин Е.П., Аверин С.И. Обработка изображений в робототехнике. - М.: Машиностроение, 1990.- 320 с., ил.
- Распознавание, классификация, прогноз. / Выпуск 2. Отв. редактор член-кор. АН СССР Ю.И.Журавлев. М.: Наука, 1989.
- Решающие идеи - системы диагностики и терапии фирмы “Сименс”, ФРГ, 1991.- 127 с. , ил.

- Роганов В.Р. Организация визуальных баз данных и управления компьютерными генераторами изображений имитаторов визуальной обстановки тренажеров. : Автореферат дис. канд. техн. наук : Пенза, 1995.
- Роджерс Д. Алгоритмические основы машинной графики: пер. с англ. - М.: Мир, 1989.- 512 с. , ил.
- Романов В.Ю. Популярные форматы файлов для хранения графических изображений на IBM PC. М.: Унитех, 1992. - 156 с. : ил.
- Руссин Б.П. Структурно-лингвистические методы распознавания изображений в реальном времени - Киев: Наука думка, 1986.
- Рыбченко А.А. Создание и исследование медицинских диагностических систем при оказании неотложной помощи. : Автореферат дис. канд. техн. наук : Владивосток, 1993.
- Садыков С. С. Информационные устройства - Ташкент , 1992 , 100 с.
- Семионенков М.Н. Разработка и реализация программного обеспечения и алгоритмов базовой компьютерной графики для двумерного и трехмерного раstra. : Автореферат дис. канд. техн. наук : Протвино, 1995.
- Системы технического зрения / А.Н.Писаревский и др. - Л.: Машиностроение, 1988.- 424 с. ,ил.
- Справочник: Искусственный интеллект. Кн.2. Модели и методы. / Под ред. проф. Д.А.Поспелова - М.: Радио и связь, 1990.- с. 149-201., ил.
- Способ визуального определения цветовой характеристики объектов. : Описание изобретения SU 1804598 A3 G01 13/46 - 23.03.93. Бюл. N 11.- с. 4 , ил. Старощук Б.А.
- Техническое зрение роботов / Под ред. А.Пью; Пер. с англ. Д.Ф.Миронова; Под. ред. Г.П.Катыса - М.: Машиностроение, 1987.
- Торпченко А.Ю. Специализированные устройства предварительной обработки сигналов в системах реального времени. : Автореферат дис. докт. техн. наук : Санкт-Петербург,1995.
- Устройства для поиска патологических измененных клеток в Цитологическом препарате. // Патент N 938935, публикация 30.06.82. - 6 с., ил.
- Устройство для определения усредненного цвета объекта : А. С. 1518685(СССР), МКИ G 01 J 3/46./ Тимохин Ю.В.(СССР).- 5 с. , ил.

- Устройство для коррекции геометрических и яркостных искажений телевизионного изображения. : А. С. 1282359(СССР), МКИ Н 04 N / Уханов С.П.(СССР) .- 3 с., ил.
- Устройство формирования телевизионного изображения с перемещением управляемого фрагмента. : А.С. 1644171 SU МКИ G 06 F 15/64 / Жирков В.Ф., Буланнкин В.Б.(СССР) - 3 с., ил.
- Устройство для коррекции перекрестных искажений типа яркость- цветность. : А.С. 1818709(США), МКИ Н 04 / Ахмед М.М.(ЕАР) - с. 4, ил.
- Цифровое устройство разделения сигналов яркости и цветности в декодере системы СЕКАМ. : А. С. N1781841 (СССР) МКИ. Н 04 / Басий В.Т. и др.(СССР)- 2 с. , ил.
- Устройство формирования телевизионного изображения поворотом управляемого фрагмента // Положительное решение 94040345(Россия). , МКИ 6 G 096 1/16, F 15/62/ Жирков В.Ф., Арнос Б.А. (Россия , Сирия)
- Устройство формирования телевизионного изображения с изменением масштаба управляемого фрагмента // Положительное решение 93035752 ,(Россия). , МКИ 6 G 096 1/16, F 15/62/ Жирков В.Ф., Арнос Б.А. (Россия , Сирия)
- Устройство формирования телевизионного изображения с перемещением управляемых фрагментов // Положительное решение 9302079 (Россия). , МКИ 6 G 096 1/16, F 15/62/ Жирков В.Ф., Арнос Б.А. (Россия , Сирия)
- Устройство для обработки изображений . : А. С. 1619291,(СССР) МКИ. G 06 / Кожемяко В.П. (СССР) - 6 с., ил.
- Устройство для идентификации двухцветных объектов. : А.С. 1783321(СССР) МКИ. G 01 J 3/46 / Табалаев С.К. (СССР) - 5 с. , ил.
- Федотов Н.Г. Методы стохастической геометрии в распознавании образов. - М.: Радио и связь, 1990.- 144 с. , ил.
- Фоли Дж., Вэн Дэм А. Основы интерактивной машинной графики: в 4-х книгах. Кн.1.- 512 с., ил. , Кн. 2. - 368 с. , ил. Пер. с англ. - М.: Мир, 1985.
- Фоменко Н.Б. Анализ случайных процессов с использованием функции Уолша. // Радиотехника и электроника, 1977, N 4, с.720-728.
- Фомин Я.А., Тарловский Г.Р. Статическая теория распознавания образов. - М.: Радио и связь, 1986. - 263 [1] с. , ил.

- Фор. Восприятие и распознавание образов. Пер. с фр. под ред. д.т.н. Г.П.Катыса. -М.: Машиностроение, 1989.- 272 с. , ил.
- Фу К., Гонзалес Р., Ли К. Робото техника: Пер. с англ. - М.: Мир, 1989.- 624 с. , ил.
- Хромов Л.И. и др. Видеоинформатика. Передача и компьютерная обработка информации / - М.: Радио и связь, 1991.- 192 с. , ил.
- Чугункина Э.В. Технология алгоритмизации логики врача при создании медицинских биотехнических систем поддержки диагностических решений. : Автореферат дис. канд. техн. наук : Киев, 1992.
- Шарафиддин М.А. Обобщенное преобразование Уолша-Адамара и некоторые вопросы его применения для решения задач обработки и распознавания изображения. : Дис. канд. техн. наук : Владимир, 1991.
- Шахинпур М. Курс робототехники. Пер. с англ. - М.: Мир, 1990.- 527 с. , ил.
- Эгрон Ж. Синтез изображений. Базовые алгоритмы: Пер. с фр. - М.: Радио и связь, 1993.- 216 с. , ил.
- Эйбраш М. 256-цветовая магия адаптера VGA. // д-ра Добба N 4, 1991.- с. 13-
- Ян Судек. Некоторые вопросы разработки технических средств ввода, обработки и вывода изображений для ПК. : Автореферат дис. канд. техн. наук : Дубна, 1992.
- [Александр Шамис](#), Поведение, восприятие, мышление: проблемы создания искусственного интеллекта, [Едиториал УРСС](#), 2005 г.
- [Стюарт Рассел](#), [Питер Норвиг](#), Искусственный интеллект. Современный подход, Издательство: [Вильямс](#), 2006 г.
- [Аркадий Частиков](#), [Татьяна Гаврилова](#), Разработка экспертных систем. Среда CLIPS, Издательство: [БХВ-Петербург](#), 2003 г.
- А. П. Частиков, Д. Л. Белов, Т. А. Гаврилова, [Разработка экспертных систем. Среда CLIPS](#), Твердый переплет (2003)
- А. И. Башмаков, И. А. Башмаков, [Интеллектуальные информационные технологии](#), Твердый переплет (2005)
- [Вячеслав Афонин](#), [Владимир Макушкин](#), Интеллектуальные робототехнические системы, Издательство: [Интернет-университет информационных технологий](#), 2005 г.
- В. Л. Афонин, В. А. Макушкин, [Интеллектуальные робототехнические системы](#), Твердый переплет (2005)
- [К. Протасова](#), Искусственный интеллект. Стратегии и методы решения сложных проблем, Издательство: [Вильямс](#), 2003 г.
- А. Л. Шамис, [Поведение, восприятие, мышление: проблемы создания искусственного интеллекта](#), Издательство: [Едиториал УРСС](#), 2005 г.
- Бондарев В.Н., Аде Ф.Г., [Искусственный интеллект: Учебное пособие для вузов](#) Твердый переплет (2002)

- В. К. Финн, [Интеллектуальные системы и общество](#), Издательство: [Синтег](#), 2002 г.
- Ю. Ф. Тельнов, [Интеллектуальные информационные системы в экономике. Учебное пособие](#), Мягкая обложка (2000)
- В. В. Корнеев, А. Ф. Гареев, С. В. Васютин, В. В. Райх, [Базы данных. Интеллектуальная обработка информации](#), Мягкая обложка (2000)
- К.А. Пупков, В.Г. Коньков, [Интеллектуальные системы](#), Мягкая обложка (2003)
- В. А. Филиппов, [Интеллектуальный анализ данных: методы и средства](#), Издательство: [Питер](#), 2000 г.
- Г. А. Кушнир, [Системы искусственного интеллекта. Лекция](#), Издательство: [Маркетинг](#), 2001 г.
- Еремеев А.П. Экспертные модели и методы принятия решений. - М.: МЭИ, 1995.
- Загоруйко Ю.А., Попов И.Г. Представление знаний в интегрированной технологической среде SemP-TAO// Сб. Проблемы представления и обработки не полностью определенных знаний/ - М. - Новосибирск, RRIAI, 1996.
- Абчук В.А., Бункин В.А. Интенсификация: принятие решений. - Л.: Лениздат, 1987. - 174 С.
- Жуковин В.Е. Многокритериальные модели принятия решений с неопределенностью. - Тбилиси, 1983.
- Ларичев О.И. Наука и искусство принятия решений. М., 1979.
- Лотов А.В. и др. Компьютер и поиск компромисса. Метод достижимых целей. М. Наука, 1997.

- Dudgeon, D.E. and R.M. Mersereau, *Multidimensional Digital Signal Processing*. 1984, Englewood Cliffs, New Jersey: Prentice-Hall.
- Castleman, K.R., *Digital Image Processing*. Second ed. 1996, Englewood Cliffs, New Jersey: Prentice-Hall.
- Oppenheim, A.V., A.S. Willsky, and I.T. Young, *Systems and Signals*. 1983, Englewood Cliffs, New Jersey: Prentice-Hall.
- Papoulis, A., *Systems and Transforms with Applications in Optics*. 1968, New York: McGraw-Hill.
- Russ, J.C., *The Image Processing Handbook*. Second ed. 1995, Boca Raton, Florida: CRC Press.
- Giardina, C.R. and E.R. Dougherty, *Morphological Methods in Image and Signal Processing*. 1988, Englewood Cliffs, New Jersey: Prentice-Hall.
- Gonzalez, R.C. and R.E. Woods, *Digital Image Processing*. 1992, Reading, Massachusetts: Addison-Wesley.
- Goodman, J.W., *Introduction to Fourier Optics*. McGraw-Hill Physical and Quantum Electronics Series. 1968, New York: McGraw-Hill.
- Heijmans, H.J.A.M., *Morphological Image Operators*. Advances in Electronics and Electron Physics. 1994, Boston: Academic Press.
- Hunt, R.W.G., *The Reproduction of Colour in Photography, Printing & Television*,. Fourth ed. 1987, Tolworth, England: Fountain Press.

- Freeman, H., *Boundary encoding and processing*, in *Picture Processing and Psychopictorics*, B.S. Lipkin and A. Rosenfeld, Editors. 1970, Academic Press: New York.
- Stockham, T.G., *Image Processing in the Context of a Visual Model*. Proc. IEEE, 1972.
- Murch, G.M., *Visual and Auditory Perception*. 1973, New York: Bobbs-Merrill Company, Inc.
- Frisby, J.P., *Seeing: Illusion, Brain and Mind*. 1980, Oxford, England: Oxford University Press.
- Blakemore, C. and F.W.C. Campbell, *On the existence of neurons in the human visual system selectively sensitive to the orientation and size of retinal images*. J. Physiology, 1969.
- Born, M. and E. Wolf, *Principles of Optics*. Sixth ed. 1980, Oxford: Pergamon Press.
- Young, I.T., *Quantitative Microscopy*. IEEE Engineering in Medicine and Biology, 1996.
- Dorst, L. and A.W.M. Smeulders, *Length estimators compared*, in *Pattern Recognition in Practice II*, E.S. Gelsema and L.N. Kanal, Editors. 1986, Elsevier Science: Amsterdam.
- Young, I.T., *Sampling density and quantitative microscopy*. Analytical and Quantitative Cytology and Histology, 1988.
- Kulpa, Z., *Area and perimeter measurement of blobs in discrete binary pictures*. Computer Vision, Graphics and Image Processing, 1977.
- Vossepoel, A.M. and A.W.M. Smeulders, *Vector code probabilities and metrication error in the representation of straight lines of finite length*. Computer Graphics and Image Processing, 1982.
- Photometrics Ltd., *Signal Processing and Noise*, in *Series 200 CCD Cameras Manual*. 1990: Tucson, Arizona.
- Ian T. Young, Jan J. Gerbrands, Lucas J. van Vliet, *Fundamentals of Image Processing*
- Huang, T.S., G.J. Yang, and G.Y. Tang, *A Fast Two-Dimensional Median Filtering Algorithm*. IEEE Transactions on Acoustics, Speech, and Signal Processing, 1979. **ASSP-27**
- Groen, F.C.A., R.J. Ekkers, and R. De Vries, *Image processing with personal computers*. Signal Processing, 1988.
- Verbeek, P.W., H.A. Vrooman, and L.J. Van Vliet, *Low-Level Image Processing by Max-Min Filters*. Signal Processing, 1988.
- Young, I.T. and L.J. Van Vliet, *Recursive Implementation of the Gaussian Filter*. Signal Processing, 1995.
- Kuwahara, M., *et al.*, *Processing of RI-angiocardigraphic images*, in *Digital Processing of Biomedical Images*, K. Preston and M. Onoe, Editors. 1976, Plenum Press: New York..
- Van Vliet, L.J., *Grey-scale measurements in multi-dimensional digitized images*, PhD Thesis: Delft University of Technology, 1993.

- Serra, J., *Image Analysis and Mathematical Morphology*. 1982, London: Academic Press.
- Vincent, L., *Morphological transformations of binary images with arbitrary structuring elements*. Signal Processing, 1991.
- Van Vliet, L.J. and B.J.H. Verwer, *A Contour Processing Method for Fast Binary Neighbourhood Operations*. Pattern Recognition Letters, 1988.
- Young, I.T., *et al.*, *A new implementation for the binary and Minkowski operators*. Computer Graphics and Image Processing, 1981.
- Lantuéjoul, C., *Skeletonization in Quantitative Metallography*, in *Issues of Digital Image Processing*, R.M. Haralick and J.C. Simon, Editors. 1980, Sijthoff and Noordhoff: Groningen, The Netherlands.
- Oppenheim, A.V., R.W. Schafer, and T.G. Stockham, Jr., *Non-Linear Filtering of Multiplied and Convolved Signals*. Proc. IEEE, 1968.
- Ridler, T.W. and S. Calvard, *Picture thresholding using an iterative selection method*. IEEE Trans. on Systems, Man, and Cybernetics, 1978.
- Zack, G.W., W.E. Rogers, and S.A. Latt, *Automatic Measurement of Sister Chromatid Exchange Frequency*. 1977.
- Chow, C.K. and T. Kaneko, *Automatic boundary detection of the left ventricle from cineangiograms*. Computers and Biomedical Research, 1972.
- Canny, J., *A Computational Approach to Edge Detection*. IEEE Transactions on Pattern Analysis and Machine Intelligence, 1986.
- Marr, D. and E.C. Hildreth, *Theory of edge detection*. Proc. R. Soc. London Ser. B., 1980.
- Verbeek, P.W. and L.J. Van Vliet, *On the Location Error of Curved Edges in Low-Pass Filtered 2D and 3D Images*. IEEE Transactions on Pattern Analysis and Machine Intelligence, 1994.
- Lee, J.S.L., R.M. Haralick, and L.S. Shapiro. *Morphologic Edge Detection*. In *8th International Conference on Pattern Recognition*. 1986. Paris: IEEE Computer Society.
- Van Vliet, L.J., I.T. Young, and A.L.D. Beckers, *A Non-linear Laplace Operator as Edge Detector in Noisy Images*. Computer Vision, Graphics, and Image Processing, 1989..
- Meyer, F. and S. Beucher, *Morphological Segmentation*. J. Visual Comm. Image Rep., 1990..
- Meyer, F., *Iterative Image Transformations for an Automatic Screening of Cervical Cancer*. Journal of Histochemistry and Cytochemistry, 1979.
- Dudgeon, D.E. and R.M. Mersereau, *Multidimensional Digital Signal Processing*. 1984, Englewood Cliffs, New Jersey: Prentice-Hall.
- Castleman, K.R., *Digital Image Processing*. Second ed. 1996, Englewood Cliffs, New Jersey: Prentice-Hall.
- Oppenheim, A.V., A.S. Willsky, and I.T. Young, *Systems and Signals*. 1983, Englewood Cliffs, New Jersey: Prentice-Hall.
- Papoulis, A., *Systems and Transforms with Applications in Optics*. 1968, New York: McGraw-Hill.

- Russ, J.C., *The Image Processing Handbook*. Second ed. 1995, Boca Raton, Florida: CRC Press.
- Giardina, C.R. and E.R. Dougherty, *Morphological Methods in Image and Signal Processing*. 1988, Englewood Cliffs, New Jersey: Prentice-Hall. 321.
- Gonzalez, R.C. and R.E. Woods, *Digital Image Processing*. 1992, Reading, Massachusetts: Addison-Wesley. 716.
- Goodman, J.W., *Introduction to Fourier Optics*. McGraw-Hill Physical and Quantum Electronics Series. 1968, New York: McGraw-Hill. 287.
- Stockham, T.G., *Image Processing in the Context of a Visual Model*. Proc. IEEE, 1972. **60**: p. 828 - 842.
- Murch, G.M., *Visual and Auditory Perception*. 1973, New York: Bobbs-Merrill Company, Inc. 403.
- Frisby, J.P., *Seeing: Illusion, Brain and Mind*. 1980, Oxford, England: Oxford University Press. 160.
- Born, M. and E. Wolf, *Principles of Optics*. Sixth ed. 1980, Oxford: Pergamon Press.
- Young, I.T., *Quantitative Microscopy*. IEEE Engineering in Medicine and Biology, 1996. **15**(1): p. 59-66.
- Dorst, L. and A.W.M. Smeulders, *Length estimators compared*, in *Pattern Recognition in Practice II*, E.S. Gelsema and L.N. Kanal, Editors. 1986, Elsevier Science: Amsterdam. p. 73-80.
- Vossepoel, A.M. and A.W.M. Smeulders, *Vector code probabilities and metrication error in the representation of straight lines of finite length*. Computer Graphics and Image Processing, 1982. **20**: p. 347-364.
- Groen, F.C.A., R.J. Ekkers, and R. De Vries, *Image processing with personal computers*. Signal Processing, 1988. **15**: p. 279-291.
- Verbeek, P.W., H.A. Vrooman, and L.J. Van Vliet, *Low-Level Image Processing by Max-Min Filters*. Signal Processing, 1988. **15**: p. 249-258.
- Young, I.T. and L.J. Van Vliet, *Recursive Implementation of the Gaussian Filter*. Signal Processing, 1995. **44**(2): p. 139-151.
- Vincent, L., *Morphological transformations of binary images with arbitrary structuring elements*. Signal Processing, 1991. **22**(1): p. 3-23.
- Van Vliet, L.J. and B.J.H. Verwer, *A Contour Processing Method for Fast Binary Neighbourhood Operations*. Pattern Recognition Letters, 1988. **7**(1): p. 27-36.
- Canny, J., *A Computational Approach to Edge Detection*. IEEE Transactions on Pattern Analysis and Machine Intelligence, 1986. **PAMI-8**(6): p. 679-698.
- Marr, D. and E.C. Hildreth, *Theory of edge detection*. Proc. R. Soc. London Ser. B., 1980. **207**: p. 187-217.
- Verbeek, P.W. and L.J. Van Vliet, *On the Location Error of Curved Edges in Low-Pass Filtered 2D and 3D Images*. IEEE Transactions on Pattern Analysis and Machine Intelligence, 1994. **16**(7): p. 726-733.
- Lee, J.S.L., R.M. Haralick, and L.S. Shapiro. *Morphologic Edge Detection*. In *8th International Conference on Pattern Recognition*. 1986. Paris: IEEE Computer Society.

- Van Vliet, L.J., I.T. Young, and A.L.D. Beckers, *A Non-linear Laplace Operator as Edge Detector in Noisy Images*. Computer Vision, Graphics, and Image Processing, 1989. **45**: p. 167-195.
- Meyer, F. and S. Beucher, *Morphological Segmentation*. J. Visual Comm. Image Rep., 1990. **1**(1): p. 21-46.
- Olivier Faugeras (1993). *Three-Dimensional Computer Vision, A Geometric Viewpoint*, MIT Press.
- David A. Forsyth and Jean Ponce (2003). *Computer Vision, A Modern Approach*, Prentice Hall
- Richard Hartely and Andrew Zisserman (2003). *Multiple View Geometry in computer vision*, Cambridge University Press
- Aleksander, I., Thomas, W. V., and Bowden, P. A. (1984). Wisard: A radical step forward in image recognition. *Sensor Review*, 4:120–124.
- Breiman, L., Friedman, J. H., Olshen, R. A., and Stone, C. J. (1984). *Classification and Regression Trees*. Wadsworth and Brooks, Monterey, Ca.
- Buntine, W. (1992). Learning classification trees. *Statistics and Computing*, 2:63–73.
- Ersoy, O. K. and Hong, D. (1991). Parallel, self-organizing, hierarchical neural networks for vision and systems control. In Kaynak, O., editor, *Intelligent motion control: proceedings*
- Fukunaga, K. (1990). *Introduction to Statistical Pattern Recognition*. Academic Press, 2nd edition.
- Kohonen, T., Barna, G., and Chrisley, R. (1988). Statistical pattern recognition with neural networks: Benchmarking studies. In *IEEE International Conference on Neural Networks*, volume 1, pages 61–68, New York. (San Diego 1988), IEEE.
- Krishnaiah, P. and Kanal, L., editors (1982). *Classification, Pattern Recognition, and Reduction of Dimensionality*, volume 2 of *Handbook of Statistics*. North Holland, Amsterdam.